

Zusammenfassung

Zur Diplomprüfungsvorbereitung

„Algorithmentheorie“

„Prof. Dr Thomas Ottmann“

„PD Dr. A.Heinz“

Wintersemester 2002

Zusammengefasst von Markus Krebs und Andreas Horstmann

November 2002

Vorlesung 1 – „Divide and Conquer“	8
Das Divide and Conquer Prinzip:	8
Geometrisches Divide and Conquer	8
Algorithmus: Closest Pair Problem	8
Algorithmus: Liniensegmentschnitt	9
Kompletter Algorithmus im Detail	11
Das Voronoi Diagramm	13
Vorlesung 2 – Fast Fourier Transformation (FFT)	15
Operationen die auf Polynomen angewandt werden können (mit Koeffizientendarstellung):	15
1. Addition zweier Polynome p und q:	15
2. Multiplikation zweier Polynome p und q:	15
3. Auswerten eines Polynoms p an einer bestimmten Stelle x_0 mit dem „Horner Schema“	16
Möglichkeiten zur Darstellung (Repräsentation) eines Polynoms	16
Koeffizientendarstellung:	16
Nullstellenprodukt:	16
Punkt-/Wertdarstellung:	16
Operationen auf Polynomen mit Hilfe der Punkt/Wertdarstellung	16
Addition zweier Polynome p und q:	16
Produkt zweier Polynome p und q:	16
Auswertung an einer Stelle x'	16
Polynomprodukt unter Zuhilfenahme der Vorteile von beiden Darstellungen	17
Repräsentation von $p(x)$	17
Diskrete Fourier Transformation (DFT)	18
Diskurs: Eigenschaften von Einheitswurzeln	19
Kürzungslemma	19
Halbierungslemma	20
Summationslemma	20
Fast Fourier Transformation (FFT)	20
Berechnung der DFT im einzelnen:	21
Eine kleine Verbesserung	22
Der fertige Algorithmus	23
Ein komplettes Beispiel durchgerechnet:	24
Zeitanalyse des Algorithmus	24
Interpolation	25
Berechnen der a_i	26
Komplexität	27
Vorlesung 3 – Zufallszahlengeneratoren	27
Lineare Kongruenzmethode (Lehmer, 1951)	27
Beurteilung von Zufallszahlengeneratoren	28
Der komplette Algorithmus als Java Code:	29
Vorschlag von Schrage (1979)	29
Modifizierte Lehmer Algorithmus nach Schrage	30
Gemischt kongruente Generatoren	31
Satz:	31
Vorlesung 4 – Randomisierte Algorithmen	31
Randomisiertes Quicksort	31

Randomisierter Primzahltest	32
Kleiner Fermat	33
Carmichael Zahlen	34
Satz über nichttriviale Quadratwurzeln	34
Schnelle Exponentiation (Berechnung von a^n)	35
Vorlesung 5 – Kryptographie: RSA	36
Aufgaben von Sicherheitsdiensten:	37
Public Key Verschlüsselungssysteme	37
A verschickt eine Nachricht M an B:	38
Erstellen einer digitalen Signatur - Prinzip	38
Erstellen einer digitalen Signatur	39
RSA Verschlüsselungssysteme	39
Diskurs – Multiplikative Inverse:	40
Vorlesung 6 – Randomisierte Datenstrukturen	41
Perfekte Skiplisten	42
Randomisierte Skiplisten	45
Einfügen in „Randomisierte Skiplisten“	45
Algorithmus zum randomisierten Erzeugen von Höhen	47
Entfernen eines Schlüssel aus einer randomisierten Skipliste	48
Verhalten von randomisierten Skiplisten	49
Randomisierte Suchbäume	49
Was sind nun Treaps ?	49
Ein Element einfügen in einen Treap	50
Ein Element aus einem Treap entfernen	50
Randomisierte Suchbäume	52
Vorlesung 7 – Amortisierte Analyse	54
Was ist die Idee der Amortisierung ?	54
Aggregatmethode: am Beispiel Dualzähler	54
Bankkontomethode: am Beispiel Dualzähler	55
Potentialfunktion-Methode: am Beispiel Dualzähler	56
Dynamische Tabellen	57
Kosten von n – Einfügeoperationen in eine anfangs leere Tabelle	58
Fall 1: i -te Operation löst keine Expansion aus	59
Fall 2: i -te Operation löst Expansion aus	59
Entfernen von Elementen	59
Einfügen	60
Entfernen	61
Vorlesung 8 – Vorrangwarteschlangen (Priority Queues)	63
Operationen auf Vorrangwarteschlangen	63
Implementationen von Vorrangwarteschlangen:	63
Binomialqueues	64
Binomialbäume	64
Binomialqueues	65
Child-Sibling Darstellung von Binomialqueues	66
Vereinigung (verschmelzen) zweier Binomialbäume B , B' gleicher Ordnung	66
Vereinigung (verschmelzung) zweier Binomialqueues Q_1 und Q_2	67
Zusammenfassender Vergleich:	69
Vorlesung 9 – Fibonacci Heaps	70
Beispiel für einen Fibonacci Heap:	70
Vorteile zirkulärer, doppeltverketteter Listen	71

Operationen auf Fibonacci Heaps	71
Der ganze Algorithmus sieht nun so aus:	74
Algorithmus Decrease Key	75
Algorithmus Q.cut.....	75
Algorithmus Q.delete	75
Markieren von Knoten	76
Analyse der Operationen von Fibonacci Heaps	76
Diskurs über die Annahme, dass der $\text{rang}(Q) \leq 2 \log n$ ist.....	77
Maximaler Rang eines Knotens.....	78
Vorlesung 10 – Union Find Strukturen	79
Beispiel: Zusammenhangstest	79
Repräsentation durch verkettete Listen:	80
Repräsentation durch Wald von Bäumen	81
Weitere Verbesserung durch Pfadverkürzung	84
Analyse der Laufzeit.....	84
Exkurs: Ackermann Funktion und Inverse	85
Vorlesung 11 – Greedy Verfahren.....	85
Zwei einfache Beispiele bei denen Greedy sehr schlecht werden kann.....	86
Beispiel 1: Münzwechselproblem	86
Beispiel 2: Travelling Salesman Problem (TSP).....	87
Das Aktivitäten Auswahlproblem.....	88
Der Zugehörige Algorithmus.....	89
Invarianten:.....	90
Wann ist ein Greedy Verfahren Optimal ?.....	91
Binäre Zeichen Codes	92
Präfix Codes	92
Darstellung von Präfix-Codes	93
Code Bäume	93
Optimalität von Präfixcodes	93
Kosten eines Code-Baumes.....	94
Huffman Codes	94
Vorschlag zur Konstruktion eines Code Baumes	94
Korrektheit des Huffman Verfahrens	96
Vorlesung 12 – Dijkstra’s kürzeste Wege.....	99
Optimalitätsprinzip	99
Dijkstra’s Algorithmus als Code.....	102
Darstellungsformen eine Graphen.....	104
Zwei verschiedene Implementierungen	104
Vorlesung 13 – Minimalspannende Bäume (MST).....	106
Aufspannende Bäume, minimalen Gewichts in Graphen	106
Das MST Problem	106
Färbungsverfahren von Tarjan - Greedy Methode	106
Färbungsalgorithmus im Einzelnen	109
Korrektheit des Färbungsalgorithmus.....	110
Algorithmus von Kruskal.....	111
Der Algorithmus von Prim.....	112
Greedy Algorithmen und Matroide.....	113
Vorlesung 14 – Bin Packing	114
Online Bin Packing Verfahren	115
Die verschieden Online Bin Packing Verfahren	115

Online Algorithmen Allgemein	116
Offline Bin Packing Verfahren	116
First Fit Decreasing	116
Vorlesung 15 – Online Algorithmen.....	118
Online Algorithmen und Kompetitivität	118
Seitenaustauschstrategien	119
Mögliche Strategien	120
Least Recently Used	120
Optimale offline Strategie MIN	121
Unter Schranken	122
Randomisierung und Gegenspieler.....	122
Algorithmus Marking (fast gleich wie FWF nur randomisiert)	122
Andere Bereiche für Online Algorithmen	123
Vorlesung 16 – Dynamische Programmierung.....	123
Was ist dynamische Programmierung ?	123
Beispiel: Fibonacci-Zahlen	124
Direkte Implementierung der Fibonaccizahlen	124
Beispiel: Umsetzung bei den Fibonaccizahlen.....	125
Implementierung mittels dynamischer Programmierung	125
Memoisierte Version der Berechnung der Fibonacci Zahlen	125
Das Optimalitätsprinzip.....	126
Kettenprodukt von Matrizen.....	126
Anzahl der verschiedenen Klammerungen.....	127
Multiplikation zweier Matrizen.....	128
Struktur der optimalen Klammerung.....	129
Implementierung des Matrixkettenproduktes mit dynamischer Programmierung	131
Matrixkettenprodukt und optimale Splitwerte mit dynamischer Programmierung	132
Implementierung zur Berechnung/Ausgabe der optimalen Klammerung	133
Matrixkettenprodukt mit dynamischer Programmierung (Top-Down Ansatz)	133
Implementierung der Notizblockmethode zum Matrixkettenprodukt	134
Konstruktion optimaler Suchbäume	135
Rekursive Bestimmung der gewichteten Pfadlänge	136
Vorlesung 17 – Dynamische Programmierung – Editierdistanz	137
Probleme der Ähnlichkeit von Zeichenketten	138
Editier-Distanz	138
Berechnung der Editier-Distanz	139
Rekursionsgleichung für die Editier-Distanz.....	140
Algorithmus für die Editier-Distanz	140
Beispiel für Editier-Distanz	141
Implementierung: Berechnung der Editieroperationen.....	141
Spurgraph der Editieroperationen	141
Approximative Zeichenkettensuche	142
Naives Verfahren:.....	142
Abhängigkeitsgraph.....	144
Ähnlichkeit von Zeichenketten	144
Ähnlichste Teilzeichenketten	145
Vorlesung 18 – Suche in Texten (KMP/BM)	146
Verschiedene Szenarios	146
Problemdefinition	147
Naives Verfahren	147
Aufwandsabschätzung (Naives Verfahren)	148
Verfahren von Knuth-Morris-Pratt	148
Beispiel für die Bestimmung von next[j]:.....	149
Korrektheit:	151

Laufzeit:.....	152
Berechnung des next-Arrays	152
Algorithmus – Berechnung des next-Arrays	153
Verfahren von Boyer-Moore.....	154
Die Vorkommensheuristik.....	155
Algorithmus zum Verfahren von Boyer-Moore (1. Version)	157
Laufzeitanalyse (1. Version):	157
Match-Heuristik	157
Beispiel für die wrw-Berechnung	158
Algorithmus zum Verfahren von Boyer-Moore (2. Version)	159
Vorlesung 19 – Suche in Texten - „Suffix Bäume“	160
Tries	160
Suffix-Tries	160
Suffix-Bäume	161
Interne Repräsentation von Suffix-Bäumen	162
Eigenschaften von Suffix-Bäumen	163
Konstruktion von Suffix-Bäumen	163
Naive Suffix-Baum-Konstruktion.....	164
Algorithmus Suffix-Baum.....	164
Algorithmus Suffix-Einfügen	166
Der Algorithmus M (McCreight, 1976)	166
Die Invarianten des Algorithmus M	167
Der Algorithmus M als Code	168
Beispiel für das Suffix-Einfügen	169
Analyse des Rescannens	171
Analyse des Scannens	171
Analyse des Algorithmus M.....	172
Suffix Baum Anwendung	172
Suffix-Baum-Beispiel	173
Eigenschaften von Suffix-Bäumen	173
Vorlesung 20 – Suche in Texten - „Suffix Arrays“	174
Beispiel zum Suffix-Array	175
Prefix-Suche im Suffix-Array	175
Algorithmus L_W -Search.....	176
1. Verbesserung von L_W -Search	176
2. Verbesserung von L_W -Search	176
Nutzen von Llcp und Rlcp in L_W -Search.....	177
Vorlesung 21 – Textcodierungen	179
Kompressionsverfahren für Texte	179
Arithmetische Codierung.....	179
Lempel-Ziv Codierung.....	181
Implementierung des Algorithmus „Lempel-Ziv“	182
Lempel-Ziv-Welsh Eigenschaften	183
Heuristische Optimierungsverfahren	183
Vorlesung 22 – Genetische Algorithmen	183
Beispiel: 0/1 Mehrfach-Rucksack-Problem	183
Suchverfahren für kombinatorische Optimierungsprobleme (KOP).....	184
Der Simple genetische Algorithmus (SGA).....	185
Legende zum SGA:	185
Ermittlung der # Kopien $\#_i$ von x^i :	186
Kreuzung zweier Individuen	186
Mutation.....	187
Vorgehensweise bei der Anwendungserstellung	187

Anwendungsbeispiel 1: Subset Sum-Problem.....	187
Anwendungsbeispiel 2: Maximum Cut-Problem	188
Test Beispiel (n=10)	189
Selektion + Rekombination = Innovation	189
Selektion + Mutation = stetige Verbesserung	191
Vorlesung 23 – Genetische Algorithmen	191
Das Schema Theorem	191
Parameterlose GA	193
Algorithmus zum Parameterlosen Genetischen Algorithmus (PGA).....	193
Systeme zur Unterstützung von GA-Applikationen	194
Vorlesung 24 – Künstliche Neuronale Netze (KNN)	194
Ein Hopfield Netz	195
Die Energie eines Hopfield-Netzes	196
Vorgehensweise bei der Lösung eines KOP mittels Hopfield-Netz	196
Anwendungsbeispiel 1 – Multi Flop Problem.....	196
Anwendungsbeispiel 2 – Travelling Salesperson Problem (TSP).....	198
Selbstorganisierende Karten (SOM)	199
Anwendungsbeispiele für SOM	200
Euklidisches Travelling Salesperson Problem (ETSP)	201
Komplexität.....	202
SOM für kombinatorische Optimierung.....	202
Geschichtete Feed-Forward Netze (MLP).....	203
Parameterlernen bei MLP.....	204
Gradientenbestimmung mit Backpropagation	205
Vorlesung 25 – Ameisen Algorithmen.....	206
Einleitung	206
Traveling Salesperson-Problem (TSP).....	206
Ameisen-Algorithmus für das TSP	208
Legende zum ASA_TSP	208
Berechnung der Pheromon-Menge $\tau_{ij(t)}$ für Kante (i,j):	209
Parameter des ASA_TSP	209
Quadratisches Zuordnungsproblem (QAP).....	209
Ameisen-Algorithmus für das QAP	210
Min-max-Regel:	210
Ameisen-Algorithmus für das QAP	211
Sintflut-Algorithmus.....	212
Der Sintflut-Algorithmus (als Code)	213
Legende zum Sintflut-Algorithmus	213

Vorlesung 1 – „Divide and Conquer“

Entwurfsprinzipien für Algorithmen

- Divide and Conquer
- Randomisierung
- Dynamische Programmierung
- Greedy Prinzip
- Backtracking
- Branch and Bound
- Amortisierung (Analysetechnik)

Klassen von Algorithmen

- Geometrische Algorithmen
- Mathematische Algorithmen
- Zeichenketten Verarbeitung
- Graphen Algorithmen
- Internet Algorithmen

Das Divide and Conquer Prinzip:

1. Divide: Teile das Problem in zwei oder mehr ($k \geq 2$) Teilprobleme, wenn $N > c$ ist; sonst löse das Problem der Größe $\leq c$ direkt.

2. Conquer: Löse die Teilprobleme auf dieselbe Art (rekursiv).

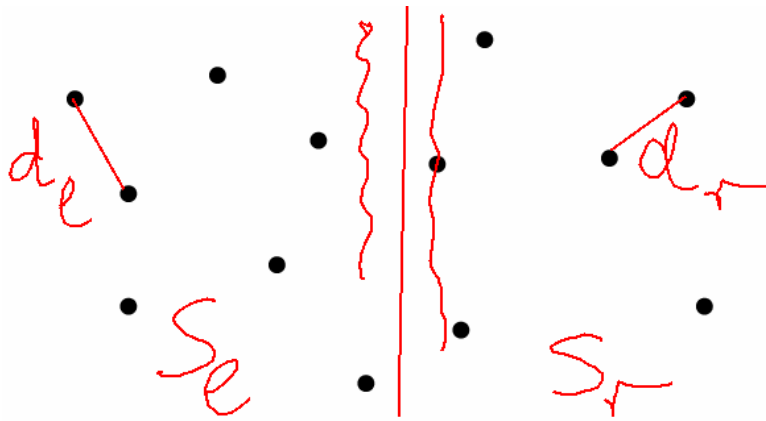
3. Merge: Füge die Teillösungen zur Gesamtlösung zusammen.

Beispiel: Quicksort

Geometrisches Divide and Conquer

Algorithmus: Closest Pair Problem

Bestimme für eine Menge S von n Punkten, das Paar mit minimaler Distanz



Der naive Algorithmus zur Lösung benötigt $O(n^2)$ – Paarweise Vergleiche aller Punkte

Besser geht es mit D&C in $O(n \log^2 n)$ aber Worst-Case $\Omega(n^2)$; Worst Case tritt dann ein, wenn alle Punkte sehr nahe an der Trennlinie liegen.

Divide:

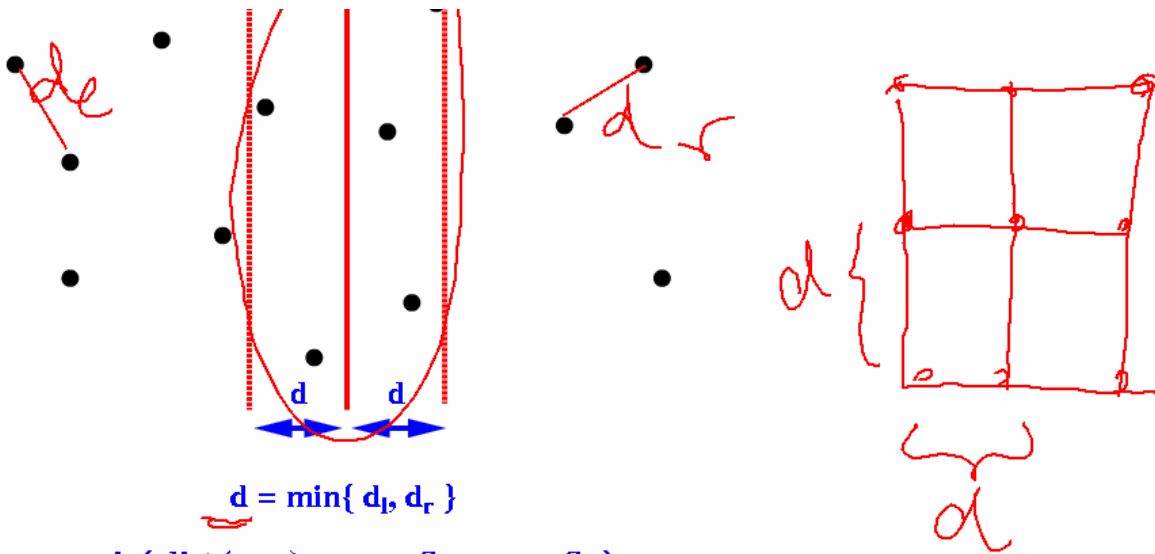
Teile S in S_l und S_r

Conquer:

$d_l := \text{mindist}(S_l)$; $d_r := \text{mindist}(S_r)$;

Merge:

$\text{Mindist} := \min \{ d_l, d_r, \min \{ \text{dist}(s_l, s_r); s_l \text{ aus } S_l, s_r \text{ aus } S_r \} \}$



$\min \{ \text{dist}(s_l, s_r) ; s_l \text{ aus } S_l, s_r \text{ aus } S_r \}$

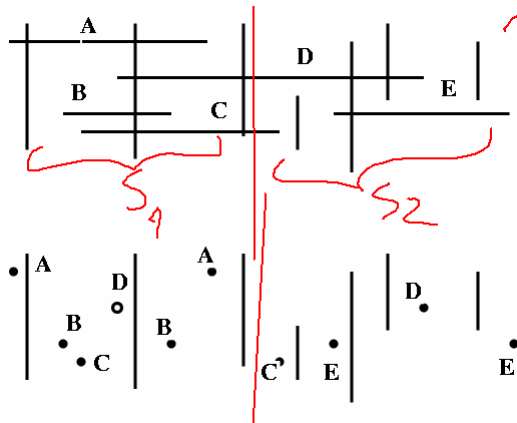
1. Sortiere Punkte im Streifen mit Breite $2*d$ nach aufsteigenden y-Werten
2. Betrachte zu jedem Punkt p alle Punkte q mit y-Abstand höchstens d

Zeitaufwand für Merge Schritt: $O(n \log n)$

Zeitaufwand Gesamt: $O(n \log^2 n)$

Algorithmus: Liniensegmentschnitt

Bestimme alle Paare sich schneidender Segmente



Naiver Algorithmus benötigt hier auch wieder $O(n^2)$

Besser Divide and Conquer (Bild) – Repräsentiere die horizontalen Segmente durch ihren Anfangs und Endpunkt, dadurch lässt sich die Menge gut aufteilen.

Funktion: ReportCuts (S)

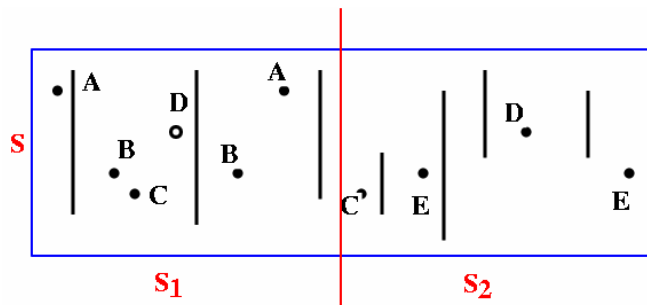
⇒ liefert alle Paare von sich schneidenden vertikalen Segmenten in S und horizontalen Segmenten mit linkem oder rechtem Endpunkt in S

Divide:

Teile S in S_1 und S_2 , falls $\#(S) > 1$

Conquer:

ReportCuts(S_1); ReportCuts(S_2);



Merge:

Berichte alle Schnitte zwischen vertikalen Segmenten in S_1 und horizontalen Segmenten mit rechtem Endpunkt in S_2 , deren linker Endpunkt weder in S_1 noch in S_2 liegt.

Aufwand

Sei k die Anzahl der Schnitte.

Somit ergibt sich:

$$\begin{aligned} T(N) &= 2 * T(n/2) + a * n + \text{Ausgabe} \\ &= O(n \log n) + k \end{aligned}$$

Die Komplexität des Algorithmus hängt nun ab, von der Ausgabe, d.h. wenn es n^2 viele Schnitte gibt, dann benötigt dieser auch $O(n^2)$.

Kompletter Algorithmus im Detail

Input: Je eine Menge horizontaler Segmente H und vertikaler Segmente V

Output: Die Menge aller sich schneidender Paare (h, v) mit $h \in H$ und $v \in V$

Schritt 1: Sei \bar{H} die Menge der von H definierten linken und rechten Endpunkte. Sei $S = \bar{H} \cup V$, nach x -Koordinate sortiert.

Schritt 2: LINSECT (S , LEFT, RIGHT, VERT)

end DAC-Segmentschnitt

Ein/Ausg. Paare

Basisfälle:

Fall 1: S enthält nur ein Element s

Fall 1.1: $s = (x, y)$ ist ein linker Endpunkt

$$L = \{y\} \quad R = \emptyset \quad V = \emptyset$$

Fall 1.2: $s = (x, y)$ ist ein rechter Endpunkt

$$L = \emptyset; \quad R = \{y\}; \quad V = \emptyset$$

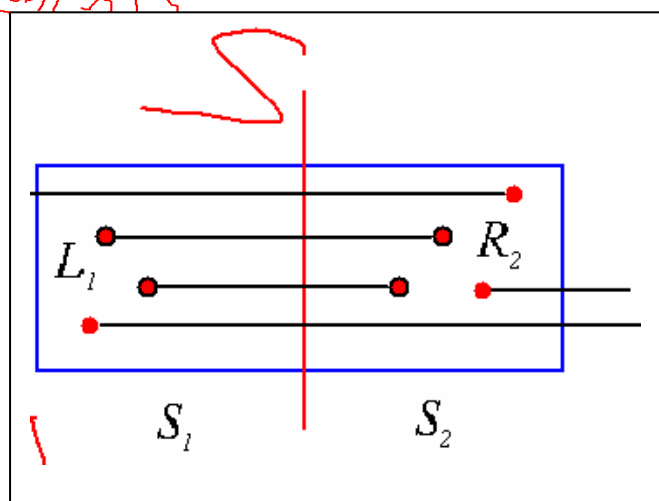
Fall 1.3: $s = (x_1, y_1, y_2)$ ist ein vertikales Segment

$$L = \emptyset \quad R = \emptyset \quad V = \{[y_1, y_2]\}$$

Fall 2: S enthält mehr als nur ein Element

Divide:

Wähle eine Koordinate x_m die S in zwei etwas gleichgroße Teilmengen S_1 und S_2 aufteilt.



Conquer:

$(L_1, R_1, V_1) = \text{SegSchnitt}(S_1)$

$(L_2, R_2, V_2) = \text{SegSchnitt}(S_2)$

Merge:

$L = L_2 \cup (L_1 \setminus I)$

$I = L_1 \cap R_2$

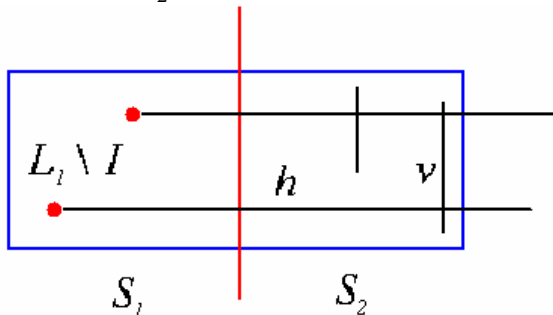
$R = R_1 \cup (R_2 \setminus I)$

$V = V_1 \cup V_2$

Ausgabe 1. :

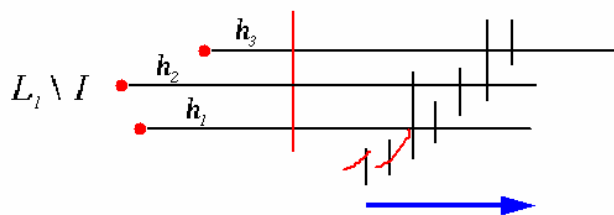
Gebe alle Paare von Segmenten (h,v) aus mit

- der linke Endpunkt von h ist in $L_1 \setminus I$ enthalten
- die y -Koordinate von h ist in v enthalten
- $v \in V_2$



Annahme:

- $L_1 \setminus I$ ist nach aufsteigenden y -Koordinaten sortiert
- V_2 ist nach aufsteigenden unteren Endpunkten sortiert



Ausgabe 2.:

Gebe alle Paare von Segmenten (h,v) aus mit

- Der rechte Endpunkt von h ist in $R_2 \setminus I$ enthalten
- Die y -Koordinate von h ist in v enthalten
- $v \in V_1$

Repräsentation der Mengen:

S – nach x Koordinaten sortiertes Array

L, R, I – nach y -Koordinaten sortierte verkettete Listen

V – nach der unteren Intervallgrenze sortierte, verkettete Liste von Intervallen

Analyse:

$$T(1) = O(1)$$

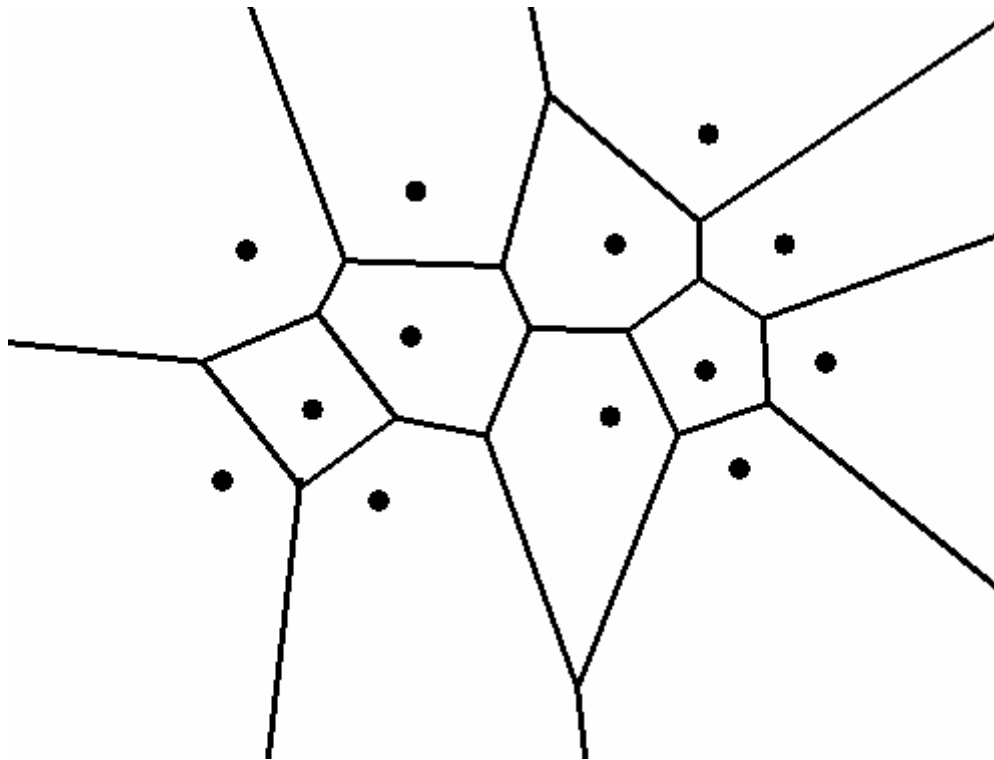
$$T(n) = O(1) + 2 T(n/2) + O(n), \text{ falls } n > 1 = O((n \log n) + k)$$

Das Voronoi Diagramm

Gutes Applet unter: <http://www.wpi6.fernuni-hagen.de/Geometrie-Labor/VoroGlide/>

Gegeben: Eine Menge von Punkten (sites)

Gesucht: Eine Unterteilung der Ebene in Regionen gleicher nächster Nachbarn



Lösung: Divide And Conquer

Divide:

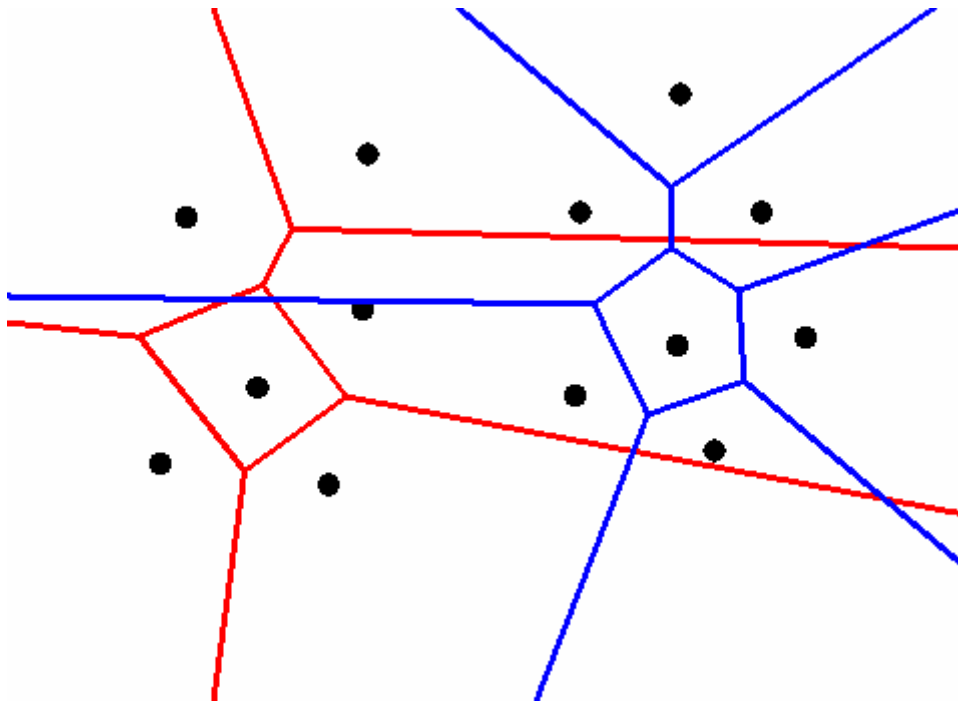
Einteilung der Punktmenge in zwei Hälften

Conquer:

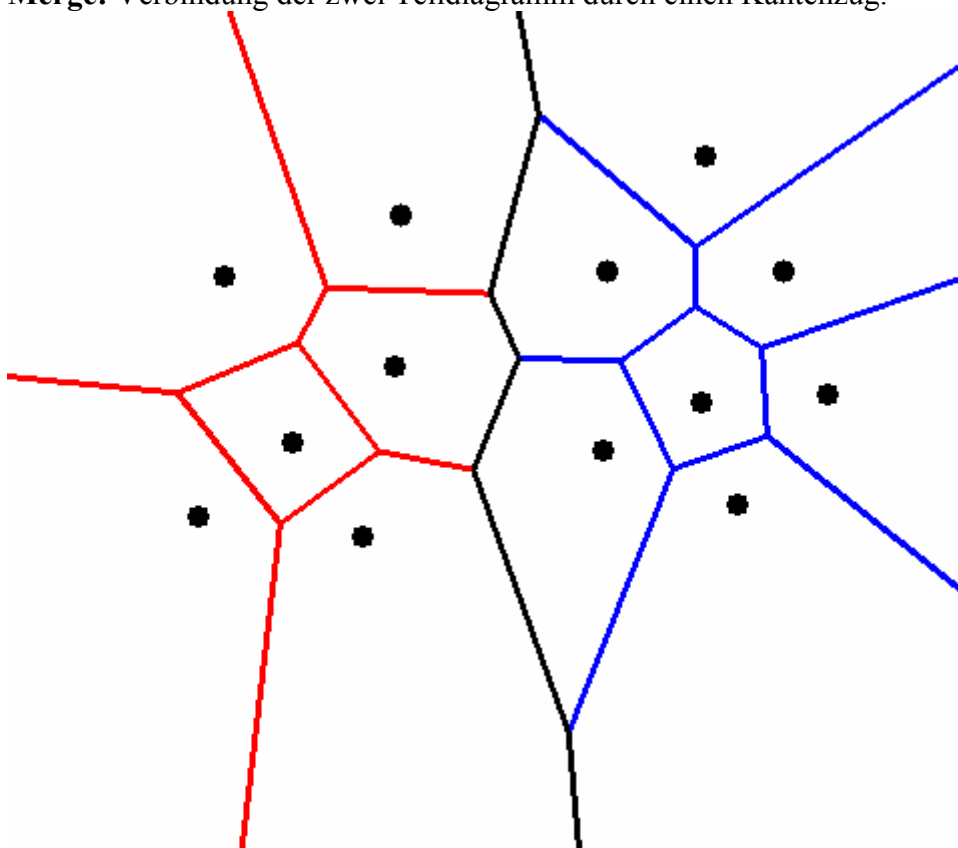
Rekursive Berechnung der beiden kleineren Voronoi Diagramme

Abbruchbedingung:

Voronoi Diagramm eines einzelnen Punktes ist die Gesamte Ebene



Merge: Verbindung der zwei Teildiagramm durch einen Kantenzug.



Beschreibung:

- Es wird oben im unendlichen begonnen.
- Man bildet die Senkrechte zu den beiden obersten Punkten, die genau in der Mitte der beiden Punkte liegt.
- Trifft man auf eine blaue oder eine rote Linie dann nimmt man entweder einen neuen blauen oder einen neuen roten Punkt aus einem offenen Gebiet, welches in Richtung

der anderen Farbe zeigt, um dort die Senkrechte erneut zwischen dem neuen (blauen oder roten Punkt) und dem dem alten roten bzw. blauen Punkt zu bilden.

- Die blaue bzw. rote Linie muss dann entsprechend abgeschnitten werden

Laufzeit: $O(n \log n)$

Vorlesung 2 – Fast Fourier Transformation (FFT)

Gegeben sei ein Polynom p mit Variablen x :

$$p(x) = a_n x^n + \dots + a_1 x^1 + a_0$$

Def.: Der Grad von p ist die höchste Potenz von p ($=n$)

Def.: $\mathbb{R}[x]$ ist die Menge aller reeller Polynome

Operationen die auf Polynomen angewandt werden können (mit Koeffizientendarstellung):

1. Addition zweier Polynome p und q :

Relativ einfach: Aufsummieren der korrespondierenden (mit gleicher Potenz) Koeffizienten

$$\begin{aligned} p(x) + q(x) &= (a_n x^n + \dots + a_0) + (b_n x^n + \dots + b_0) \\ &= (a_n + b_n) x^n + \dots + (a_1 + b_1) x^1 + (a_0 + b_0) \end{aligned}$$

dies geht in $O(n)$ Zeit

2. Multiplikation zweier Polynome p und q :

$$\begin{aligned} p(x)q(x) &= (a_n x^n + \dots + a_0)(b_n x^n + \dots + b_0) \\ &= c_{2n} x^{2n} + \dots + c_1 x^1 + c_0 \end{aligned}$$

$$\Rightarrow c_i = \sum_{j=0}^i a_j b_{j-i}, \quad i = 0, \dots, 2n.$$

$$a_{n+1} = \dots = a_{2n} = 0, \quad b_{n+1} = \dots = b_{2n} = 0$$

Problem: Wenn man zwei Polynome mit Grad n miteinander multipliziert, kommt ein Polynom mit Grad $2n$ heraus. Deshalb setzen wir die Koeffizienten von p und q die höher sind als n auf „0“.

Das Ganze geht naiv in $O(n^2)$ bzw. $O(n^{1.58})$

Man spricht bei $\mathbb{R}[x]$ von einem Polynomring
(Erfüllt die Voraussetzungen für einen math. Ring)

3. Auswerten eines Polynoms p an einer bestimmten Stelle x_0 mit dem „Horner Schema“

$$p(x_0) = (\cdots (a_n x_0 + a_{n-1}) x_0 + \cdots + a_1) x_0 + a_0$$

Dies geht in $O(n)$

Möglichkeiten zur Darstellung (Repräsentation) eines Polynoms

Koeffizientendarstellung:

$$p(x) = a_n x^n + \cdots + a_1 x^1 + a_0$$

Nullstellenprodukt:

$$p(x) = a_n (x - x_1) \cdots (x - x_n)$$

Punkt-/Wertdarstellung:

Dazu benötigen wir folgendes Lemma:

Jedes Polynom $p(x)$ aus $\mathbb{R}[x]$ vom Grad n ist eindeutig bestimmt durch $n+1$ Paare $(x_i, p(x_i))$ mit $i=0, \dots, n$ und $x_i \neq x_j$ für $i \neq j$

Beispiel:

Die Paare $(0,0), (1,6), (2,0), (3,0)$ legen das Polynom:

$p(x) = 3x(x-2)(x-3)$ eindeutig fest

(Das ist jetzt relativ einfach gewesen, da wir als Wertpaare 3 Nullstellen hatten, sonst nicht so einfach)

Operationen auf Polynomen mit Hilfe der Punkt/Wertdarstellung

$$p = (x_0, y_0), (x_1, y_1), \dots, (x_n, y_n)$$

$$q = (x_0, z_0), (x_1, z_1), \dots, (x_n, z_n)$$

Addition zweier Polynome p und q :

$$p + q = (x_0, y_0 + z_0), (x_1, y_1 + z_1), \dots, (x_n, y_n + z_n)$$

dies geht in $O(n)$

Produkt zweier Polynome p und q :

$$p \cdot q = (x_0, y_0 \cdot z_0), (x_1, y_1 \cdot z_1), \dots, (x_n, y_n \cdot z_n)$$

Voraussetzung $n \geq \text{Grad}(pq)$

Die geht in $O(n)$ (zum Vergleich bei der Koeffizientendarstellung dauerte es $O(n^2)$)

Auswertung an einer Stelle x'

Dazu muss man nun wieder in Koeffizientendarstellung umwandeln

Polynomprodukt unter Zuhilfenahme der Vorteile von beiden Darstellungen

Damit können wir die Berechnung des Polynomprodukt beschleunigen

Berechnung des Produkts zweier Polynome p und q
vom Grad $\leq n$

p, q Grad $n, n + 1$ Koeffizienten



Auswertung: x_0, x_1, \dots, x_{2n}

$2n + 1$ Punkt/Wertpaare $(x_i, p(x_i))$ und $(x_i, q(x_i))$



Punktweise Multiplikation

$2n + 1$ Punkt/Wertpaare $(x_i, pq(x_i))$



Interpolation

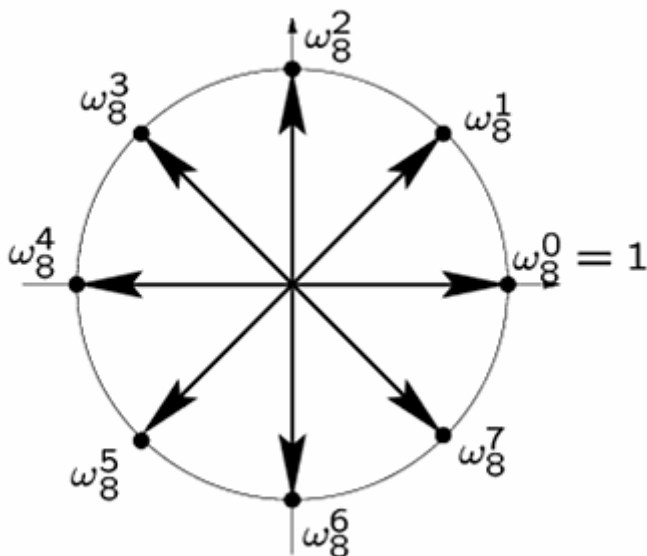
pq Grad $2n, 2n + 1$ Koeffizienten

Repräsentation von $p(x)$

Annahme: $\text{Grad}(p)=n-1$

Werte an den n Potenzen der n -ten komplexen Haupteinheitswurzel $\omega_n = e^{2\pi i/n}$

$$i = \sqrt{-1} \quad e^{2\pi i} = 1$$



Potenzen von ω_n (Einheitswurzeln):

$$1 = \omega_n^0, \omega_n^1, \dots, \omega_n^{n-1}$$

Diskrete Fourier Transformation (DFT)

Werte von p für die n Potenzen von w_n legen p eindeutig fest, falls $\text{Grad}(p) < n$

$$DFT_n(p) = (p(\omega_n^0), p(\omega_n^1), \dots, p(\omega_n^{n-1}))$$

Beispiel: $n = 4$

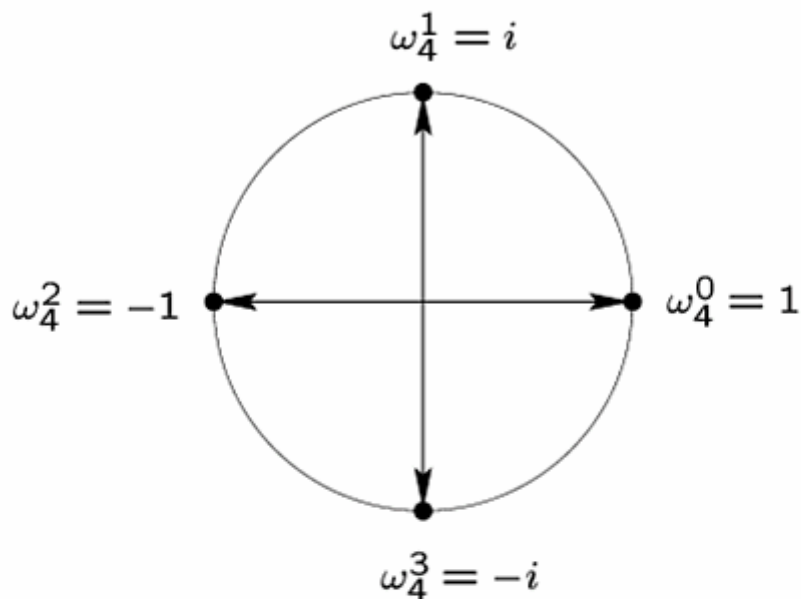
$$e^{ix} = \cos(x) + i(\sin(x))$$

$$\omega_4^0 = e^{0i} = \cos(0) + i \sin(0) = 1$$

$$\omega_4^1 = e^{2\pi i/4} = \cos(\pi/2) + i \sin(\pi/2) = i$$

$$\omega_4^2 = (e^{2\pi i/4})^2 = \cos \pi + i \sin \pi = -1$$

$$\omega_4^3 = (e^{2\pi i/4})^3 = \cos(3\pi/2) + i \sin(3\pi/2) = -i$$



$$p(x) = 3x^3 - 15x^2 + 18x$$

$$(\omega_4^0, p(\omega_4^0)) = (1, p(1)) = (1, 6)$$

$$(\omega_4^1, p(\omega_4^1)) = (i, p(i)) = (i, 15 + 15i)$$

$$(\omega_4^2, p(\omega_4^2)) = (-1, p(-1)) = (-1, -36)$$

$$(\omega_4^3, p(\omega_4^3)) = (-i, p(-i)) = (-i, 15 - 15i)$$

$$DFT_4(p) = (6, 15 + 15i, -36, 15 - 15i)$$

Diskurs: Eigenschaften von Einheitswurzeln

$\omega_n^0, \omega_n^1, \dots, \omega_n^{n-1}$ bilden eine **multiplikative Gruppe**

Kürzungslemma

Für alle $n > 0$, $0 \leq k \leq n$, und $d > 0$ gilt:

$$\omega_{dn}^{dk} = \omega_n^k$$

(wenn oben und unten der gleiche Wert d ist, kann man diesen kürzen)

Beweis (sehr intuitiv):

Oben haben wir gesehen, dass: $\omega_n = e^{2\pi i/n}$

Dies wenden wir nun an: $\omega_{dn}^{dk} = e^{2\pi i dk/(dn)} = e^{2\pi i k/n} = \omega_n^k$

Halbierungslemma

Die Menge der Quadrate der $2n$ komplexen $2n$ -ten Einheitswurzeln

$$\{(\omega_{2n}^0)^2, (\omega_{2n}^1)^2, \dots, (\omega_{2n}^{2n-1})^2\}$$

ist gleich der Menge der n komplexen n -ten Einheitswurzeln

$$\{\omega_n^0, \omega_n^1, \dots, \omega_n^{n-1}\}$$

Beweis: es gilt nach dem Kürzungslemma $(\omega_{2n}^k)^2 = \omega_{2n}^{2k} = \omega_n^k$
Angewendet auf jeden Eintrag erhalten wir die Menge der n komplexen n -ten Einheitswurzeln

Summationslemma

Für alle $n > 0$, $j \geq 0$ mit $n \nmid j$ gilt:

$$\sum_{k=0}^{n-1} \omega_n^{jk} = 0.$$

Dies kann man mit Hilfe der geometrischen Reihe beweisen

Fast Fourier Transformation (FFT)

Berechnung der Diskreten Fourier Transformation ($DFT_n(p)$) mit Hilfe des D&C Ansatzes

Wie können wir nun das Polynom geschickt aufteilen um D&C anwenden zu können:

Wir nehmen an n sei gerade:

$$\begin{aligned} p(x) &= a_0 + a_1x + \dots + a_{n-1}x^{n-1} \\ &= a_0 + a_2x^2 + \dots + a_{n-2}x^{n-2} + \\ &\quad a_1x + a_3x^3 + \dots + a_{n-1}x^{n-1} \\ &= a_0 + a_2x^2 + \dots + a_{n-2}(x^{(n-2)/2})^2 + \\ &\quad x(a_1 + a_3x^2 + \dots + a_{n-1}(x^{(n-2)/2})^2) \\ &= p_0(x^2) + xp_1(x^2) \end{aligned}$$

$$p_0(x) = a_0 + a_2x + \dots + a_{n-2}x^{(n-2)/2}$$

$$p_1(x) = a_1 + a_3x + \dots + a_{n-1}x^{(n-2)/2}$$

Wir teilen so auf, dass ein Teilpolynom nur aus geraden Monomen (p_0) besteht und das Andere nur aus ungeraden Monomen (p_1)

Auswertung für $k=0, \dots, n-1$

$$p(\omega_n^k) = p_0((\omega_n^k)^2) + \omega_n^k p_1((\omega_n^k)^2)$$
$$= \begin{cases} p_0(\omega_{n/2}^k) + \omega_n^k p_1(\omega_{n/2}^k), \\ \text{falls } k < n/2 \\ p_0(\omega_{n/2}^{k-n/2}) + \omega_n^k p_1(\omega_{n/2}^{k-n/2}), \\ \text{falls } k \geq n/2 \end{cases}$$

.2 Fälle

Beispiel:

$$p(\omega_4^0) = p_0(\omega_2^0) + \omega_4^0 p_1(\omega_2^0)$$

$$p(\omega_4^1) = p_0(\omega_2^1) + \omega_4^1 p_1(\omega_2^1)$$

$$p(\omega_4^2) = p_0(\omega_2^0) + \omega_4^2 p_1(\omega_2^0)$$

$$p(\omega_4^3) = p_0(\omega_2^1) + \omega_4^3 p_1(\omega_2^1)$$

Wertet man nun das Polynom aus, stellt man fest, dass bestimmte Teile doppelt vorkommen (rote Kreise). Deshalb kann man den Algorithmus an diesen Stellen verbessern. Zunächst zeigen wir aber nun den Divide and Conquer Ansatz ohne diese Verbesserung.

Berechnung der DFT im einzelnen:

$$DFT_n(p) = (p(\omega_n^0), p(\omega_n^1), \dots, p(\omega_n^{n-1}))$$

Der Basisfall (dann wenn nicht mehr geteilt wird) ist:

$n=1$ d.h. dass $\text{Grad}(p)=n-1=0$

Als Ergebnis erhalten wir dann $DFT_1(p) = a_0$

Sind wir nicht auf der Ebene des Basisfalls, dann:

Folgen weitere

„**Divide**“ - Schritte,

wir teilen also p weiter auf in p_0 und p_1

Im „**Conquer**“ Schritt folgt nun die rekursive Berechnung von $DFT_{n/2}(p_0)$ und $DFT_{n/2}(p_1)$

im anschließenden „Merge“ Schritt
werden die Teillösungen wieder zusammengefügt
berechne als für $k=0, \dots, n-1$

$$DFT_n(p)_k = (DFT_{n/2}(p_0), DFT_{n/2}(p_0))_k + \omega_n^k \cdot (DFT_{n/2}(p_1), DFT_{n/2}(p_1))_k$$

Eine kleine Verbesserung

Nun wenden wir die oben bereits angesprochene Verbesserung an:

$$p(\omega_n^k) = \begin{cases} p_0(\omega_{n/2}^k) + \omega_n^k p_1(\omega_{n/2}^k), & \text{falls } k < n/2 \\ p_0(\omega_{n/2}^{k-n/2}) + \omega_n^k p_1(\omega_{n/2}^{k-n/2}), & \text{falls } k \geq n/2 \end{cases}$$

$$= \begin{cases} p_0(\omega_{n/2}^k) + \omega_n^k p_1(\omega_{n/2}^k), & \text{falls } k < n/2 \\ p_0(\omega_{n/2}^{k-n/2}) - \omega_n^{k-n/2} p_1(\omega_{n/2}^{k-n/2}), & \text{falls } k \geq n/2 \end{cases}$$

Im 2. Fall haben wir nun eine Umformung, die das Ganze verbessert.

Also falls $k < n/2$

$$p_0(\omega_{n/2}^k) + \omega_n^k p_1(\omega_{n/2}^k) = p(\omega_n^k)$$

$$p_0(\omega_{n/2}^k) - \omega_n^{k-n/2} p_1(\omega_{n/2}^k) = p(\omega_n^{k+n/2})$$

Wir berechnen nun keine Werte mehr doppelt, denn wir können bereits berechnete Werte wieder verwenden (siehe Bild weiter oben)

Der 1. und der 2. Fall berechnen gleiche Teilterme, die wir uns zu Nutze machen können. Beim 2. Fall wird immer nur $n/2$ abgezogen, aber, da k größer ist als $n/2$, kommt der berechnete Wert eigentlich doppelt vor und kann somit wieder verwendet werden.

Beispiel für die verbesserte Variante:

$$\begin{aligned}
 p(\omega_4^0) &= p_0(\omega_2^0) + \omega_4^0 p_1(\omega_2^0) \\
 p(\omega_4^1) &= p_0(\omega_2^1) + \omega_4^1 p_1(\omega_2^1) \\
 p(\omega_4^2) &= p_0(\omega_2^0) - \omega_4^0 p_1(\omega_2^0) \\
 p(\omega_4^3) &= p_0(\omega_2^1) - \omega_4^1 p_1(\omega_2^1)
 \end{aligned}$$

Der fertige Algorithmus

Algorithmus *FFT*

Input: Ein Array a mit den n Koeffizienten eines Polynoms p und $n = 2^k$

Output: $DFT_n(p)$

```

1  if  $n = 1$  then /*  $p$  ist konstant */
2      return  $a$ 
3   $d^{[0]} = FFT((a_0, a_2, \dots, a_{n-2}), n/2)$ 
4   $d^{[1]} = FFT((a_1, a_3, \dots, a_{n-1}), n/2)$ 
5   $\omega_n = e^{2\pi i/n}$ 
6   $\omega_{nk} = 1$ 
7  for  $k = 0$  to  $n/2 - 1$  do
    /*  $\omega_{nk} = \omega_n^k$  */
8       $d_k = d_k^{[0]} + \omega_{nk} \cdot d_k^{[1]}$ 
9       $d_{k+n/2} = d_k^{[0]} - \omega_{nk} \cdot d_k^{[1]}$ 
10      $\omega_{nk} = \omega_n \cdot \omega_{nk}$ 
11 return  $d$ 

```

Ein komplettes Beispiel durchgerechnet:

$$p(x) = 3x^3 - 15x^2 + 18x + 0$$

$$a = [0, 18, -15, 3]$$

$$a^{[0]} = [0, -15]$$

$$a^{[1]} = [18, 3]$$

$$FFT([0, -15], 2) = [(-15, 0), (15, 0)]$$

$$FFT([18, 3], 2) = [(21, 0), (15, 0)]$$

$$k = 0: \quad \omega_{nk} = 1$$

$$d_1 = (-15, 0) + 1 \cdot (21, 0) = (6, 0)$$

$$d_3 = (-15, 0) - 1 \cdot (21, 0) = (-36, 0)$$

$$k = 1: \quad \omega_{nk} = i$$

$$d_2 = (15, 0) + i \cdot (15, 0) = (15, 15)$$

$$d_4 = (15, 0) - i \cdot (15, 0) = (15, -15)$$

$$FFT(a, 4) = [(6, 0), (15, 15), (-36, 0), (15, -15)]$$

Zeitanalyse des Algorithmus

$T(n)$ = Zeit um ein Polynom vom Grad $< n$ an den Stellen $\omega_n^0, \omega_n^1, \dots, \omega_n^{n-1}$ Auszuwerten.

$$T(1) = O(1)$$

$$\begin{aligned} T(n) &= 2T(n/2) + O(n) \\ &= O(n \log n) \end{aligned}$$

nun wollen wir unsere Punkt/Wert Darstellung wieder in die Koeffizientendarstellung bringen. Dazu benötigen wir die nun folgende Interpolation:

Interpolation

Gegeben sind die Punkt/Wert-Paare

$(x_0, y_0), \dots, (x_{n-1}, y_{n-1})$ mit $x_i \neq x_j$, für alle $i \neq j$

Gesucht ist das Polynom p mit den Koeffizienten a_0, \dots, a_{n-1} so dass

$$p(x_0) = a_0 + a_1 x_0 + \dots + a_{n-1} x_0^{n-1} = y_0$$

$$p(x_1) = a_0 + a_1 x_1 + \dots + a_{n-1} x_1^{n-1} = y_1$$

\vdots \vdots

$$p(x_{n-1}) = a_0 + a_1 x_{n-1} + \dots + a_{n-1} x_{n-1}^{n-1} = y_{n-1}$$

wir haben nun also ein Gleichungssystem mit n Gleichungen

Wir schreiben das Gleichungssystem als Matrix

$$\begin{pmatrix} 1 & x_0 & \dots & x_0^{n-1} \\ 1 & x_1 & \dots & x_1^{n-1} \\ & & \vdots & \\ 1 & x_{n-1} & \dots & x_{n-1}^{n-1} \end{pmatrix} \begin{pmatrix} a_0 \\ a_1 \\ \vdots \\ a_{n-1} \end{pmatrix} = \begin{pmatrix} y_0 \\ y_1 \\ \vdots \\ y_{n-1} \end{pmatrix}$$

Diese Matrix könnten wir leicht direkt lösen, aber in $O(n^3)$

Wir haben nun aber den Spezialfall, dass alle x_i Einheitswurzeln sind, das heisst es gilt:

$$x_i = \omega_n^i$$

Definition:

$$V_n = (\omega_n^{ij})_{i,j}, \quad a = (a_i), \quad y = (y_i)$$

V_n ist die Matrix aus den Einheitswurzeln

a sind die gesuchten Koeffizienten

y sind die Funktionswerte zu den Einheitswurzeln

um a zu berechnen können wir nun umformen nach folgender Regel

$$V_n a = y \quad \Rightarrow \quad a = V_n^{-1} y$$

Wir müssen nun also die Inverse von V_n berechnen, für diese gilt:

Für alle $1 \leq i, j \leq n-1$ gilt:

$$(V_n^{-1})_{ij} = \frac{\omega_n^{-ij}}{n}$$

Den zugehörigen Beweis überspringen wir hier ☺

Hinweis: $V_n \cdot V_n^{-1}$ muss die Einheitsmatrix ergeben, dies wird in dem Beweis geprüft.

Berechnen der a_i

$$\begin{aligned}
 a_i &= (V_n^{-1}y)_i \\
 &= \left(\frac{1}{n}, \frac{\omega_n^{-i}}{n}, \frac{\omega_n^{-2i}}{n}, \dots, \frac{\omega_n^{-i(n-1)}}{n} \right) \begin{pmatrix} y_0 \\ y_1 \\ \vdots \\ y_{n-1} \end{pmatrix} \\
 &= \sum_{k=0}^{n-1} y_k \frac{\omega_n^{-ik}}{n} \\
 &= \frac{1}{n} \sum_{k=0}^{n-1} y_k (\omega_n^{-i})^k
 \end{aligned}$$

$$a = \frac{1}{n} \left(\sum_{k=0}^{n-1} y_k (\omega_n^{-0})^k, \sum_{k=0}^{n-1} y_k (\omega_n^{-1})^k, \dots, \sum_{k=0}^{n-1} y_k (\omega_n^{-(n-1)})^k \right)$$

$$r(x) = y_0 + y_1x + y_2x^2 + \dots + y_{n-1}x^{n-1}$$

$$a = \frac{1}{n} \left(r(\omega_n^{-0}), r(\omega_n^{-1}), \dots, r(\omega_n^{-(n-1)}) \right)$$

a ist ein Vektor mit den Einträgen a_i für $i=0, \dots, n-1$

r ist ein Polynom mit den Koeffizienten y_i in welches als x jeweils die Einheitswurzel eingesetzt wird. Alle Summen wenden eigentlich die gleiche Funktion an und sind sogar gleich, wenn man die w weglässt, deshalb können wir die Funktion r nehmen und sie mit den Einheitswurzeln füttern. Damit erhalten wir den Vektor a mit den Koeffizienten a_i .

unser Teilterm (in der Klammer) ist nun im Prinzip eine DFT_n . die nur noch gespiegelt werden muss.

$$\omega_n^{-i} = \omega_n^{n-i} \quad \Rightarrow \quad a_i = \frac{1}{n} DFT_n(r)_{n-i} \quad (n \neq 0)$$

Komplexität

Berechnung des Produkts zweier Polynome p und q
vom Grad $< n$

p, q Grad $n - 1$, n Koeffizienten



Auswertung: $\omega_{2n}^0, \omega_{2n}^1, \dots, \omega_{2n}^{2n-1}$

$O(n \log n)$

$2n$ Punkt/Wertpaare $(\omega_{2n}^i, p(\omega_{2n}^i))$ und $(\omega_{2n}^i, q(\omega_{2n}^i))$



Punktweise Multiplikation

$O(n)$

$2n$ Punkt/Wertpaare $(\omega_{2n}^i, pq(\omega_{2n}^i))$



Interpolation

$O(n \log n)$

pq Grad $2n - 2$, $2n - 1$ Koeffizienten

$O(n \log n)$

Vorlesung 3 – Zufallszahlengeneratoren

- Rechner generieren nur Pseudo-Zufallszahlen
- Systemfunktionen wie rand oder RAND0 sind nicht so gut (\rightarrow Systemabhängigkeit, unbekannte statistische Eigenschaften)

Lineare Kongruenzmethode (Lehmer, 1951)

- Man spricht auch vom Lehmer-Generator

Z_0 Startwert

$Z_{n+1} = f(z_n)$, für $n=1,2,\dots$

$f(z) = a * z \bmod m$

Multiplikator: $a \in \{2, \dots, m-1\}$

Modul: m , (Große Primzahl)

Periode von f :

\rightarrow Anzahl verschiedener Werte für z_n

Reduktion auf $(0,1)$: $u_n = z_n/m$ (Erstellen einer Zufalls-zahl zwischen 0 und 1)

Beispiele:

$$f(z) = 6z \bmod 13$$

→ (1,6,10,8,9,2,12,7,3,5,4,11,1...) volle Periode (alle Zahlen von 1...12 abgedeckt)

$$f(z) = 7z \bmod 13$$

→ (1,7,10,5,9,11, 12,6,3, 8,4,2,1) volle Periode, aber Zahlen wirken nicht zufällig

$$f(z) = 5z \bmod 13$$

→ (1,5,12,8,1)

→ (2,10,11,3,2)

→ (4,7,9,6,4)

→ ($5^4 = 625 \rightarrow 625 \bmod 13 = 1 \rightarrow 5$ ist keine Primitivwurzel)

→ mehrere nicht volle Perioden → schlecht !

Beurteilung von Zufallszahlengeneratoren

Folgende Tests zur Beurteilung:

(T1) Ist $f(z) = a \cdot z \bmod m$ eine Funktion die eine volle Periode erzeugt (a muss eine Primitivwurzel sein)?

(T2) Ist die von $f(z)$ erzeugte Zahlenfolge (z_1, z_2, z_3, \dots) zufällig?

(T3) Ist f effizient und korrekt implementiert? (32-Bit Rechner)

Exkurs: Primitivwurzel

a ist eine Primitivwurzel, wenn: $a^n \bmod m \neq 1$ für alle $n \in 1, \dots, m-2$

Vorschlag von Lehmer:

$m = 2^{31} - 1 = 2.147.483.647$ ist eine Primzahl

$a = 7^5 = 16.807$ ist eine Primitivwurzel bzgl. m

Beispiel: $z_0 = 1 \rightarrow z_{10.000} = 1.043.618.065$ (Zum testen ob T3 erfüllt ist für Lehmers Vorschlag)

Der komplette Algorithmus als Java Code:

```
class randomNumber {
    final static int a = 16807; // 75
    final static int m = 2147483647; // 231 - 1

    private static int zn = 1;

    public static void setSeed (int seed) {
        zn = seed;
    }

    public static double rand () {
        zn = (a * zn) % m;
        return (double)zn / m;
    }
}
```

Dieser Algorithmus ist leider fehlerhaft, da $a \cdot z_n >$ als der Integerbereich ist, somit gibt es einen Überlauf:

$Z_0 = 16807$ $z_1 = 282475249$
 $Z_2 = 1622647863$ $z_3 = -1199696159$ (ÜBERLAUF!!!)

Problem ist, dass auf einem 32Bit Rechner nur Zahlen bis 2^{32} gespeichert werden können (Anmerkung: Ein Longint wird aus zwei Integern zusammengesetzt!)

Lösung des Problem mit Hilfe eines Vorschlags von Schrage

Vorschlag von Schrage (1979)

Korrekte, überlauffreie Ausführung der Operation auf ≥ 32 Bit Rechnern

Idee: Nur Multiplikationen ausführen die im Bereich $[-2^{31}, 2^{31}-1]$ liegen.

Dies wäre noch einfach falls $m=a \cdot q$ ist.

$Z_{n+1} = a \cdot z_n \bmod a \cdot q = a \cdot (z_n \bmod q) < m$;
(Stellt sicher, dass es innerhalb des Terms keinen Überlauf gibt)

Falls m sich nicht Restfrei durch a teilen lässt, schreiben wir:

$$m = a \cdot q + r \text{ mit } r < q$$

Durch etliche mathematische Umformungen und Substituieren erhält man nun:

$$z_{n+1} = \gamma(z_n) + m \cdot \delta(z_n)$$

wobei

$$\gamma(z_n) = a \cdot (z_n \bmod q) - r \cdot \lfloor z_n / q \rfloor$$

$$\delta(z_n) = \lfloor z_n / q \rfloor \cdot \lfloor a \cdot z_n / m \rfloor$$

Bedingungen:

- (1) $\delta(z_n) \in \{0,1\}$
- (2) $a \cdot (z_n \bmod q), r \cdot \lfloor z_n/q \rfloor \in \{0, \dots, m-1\}$ (Sind die zwei teilterme von Gamma)
- (3) $|\gamma(z_n)| \leq m-1$

Diese Bedingungen würden nun bewiesen werden

Beobachtung:

$\delta(z_n) = 0$, gdw. $\gamma(z_n) \geq 0$

$\delta(z_n) = 1$, gdw. $\gamma(z_n) < 0$

deshalb nehmen wir für $\gamma(z_n) \geq 0$

$$z_{n+1} = \gamma(z_n)$$

sonst $z_{n+1} = \gamma(z_n) + m$

Der modifizierte Lehmer Algorithmus sieht dann folgendermaßen aus:

Modifizierte Lehmer Algorithmus nach Schrage

```
class randomNumber2 {
    final static int a = 16807;           // 75
    final static int m = 2147483647;     // 231 - 1
    final static int q = 1277773;       // m / a
    final static int r = 2836;          // m % a

    private static int zn = 1;

    public static double rand () {
        int gamma = a * (zn % q) - r * (zn / q);

        if (gamma >= 0)
            zn = gamma;
        else zn = gamma + m;

        return (double)zn / m;
    }
}
```

Wir erhalten nun mit seed=1 folgende korrekte Pseudo-Zufallszahlen:

$z_0 = 16807,$
 $z_1 = 282475249,$
 $z_2 = 1622650073,$
 $z_3 = 984943658,$
 $z_4 = 1144108930,$
 $z_5 = 470211272$
 $z_6 = \dots$

Gemischt kongruente Generatoren

z.B.

$$z_{n+1} = (a \cdot z_n + b) \bmod m; \text{ Häufige Wahl } m=2^k$$

Probleme:

- z_n wechselt zwischen gerade und ungeraden Werten
- allgemein hat der Zyklus der letzten l Bits Periode 2^l

So wurde diese Algorithmus in Java implementiert:

```
synchronized protected int next (int bits) {  
    seed = (seed * 25214903917L + 11L) & ((1L << 48)  
        - 1);  
    return (int)(seed >>> (48 - bits));  
}
```

Satz:

Ist $m = 2^k$, so erzeugt

$$f(z_n) = z_{n+1} = (a \cdot z_n + b) \bmod m$$

alle ganzen Zahlen in $\{0, \dots, 2^k - 1\}$, falls:

1. $a \bmod 4 = 1$
2. b ungerade ist

Das gerade behandelte Thema können wir nun direkt anwenden im folgenden Teil.

Vorlesung 4 – Randomisierte Algorithmen

Es gibt zwei große Klassen von randomisierten Algorithmen:

1. **Las Vegas Algorithmen:** wahrscheinlich schnell, immer korrekt
 - ⇒ Wir haben nur einen Erwartungswert für die Laufzeit
 - ⇒ Beispiel: Randomisiertes Quicksort
2. **Monte Carlo Algorithmen:** immer schnell, Wahrscheinlich korrekt
 - ⇒ Der Algorithmus hat eine Irrtumswahrscheinlichkeit für die richtige Ausgabe (→ erhöhen durch mehrfaches Ausführen)
 - ⇒ Beispiel: Randomisierter Primzahltest

Randomisiertes Quicksort

Normaler Quicksort siehe Anfang .

Java-Code:

```
class quickSort {
    /* sortiert das Array a zwischen den Grenzen l und
       r */
    static void sort (sequence a[], int l, int r){
        if (r > l){
            int i = random(l,r);
            a.swap(i,r);
            i = divide(a,l,r);
            /* Teile a bzgl. v = a[r] auf:
               a[l],...,a[i-1] ≤ v ≤ a[i+1],...,a[r] */
            sort (a, l, i-1);
            sort (a, i+1, r);
        } // if (r > l)
    }
}
```

Der randomisierte Quicksort-Algorithmus unterscheidet sich vom normalen nur durch die Wahl des Pivotelementes. Das rechteste Element das normalerweise als Pivotelement gewählt wird, wird randomisiert, mit einem beliebigen anderen Element der Liste gewapt.

Erwartungswert für die Laufzeit:

$$\begin{aligned} T(n) &= \frac{1}{n} \sum_{k=1}^n (T(k-1) + T(n-k)) + \Theta(n) \\ &= O(n \log n) \end{aligned}$$

Randomisierter Primzahltest

Sehen wir uns zunächst die deterministische Variante an, die zwar immer korrekte Ergebnisse liefert, aber sehr langsam ist und für große Primzahlen nicht mehr praktikabel.

Der Algorithmus teilt einfach jede zu testende Zahl n durch alle ungeraden Zahlen die kleiner als $\text{SQRT}(n)$ sind.

Algorithmus Deterministischer Primzahltest

Input: eine ganze Zahl n

Output: Antwort auf die Frage: Ist n prim?

```
if  $n = 2$  then return true
if  $n$  gerade then return false
for  $i = 1$  to  $\sqrt{n}/2$  do
    if  $2i + 1$  teilt  $n$ 
        then return false
return true
```

Die Laufzeit für ein d -stelliges n ist $2^{d/2}$ bzw. lineare Laufzeit

Wir suchen nun ein randomisiertes Verfahren, das:

- In polynomieller Zeit ausführbar ist,
- Falls es als Ausgabe „ n nicht prim“ liefert, dann soll n auch nicht prim sein
- Falls es als Ausgabe „ n ist prim“ liefert, dann soll n zu einer bestimmten Wahrscheinlichkeit $p > 0$ auch prim sein.
⇒ Nach k Iterationen ist n nicht prim zu einer Irrtumswahrscheinlichkeit von $(1-p)^k$

Ein wesentlicher theoretischer Bestandteil des randomisierten Primzahltestes ist der „kleine Satz von Fermat“:

Kleiner Fermat

Ist p prim und $0 < a < p$, dann ist $a^{p-1} \equiv 1 \pmod{p}$

Beispiel: $p=67$, $2^{66} \bmod 67 = 1$

Integrieren wir nun den kleinen Satz von Fermat in einen randomisierten Primzahltest, so erhalten wir folgende 1. Version eines Algorithmus:

Algorithmus Randomisierter Primzahltest 1

```
1   Wähle  $a$  im Bereich  $[1, n - 1]$  zufällig
2   Berechne  $a^{n-1} \bmod n$ 
3   if  $a^{n-1} \bmod n \neq 1$ 
4       then  $n$  ist definitiv nicht prim
5       else  $n$  ist möglicherweise prim
```

leider haben wir noch eine relativ große Irrtumswahrscheinlichkeit.

Ein weiteres Problem, das wir haben sind die so genannten Carmichael Zahlen:

Carmichael Zahlen

Carmichael Zahlen sind Zahlen n für die gilt:

- Der Formel von Fermat ist zwar erfüllt:
 - $a^{n-1} \bmod n = 1$
 - aber n ist die Zahl die wir testen ! und ist nicht zwingend prim

denn

- a ist Teilerfremd mit n , also:
 - $\text{ggT}(a, n) = 1$

solche Zahlen die vermeintliche Primzahlen sind, nennt man Carmichael Zahlen.

Die kleinste Carmichael Zahl ist $561 = 3 * 11 * 17$. Wählt man nun das a also so aus, dass es gerade nicht Primfaktor oder Vielfaches von diesem von n ist, dann erhalten wir ein falsches Ergebnis. Die Wahrscheinlichkeit ein falsches a zu wählen ist sehr hoch.

Beispiel: $n = 3.828.001 = 101 * 151 * 251$

Außer für vielfache von 101, 151, 251 die leider nur ca. 1/50 stel aller möglichen Zahlen sind, ist

$$a^{n-1} \bmod n = 1$$

wir wissen nun, das ein randomisierter Primzahltest alleine mit dem Satz von Fermat nicht gut genug ist, da die Irrtumswahrscheinlichkeit nahezu 1 ist !

wir müssen nun die erste Bedingung, also den Satz von Fermat, mit einer zweiten Bedingung kombinieren, hierzu testen wir nun zusätzlich auf „nichttriviale Quadratwurzeln“.

Satz über nichttriviale Quadratwurzeln

Ist p prim und $0 < a < p$, dann hat die Gleichung $a^2 \equiv 1 \pmod{p}$ genau die Lösungen: $a = 1$ und $a = p-1$

Falls $a^2 \bmod n = 1$ gilt, obwohl $a \neq 1$ und $a \neq p-1$, dann heisst a „nichttriviale Quadratwurzel mod n “

Beispiel $n = 35$

$$1^2 \equiv 1 \pmod{35}$$

$$34^2 \equiv 1 \pmod{35}$$

aber

$$6^2 \equiv 1 \pmod{35} \rightarrow 6 \text{ ist „Nichttriviale Quadratwurzel mod } 35\text{“}$$

wir müssen nun herausfinden ob es überhaupt eine „Nichttriviale Quadratwurzel mod n gibt. Die machen wir während wir a^{n-1} berechnen:

Schnelle Exponentiation (Berechnung von a^n)

$$0 < a < n$$

Fall 1: [n ist gerade]

$$a^n = a^{n/2} \cdot a^{n/2}$$

Fall 2: [n ist ungerade]

$$a^n = a^{(n-1)/2} \cdot a^{(n-1)/2} \cdot a$$

Beispiel:

$$a^{62} = (a^{31})^2$$

$$a^{31} = (a^{15})^2 \cdot a$$

$$a^{15} = (a^7)^2 \cdot a$$

$$a^7 = (a^3)^2 \cdot a$$

$$a^3 = (a)^2 \cdot a$$

Laufzeit: $O(\log^2 a^n \log n)$

Im Java-Code sieht die Kombination dann so aus:

```
private static boolean isProbablyPrime;

private static int power (int a, int p, int n) {
    /* berechnet  $a^p \bmod n$  und prüft, ob bei der
       Berechnung ein  $x$  auftritt mit  $x^2 \bmod n = 1$  und
        $x \neq 1, n-1$  */

    if (p == 0) return 1;

    int x = power(a, p / 2, n);
    int result = (x * x) % n;

    /* prüfe, ob  $x^2 \bmod n = 1$  und  $x \neq 1, n-1$  */
    if (result == 1 && x != 1 && x != n-1)
        isProbablyPrime = false;

    if (p % 2 == 1) result = (a * result) % n;

    return result;
}
```

Wir haben nun eine Laufzeit von: $O(\log^2 n \log p)$ für diesen Teil

Der gesamt randomisierte Primzahltest-Algorithmus mit beiden Bedingungen, d.h. Fermat und nichttriviale Quadratwurzeln sieht in Java nun so aus:

```

public static boolean primeTest (int n) {
    /* führt den randomisierten Primzahltest für ein
       zufälliges a aus */

    int a = random(2,n-1);

    isProbablyPrime = true;

    int result = power(a,n-1,n);

    if (result ≠ 1 || !isProbablyPrime)
        return false;
    else return true;
}

```

(auf unsere Powerfunktion von oben wird im Hauptprogramm zugegriffen)

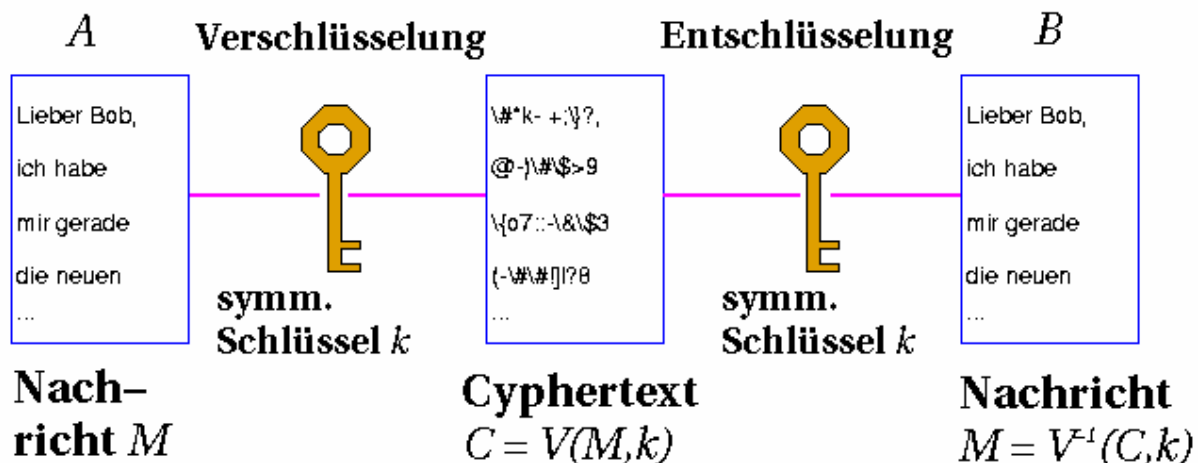
Folgender wichtiger Satz beschreibt die Irrtumswahrscheinlichkeit unseres Primzahltests:

Satz: Ist n nicht prim, so gibt es höchstens $(n-9)/4$ Zahlen $0 < a < n$, für die der Algorithmus `primeTest` versagt.

⇒ Also ca. $1/4$, führt man den Algorithmus aber z.B. 50 mal aus so reduziert sich die Irrtumswahrscheinlichkeit auf $(1/4)^{50}$, also nahezu 0, oder besser gesagt niedriger als die Wahrscheinlichkeit für einen Hardwarefehler beim Rechnen.

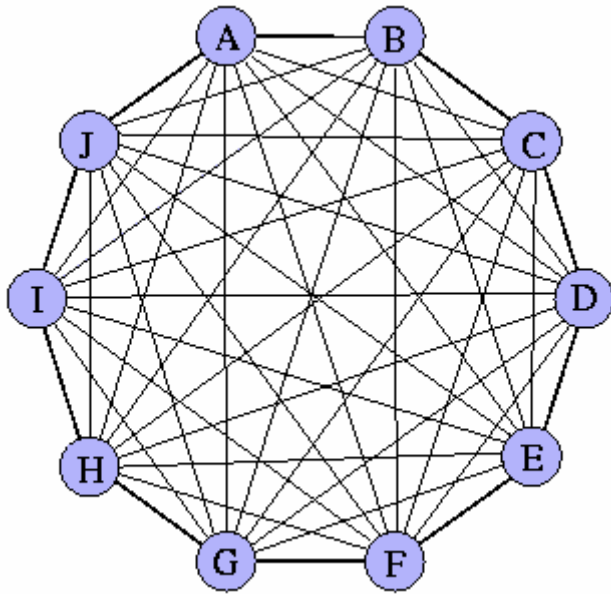
Vorlesung 5 – Kryptographie: RSA

Traditionelle Verschlüsselung mit symmetrischem Schlüssel:



Probleme:

- Schlüssel müssen irgendwann ausgetauscht werden!
- Für Nachrichten zwischen n Parteien sind $n(n-1)/2$ Schlüssel erforderlich



Jede Kante repräsentiert einen Schlüssel

Vorteile:

- Ver- und Entschlüsselung ohne spürbaren Geschwindigkeitsverlust möglich

Aufgaben von Sicherheitsdiensten:

Gewährleistung von

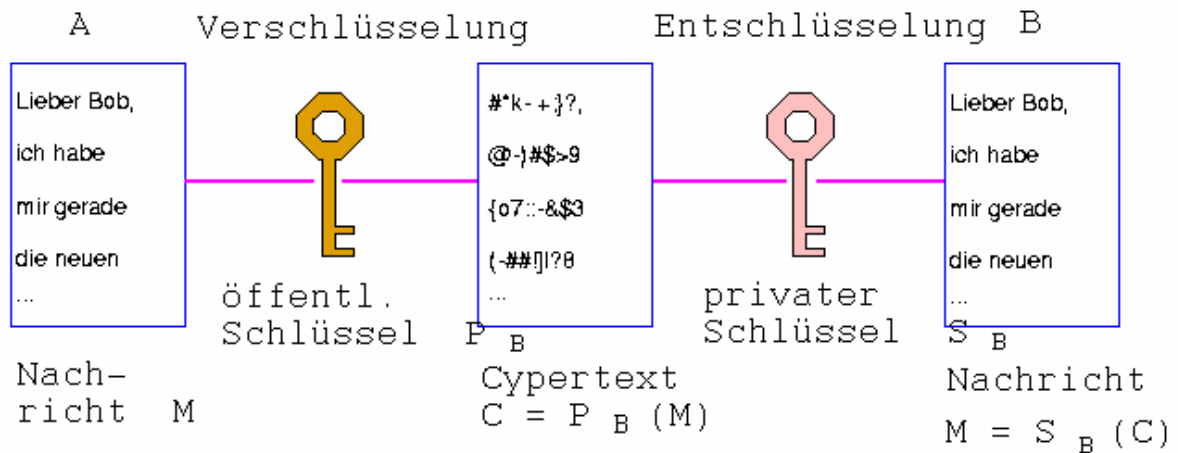
- Vertraulichkeit der Übertragung (Vor fremdem Einblick zu schützen)
- Integrität der Daten (Dass die Daten so ankommen wie sie gesendet wurden)
- Authentizität des Senders (Ist der Sender der für den er sich ausgibt)
- Verbindlichkeit der Übertragung (Durch digitale Signatur wird eine Nachricht verbindlich gemacht)

Public Key Verschlüsselungssysteme

Idee erstmals vorgestellt von Diffie Hellmann (1976), aber ohne genaue Angaben zu machen, wie das funktionieren soll.

Idee: Jeder Teilnehmer A besitzt zwei Schlüssel

1. einen *öffentlichen Schlüssel* P_A (Public Key), der jedem anderen Teilnehmer zugänglich gemacht wird.
2. einen *geheimen Schlüssel* S_A (Secret/Private Key), der nur A bekannt ist



D = Menge der zulässigen Nachrichten , z.B. Menge aller Bitstrings endl. Länge

$$P_A(), S_A() : D \xrightarrow{1-1} D$$

Es gelten drei Bedingungen

1. $P_A(), S_A()$ muss effizient berechenbar sein
2. $P_A(S_A(M)) = M$ und $S_A(P_A(M)) = M$
3. $S_A()$ nicht aus 2ter Bedingung Berechenbar (in realisierbarer Zeit)

A verschickt eine Nachricht M an B:

1. A verschafft sich B's öffentlichen Schlüssel P_B , von einem öffentlichen Verzeichnis oder direkt von B
2. A berechnet die chiffrierte Nachricht $C = P_B(M)$ und sendet C an B
3. Nachdem B die Nachricht C empfangen hat, dechiffriert B die Nachricht mit seinem privaten Schlüssel S_B : $M = S_B(C)$

Erstellen einer digitalen Signatur - Prinzip

A schickt eine digital unterzeichnete Nachricht M' an B

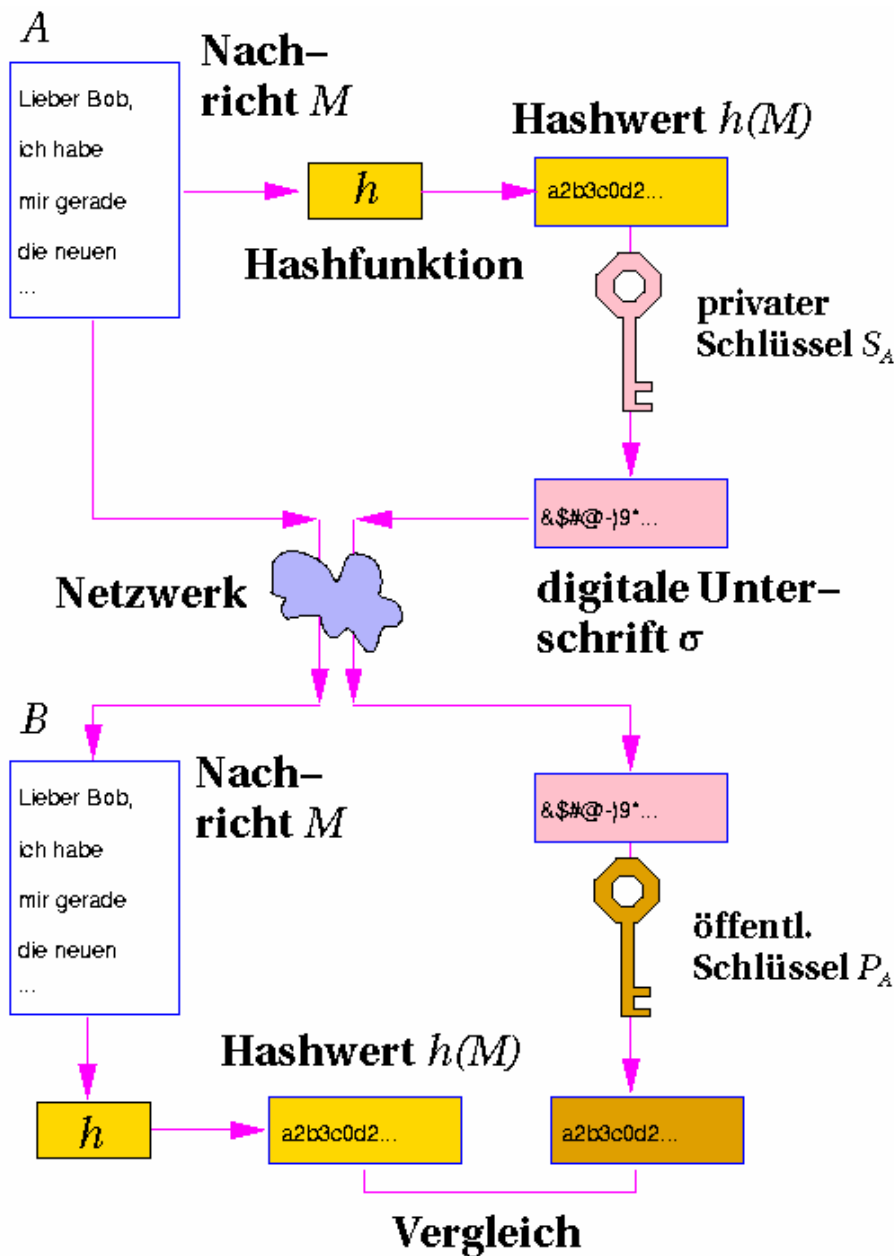
1. A berechnet die digitale Unterschrift σ für M' mit Hilfe des geheimen Schlüssels:

$$\sigma = S_A(M')$$

2. A schickt das Paar (M', σ) an B
3. Nach Erhalt von (M', σ) überprüft B die digitale Signatur $P_A(\sigma) = M'$

σ kann von jedem mit P_A überprüft werden

Erstellen einer digitalen Signatur



RSA Verschlüsselungssysteme

R. Rivest, A. Shamir, L. Adleman

Erstellen der öffentlichen und geheimen Schlüssel:

1. Man wählt zufällig zwei große Primzahlen p und q (sehr groß: $\log_p \sim 200$)
 2. sei $n = pq$
 3. sei e eine kleine natürliche Zahl, die Teilerfremd zu $(p-1)(q-1)$ ist
 4. berechne $d = e^{-1}$
- $$d \cdot e \equiv 1 \pmod{(p-1)(q-1)}$$
5. veröffentliche $P = (e, n)$ als öffentlichen Schlüssel
 6. behalte $S = (d, n)$ als geheimen Schlüssel

$$C = P(M) = M^e \pmod{n} \quad S(C) = C^d \pmod{n}$$

Ein kurzer Korrektheitsbeweis schliesst das nun ab

Beispiel:

Man wähle zwei Primzahlen p und q :

$$p = 17, q = 23$$

$$\Rightarrow n = pq = 391$$

$$\Rightarrow (p-1)(q-1) = 16 \cdot 22 = 2^5 \cdot 11 = 352$$

Wähle ein e , welches Teilerfremd zu $(p-1)(q-1)$ ist:

z.B.

$$e = 3 \text{ die Multiplikative Inverse zu } e \text{ ist } d = 235$$

(Für die Multiplikative Inverse muss gelten $3 \cdot 235 = 705 \equiv 1 \pmod{352}$)

Die Schlüssel sind nun:

$$P = (3, 391)$$

$$S = (235, 391)$$

Diskurs – Multiplikative Inverse:

Betrachten wir nun die Berechnung der Multiplikativen Inversen genauer:

Satz: (ggT Rekursionssatz)

Für alle ganze Zahlen a und b mit $b > 0$ gilt:

$$\text{ggT}(a, b) = \text{ggT}(b, a \bmod b)$$

Algorithmus Euklid

Input: Zwei ganze Zahlen a und b mit $b \geq 0$

Output: $\text{ggT}(a, b)$

- 1 **if** $b = 0$
- 2 **then return**(a)
- 3 **else return**($\text{Euklid}(b, a \bmod b)$)

Algorithmus erweiterter Euklid

Input: Zwei ganze Zahlen a und b mit $b \geq 0$

Output: $\text{ggT}(a, b)$ und zwei ganze Zahlen x und y
mit $xa + yb = \text{ggT}(a, b)$

- 1 **if** $b = 0$
- 2 **then return**($a, 1, 0$)
- 3 $(d, x', y') := \text{Erw-Euklid}(b, a \bmod b)$
- 4 $x := y'; y := x' - \lfloor a/b \rfloor y'$
- 5 **return**(d, x, y)

Seien

$$a = e, b = (p-1)(q-1)$$

Es wird nun mittels des Algorithmus berechnet:

$xa + yb = \text{ggT}(a,b) = \text{ggT}(e, (p-1)(q-1)) = 1$, da wir e Teilerfremd zu $(p-1)(q-1)$ gewählt haben

$$\Leftrightarrow x \cdot a \equiv 1 \pmod{(p-1)(q-1)}$$

Somit ist x unsere gesuchte Multiplikative Inverse

Nun käme ein Korrektheitsbeweis zum erweiterten Euklid. Algorithmus

Beispiel für Multiplikative Inverse

$$x = y'$$

$$y = x' - \lfloor a/b \rfloor y'$$

$$a = 99, \quad b = 78$$

a	b	$\lfloor a/b \rfloor$	d	x	y
99	78	1	3	-11	$3 - 1 \cdot \dots$
78	21	3	3	3	$-2 - 3 \cdot 3 = -11$
21	15	1	3	-2	$1 - 1 \cdot (-2) = 3$
15	6	2	3	1	$0 - 2 \cdot 1 = -2$
6	3	2	3	0	$1 - 2 \cdot 0 = 1$
3	0	-	3	1	0

Zuerst werden die a 's und b 's alle berechnet (von oben nach unten), danach die x 's und y 's (von unten nach oben). ACHTUNG: d ist hier nicht die Multiplikative Inverse wie zuvor !!!

Anmerkung: Das Beispiel hat nicht direkt was mit dem RSA zu tun, es werden einfach nur der ggT von a und b berechnet und danach die x und y dazu berechnet so dass gilt $xa + yb = \text{ggT}(a,b)$

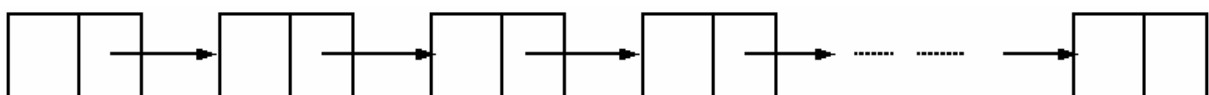
Wählt man ein korrektes ($a=$) e und ($b=$) $(p-1)(q-1)$, so ist der $\text{ggT}(a,b) = d = 1$

Dann erhält man x als Multiplikative Inverse

Vorlesung 6 – Randomisierte Datenstrukturen

Mögliche Implementierungen von Wörterbüchern:

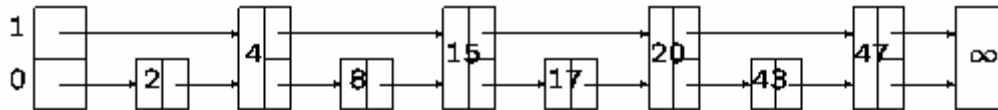
- Verkettete Lineare Listen
 \Leftrightarrow Suchen, Einfügen, Entfernen in $O(n)$ Schritten



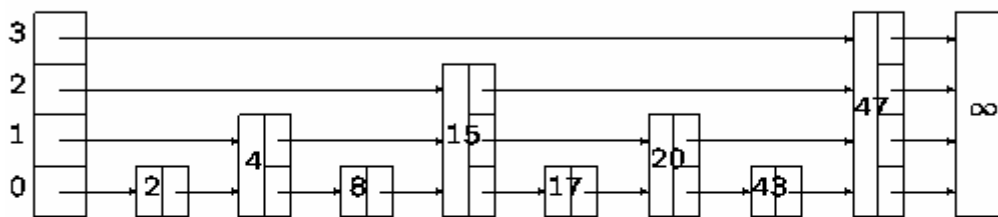
- (Balancierte) Suchbäume
 ⇒ Suchen, Einfügen, Entfernen in $O(\log n)$ Schritten

Perfekte Skiplisten

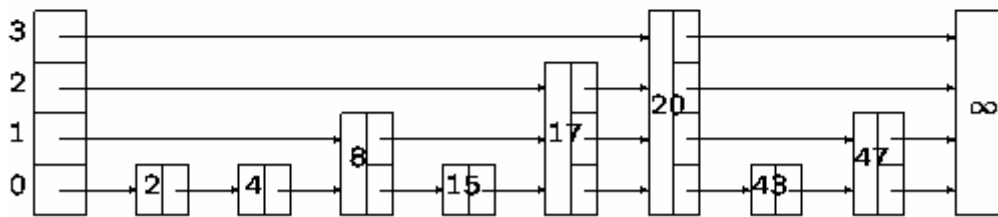
Idee: Hinzufügen von zusätzlichen Zeigern in die Liste um die Suche in der sortierten Liste zu beschleunigen



(a)



(b)



(c)

- (a) Beispiel für eine Skipliste mit Höhe 1 (2 Ebenen). In der zweiten Ebene wird nur jedes zweite Element angelinkt, d.h. die Suchgeschwindigkeit verdoppelt sich !
- (b) Perfekte Skipliste mit Höhe $O(\log n)$
- (c) Randomisierte Skipliste: Die Niveaus werden nicht strickt nach Regel gesetzt, sondern „ausgewürfelt“

Die Head und Tail Elemente werden auf einen sehr niedrigen Wert (z.B. $-\infty$) bzw. einen sehr hohen Wert (z.B. $+\infty$) gesetzt.

Def. Eine Perfekte Skipliste ist nun eine sortierte verkettet gespeicherte Liste mit Kopfelement ohne Schlüssel und Endelement mit Schlüssel ∞ und:

- Jeder 2^0 -te Knoten hat Zeiger auf nächsten Knoten auf Niveau 0
- Jeder 2^1 -te Knoten hat Zeiger auf 2^1 -entfernten Knoten auf Niveau 1
- Jeder 2^2 -te Knoten hat Zeiger auf 2^2 -entfernten Knoten auf Niveau 2
-
- Jeder 2^k -te Knoten hat Zeiger auf 2^k -entfernten Knoten auf Niveau k

$$k = \lceil \log n \rceil - 1$$

Die Anzahl der Zeiger in einer perfekten Skipliste halbiert sich in jeder Ebene, die Summe daraus entspricht der geometrischen Reihe, die gegen 2 konvergiert. Wir erhalten also $2n$ Zeiger.

Die Listenhöhe ist $\log n$

⇒ Die Anzahl der Zeiger pro Listenelement ist höchstens $\log n$, nämlich dann wenn ein Element an einer Stelle mit Höhe $\log n$ steht

Datenstruktur zur Repräsentation eines Knotens aus der Liste (Java Code)

```
class skipListNode {
    /* Knotenklasse für Skip-Listen */

    protected int key;
    protected Object information;

    protected skipListNode [] next;

    /* Konstruktor */
    skipListNode (int key, int height) {
        this.key = key;
        this.next = new skipListNode [height+1];
    }
}
```

Datenstruktur zum Erstellen einer (noch) leeren Skiplist (Java Code)

```

class skipList {
    /* Implementiert eine Skip-Liste */

    public int maxHeight = 0;    // Max. Höhe der Liste

    private skipListNode head;  // Kopf der Liste
    private skipListNode tail;  // Ende der Liste

    private int height;        // Akt. Höhe der Liste

    private skipListNode[] update; // Hilfsarray

    /* Konstruktor */
    skipList (int maxHeight) {
        this.maxHeight = maxHeight;
        height = 0;

        head = new skipListNode (Integer.MIN_VALUE,
                                 maxHeight);
        tail = new skipListNode (Integer.MAX_VALUE,
                                 maxHeight);
        for (int i = 0; i <= maxHeight; i++)
            head.next[i] = tail;

        update = new skipListNode[maxHeight+1];
    }
}

```

Algorithmus zum Suchen in Skip-Listen (Java Code)

```

public skipListNode search (int key) {
    /* liefert den Knoten p der Liste mit p.key = key,
       falls es ihn gibt, und null sonst */

    skipListNode p = head;

    for (int i = height; i >= 0; i--)
        /* folge den Niveau-i Zeigern */
        while (p.next[i].key < key) p = p.next[i];

    /* p.key < x <= p.next[0].key */

    p = p.next[0];
    if (p.key == key && p != tail) return p;
    else return null;
}

```

Das Suchen in der Liste geht in $O(\log n)$ Zeit, aber

Einfügen und Entfernen bei perfekten Skiplisten benötigt $\Omega(n)$ Zeit, weil die gesamte Struktur nach jedem Einfüge- bzw. Entfernenprozess neu generiert werden muss, damit diese Liste wieder perfekt ist !

⇒ **Randomisierung**

Randomisierte Skiplisten

Besonderheiten:

- Aufgabe der starren Verteilung der Höhen der Listenelemente (Keine starre Struktur mehr)
- Aber der Anteil der Elemente mit gleicher Höhe wird beibehalten (Randomisierung durch Münze werfen - später)
- Höhen werden gleichmäßig und zufällig über die Liste verteilt

Einfügen in „Randomisierte Skiplisten“

Einfügen von k:

1. Suchen der Einfügeposition von k. Die Suche endet bei dem größten Knoten q der gerade noch kleiner ist als k.
2. Füge neuen Knoten p mit Schlüssel k und *zufällig gewählter Höhe* nach Knoten q ein
3. Wähle die Höhe von p so, dass für alle i gilt:

$$P(\text{Höhe von } p = i) = \frac{1}{2^{i+1}}$$

4. Sammle alle Zeiger, die über die Einfügestelle hinweg weisen in einem Array und verkette alle Nachbarn mit Niveau $\leq i$ mit p. (Anmerkung: Der Satz war auf der Folie so kompliziert und wohl auch falsch geschrieben, dass man ihn nicht kapiert, für die Richtigkeit dieses Satze übernehmen wir keine Haftung)

Der zugehörige Algorithmus zum Einfügen (in Java Code)

```

public void insert (int key) {
    /* fügt den Schlüssel key in die Skip-Liste ein */

    skipListNode p = head;
    for (int i = height; i >= 0; i--) {
        while (p.next[i].key < key) p = p.next[i];
        update[i] = p;
    }

    p = p.next[0];
    if (p.key == key) return; // Schlüssel vorhanden

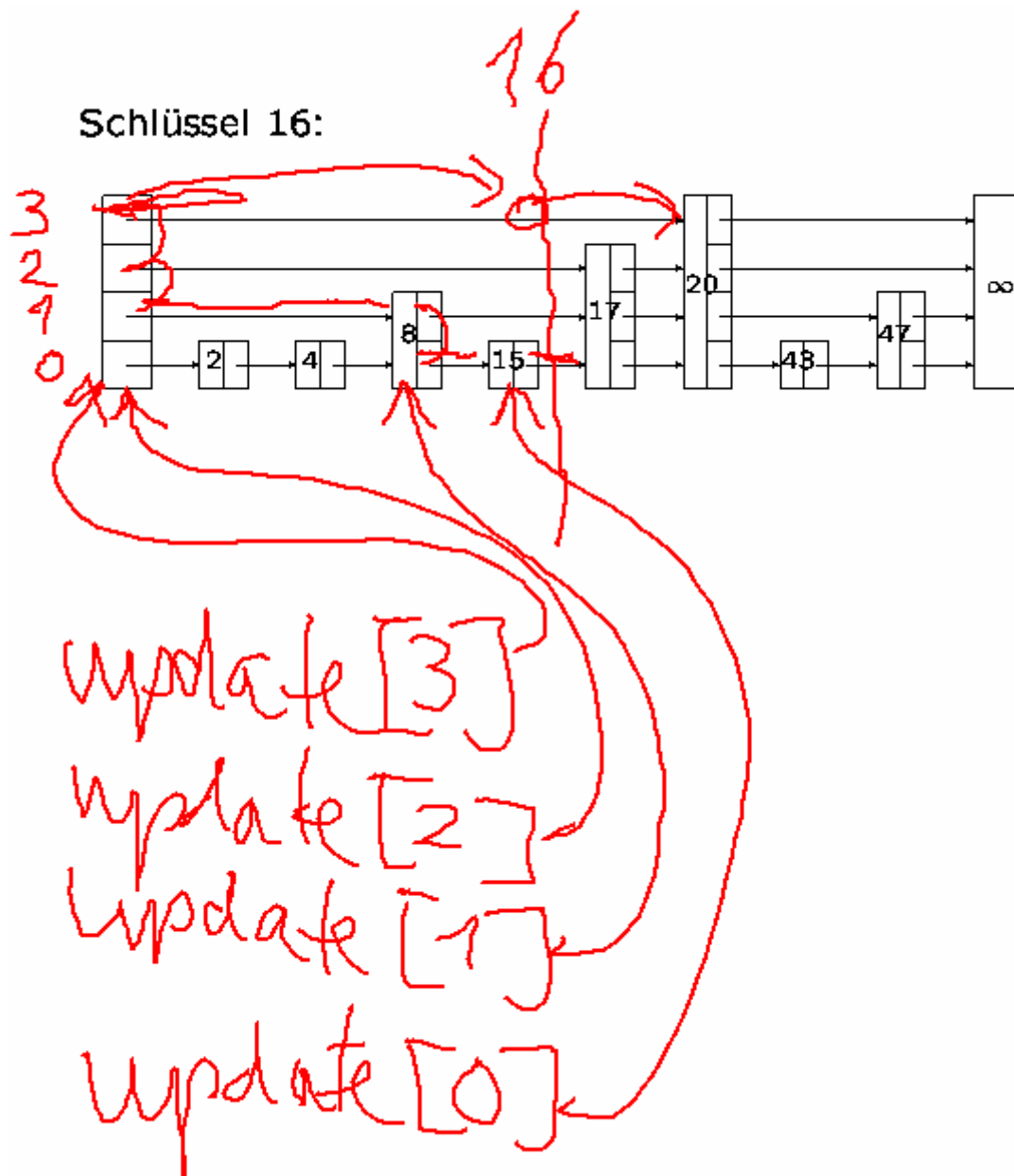
    int newheight = randheight ();
    if (newheight > height) {
        /* Höhe der Skip-Liste anpassen */
        for (int i = height + 1; i <= newheight; i++)
            update[i] = head;
        height = newheight;
    }

    p = new skipListNode (key, newheight);

    for (int i = 0; i <= newheight; i++) {
        /* füge p in Niveau i nach update[i] ein */
        p.next[i] = update[i].next[i];
        update[i].next[i] = p;
    }
}

```

Beispiel für das Einfügen in eine randomisierte Skipliste:
Mit Angabe des Updatearrays (siehe unverständlicher Satz oben)



Einfügen geht nun in gleicher Zeit wie Suchen, also $O(\log n)$, weil die Zeigerupdates in konstanter Zeit gehen, wir müssen also im Prinzip nur noch suchen.

Das Erzeugen der randomisierten Höhen ist nun nur noch ein kleines Problem. Man kann sich dabei einfach vorstellen eine Münze zu werfen. Jedesmal wenn ein Kopf kommt, dann wird die Höhe um eins erhöht, ansonsten wird abgebrochen, also die Höhe für das Element beibehalten. Für das Niveau 0 haben wir dann also Wahrscheinlichkeit $\frac{1}{2}$ für Niveau 1 haben wir $\frac{1}{4}$ und für Niveau 2 haben wir $\frac{1}{8}$ usw...

Der zugehörige

Algorithmus zum randomisierten Erzeugen von Höhen

sieht dann so aus:

```

private int randheight () {
    /* liefert eine zufällige Höhe zwischen 0 und
       maxHeight */

    int height = 0;

    while (rand () % 2 == 1 && height < maxHeight)
        height++;

    return height;
}

```

$$P(\text{randheight} = i) = \frac{1}{2^{i+1}}$$

Entfernen eines Schlüssel aus einer randomisierten Skipliste

1. Suche erfolgreich nach k
2. Entferne Knoten p mit p.key aus allen Niveau i Listen, mit $0 \leq i \leq$ Höhe von p, und adjustiere ggf. die Listenhöhe

Zugehöriger Algorithmus (in Java Code)

```

public void delete (int key) {
    /* entfernt den Schlüssel key aus der Skip-Liste */
    skipListNode p = head;
    for (int i = height; i >= 0; i--) {
        /* folge den Niveau-i Zeigern */
        while (p.next[i].key < key) p = p.next[i];
        update[i] = p;
    }

    p = p.next[0];
    if (p.key != key) return; /* Schlüssel nicht
                               vorhanden */

    for (int i = 0; i < p.next.length; i++) {
        /* entferne p aus Niveau i */
        update[i].next[i] = update[i].next[i].next[i];
    }

    /* Passe die Höhe der Liste an */
    while (height >= 0 && head.next[height] == tail)
        height--;
}

```

Die rot markierte Zeile ist der Entfernungsschritt, d.h. das Umleiten der Zeiger

Verhalten von randomisierten Skiplisten

- Unabhängig von der Erzeugungshistorie (degeneriert nicht, es gibt keine schlechte Eingabefolge)
- Erwartete Anzahl von Zeigern in einer Liste der Länge n ist $2n$
- Erwartete Höhe einer Liste mit n Elementen ist in $O(\log n)$ (genauer $\leq 2 \log n + 2$) (Langen Beweis hat Ottman ausgeführt (ca. 15 Minuten lang))
- Erwartete Suchkosten für die Suche nach einem Element in einer Liste mit n Elementen sind in $O(\log n)$ (ohne Beweis)
- Einfügen und Entfernen von Elementen in Liste mit n Elementen in erwarteter Zeit $O(\log n)$ möglich.

Randomisierte Suchbäume

Idee:

Nutze Randomisierung um das degenerieren natürlicher Suchbäume zu linearen Listen zu verhindern.

Ordne Schlüsseln zufällig gewählte Zeitmarken zu, die eine fiktive Einfügereihenfolge simulieren.

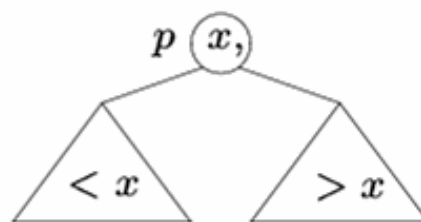
Was sind nun Treaps ?

Treap = Tree + Heap

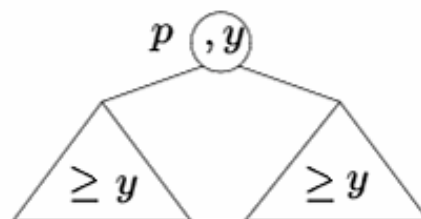
Ein Knoten x hat 2 statt einer Komponente:

- $x.key (=x)$
- $x.priority (=y)$

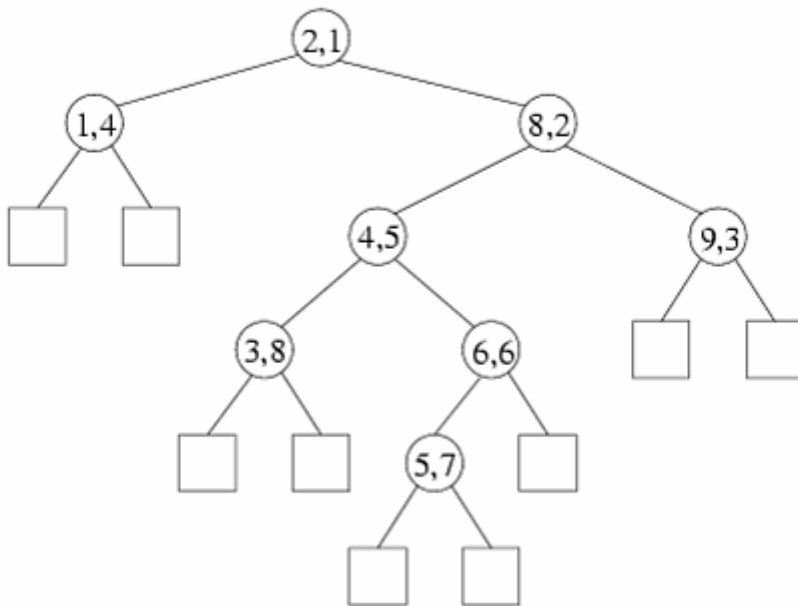
(a) **Schlüsselkomponenten:** Suchbaumbedingung



(b) **Prioritäten:** Heapbedingung



Beispiel für einen Treap:



Für jede Menge

$$S = \{(x_1, y_1), (x_2, y_2), \dots, (x_n, y_n)\}$$

mit paarweise verschiedenen Schlüsseln x_i und Prioritäten y_i , gibt es genau einen Treap der S speichert.

Das liegt daran, dass das Wurzelement durch die Heapbedingung (kleinstes (bei minHeap)) festgelegt ist. Die weiteren Aufteilungen erfolgen nach Regel !

Ein Element einfügen in einen Treap

Füge $x = (x.key, x.priority)$ in Treap T ein:

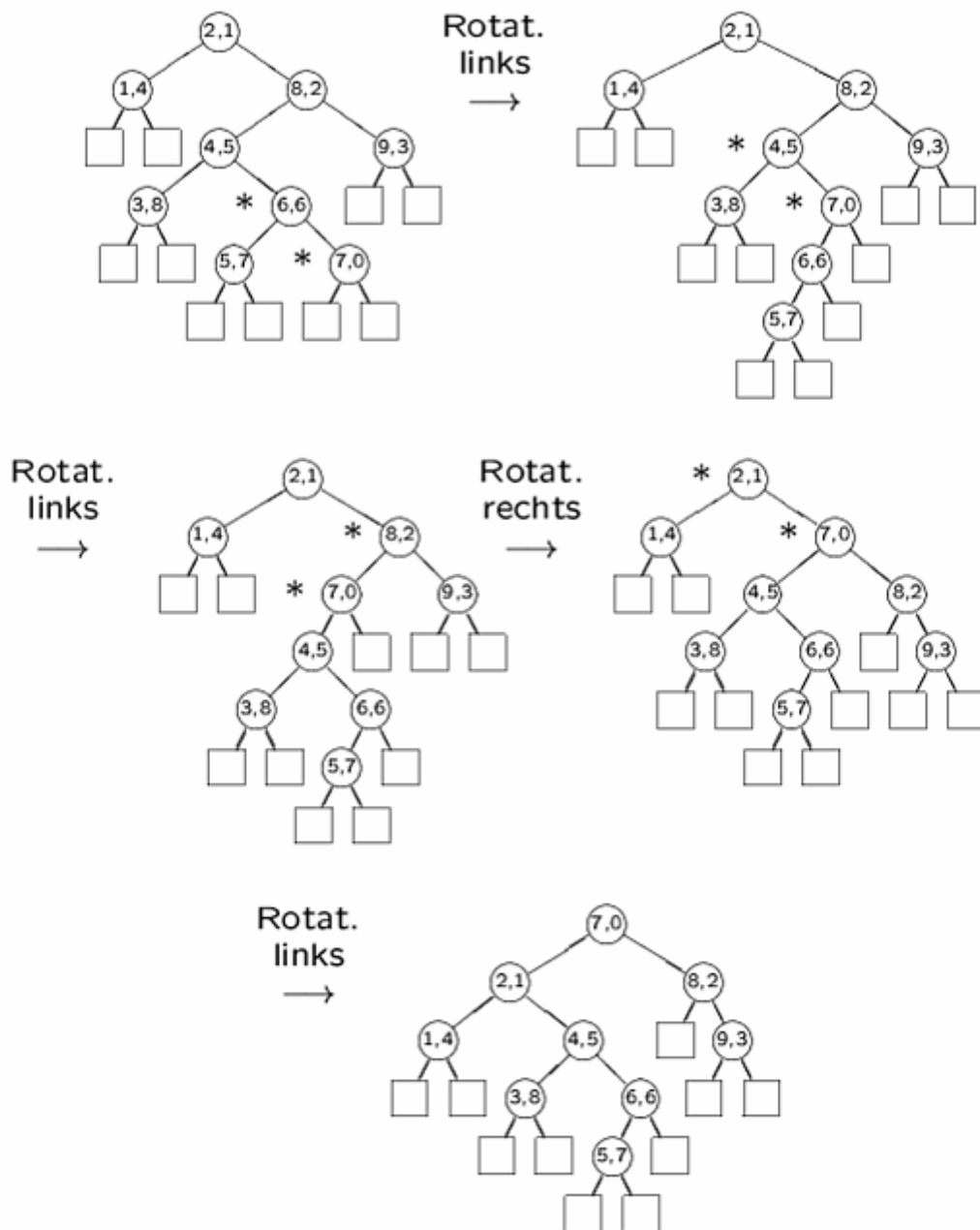
1. Einfügen in dem Blatt in dem die erfolglose Suche nach $x.key$ endet (wie bei natürlichen Suchbäumen)
2. $(x.key, x.priority)$ solange hinaufrotieren bis die Heapbedingung wieder erfüllt ist

Ein Element aus einem Treap entfernen

Umgekehrt wie einfügen

1. Den zu entfernenden Schlüssel bis auf Blattebene hinunterrotieren (nur Schlüssel mit kleinerer Priorität dürfen im Gegenzug hochrotiert werden)
2. Knoten entfernen

Beispiel: Einfügen des Elementes (7,0) in den Treap



Die Sterne (*) geben jeweils an, an welchen Stellen die Heapbedingung verletzt ist, diese Knoten müssen rotiert werden.

Die Frage ist nun, wie wählt man die Priorität geschickt

- ⇒ Randomisierung
- ⇒ Man redet nun von einem randomisierten Suchbaum

Randomisierte Suchbäume

⇒ Treaps mit zufälligen Prioritäten

Definition:

Ein randomisierter Suchbaum für eine Menge S von Schlüsseln ist ein Treap mit Knoten,

- deren Schlüssel genau die Schlüssel in S sind
- deren Prioritäten unabhängig und gleich verteilt aus $[0,1)$ gewählt sind.

Die Prioritäten können als „Zeitmarken“ aufgefasst werden.

Die erwartete Struktur eines randomisierten Suchbaumes für n Schlüssel (bei zufälliger Wahl der Prioritäten)

=

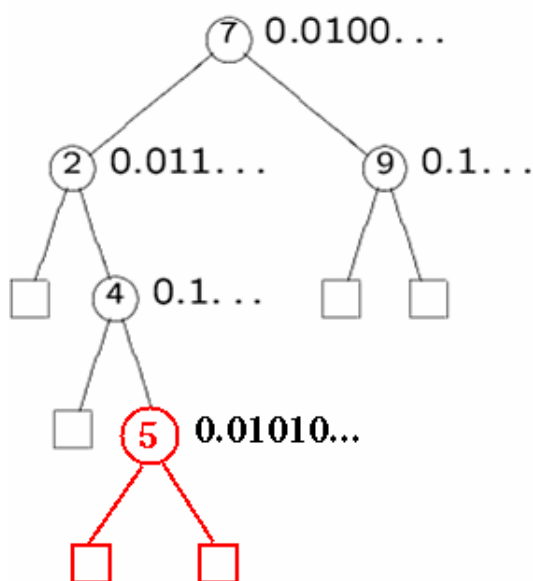
Erwartete Struktur eines natürlichen Suchbaumes für n Schlüssel (bei zufälliger Wahl der Permutation)

- ⇒ Erwartungswert für die Höhe des Baumes = $O(\log_2 n)$ bzw. $1.44 \log_2 n$
- ⇒ Suchkosten $O(\log n)$
- ⇒ Kosten zum Entfernen / Einfügen eines Schlüssels x
 - Kosten(Zugriff(x)) + Rotationskosten
 - $\leq O(\log n) + 2$

Rotationskosten sind deshalb 2, weil man davon ausgeht, dass $\frac{3}{4}$ der Knoten auf Blattebene sind und man im Schnitt dann nur 2 Rotationen benötigt.

Praktische Realisierung der Prioritäten

Erzeuge Dualdarstellung der den Schlüsseln zugewiesenen Prioritäten nach Bedarf Bitweise, Stück für Stück:



Einfügen der (5)

- Priorität 5: 0.01010...
- Für den Vergleich mit 4 genügt 0.0

- Für den Vergleich mit 2 genügt 0.010
- Für den Vergleich mit 7 genügt 0.0101

Vorlesung 7 – Amortisierte Analyse

- Wir betrachten eine Folge von n Operationen o_1, \dots, o_n auf eine Datenstruktur D
 - Die Ausführungszeit einer einzelnen Operation o_i nennen wir T_i
 - Die Gesamtlaufzeit $T = T_1, T_2, \dots, T_n$
 - Die Laufzeit einer einzelnen Operation kann in einem großen Bereich schwanken, z.B. zwischen $1, \dots, n$. Aber nicht bei allen Operationen der Folge kann der schlechteste Fall eintreten
- ⇒ Amortisierte Analyse wird benötigt

Bei der Analyse von Algorithmen spricht man von folgenden Werten:

- Best Case
- Worst Case
- Average Case
- Amortisierter Worst Case
 - Was sind die durchschnittlichen Kosten einer schlechtest möglichen Folge von Operationen?

Was ist die Idee der Amortisierung ?

- Wir bezahlen für billige Operationen lieber etwas mehr um das Ersparte für teurere Operationen zu verwenden

Dabei unterscheidet man drei verschiedene Methoden:

- Aggregatmethode
- Bankkontomethode
- Potentialfunktion-Methode

Aggregatmethode: am Beispiel Dualzähler

Wir bestimmen die Bitwechselkosten eines Dualzählers

Operation	Zählerstand	Kosten
0	00000	
1	0000 1	1
2	000 10	2
3	0001 1	1
4	00 100	3
5	0010 1	1
6	001 10	2
7	0011 1	...
8	0 1000	...
9	0100 1	...
10	010 10	...
11	0101 1	
12	01 100	
13	0110 1	
	⋮	⋮
n		

Die Bitwechsellkosten entsprechen der #endender_einsen + 1

Wir haben n Operationen, wobei es

- $n/2$ Operationen mit Bitwechsellkosten „1“
- $n/4$ Operationen mit Bitwechsellkosten „2“
- $n/8$ Operationen mit Bitwechsellkosten „3“
- ...
- $\log n$ Operationen mit Bitwechsellkosten $n/(2^{\log n})$

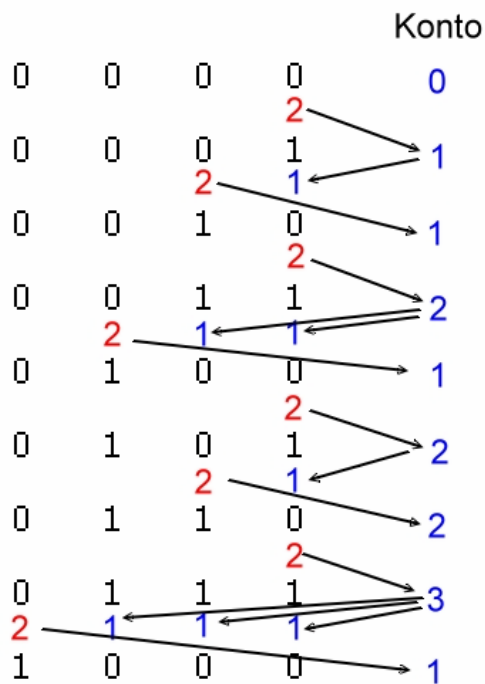
gibt

Summiert man dies auf, so ergibt sich als **Gesamtkosten $2n$**

Bankkontomethode: am Beispiel Dualzähler

Idee: bezahle 2 KE (Kosteneinheiten) für das Verwandeln einer 0 in eine 1

⇒ Jede 1 hat dann eine KE auf dem Konto



Beobachtung: In jedem Schritt wird genau eine „0“ in eine „1“ umgewandelt

Die dritte Methode ist die

Potentialfunktion-Methode: am Beispiel Dualzähler

- **Potentialfunktion Φ**
- Datenstruktur $D \mapsto \Phi(D)$
- t_l sind die wirklichen Kosten der Operation l
- Φ_l ist das Potential nach Ausführen der l -ten Operation ($= \Phi(D_l)$)
- a_l sind die amortisierten Kosten der l -ten Operation

Definition:

$$a_l = t_l + \Phi_l - \Phi_{l-1}$$

Beispiel – Dualzähler:

D_i : Zustand nach der i -ten Operation (also die Folge von 0en und 1en nach o_i)

$$\Phi_i = \Phi(D_i) = \# \text{ von Einsen in } D_i \quad (\text{z.b. } \Phi(101101)=4)$$

Es muss für Φ gelten (was es hier auch tut):

$$\Phi(000\dots000) = 0$$

$$\Phi(\dots) \geq 0$$

i -te Operation

- $D_{i-1} \dots 0/1 \dots 0111\dots 1$
 - B_{i-1} ist die Gesamtanzahl der Einsen in D_{i-1}

- b_i ist die Anzahl der endenden Einsen in D_{i-1} (ROTE ZAHLEN)
- D_i 0/1....1000...0
 - $B_i = B_{i-1} - b_i + 1$

t_i sind die wirklichen Bitwechselkosten der Operation i

a_i sind die amortisierten Bitwechselkosten der Operation i

somit ergibt sich für a_i

$$a_i = (b_i + 1) + (B_{i-1} - b_i + 1) - B_{i-1} = 2$$

$$\Rightarrow \sum t_i \leq 2n$$

Dynamische Tabellen

Problem :

Verwaltung einer Tabelle unter den Operationen „Einfügen“ und „Entfernen“, so dass:

- Die Tabellengröße der Anzahl der Elementen angepasst werden kann
- Immer ein konstanter Anteil der Tabelle mit Elementen belegt ist
- Die Kosten für n Einfüge oder Entfernen Operationen $O(n)$ sind

Organisation der Tabelle z.B. durch: Hashtabelle, Heap, Stack etc.

Belegungsfaktor α_T Anteil der Tabellenplätze von T die belegt sind

Algorithmus für Einfügen

```
class dynamicTable {

    int [] table;

    int size;          // Größe der Tabelle
    int num;           // Anz. der Elemente

    dynamicTable () { // Initialisierung der leeren Tabelle
        table = new int [1];
        size = 1;
        num = 0;
    }

    insert (int x) {
        if (num == size) {
            newTable = new int [2*size];
            for (i=0; i < size; i++)
                füge table[i] in newTable ein;
            table = newTable;
            size = 2*size;
        }
        füge x in table ein;
        num = num + 1;
    }
}
```

Kosten von n – Einfügeoperationen in eine anfangs leere Tabelle

t_i Kosten der i -ten Einfügeoperation

Worst Case

- $t_i=1$, falls die Tabelle vor Operation i nicht voll ist
- $t_i=(i-1)+1$, falls die Tabelle vor Operation i voll ist

Also verursachen n -Einfügeoperationen höchstens Gesamtkosten von:

$O(n^2)$

Sei T eine Tabelle mit

$k = T.\text{num}$ Elementen

$s = T.\text{size}$ Größe

Unsere Potentialfunktion (die vom Himmel fällt \rightarrow nichttrivial eine geeignet zu finden)

$$\Phi(T) = 2k - s$$

Eigenschaften

- $\Phi_0 = \Phi(T_0) = \Phi(\text{leere Tabelle}) = -1$

- Für alle $i \geq 1$: $\Phi_i = \Phi(T_i) \geq 0$

Weil $\Phi_n - \Phi_0 \geq 0$ gilt, ist

$$\sum a_i \text{ obere Schranke für } \sum t_i$$

- Unmittelbar vor einer Tabellenexpansion ist $k = s$,
also $\Phi(T) = k = s$

- Unmittelbar nach einer Tabellenexpansion ist $k = s/2$,
also $\Phi(T) = 2k - s = 0$

$k_i = \#$ Elemente in T nach der i -ten Operation

$s_i =$ Tabellengröße von T nach der i -ten Operation

Fall 1: i-te Operation löst keine Expansion aus

$$k_i = k_{i-1} + 1, S_i = S_{i-1}$$

$$a_i = 1 + (\cancel{2S_i} - k_i) - (\cancel{2S_{i-1}} - k_{i-1}) \\ = 1 + (k_{i-1} - k_i)$$

$$a_i = 1 + (\cancel{2k_i} - \cancel{k_i}) - (\cancel{2k_{i-1}} - \cancel{k_{i-1}}) \\ = 1 + 2(k_i - k_{i-1}) = 3$$

Fall 2: i-te Operation löst Expansion aus

$$k_i = k_{i-1} + 1, S_i = 2S_{i-1} \quad \Rightarrow S_{i-1} = k_{i-1}$$

$$a_i = k_{i-1} + 1 + (\cancel{2k_i} - \cancel{S_i}) - (\cancel{2k_{i-1}} - \cancel{S_{i-1}}) \\ = 3$$

$$2(k_{i-1} + 1) - 2k_{i-1}$$

Entfernen von Elementen

Kontrahieren der Tabelle, falls die Belegung zu gering wird

Ziele:

1. Belegungsfaktor bleibt durch eine Konstante nach unten beschränkt
2. Amortisierte Kosten einer einzelnen einfüge oder entfernen Operation sind Konstant

1er Versuch:

- Expansion wie vorher
- Kontraktion: Halbiere Tabellengröße, sobald die Tabelle weniger als $\frac{1}{2}$ voll ist

Das Problem könnte nun sein, dass die Eingabefolge von Entfernen und Einfügenoperationen die Tabelle immer abwechseln expandieren und kontrahieren lässt.

Also z.B. folgende Folge von Operationen

I^{n/2}, I, D, D, I, I, D, D, ...

dadurch erhalten wir eine Laufzeit von $O(n^2)$

2er Versuch

- Expansion wie vorher
- Kontraktion: Halbiere Tabellengröße, sobald die Tabelle weniger als $\frac{1}{4}$ voll ist

Folgerung:

Die Tabelle ist stets wenigstens zu $\frac{1}{4}$ voll, d.h.:

$$1/4 \leq \alpha(T) \leq 1$$

Was sind die Kosten einer Folge von Einfüge und Entferneoperationen?

$k = T.\text{num}$

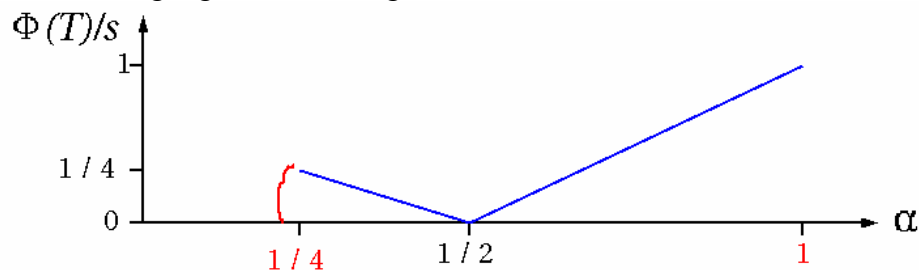
$s = T.\text{size}$

$\alpha = k/s$

Potentialfunktion Φ

$$\Phi(T) = \begin{cases} 2k - s, & \text{falls } \alpha \geq 1/2 \\ s/2 - k, & \text{falls } \alpha < 1/2 \end{cases}$$

unsere Belegung sieht also folgendermassen aus



Unmittelbar nach einer Kontraktion oder Expansion gilt immer:

$$s=2k, \text{ also } \Phi(T)=0$$

Einfügen

i-te Operation $k_i = K_{i-1} + 1$

Fall 1: $\alpha_{i-1} \geq \frac{1}{2} \Rightarrow \alpha_i \geq \frac{1}{2}$; $a_i = 3 \rightarrow O(1)$

Fall 2: $\alpha_{i-1} \leq \frac{1}{2}$

Fall 2.1: $\alpha_i < \frac{1}{2}$: \rightarrow Keine Expansion

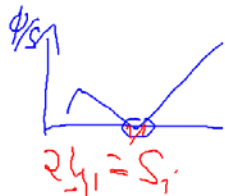
$$s_i = s_{i-1}$$

$$k_i = k_{i-1} + 1$$

$$a_i = 1 + \left(\frac{s_i}{2} - k_i \right) - \left(\frac{s_{i-1}}{2} - k_{i-1} \right)$$

$$= 1 + (-k_i + k_{i-1}) = 0$$

Fall 2.1: $\alpha_i \geq \frac{1}{2}$: \rightarrow Keine Expansion



$$a_i = 1 + \left(2k_i - s_i \right) - \left(\frac{s_{i-1}}{2} - k_{i-1} \right)$$

$$= 0 \qquad \qquad \qquad = 1$$

Entfernen

$$k_i = k_{i-1} - 1$$

Fall 1: $\alpha_{i-1} < \frac{1}{2}$

Fall 1.1: Entfernen verursacht keine Kontraktion

$$s_i = s_{i-1}$$

$$a_i = 1 + \left(\frac{s_i}{2} - k_i \right) - \left(\frac{s_{i-1}}{2} - k_{i-1} \right)$$

$$= 1 + (-k_i + k_{i-1}) = 2$$

Fall 1.2: Entfernen verursacht Kontraktion

$$2s_i = s_{i-1} \qquad k_{i-1} = s_{i-1}/4$$

$$\begin{aligned}
 a_i &= k_i + 1 + \left(\frac{s_i}{2} - k_i \right) - \left(\frac{s_{i-1}}{2} - k_{i-1} \right) \\
 &= k_i + 1 + \left(k_{i-1} - k_i \right) - \left(2k_{i-1} - k_{i-1} \right) \\
 &= \cancel{k_i} + 1 + \cancel{1} - \cancel{k_{i-1}} \\
 &= 1
 \end{aligned}$$

Fall 2: $\alpha_{i-1} \geq \frac{1}{2}$ Entfernen verursacht keine Kontraktion
 $s_i = s_{i-1}$ $k_i = k_{i-1} - 1$

Fall 2.1: $\alpha_i \geq \frac{1}{2}$
 Berechnungen nicht durchgeführt, aber analog wie zuvor

Fall 2.2: $\alpha_i < \frac{1}{2}$
 Berechnungen nicht durchgeführt, aber analog wie zuvor

Als Fazit kann man nun folgendes sagen:

$$\begin{aligned}
 &\Rightarrow a_i \leq 3 \\
 \sum_{i=1}^n t_i &\leq \sum_{i=1}^n a_i \leq 3n
 \end{aligned}$$

Die amortisierten Kosten sind also Konstant

ZUM THEMA AMORTISIERTE ANALYSE GAB ES NOCH EINEN 3. VORTRAG, DER ABER NICHT OFFIZIELL ZU ALGORITHMENTHEORIE GEHÖRT UND DESHALB HIER NICHT BESPROCHEN WIRD.

Vorlesung 8 – Vorrangwarteschlangen (Priority Queues)

Operationen auf Vorrangwarteschlangen

$Q.initialize()$: erstelle die leere Menge Q

$Q.isEmpty()$: *true* gdw. Q ist leer

$Q.insert(e)$: füge Eintrag e in Q ein und gebe einen Zeiger auf den Knoten, der Eintrag e enthält, zurück

$Q.deletemin()$: liefere den Eintrag aus Q mit minimalen Schlüssel und entferne ihn

$Q.min()$: liefere den Eintrag aus Q mit minimalen Schlüssel

$Q.decreasekey(v, k)$: verringere den Schlüssel von Knoten v auf k

zusätzliche Operationen:

$Q.delete(v)$: entferne Knoten v mit Eintrag aus Q (ohne v zu suchen)

$Q.meld(Q')$: vereinige Q und Q' (*concatenable queue*)

$Q.search(k)$: suche den Eintrag mit Schlüssel k in Q (*searchable queue*)

u.v.a., z.B. *predecessor, successor, max, deletemax*

Implementationen von Vorrangwarteschlangen:

	Liste	Heap	Bin.-Q.	Fib.-Hp.
insert	$O(1)$	$O(\log n)$	$O(\log n)$	$O(1)$
deletemin	$O(n)$	$O(\log n)$	$O(\log n)$	$O(\log n)^*$
meld ($m \leq n$)	$O(1)$	$O(n)$ od. $O(m \log n)$	$O(\log n)$	$O(1)$
decr.-key	$O(1)$	$O(\log n)$	$O(\log n)$	$O(1)^*$

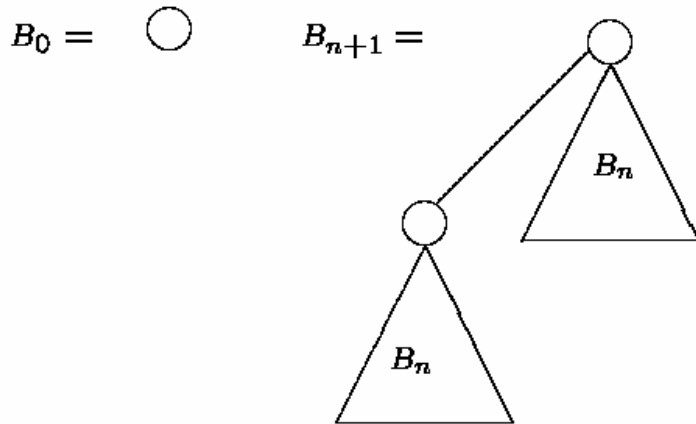
* = amortisierte Zeit

$$delete(e, Q) = decreasekey(e, -\infty, Q) + deletemin(Q)$$

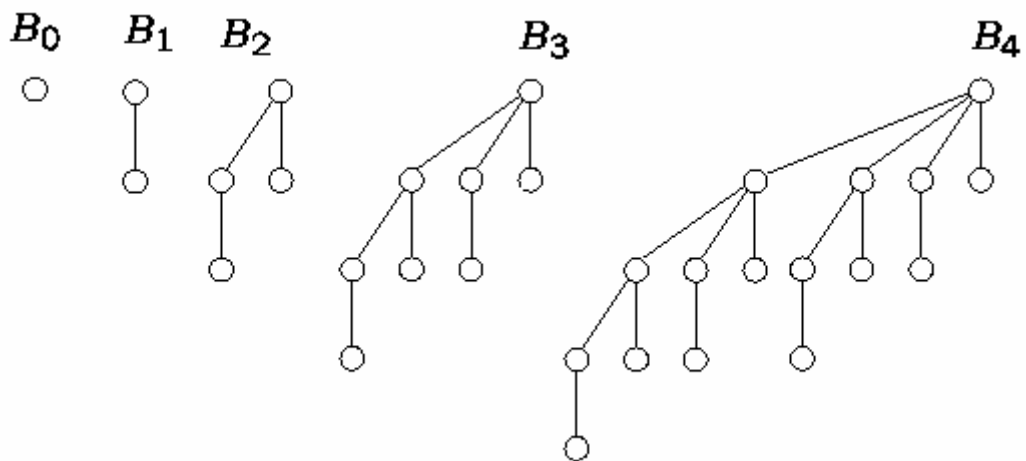
Binomialqueues

Binomialbäume

Rekursive Definition eines Binomialbaumes $B_n, n \geq 0$

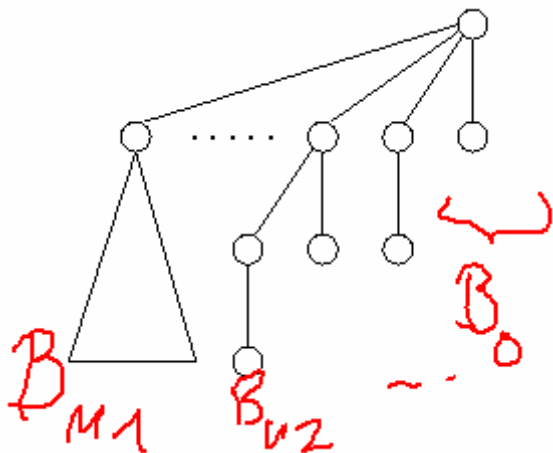


Beispiel für die ersten 5 Binomialbäume



Folgerungen daraus:

- B_n hat 2^n Knoten
- B_n hat Höhe n
- Wurzel hat Grad n (=Ordnung)
- $B_n =$



- Es gibt genau $\binom{n}{i}$ Knoten mit Tiefe i in B_n

Was Binomialbäume sind, haben wir hier eben definiert. Was sind aber nun Binomialqueues?

Binomialqueues

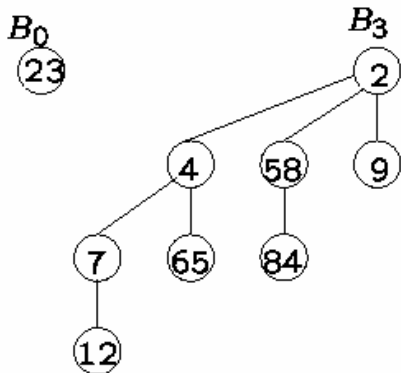
Eine Binomialqueue Q ist eine Vereinigung Heapgeordneter Binomialbäume verschiedener Ordnung

n Schlüssel: $B_i \in Q \Leftrightarrow i\text{-tes Bit in } (n)_2 = 1$

Beispiel 1:

9 Schlüssel: $\{2, 4, 7, 9, 12, 23, 58, 65, 84\}$

$9 = (1001)_2$



Bestimmen des Minimums kostet höchstens $O(\log n)$ Zeit, da man hierzu nur alle Wurzeln der Bäume betrachten muss.

Beispiel 1:

11 Schlüssel:

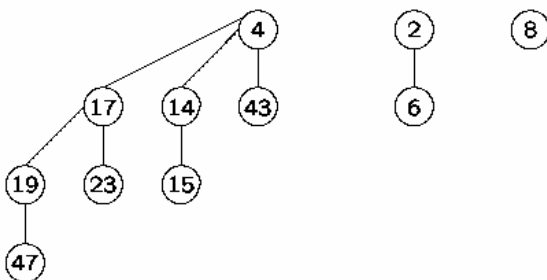
$11 = (1011)_2 \rightarrow 3$ Binomialbäume

B_3, B_1, B_0

$\{2, 4, 6, 8, 14, 15, 17, 19, 23, 43, 47\}$

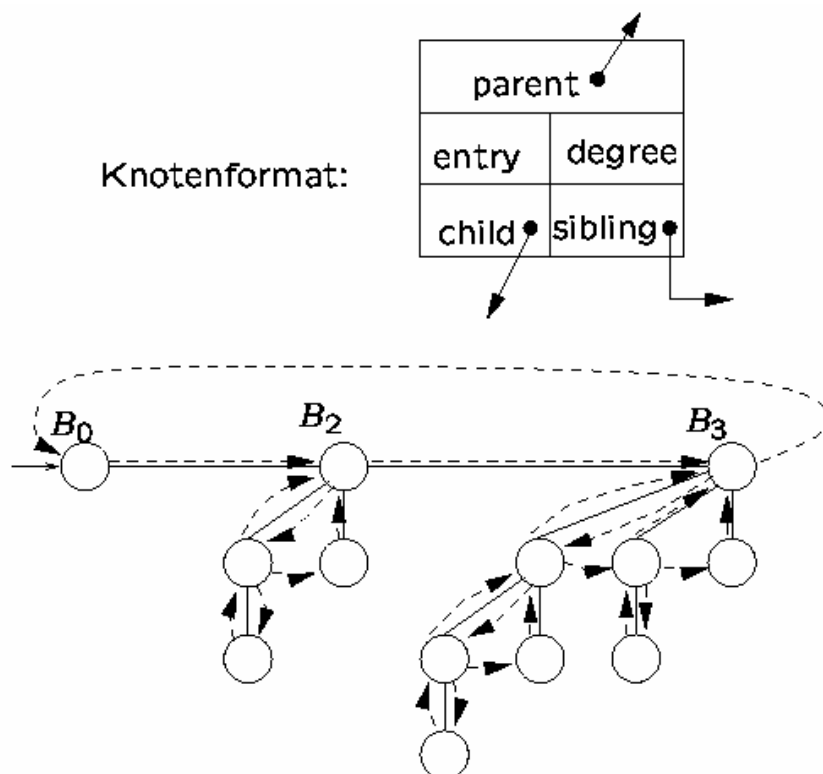
B_0, B_1 und B_3

Zeiger auf Minimum



Was eine Binomialqueue ist, wissen wir nun, aber in welcher Datenstruktur wird sie abgelegt?

Child-Sibling Darstellung von Binomialqueues



Die Parentzeiger (der Wurzeln) sind zu einem Kreis verbunden. Es ist möglich, alle Kinder eines bestimmten Knotens zu durchlaufen, indem man zuerst zum Kind (Childzeiger) des aktuellen Knotens geht und dann die Geschwisterknoten (Siblingzeiger) durchläuft.

Nun folgt eine äußerst wichtige Funktion die als Grundlage für viele andere Operationen verwendet wird, das Verschmelzen:

Vereinigung (verschmelzen) zweier Binomialbäume B , B' gleicher Ordnung

Link Operation:

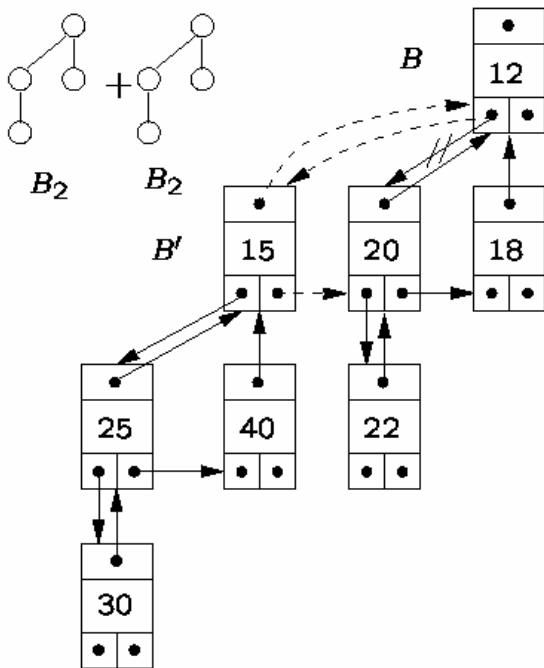
$B.Link(B')$

- 1 **if** $B.key > B'.key$
- 2 **then** $B'.Link(B)$
- $/* B.key \leq B'.key */$
- 3 $B'.parent := B$
- 4 $B'.sibling := B.child$
- 5 $B.child := B'$
- 6 $B.degree := B.degree + 1$

Mach Wurzel des Baumes mit größerem Schlüssel zum Sohn des Baumes mit kleinerem Schlüssel.

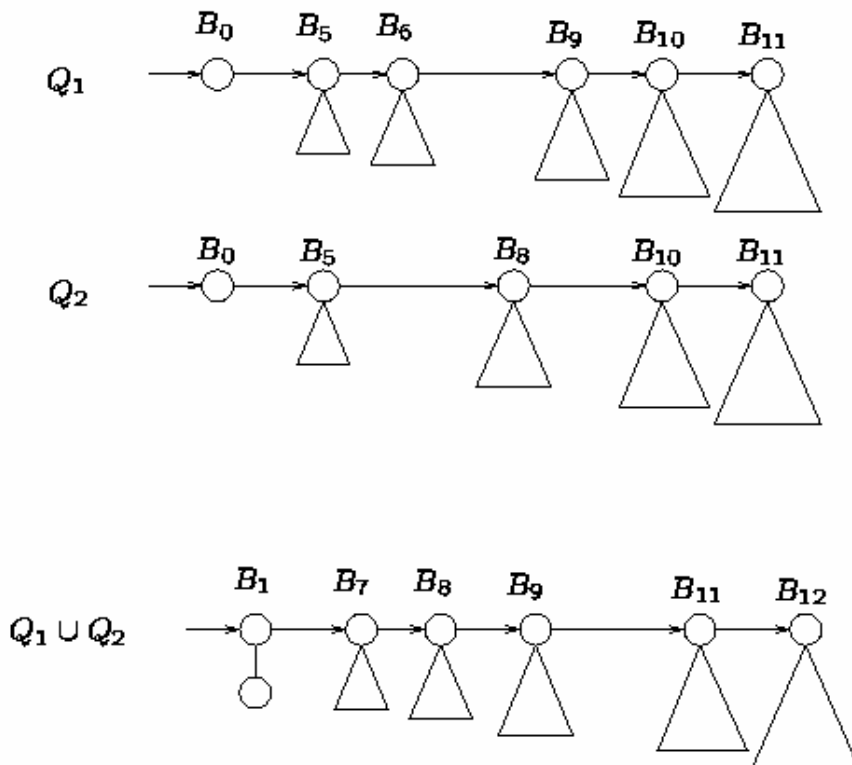
Die Link Operation geht in konstanter Zeit $O(1)$

Beispiel einer Linkoperation zweier Bäume der Ordnung B_2



Die gestrichelten Pfeile sind die neuen Zeiger. Der Baum mit der Wurzel „15“ wird als Sohn des anderen Baumes angehängt. Der Childlink von „12“ nach „20“ wird gestrichen und nach „15“ gesetzt. Der Sibling Zeiger von „15“ wird auf Child(20) gesetzt.

Vereinigung (verschmelzung) zweier Binomialqueues Q_1 und Q_2



Das Verschmelzen der zwei Binomialqueues entspricht einfach der Binären Addition.

Die beiden B_0 Bäume addieren sich zum Baum $B_1 \rightarrow$ Übertrag. Weitere B_1 gibt es nun nicht, deshalb wird B_1 eingetragen. Der nächste Baum ist nun erst B_5 , diesen gibt es zweimal, wir erhalten einen Übertrag B_6 , dieser ergibt mit dem weiteren B_6 aus Q_1 einen weiteren Übertrag B_7 , B_6 kommt also nicht vor im Ergebnis...etc.

Die Verschmelzung der beiden Binomialqueues geht in $O(\log n)$ Zeit

$Q.initialize: Q.root = null$

$Q.insert(e): new B_0; B_0.entry := e; Q.meld(B_0)$
 Zeit: $O(\log n)$

$Q.deletemin():$

1. bestimme B_i mit minimalem Schlüssel in der Wurzelliste und entferne B_i aus Q
 2. drehe die Reihenfolge der Söhne von B_i um, also zu $B_0, B_1, \dots, B_{i-1} \Rightarrow Q'$
 3. *$Q.meld(Q')$*
- Zeit: $O(\log n)$

$Q.decreasekey(v, k):$

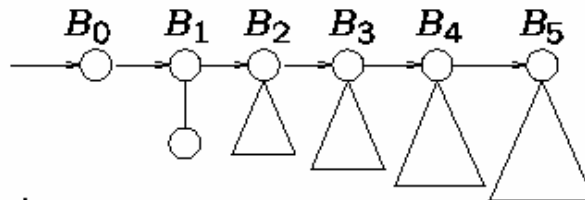
1. *$v.entry.key := k$*
2. *$v.entry$ nach oben steigen lassen in dem geg. Baum, bis die Heapbedingung erfüllt ist*

Beim Einfügen eines Elementes wird zunächst ein neuer Baum B_0 mit dem einzufügenden Schlüssel als Inhalt erzeugt. Dieser Baum wird dann mit der Binomialqueue verschmolzen

Beispiel für eine Worst-Case Folge von Operationen:



$deletemin(Q)$:



Zeit: $\log n$

$insert(e, Q)$:



Zeit: $\log n$

$\Phi(Q) = \#$ Bäume in Q

Zusammenfassender Vergleich:

	Liste	Heap	Bin.-Q.	Fib.-Hp.
initial.	$O(1)$	$O(1)$	$O(1)$	$O(1)$
insert	$O(1)$	$O(\log n)$	$O(\log n)$	$O(1)$
min	$O(1)$	$O(1)$	$O(1)$	$O(1)$
delete-min	$O(n)$	$O(\log n)$	$O(\log n)$	$O(\log n)^*$
meld ($m \leq n$)	$O(1)$	$O(n)$ od. $O(m \log n)$	$O(\log n)$	$O(1)$
decr.-key	$O(1)$	$O(\log n)$	$O(\log n)$	$O(1)^*$
delete	$O(1)$	$O(\log n)$	$O(\log n)$	$O(\log n)^*$

* = amortisierte Zeit

Vorlesung 9 – Fibonacci Heaps

Ein richtige ausführliche Definition von Fibonacci Heaps gibt es nicht, man kann sagen:

Ein Fibonacci Heap Q ist eine Kollektion heapgeordneter Bäume

Man bezeichnet die Fibonacci Heaps auch als Lazy-Meld Version der Binomialqueues \rightarrow d.h. Die Vereinigung von Bäumen gleiche Ordnung wird bis zur nächsten Deletemin Operation aufgeschoben.

Man definiert folgende Variablen:

$Q.min$

\rightarrow Wurzel des Baumes mit kleinstem Schlüssel

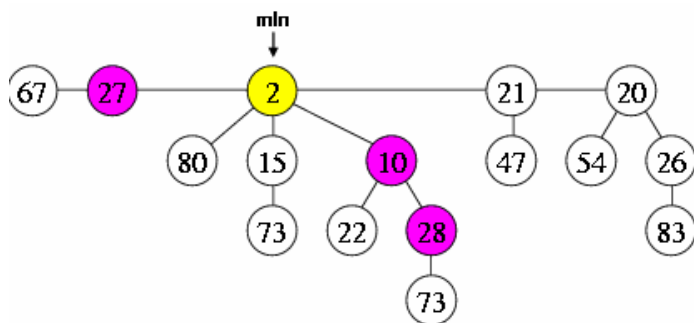
$Q.rootlist$

\rightarrow Zirkuläre, doppeltverkettete und ungeordnete Liste der Wurzeln der Bäume

$Q.size$:

\rightarrow Anzahl der Knoten in Q

Beispiel für einen Fibonacci Heap:

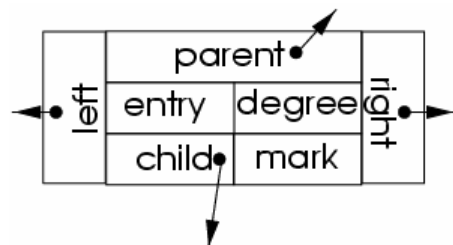


B ist also ein heapgeordneter Baum der in der Liste der Wurzeln ($Q.rootlist$) steht.

$B.childlist$:

\rightarrow zirkuläre, doppeltverkettete und ungeordnete Liste der Söhne von B

Das Knotenformat sieht dann so aus:



Im Unterschied zum Binomialqueue Knotenformat haben wir nun statt eines Siblings (rechter Nachbar) einen rechten und einen linken Nachbarn.

Degree ist nun die Anzahl der Kinder (Söhne) des Knotens

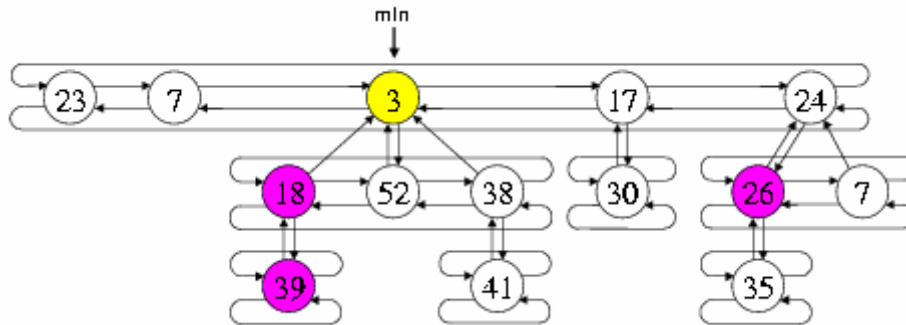
Child zeigt nur auf eines der Kinder des Knotens, diese sind aber ihrerseits auch wieder doppeltverkettet, so dass man indirekt auch auf die anderen Kinder zugreifen kann

Mark (Boolean) wird gesetzt, wenn eines der Kinder abgeschnitten wird.

Vorteile zirkulärer, doppeltverketteter Listen

1. Entfernen eines Elements in konstanter Zeit
2. Vereinigen zweier Listen in konstanter Zeit

So sieht der Fibonacci Heap mit allen Zeigern aus



Operationen auf Fibonacci Heaps

Q.initialize

- 1. $Q.rootlist = Q.min = null$
- 2. $Q.size = 0$

Q.meld(Q')

- 1. Verkette $Q.rootlist$ und $Q'.rootlist$
- 2. update $Q.min$
- 3. $Q.size = Q.size + Q'.size$

Q.insert(e)

- 1. Bilde einen Knoten für einen neuen Schlüssel $\Rightarrow Q'$
- 2. $Q.meld(Q')$

Q.min()

- 1. Gebe $Q.min.entry$ zurück

All diese Operationen gehen in $O(1)$

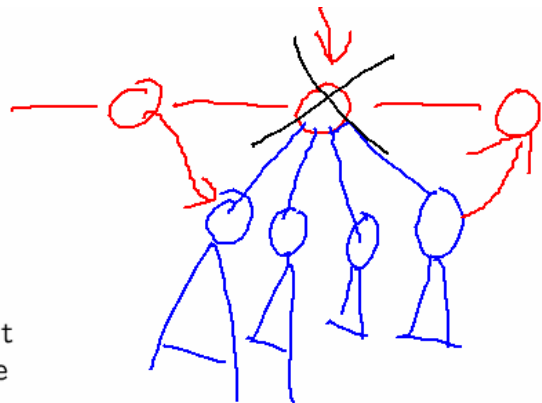
Q.deletemin()

- Lösche den Knoten mit dem kleinsten Schlüssel aus Q und gebe den Eintrag des Knotens zurück

- ```

1 $m = Q.min()$
2 if $Q.size() > 0$
3 then entferne $Q.min$ aus $Q.rootlist$
4 füge $Q.min.childlist$ in $Q.rootlist$ ein
5 $Q.consolidate()$
 /* Verschmelze solange Knoten mit
 gleichem Rang, bis das nicht geht
 und bestimme dann das minimale
 Element */
6 return m

```



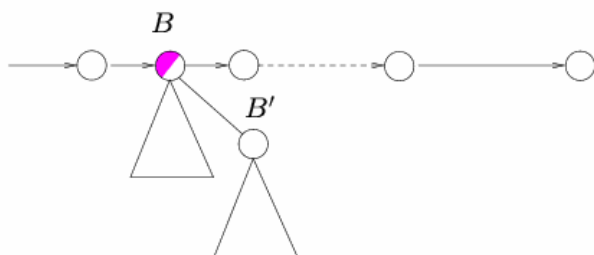
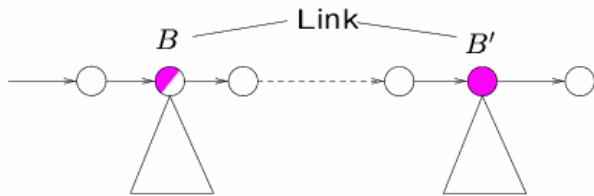
*link*

→ Verbinden zweier Bäume gleichen rangs

→  $\text{rang}(B) = \text{Grad der Wurzel von } B$

→ 2 Heapgeordnete Bäume  $B, B'$  mit  $\text{rang}(B) = \text{rang}(B')$

→ Der Baum mit dem größeren Wurzelschlüssel wird unter den anderen gehängt ( $B.\text{key} < B'.\text{key}$ )



→  $\text{rang}(B) = \text{rang}(B) + 1$

→  $B'.\text{mark} = \text{false}$  (markierung wird aufgehoben)

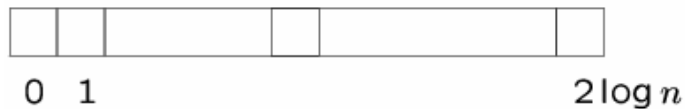
*deletemin*

⇒ Um die Funktion *deletemin* zu beschränken müssen wir zunächst wissen, wie groß der maximale Grad des Heaps ist, also aus wievieln Wurzeln die Rootliste besteht.

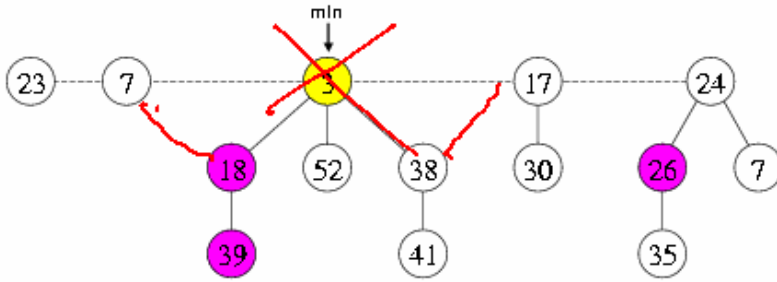
⇒ Annahme:  $\text{rang}(Q) \leq 2 \log n$ , wenn  $Q.\text{size} = n$

⇒ Finde Wurzeln mit gleichem Rang

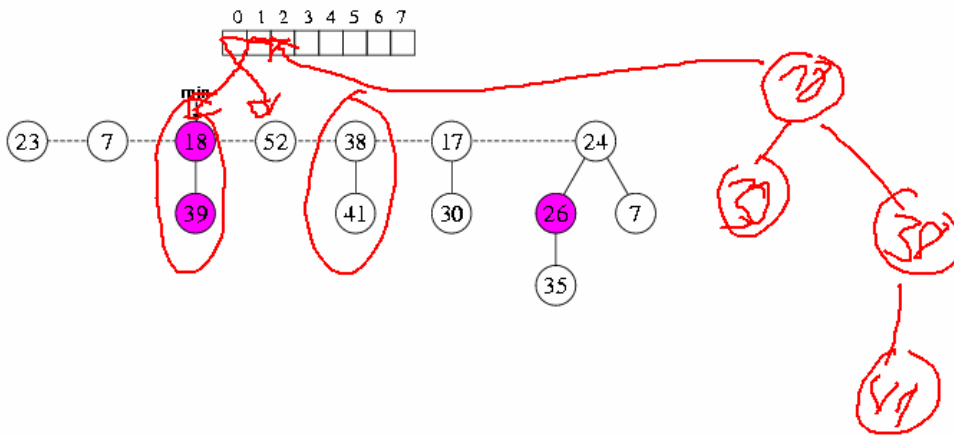
**Array *A*:**



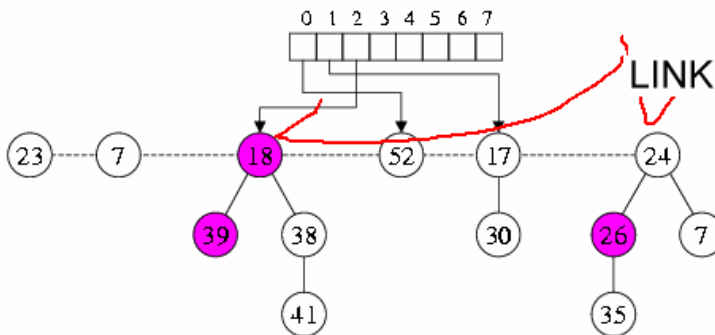
⇒ Erstelle ein Array mit Größe  $2 \log n$ . Jetzt wird die Wurzelliste sequentiell durchlaufen und Wurzeln mit Grad  $k$  werden an  $k$ -ter stelle im Array *A* eingetragen. Ist dieses schon belegt, dann muss verschmolzen werden. Das  $k$ -te Feld wird dann freigegeben und der neue verschmolzene Baum ins  $k+1$ -te Feld eingetragen, soweit dies frei ist, ansonsten wir erneut verschmolzen.



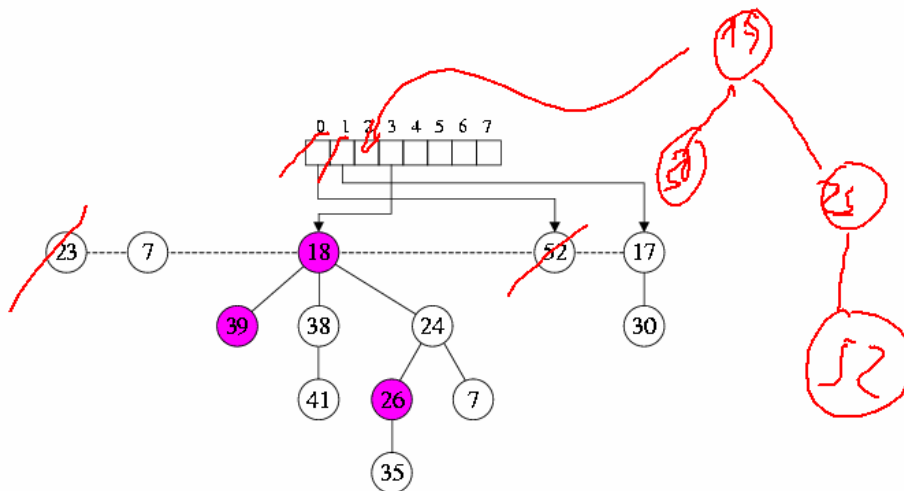
- ⇒ Auf obigem Bild haben wir nun den kleinsten Knoten (3) entfernt und die Kinder in die Wurzelliste übernommen
- ⇒ Wir beginnen nun die Wurzelliste ab der Stelle an der Q.min war sequentiell zu durchlaufen



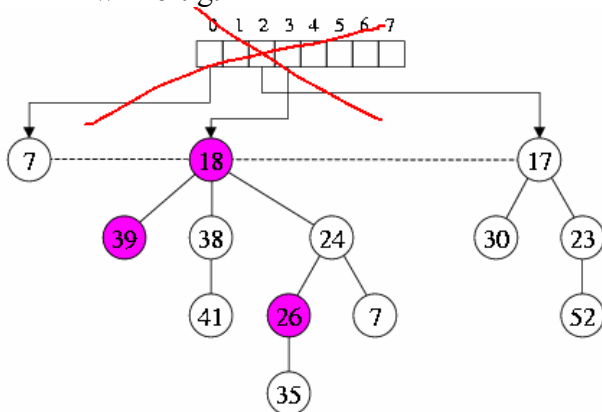
- ⇒ Es sind nun zwei neue Bäume vom Grad 1 entstanden, die miteinander verschmolzen werden müssen. Der neue, verschmolzene Baum (roter Baum) hat dann den Grad 2 und wird dann im 2. Feld des Arrays A eingetragen.



- ⇒ Nun werden die nächsten 2 Bäume mit Wurzel (18) und (24) verschmolzen.



⇒ Jetzt sind noch die beiden Knoten (23) und (52) vom gleichen Grad und werden verschmolzen. Nach dem Verschmelzen entsteht nun wieder ein Baum mit Grad 1, welcher nun mit dem Baum mit Wurzel (17) verschmolzen werden muss. Dann sind wir fertig.



⇒ Das Array A kann nun gelöscht werden

## Der ganze Algorithmus sieht nun so aus:

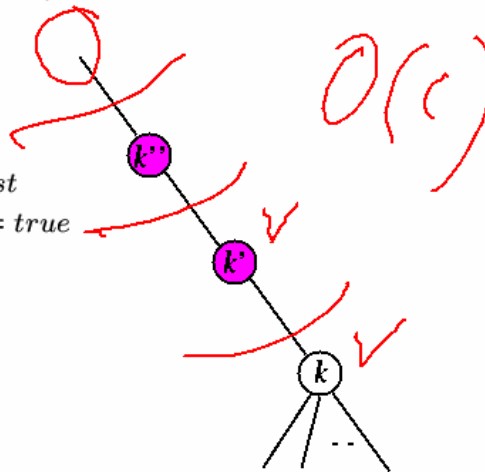
### *Q.consolidate()*

- 1  $A = \text{Array von Fibonacci-Heap Knoten der Länge } 2 \log n$
- 2 **for**  $i = 0$  **to**  $2 \log n$  **do**  $A[i] = \text{frei}$
- 3 **while**  $Q.\text{rootlist} \neq \emptyset$  **do**
- 4      $B = Q.\text{delete-first}()$
- 5     **while**  $A[\text{rang}(B)]$  ist nicht frei **do**
- 6          $B' = A[\text{rang}(B)]$
- 7          $A[\text{rang}(B)] = \text{frei}$
- 8          $B = \text{Link}(B, B')$
- 9     **end while**
- 10      $A[\text{rang}(B)] = B$
- 11 **end while**
- 12  $Q.\text{rootlist} = A.\text{list}()$
- 13 bestimme  $Q.\text{min}$

## Algorithmus Decrease Key

*Q.decrease-key(v, k)*

```
1 if $k > v.key$ then return
2 $v.key = k$
3 update $Q.min$
4 if $v \in Q.rootlist$ or $k \geq v.parent.key$ then return
5 do /* cascading cuts */
6 $parent = v.parent$
7 $Q.cut(v)$
8 $v = parent$
9 while $v.mark$ and $v \notin Q.rootlist$
10 if $v \notin Q.rootlist$ then $v.mark = true$
```



- ⇒ Zum Ersetzen eines Schlüssels durch einen kleineren Schlüssel
- ⇒ Die Heapbedingung wird gesichert in dem der verringerte Knoten und seine nachfolger in die Wurzelliste mitaufgenommen werden (KEIN HEAPSORT)
- ⇒ Der Vater des entfernten Knoten wird nun markiert, sollte er schon markiert sein, wird er selbst auch in Wurzelliste mit aufgenommen und der Knoten darüber wird markiert → Cascading Cuts !
- ⇒ Die Laufzeit des Algorithmus ist durch die Anzahl der benötigten Cuts bestimmt also  $O(\text{Cuts})$

## Algorithmus Q.cut

*Q.cut(v)*

```
1 if $v \notin Q.rootlist$
2 then /* trenne v von seinem Vater */
3 $rang(v.parent) = rang(v.parent) - 1$
4 $v.parent = null$
5 entferne v aus $v.parent.childlist$
6 füge v in $Q.rootlist$ ein
```

- ⇒ Der oben beschriebene Cut Algorithmus für die Cascading Cuts
- ⇒ Cut gehe ihn konstanter Zeit  $O(1)$

## Algorithmus Q.delete

- ⇒ zum entfernen eines beliebigen Knotens

### *Q.delete(v)*

- 1 **if**  $v = Q.min$
- 2     **then return**  $Q.delete-min$
- 3  $Q.cut(v)$  und kaskadiere
- 4 entferne  $v$  aus  $Q.rootlist$
- 5 füge  $v.childlist$  in  $Q.rootlist$  ein
- 6 **return**  $v.key$

- ⇒ Zunächst wird überprüft ob der zu entfernende Knoten  $v$  evtl. ein der min-Knoten ist, falls ja wird  $deletemin$  aufgerufen
- ⇒ Sonst wird mittels Cut der Knoten  $v$  in die Wurzelliste übernommen und Cascading Cuts ausgeführt (siehe oben)
- ⇒ Der Knoten  $v$  wird nun aus der Wurzelliste entfernt und sein Kinder in diese eingefügt
- ⇒ Die Laufzeit des Algorithmus ist durch die Anzahl der benötigten Cuts bestimmt also  $O(\text{Cuts})$

Wir wollen nun noch einmal genau erklären wann ein Knoten markiert wird

### Markieren von Knoten

- ⇒ wenn  $v$  an einen Knoten angehängt wird, dann wird  $v$  demarkiert
  - also  $v.mark = false$
- ⇒ wenn  $v$  einen seiner Söhne verliert, dann wird  $v$  markiert
  - also  $v.mark = true$
- ⇒ wenn  $v$  nun einen zweiten Sohn verliert, dann wird  $v$  abgetrennt und in die Wurzelliste übernommen

Die Markierung gibt also an, ob  $v$  bereits einen Sohn verloren hat, seitdem  $v$  zuletzt Sohn eines anderen Knotens geworden ist.

### Analyse der Operationen von Fibonacci Heaps

Mit Hilfe der Potentialfunktionsmethode.

Folgende Funktion verwenden wir:  $\Phi_Q = r_Q + 2m_Q$

$r_Q$

- ⇒ ist die Anzahl der Knoten in  $Q.rootlist$

$m_Q$

- ⇒ ist die Anzahl der markierten Knoten in  $Q$ , die sich nicht in der Wurzelliste befinden

Die Analyse der Operationen ergab folgendes:

|                        | Liste  | Heap                        | Bin.-Q.     | Fib.-Hp.      |
|------------------------|--------|-----------------------------|-------------|---------------|
| insert                 | $O(1)$ | $O(\log n)$                 | $O(\log n)$ | $O(1)$        |
| min                    | $O(1)$ | $O(1)$                      | $O(1)$      | $O(1)$        |
| delete-min             | $O(n)$ | $O(\log n)$                 | $O(\log n)$ | $O(\log n)^*$ |
| meld<br>( $m \leq n$ ) | $O(1)$ | $O(n)$ od.<br>$O(m \log n)$ | $O(\log n)$ | $O(1)$        |
| decr.-key              | $O(1)$ | $O(\log n)$                 | $O(\log n)$ | $O(1)^*$      |
| delete                 | $O(1)$ | $O(\log n)$                 | $O(\log n)$ | $O(\log n)^*$ |

\* = amortisierte Zeit

Erkenntnis: Eine der Operationen des Fibonacci Heaps muss logarithmisch, da man sonst die untere Schranke des Sortieren unterschreiten und man somit in  $O(n)$  sortieren könnte, die untere Schranke für Sortieren ist aber  $n \log n$ . Sortieren kann man hier simulieren durch  $n$  mal insert und dann  $n$  mal deletemin. Ergibt  $O(n \log n)$

### Diskurs über die Annahme, dass der $\text{rang}(Q) \leq 2 \log n$ ist

Betrachten wir zunächst folgendes Lemma

Sei  $v$  ein Knoten in dem Fibonacci Heap  $Q$ . Ordnet man die Söhne  $u_1, \dots, u_k$  von  $v$  nach dem Zeitpunkt des Anhängens an  $v$ , dann gilt:

$$\text{rang}(u_i) \geq i - 2$$

**Beweis:**

Zeitpunkt des Anhängens von  $u_i$

$$\# \text{Söhne von } v \text{ (rang}(v)) \geq i - 1$$

( $\rightarrow$  zum Zeitpunkt  $i$  wurden bereits mindestens  $i-1$  Knoten an  $v$  gelinkt)

$$\# \text{Söhne von } u_i \text{ (rang}(u_i)) \geq i - 1$$

( $\rightarrow$  weil der Rang von  $v$  und  $u_i$  gleich sein muss zum verlinken)

# Söhne die  $u_i$  in der Zwischenzeit verloren hat: höchstens 1, da  $u_i$  sonst abgehängt würde. (Stichwort: Markierungen)

$$\Leftrightarrow \text{rang}(u_i) \geq i-2 \text{ q.e.d.}$$

## Maximaler Rang eines Knotens

Satz: Sei  $v$  ein Knoten in einem Fibonacci Heap  $Q$  mit Rang  $k$ . Dann ist  $v$  die Wurzel eines Teilbaumes mit mindestens  $F_{k+2}$  Knoten.  $F_k$  ist die  $k$ -te Fibonacci Zahl. Deswegen heissen die Fibonacci Heaps so wie sie heissen.

Fibonacci Zahlen

$$F_0 = 0$$

$$F_1 = 1$$

$$F_k = F_{k-1} + F_{k-2}$$

$$\rightarrow \{0, 1, 1, 2, 3, 5, 8, 13, 21, 34, \dots\}$$

$\Rightarrow$  Die Fibonacci Zahlen steigen approximativ wie der „goldene Schnitt“, also  $\approx 1.61^k$   
 $((\sqrt{5}+1)/2) = 1.61\dots$

Die Anzahl der Nachkommen eines Knotens ist exponentiell in der Zahl seiner Söhne

$\Rightarrow$  Für den maximalen Rang  $k$  eines Knotens  $v$  in einem Fibonacci Heap  $Q$  mit  $n$  Knoten gilt:

$$\text{Bei } k \text{ Söhnen gilt } F_{k+2} \leq n \rightarrow k = O(\log n)$$

Beweis:

$S_k$  = Mindestgröße eines Teilbaumes, dessen Wurzel  $k$  Söhne hat

$$S_0 = 1 \geq F_2$$

$$S_1 = 2 \geq F_3$$

$$S_k \geq 2 + \sum_{i=0}^{k-2} S_i \quad \text{für } k \geq 2 \quad (1)$$

Es gilt:

Fibonacci Zahlen:

$$F_{k+2} = 2 + \sum_{i=2}^k F_i \quad (2)$$

$$= 2 + F_2 + F_3 + \dots + F_k$$

$$\leq S_0 + S_1 + \dots + S_{k-2} \leq S_k$$

aus (1) und (2) und Induktion folgt:  $S_k \geq F_{k+2}$

## Vorlesung 10 – Union Find Strukturen

Problem:

Verwaltung einer Familie von disjunkten Mengen unter den Operationen.

### Repräsentation der Mengen $M_i$ :

$M_i$  wird durch ein repräsentatives Element aus  $M_i$  identifiziert

*e.make-set()*:

erzeugt eine neue Menge mit kanonischem Element e. Die Menge wird durch e repräsentiert

*e.find-set()*:

Liefert den Namen des Repräsentanten derjenigen Menge, die das Element e enthält.

*e.union(f)*:

Vereinigt die Mengen  $M_e$  und  $M_f$ , die die Elemente e und f enthalten, zu einer neuen Menge M und liefert ein Element aus  $M_e \cup M_f$  als Repräsentanten von M.  $M_e$  und  $M_f$  werden zerstört.

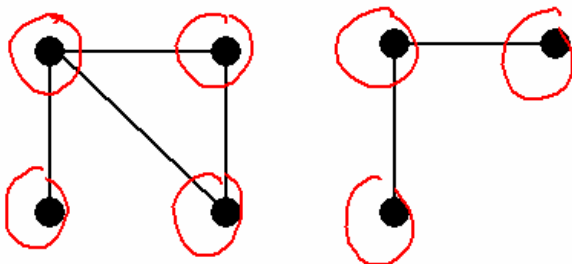
### Beispiel: Zusammenhangstest

Input: Graph  $G=(V,E)$

Output: Die Familie der Zusammenhangskomponenten von G

### Algorithmus: Connected Components

```
for all v in V do v.makeset()
for all (u,v) in E do
 if u.findset() ≠ v.findset()
 then u.union(v)
```



- Erzeuge für jeden Knoten ein Set
- Wenn es eine Kante gibt die die Knoten u und v verbindet, aber u und v noch in verschiedenen Sets sind, dann werden diese beiden Sets vereinigt

Same Component (u,v):

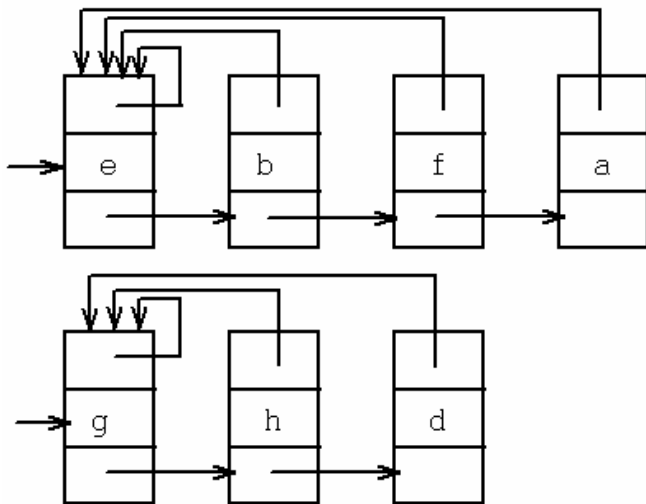
```

if u.findset() = v.findset()
then return true
else return false

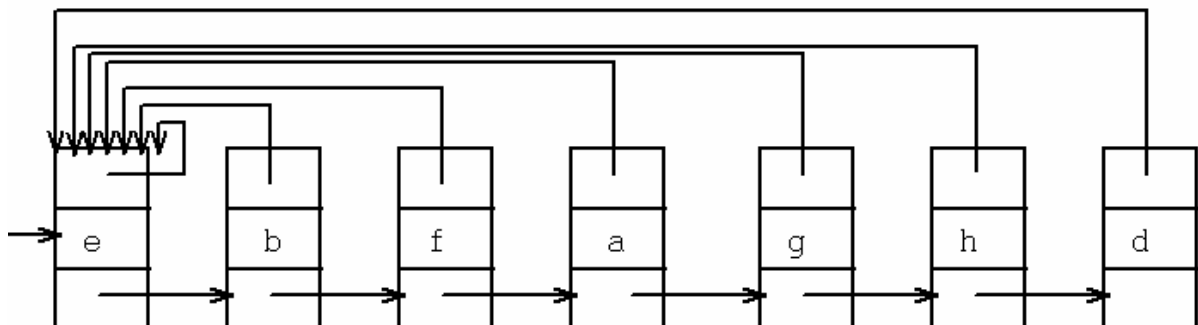
```

- testen ob zwei Knoten in der gleichen Zusammenhangskomponente liegen

**Repräsentation durch verkettete Listen:**



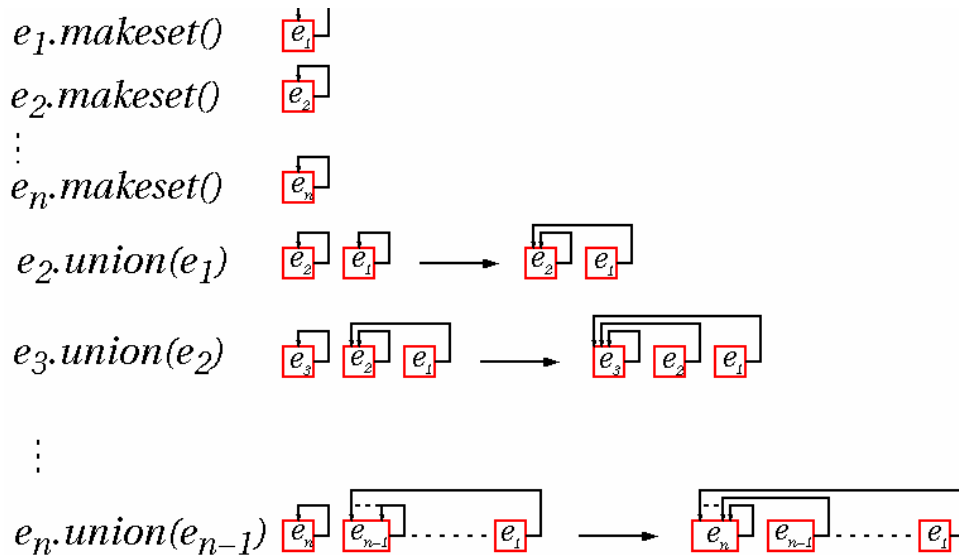
b.union(d) → g wird an Knoten a angehängt (z.B. a.union(g) würde dasselbe machen)



Laufzeit der verwendeten Operationen:

- x.makeset() → O(1)
- x.findset() → O(1)
- x.union(y) → O(Größe der angehängten Liste)

Worst Case - Operationenfolgen:



Problem: Längere Liste wird stets an die kürzere angehängt

- wir haben dann im ungünstigsten Fall  $i-1$  Zeigerzuweisungen im  $i$ -ten Schritt ( $e_i.union(e_{i-1})$ )
- $2n$  Operationen kosten also:  $O(n) + O(\sum_{i=2}^n i - 1)$

→ Verbesserung: Immer kleinere an größere Liste anhängen !

man nennt dies gewichtete Union-Heuristik, man muss dann allerdings die Listenlänge als Parameter mitführen.

**Satz:**

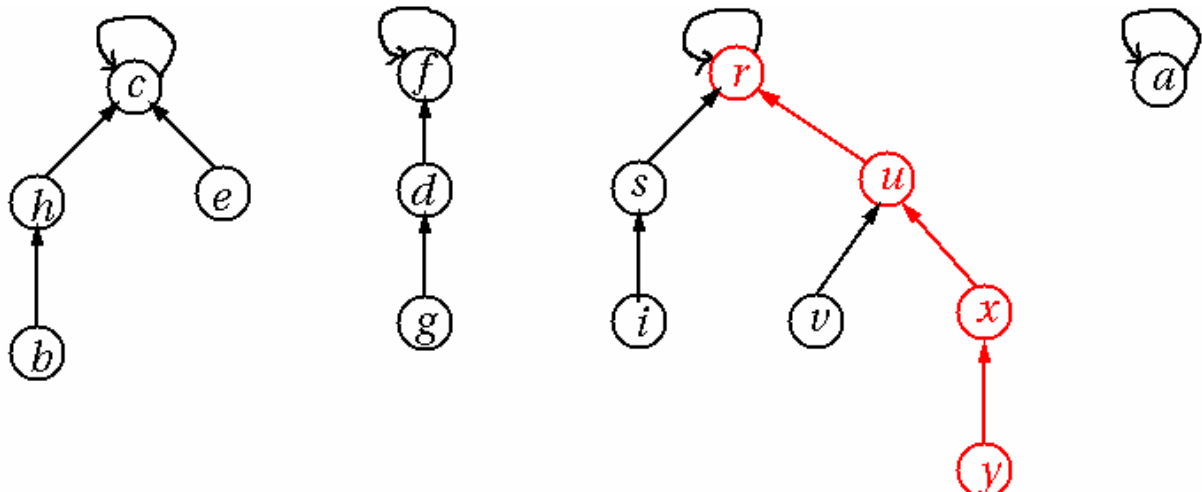
Bei Verwendung der gewichteten Union-Heuristik kann jede Folge von  $m$   $makeset()$ ,  $find()$  und  $union()$  Operationen, die höchstens  $n$   $makeset()$ -Operationen enthält in Zeit  $O(m+n \log n)$  ausgeführt werden.

**Beweis:**

Betrachte Element  $e$

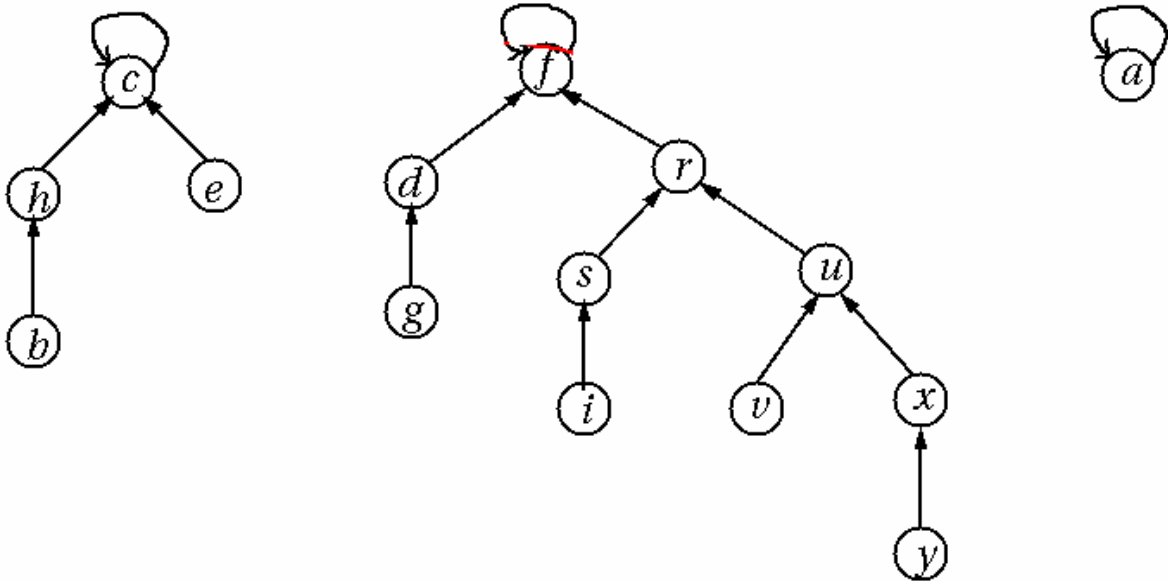
Anzahl der Änderungen des Zeigers von  $e$  auf das repräsentative Element:  $\log n$

**Repräsentation durch Wald von Bäumen**



- $a.makeset()$  → siehe rechterster Baum

- `y.findset()` → siehe roten Pfad (liefert `r` als Ergebnis)
- `d.union(i)` → Mache den Repräsentanten der einen Menge (z.B. `f`) zum direkten Vater des Repräsentanten der anderen Menge (`r`)



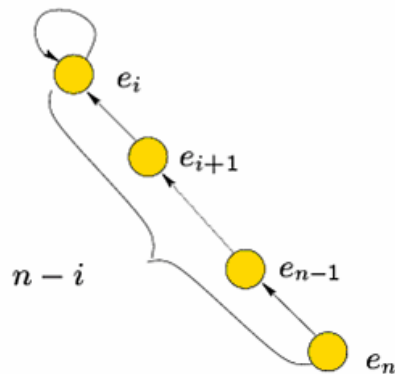
### Worst-Case Beispiel

```

for i = 1 to n do e_i .make-set()
for i = n to 2 do e_{i-1} .union(e_i)
for i = 1 to f do e_n .find-set()

```

### *i*-ter Schritt



- Erzeuge  $n$  Bäume mit einem Element (Knoten)
- Vereinige diese Bäume nun in umgekehrte Reihenfolge  
⇒ Somit entsteht eine lineare Liste
- man benötigt nun für die  $f$  `findset()` Operationen  $O(f \cdot n)$  Zeit  
→ SCHLECHT

Verbesserung (ähnlich wie zuvor bei den verketteten Listen)

## Vereinigung nach Größe

### zusätzliches Feld:

$e.size = (\# \text{Knoten im Teilbaum von } e)$

### $e.make\text{-Set}()$

- 1  $e.parent = e$
- 2  $e.size = 1$

### $e.union(f)$

- 1  $Link(e.find\text{-set}(), f.find\text{-set}())$

### $Link(e, f)$

- 1 **if**  $e.size \geq f.size$
- 2     **then**  $f.parent = e$
- 3          $e.size = e.size + f.size$
- 4 **else**  $/* e.size < f.size */$
- 5          $e.parent = f$
- 6          $f.size = e.size + f.size$

- Der kleinere Baum wird nun an den Größeren angehängt

### Satz:

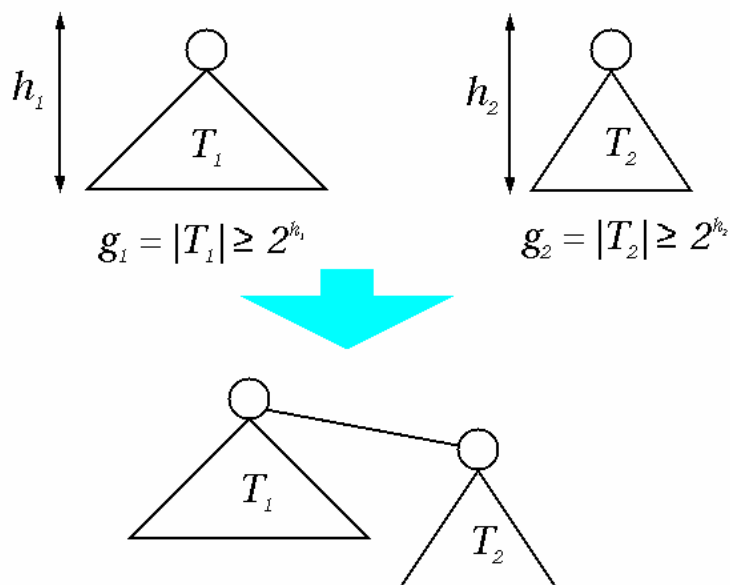
Das Verfahren „Vereinigung nach Größe“ hat folgende Invariante:

⇒ Ein Baum mit Höhe  $h$  hat wenigstens  $2^h$  Knoten

### Beweis:

Induktionsanfang: Bei einem Baum mit einem Knoten gilt die Behauptung weil  $2^0=1$

Induktionsschritt:



$$g_1 \geq g_2$$

**Fall1:** Der neue Baum ist genauso hoch wie  $T_1$

$$g_1 + g_2 \geq g_1 \geq 2^{h_1}$$

**Fall2:** Der neue Baum ist gewachsen

Höhe von T:  $h_2 + 1$

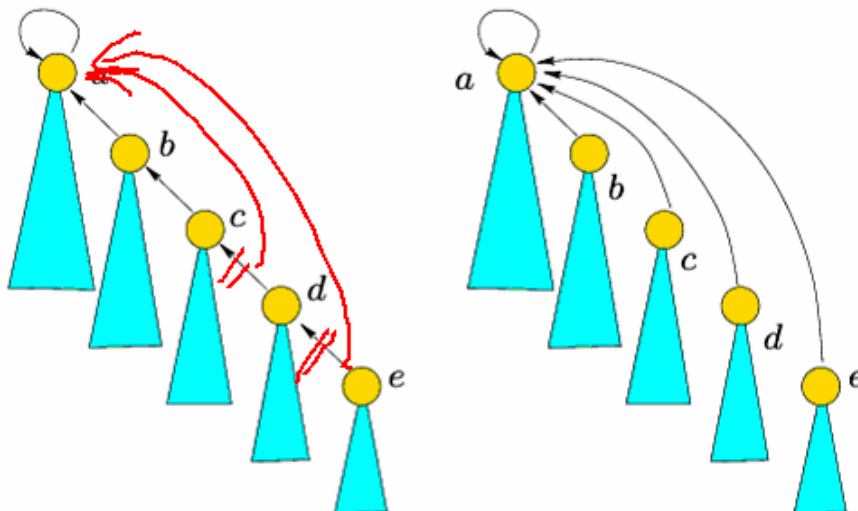
$$g = g_1 + g_2 \geq 2^{h_2} + 2^{h_2} = 2^{h_2+1} \geq g_2$$

**Konsequenz:**

Eine `findset()`-Operation kostet höchstens  $O(\log n)$  viele Schritte, falls die Anzahl der `makeset()`-Operationen gleich  $n$  ist

**Weitere Verbesserung durch Pfadverkürzung**

*e.findset()*



*e.find-set()*

- 1 **if**  $e \neq e.parent$
- 2     **then**  $e.parent = e.parent.find-set()$
- 3 **return**  $e.parent$

Beim durchlaufen der Knoten während `findset()` setzt man einfach alle Zeiger direkt auf die Wurzel

**Analyse der Laufzeit**

$m$  Gesamtanzahl der Operationen, davon sind

f find-Set() Operationen und  
 n make-Set() Operationen.  
 ⇒ höchstens n-1 union-Operationen

**Vereinigung nach Größe:**

⇒  $O(n + f \log n)$

**Vereinigung mit Pfadverkürzung**

Falls  $f < n$ ,  $\Theta(n + f \log n)$

⇒ Falls  $f \geq n$ ,  $\Theta(f \log_{1+f/n} n)$

Anmerkung: Die Basis des Logarithmus in der Laufzeit verändert sich.

Satz: (Vereinigung nach Größe und Pfadverkürzung)

m union-find-operationen über n Elementen benötigen bei der Verwendung der Strategie

Vereinigung nach Größe und Pfadverkürzung  $\Theta(m \cdot \alpha(m, n))$  Schritte.

Wobei  $\alpha(m, n)$  die inverse der Ackermann Funktion ist !!!

**Exkurs: Ackermann Funktion und Inverse**

**Ackermann Funktion**

$$\begin{aligned} A(1, j) &= 2^j, && \text{für } j \geq 1 \\ A(i, 1) &= A(i - 1, 2) && \text{für } i \geq 2 \\ A(i, j) &= A(i - 1, A(i, j - 1)) && \text{für } i, j \geq 2 \end{aligned}$$

**Inverse Ackermann Funktion**

$$\alpha(m, n) = \min\{i \geq 1 \mid A(i, \lfloor m/n \rfloor) > \log n\}$$

$$\begin{aligned} A(i, \lfloor m/n \rfloor) &\geq A(i, 1) \\ A(2, 1) &= A(1, 2) = 2^2 = 4 \\ A(3, 1) &= A(2, 2) = A(1, A(2, 1)) = 2^4 = 16 \\ A(4, 1) &= A(3, 2) = A(2, A(3, 1)) = A(2, 16) \\ &\geq 2^{2^{2^2}} = 2^{65536} \end{aligned}$$

$$\alpha(m, n) \leq 4, \text{ für } \log n < 2^{65536}$$

**Vorlesung 11 – Greedy Verfahren**

Greedy Verfahren kann man zur Lösung eines Optimierungsproblems verwenden

⇒ Treffe in jedem Verfahrensschritt diejenige Entscheidung die im Moment am besten ist

Es gibt 3 Möglichkeiten des Ergebnisses:

- Wir erhalten stets die optimale Gesamtlösung
- Wir erhalten eine Lösung, die zwar nicht optimal ist, aber vom Optimum stets nur wenig abweicht
- Die berechnete Lösung kann beliebig schlecht werden

**Zwei einfache Beispiele bei denen Greedy sehr schlecht werden kann.**

### Beispiel 1: Münzwechselproblem

Euro Bargeld Werte:

{500, 200, 100, 50, 20, 10, 5, 2, 1}

#### Beobachtung:

Jeder Euro Betrag kann durch Münzen und Banknoten mit diesen Werten bezahlt werden.

#### Ziel:

Bezahlung eines Betrages  $n$  mit möglichst wenig Münzen und Banknoten

Das Greedy Verfahren geht nun folgendermaßen vor:  
Wähle die maximale Anzahl von Banknoten und Münzen mit jeweils größtmöglichem Wert, bis der gewünschte Betrag  $n$  erreicht ist.

Beispiel:  $n=487$

|            |            |            |           |           |           |          |          |          |
|------------|------------|------------|-----------|-----------|-----------|----------|----------|----------|
| <b>500</b> | <b>200</b> | <b>100</b> | <b>50</b> | <b>20</b> | <b>10</b> | <b>5</b> | <b>2</b> | <b>1</b> |
| -          | 2x         | -          | 1x        | 1x        | 1x        | 1x       | 1x       | -        |

#### Allgemeines Münzwechselproblem:

Werte von Münzen und Banknoten  $n_1, \dots, n_k$  mit  $n_1 > n_2 > n_3 > n_4 > \dots > n_k$  und  $n_k = 1$

#### Das Greedy Zahlungsverfahren als Algorithmus

**1.**  $w = n$

**2. for**  $i = 1$  **to**  $k$  **do**

# Münzen mit Wert  $n_i = \lfloor w / n_i \rfloor$

$w = w - n_i \lfloor w / n_i \rfloor$

Jeder Geldbetrag kann bezahlt werden

#### Beispiel für ein beliebig schlechtes Abschneiden des Greedy Verfahrens

Im Land Absurdia

Es gibt nur drei Münzen:  $n_3 = 1$ ;  $n_2 > 1$  beliebig;  $n_1 = 2n_2 + 1$

Beispiel: 41,20,1

Zu zahlender Betrag  $n = 3n_2$  (z.B.  $n=60$ )

Optimale Zahlungsweise: 3 Münzen à  $n_2$

Greedy Zahlungsverfahren: → eine Münze vom Wert  $n_3$   
Rest ist nun  $n - n_3$   
→ Greedy wählt  $n_2 - 1$  Münzen vom Wert  $n_1 = 1$

Wie man sieht wählt Greedy hier sehr schlecht, weil  $n_2$  beliebig ist

## Beispiel 2: Travelling Salesman Problem (TSP)

Gegeben:  $n$  Orte und Kosten  $c(i,j)$  um von  $i$  nach  $j$  zu reisen  
Gesucht: Eine billigste Rundreise, die alle Orte genau einmal besucht

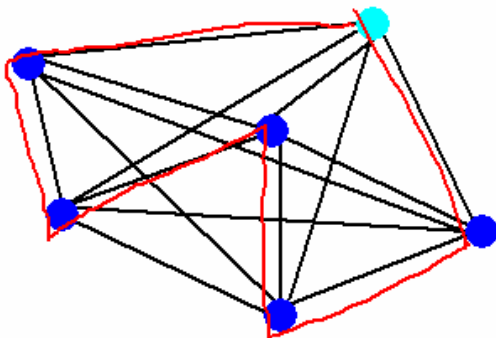
Formal: Eine Permutation  $p$  von  $\{1, \dots, n\}$  so dass

$$c(p(1), p(2)) + \dots + c(p(n-1), p(n)) + c(p(n), p(1))$$

minimal ist

### Greedy Verfahren zur Lösung von TSP:

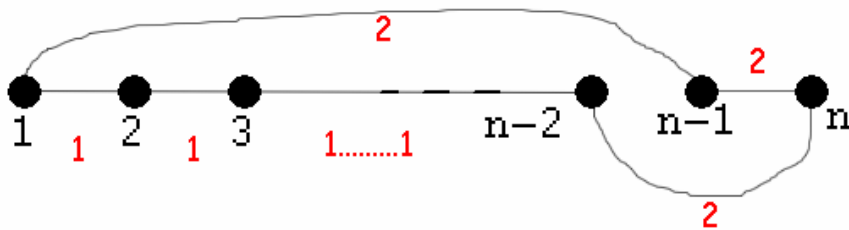
Beginne mit Ort 1 und gehe jeweils zum nächsten noch nicht besuchten Ort. Wenn alle Orte besucht sind, kehre zum Ausgangsort 1 zurück.



Vollständiger Graph

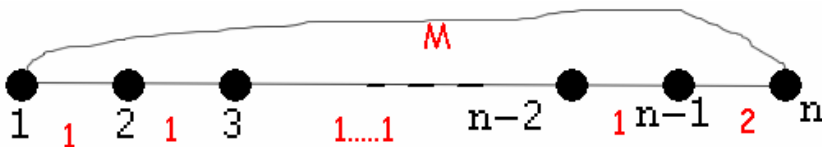
### Beispiel für beliebig schlechtes Abschneiden des Greedy Verfahren:

$c(i, i+1) = 1$ , für  $i = 1, 2, \dots, n-1$   
 $c(n, 1) = M$ , für eine sehr große Zahl  $M$   
 $c(i, j) = 2$ , sonst



Optimale Lösung ( $c(T)=n+3$ )

Vom Greedy Verfahren berechnete Tour:



Sehr schlechte Lösung ( $c(T)=n-1+M$ )

## Das Aktivitäten Auswahlproblem

Gegeben:

- ⇒  $S = \{a_1, a_2, a_3, \dots, a_n\}$ , Menge von  $n$  Aktivitäten, die alle eine Ressource benötigen, z.B. einen Hörsaal

Aktivität  $a_i$ :

- ⇒ Beginn  $b_i$  und Ende  $e_i$
- ⇒ Aktivitäten  $a_i$  und  $a_j$  heißen kompatibel, falls:

$$[b_i, e_i) \cap [b_j, e_j) = \emptyset$$

Gesucht:

- ⇒ Eine größtmögliche Menge paarweise kompatibler Aktivitäten

Idee:

- ⇒ Maximiere die nicht verwendete Zeit

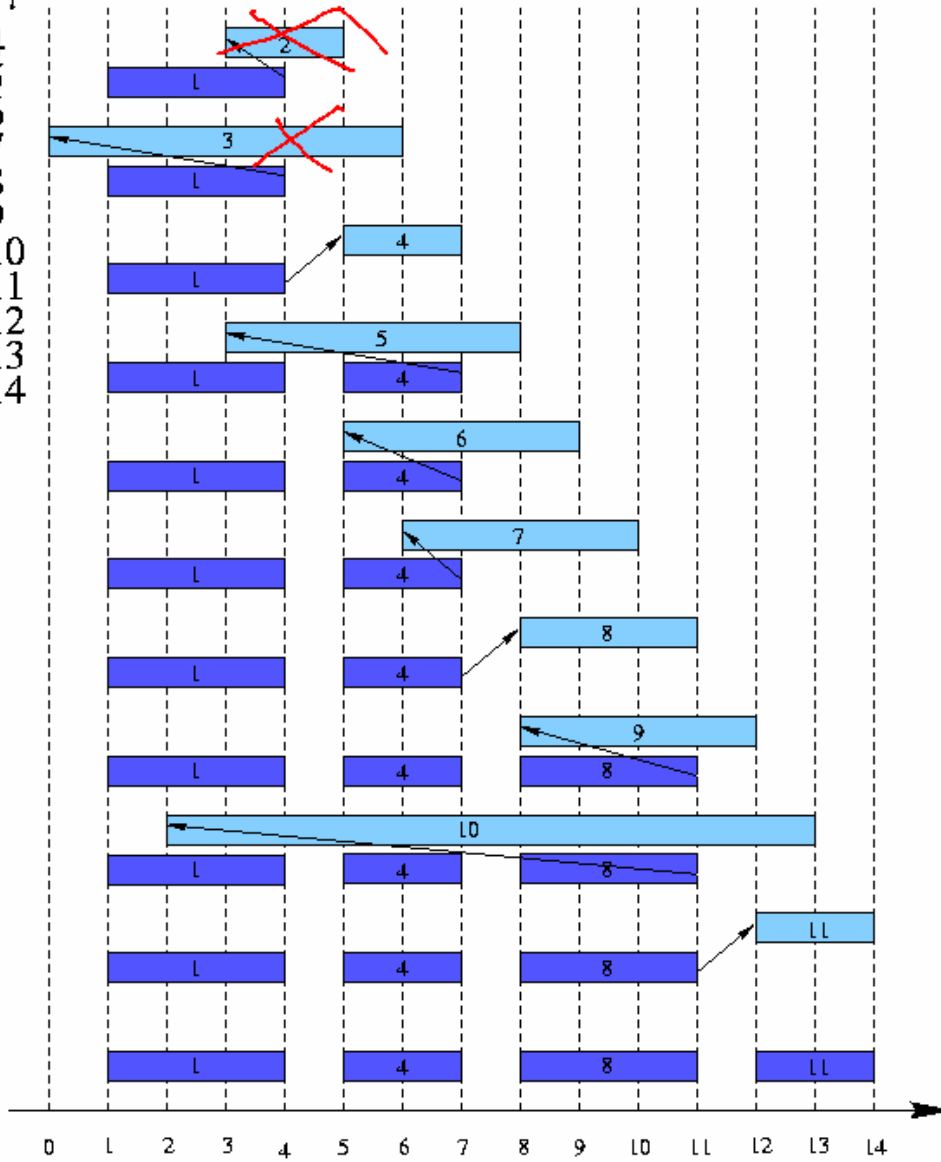
Annahme:

- ⇒ Aktivitäten sind nach aufsteigender Zeit des Endes sortiert:
- ⇒  $e_1 \leq e_2 \leq e_3 \leq \dots \leq e_n$

Greedy Strategie:

- ⇒ Wähle immer die Aktivität mit frühestem Endzeitpunkt, die legal eingeplant werden kann
- ⇒ Insbesondere ist die erste Aktivität die mit dem frühesten Endzeitpunkt

|       |       |       |
|-------|-------|-------|
| $a_i$ | $b_i$ | $e_i$ |
| 1     | 1     | 4     |
| 2     | 3     | 5     |
| 3     | 0     | 6     |
| 4     | 5     | 7     |
| 5     | 3     | 8     |
| 6     | 5     | 9     |
| 7     | 6     | 10    |
| 8     | 8     | 11    |
| 9     | 8     | 12    |
| 10    | 2     | 13    |
| 11    | 12    | 14    |



### Der Zugehörige Algorithmus

### Algorithmus Greedy-Aktivitäten

**Input:**  $n$  Aktivitätenintervalle  $[b_i, e_i)$ ,  $1 \leq i \leq n$   
mit  $e_i \leq e_{i+1}$ ;

**Output:** Eine maximal große Menge von paarweise kompatiblen Aktivitäten;

```
1 $A_1 = \{a_1\}$
2 $last = 1$
3 for $i = 2$ to n do
 /* $last$ ist die zuletzt zu A_{i-1} hinzugefügte
 Aktivität */
4 if $b_i < e_{last}$
5 then $A_i = A_{i-1}$
6 else /* $b_i \geq e_{last}$ */
7 $A_i = A_{i-1} \cup \{a_i\}$
8 $last = i$
9 return A_n
```

Laufzeit des Algorithmus:  $O(n)$

(Schleife von 2 bis  $n$ , jedes Element muss einmal angesehen werden)

### Invarianten:

Es gilt:  $e_{last} = \max\{e_k | a_k \in A_i\}$

Es gibt eine optimale Lösung  $A^*$  mit

$$A^* \cap \{a_1, \dots, a_i\} = A_i$$

Satz:

⇒ Das Greedy Verfahren zur Auswahl der Aktivitäten liefert eine optimale Lösung des Aktivitäten Auswahlproblems

Beweis:

⇒ Wir zeigen: Für alle  $1 \leq i \leq n$  gilt:

○ Es gibt eine optimale Lösung  $A^*$  mit  $A^* \cap \{a_1, \dots, a_i\} = A_i$

⇒ Induktionsanfang:  $i=1$ :

○ wähle  $A^* \subseteq \{a_1, \dots, a_n\}$ ,  $A^*$  ist optimal  $A^* = \{A_{i_1}, \dots, A_{i_k}\}$

$$A^* = \boxed{a_{i_1}} \quad \boxed{a_{i_2}} \quad \boxed{a_{i_3}} \quad \dots \quad \boxed{a_{i_k}}$$
$$\boxed{a_1}$$

$A_2^* = A^* \setminus \{a_{i_1}\} \cup \{a_1\}$  (d.h.  $a_{i_1}$  wird durch  $a_1$  ersetzt) → Der Induktionsanfang stimmt

⇒ Induktionsschritt:  $i-1 \rightarrow i$

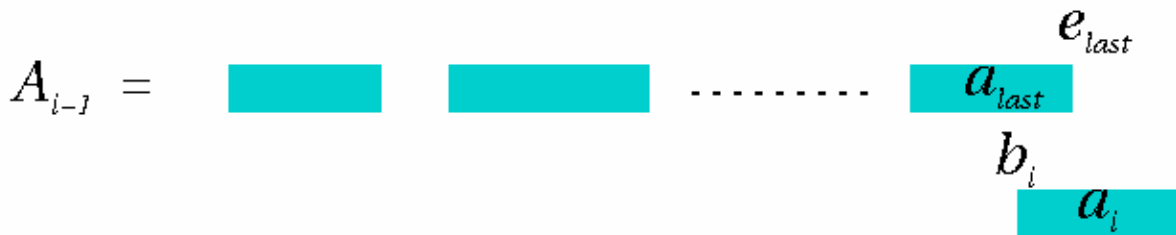
⇒ Wähle  $A^* \subseteq \{a_1, \dots, a_n\}$ ,  $A^*$  ist optimal mit  $A^* \cap \{a_1, \dots, a_{i-1}\} = A_{i-1}$

⇒ Betrachte  $R = A^* \setminus A_{i-1}$

Beobachtung:

⇒ R ist eine optimale Lösung für die Menge der Aktivitäten in  $\{a_1, \dots, a_n\}$  die zu den Aktivitäten in  $A_{i-1}$  kompatibel sind.

Fall 1:  $b_i < e_{last}$



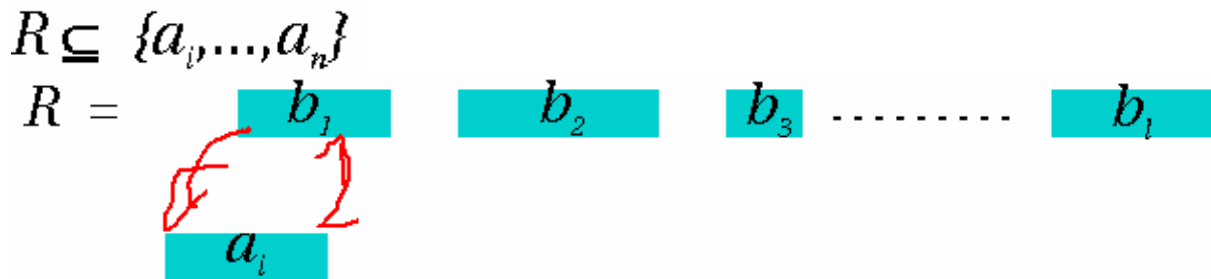
⇒  $a_i$  ist nicht kompatibel zu  $a_{i-1}$   
 ⇒  $a_i$  ist nicht in R enthalten und auch nicht in  $A^*$   
 ⇒  $A^* \cap \{a_1, \dots, a_i\} = A_{i-1} = A_i$

Fall 2:  $b_i \geq e_{last}$



⇒  $a_i$  ist kompatibel zu  $a_{i-1}$

Es gilt:



⇒  $B^* = A_{i-1} \cup (R \setminus \{b_j\}) \cup \{a_i\}$  ist optimal

$$B^* \cap \{a_1, \dots, a_i\} = A_{i-1} \cup \{a_i\} = A_i$$

$$A^* \cap \{a_1, \dots, a_n\} = A^* = A_n$$

## Wann ist ein Greedy Verfahren Optimal ?

Dazu muss man folgende zwei Dinge zeigen:

1. Greedy Wahl Eigenschaft
  - Wann man eine optimale Teillösung hat, und man trifft eine lokal optimale Wahl, dann gibt es eine global optimale Lösung, die diese Wahl enthält
  - $G^*$  ist Obermenge von  $T^* \cup \{1\text{-opt}\}$

2. Optimalität von Teillösungen:

- Eine Teillösung einer optimalen Lösung ist eine optimale Lösung des Teilproblems
- $T^* \cup \{l\text{-opt}\} = T_2^*$
- $G^*$  ist Obermenge von  $T_2^* \cup \{l\text{-opt}\}$
- Usw.

⇒ Nach jeder lokal optimalen Wahl erhalten wir ein zur Ausgangssituation analoges Problem

### Binäre Zeichen Codes

ASCII Code, UNICODE

Jeder Buchstabe einer Datei wird durch eine eindeutig bestimmte Bitsequenz (Codewort) repräsentiert.

Codeworte können

- a. feste
- b. variable

Länge haben

Codes variabler und fester Länge

**Beispiel:** Datei  $D$  mit 100 000 Zeichen aus  $\{a, b, c, d, e, f\}$

| Zeichen                 | $a$ | $b$ | $c$ | $d$ | $e$  | $f$  |
|-------------------------|-----|-----|-----|-----|------|------|
| Häufigkeit<br>(in 1000) | 45  | 13  | 12  | 16  | 9    | 5    |
| Codewort<br>fester Län. | 000 | 001 | 010 | 011 | 100  | 101  |
| variab. Län.            | 0   | 101 | 100 | 111 | 1101 | 1100 |

- a. feste Länge:  $|Kodifikat(D)| = 300.000 \text{ Bits}$
- b. variable Länge:  $|Kodifikat(D)| = (45*1 + (13+12+16)*3 + (9+5)*4)*1000 = 224.000 \text{ Bits}$

### Präfix Codes

Entschlüsselung

- a. Code fester Länge: Pro Gruppe von Bits ein Zeichen
- b. Code variable Länge: Präfix Codes

Präfix-Code:

→ Kein Codewort ist Präfix eines anderen Codeworts

Dekodierungsbeispiel:

Der obige Code variabler Länge ist ein Präfix-Code

Entschlüsselung von 0 0 101 1101... = aabe...

a a b e

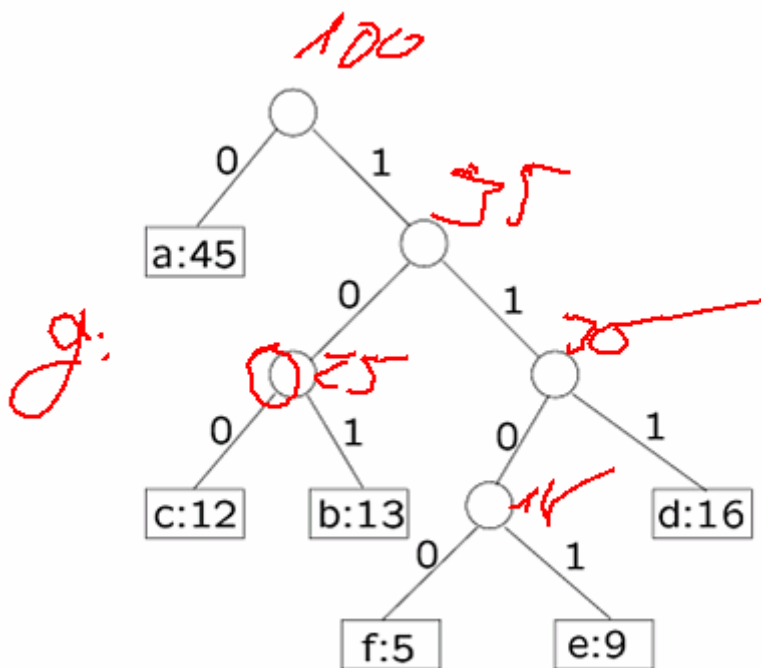
Man muss immer von Anfang an entschlüsseln. Man darf nicht mittendrin anfangen, da sonst falsche Wörter gelesene werden können.

## Darstellung von Präfix-Codes

Binärbaume:

Trie von Retrieval

Beispiel:



## Code Bäume

- ⇒ Jedes **Blatt** repräsentiert einen Buchstaben (mit Häufigkeit)
- ⇒ Jeder **innere Knoten**  $v$  enthält das Gewicht (Summe der Häufigkeiten) der Blätter des Teilbaumes mit Wurzel  $v$
- ⇒ Jede **Kante** erhält ein Label  $\in \{0,1\}$
- ⇒ Jeder **Weg** von der Wurzel zu einem Blatt repräsentiert ein Codewort

## Optimalität von Präfixcodes

**Optimaler Präfixcode C** (für eine Datei D):

Kodierung von D mit C hat minimale Gesamtlänge

Lemma:

Der einem optimalen Präfixcode für eine Datei entsprechende Code-Baum ist ein vollständiger Binärbaum, d.h. ein Binärbaum für den jeder innere Knoten zwei Söhne hat.

Besteht die Datei  $D$  aus den Buchstaben von  $A$ , so hat der Codebaum eines optimalen Präfixcodes für die Elemente von  $A$  genau

⇒  $|A|$  Blätter

⇒  $|A| - 1$  innere Knoten

## Kosten eines Code-Baumes

Es sei

$T$  Code-Baum eines Präfix Codes  
 $f(c)$  = Häufigkeit des Buchstabens  $c \in A$  in der Datei  $D$   
 $d_T(c)$  = Tiefe des  $c$  repräsentierenden Blattes in  $T$   
= Länge des Codeworts für  $c$

Dann ist:

$$\begin{aligned} B(T) &= \sum_{c \in A} f(c) \cdot d_T(c) = \text{Kosten von } T \\ &= \text{Anzahl der Bits, um die Datei } D \\ &\quad \text{durch den mit } T \text{ beschriebenen} \\ &\quad \text{Code zu kodieren} \end{aligned}$$

## Huffman Codes

### Vorschlag zur Konstruktion eines Code Baumes

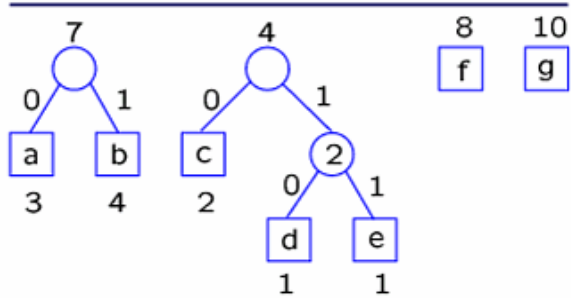
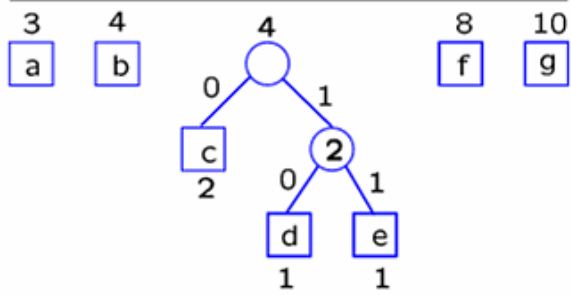
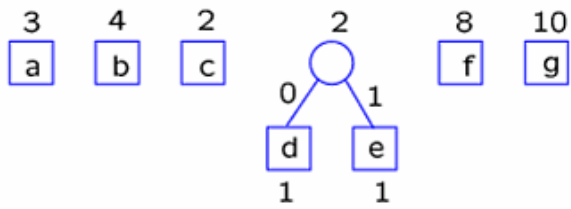
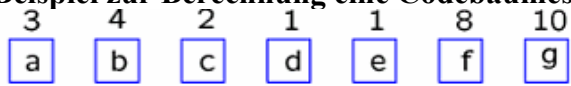
**Algorithmus** *Huffman-Code*

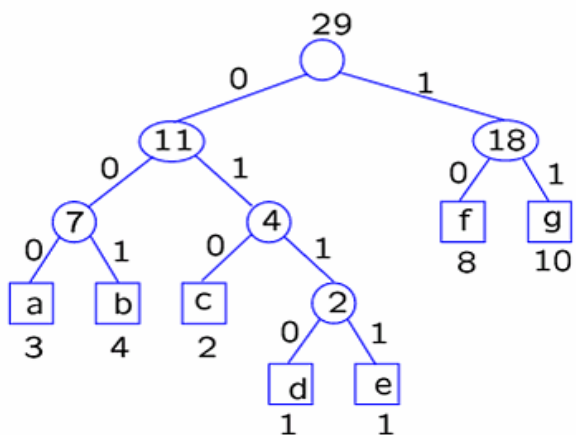
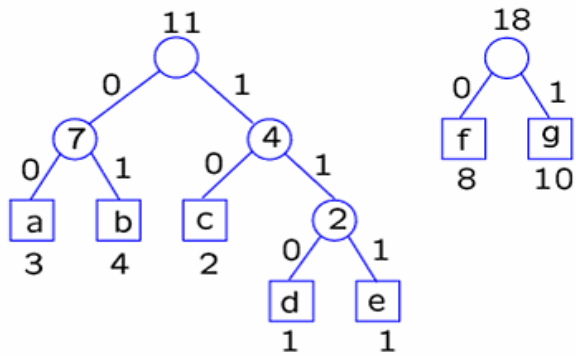
**Input:** Eine Menge von Zeichen  $A$  mit Häufigkeiten  $c.f$  für  $c \in A$ ;

**Output:** Der Huffman Code von  $A$

- 1  $n = |A|$
- 2 bilde die Priority Queue  $Q$  von Knoten, die mit den Zeichen von  $A$  initialisiert sind und den Häufigkeiten  $c.f$  als Prioritätsordnung
- 3 **for**  $i = 1$  **to**  $n - 1$  **do**
- 4 schaffe neuen Knoten  $z$  mit Söhnen  $z.right$  und  $z.left$
- 5  $x = Q.delete-min()$ ;  $z.left = x$
- 6  $y = Q.delete-min()$ ;  $z.right = y$
- 7  $z.f = x.f + y.f$
- 8  $Q.insert(z)$
- 9 **return**  $Q.delete-min()$

**Beispiel zur Berechnung eines Codebaumes**





Bemerkungen:

- ⇒ Zur Konstruktion des Huffman Codes sind in der Regel zwei Durchgänge durch den Text erforderlich
  - Ermittlung der Häufigkeiten der Buchstaben
  - Bau des Code-Baumes und Verschlüsselung
- ⇒ Decodierung verlangt Austausch des Code-Baumes (bei Lempel-Ziv entfällt dies)
- ⇒ Entschlüsselung muss stets am Textanfang beginnen

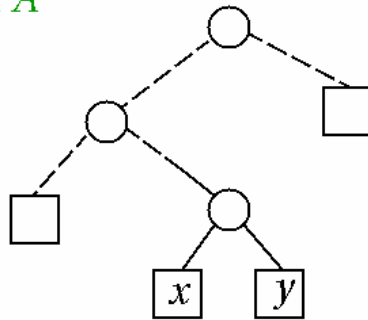
## Korrektheit des Huffman Verfahrens

Lemma 1:

Sei  $A$  ein Alphabet, so dass jeder Buchstabe  $c$  aus  $A$  die Häufigkeit  $f(c)$  hat. Seien  $x$  und  $y$  zwei Buchstaben aus  $A$  mit minimaler Häufigkeit. Dann gibt es einen optimalen Präfixcode, in dem die Codewörter für  $x$  und  $y$  beide maximale Länge haben und sich nur im letzten Bit unterscheiden.

Die vom Huffman Verfahren getroffene erste Wahl ist korrekt

## Code-Baum für A



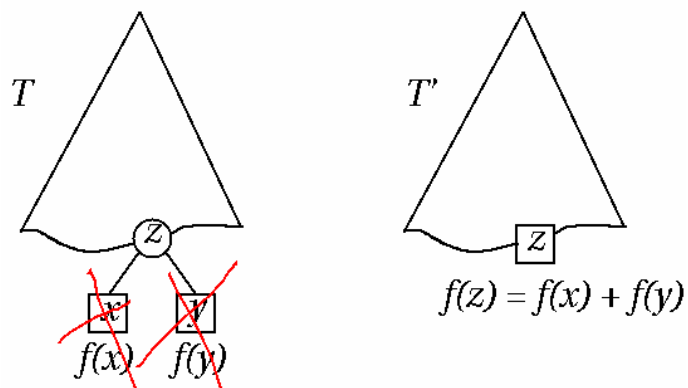
Lemma 2:

Sei  $T$  ein vollständiger Binärbaum der einen optimalen Präfixcode für ein Alphabet  $A$  repräsentiert. Jeder Buchstabe  $c$  aus  $A$  trete mit Häufigkeit  $f(c)$  auf. Seien  $x$  und  $y$  zwei benachbarte Blätter in  $T$  und  $z$  ihr Vater.

Fasst man  $z$  als neuen Buchstaben mit Häufigkeit  $f(z)=f(x)+f(y)$  auf, so ist der Baum  $T' = T \setminus \{x, y\}$  ein optimaler Code-Baum für das Alphabet

$$A' = (A - \{x, y\}) \cup \{z\}$$

Die weiteren Zusammenfassungen im Huffman Verfahren sind korrekt.

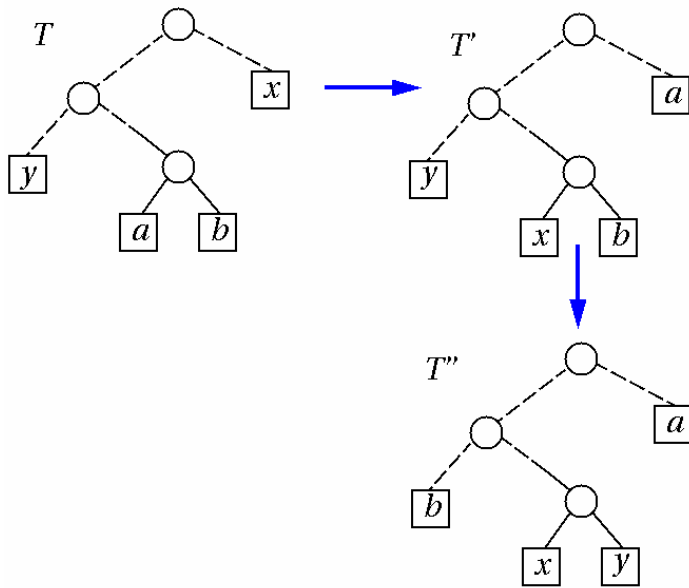


Beweis von Lemma 1:

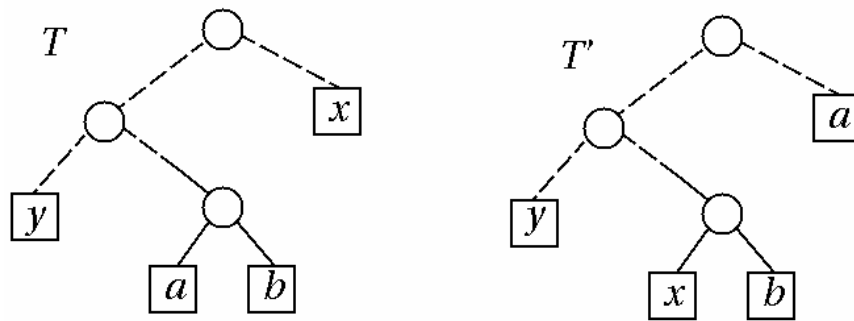
$T$  sei ein optimaler Code-Baum von  $A$

$a, b$  seien zwei benachbarte Blätter maximaler Tiefe

$x, y$  seien zwei Buchstaben mit minimaler Häufigkeit



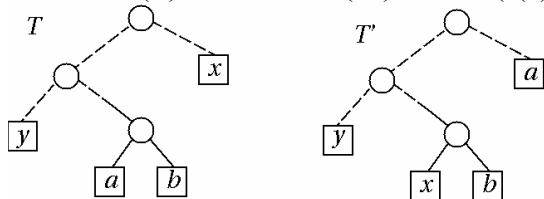
Wir tauschen  $x$  gegen  $a$  und  $y$  gegen  $b$  aus, und betrachten die Bitkosten des ursprünglichen Baumes und des Neuen



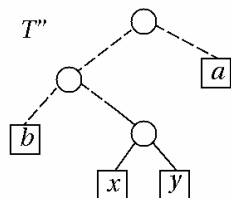
$$f(x) \leq f(a) \quad d(x) \leq d(a)$$

Es genügt nur einen Fall zu betrachten, der andere geht analog

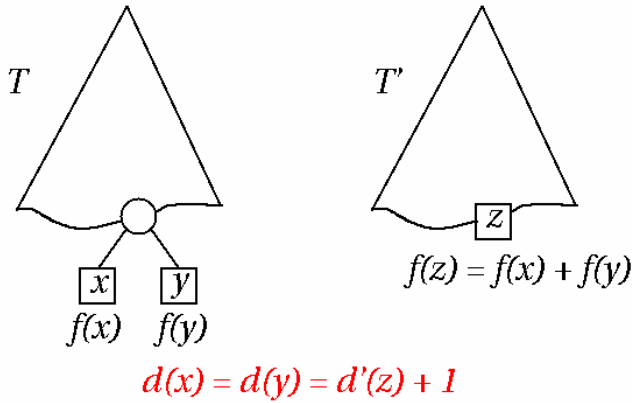
$$\text{Bitkosten}(T) - \text{Bitkosten}(T') = \dots = (f(a) - f(x)) * (d(a) - d(x)) \geq 0$$



$$\begin{aligned} \text{Bitkosten}(T) &\geq \text{Bitkosten}(T') \\ &\geq \text{Bitkosten}(T'') \end{aligned}$$



Beweis von Lemma 2:



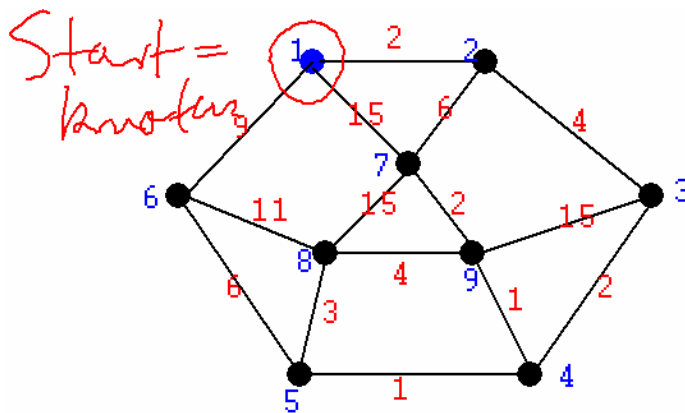
Bitkosten (T) – Bitkosten (T') = ... = f(x)+f(y)

## Vorlesung 12 – Dijkstra's kürzeste Wege

Kürzesteste Wege in Distanzgraphen

Gegeben: Graph  $G(V,E)$   
 $c: E \rightarrow \mathbb{R}_+$ , Kantenlänge  
 Startknoten  $s$  aus  $V$

Gesucht: Zu jedem Knoten  $v$  aus  $V$  ein kürzester Weg von  $s$  nach  $v$  in  $G$

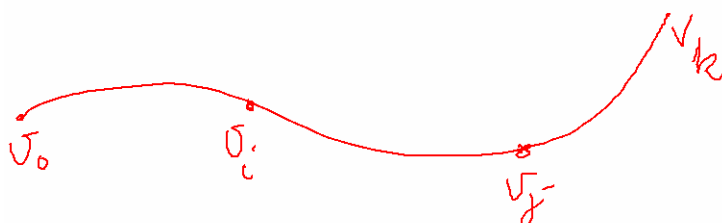


Shortest Path:  $Sp(1,3)=[1,2,3]$

Kosten:  $c(sp(1,8))=12$

### Optimalitätsprinzip

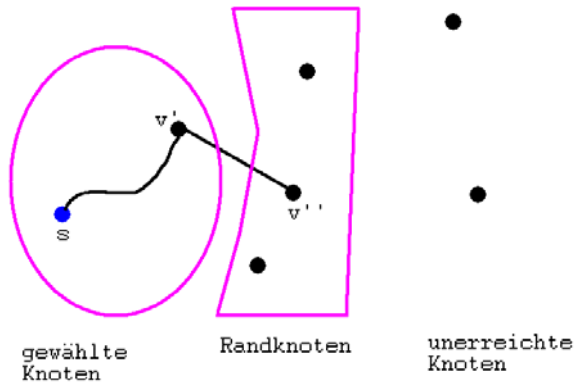
Sei  $P=[v_0, v_1, \dots, v_k]$  ein kürzester Weg von  $v_0$  nach  $v_k$ . Dann ist jeder Teilweg  $P'=[v_i, \dots, v_j]$  mit  $0 \leq i < j \leq k$  ein kürzester Weg von  $v_i$  nach  $v_j$ .



Fortsetzung kürzeste Wege:

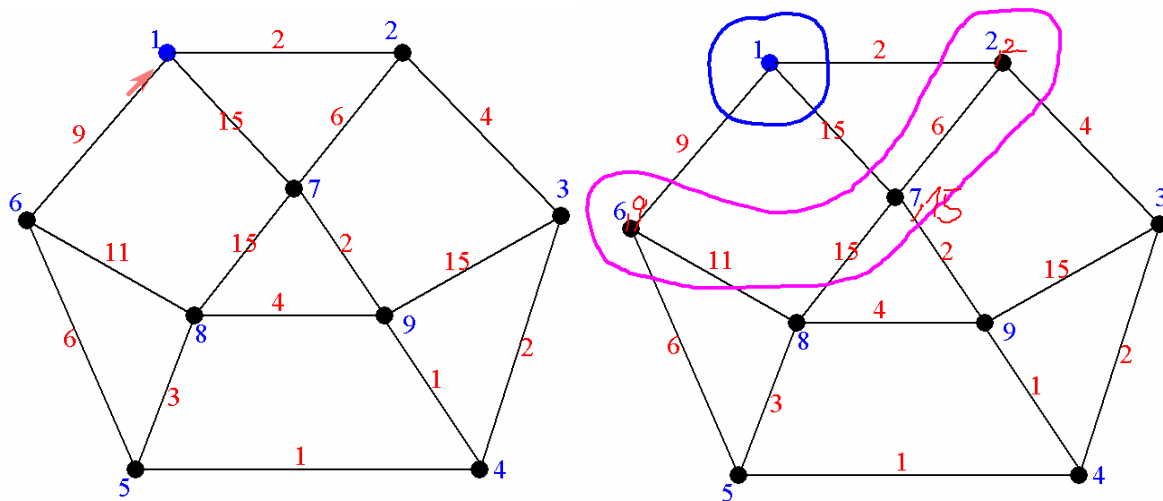
1. Für alle kürzesten Wege  $sp(s,v)$  und Kanten  $(v,v')$  gilt:  
 $c(sp(s,v))+c(sp(v,v')) \geq c(sp(s,v'))$
2. Greedy Methode zur Berechnung kürzester Wege: Erzeuge die kürzesten Pfade von  $s$  zu den übrigen Knoten so, dass die Längen der Pfade nicht abnehmen. Ist  $S$  eine Menge von Knoten, für die man die kürzesten Pfade von  $s$  aus schon kennt, so muss der nächst längere Pfad von  $s$  zu einem Knoten  $u$ , der nicht zu  $S$  gehört, ausschließlich über Knoten aus  $S$  führen.

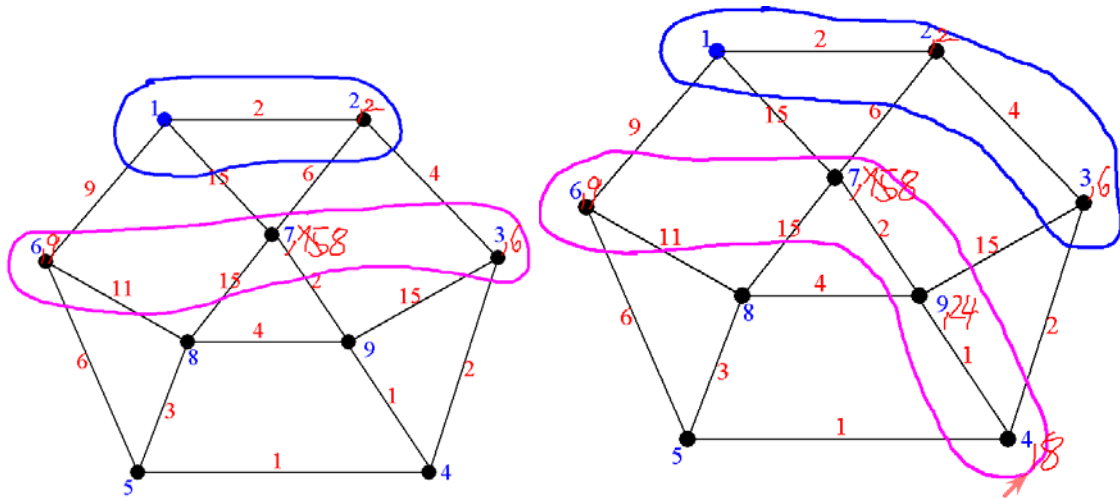
Betrachten wir nun den Algorithmus von Dijkstra (1959)



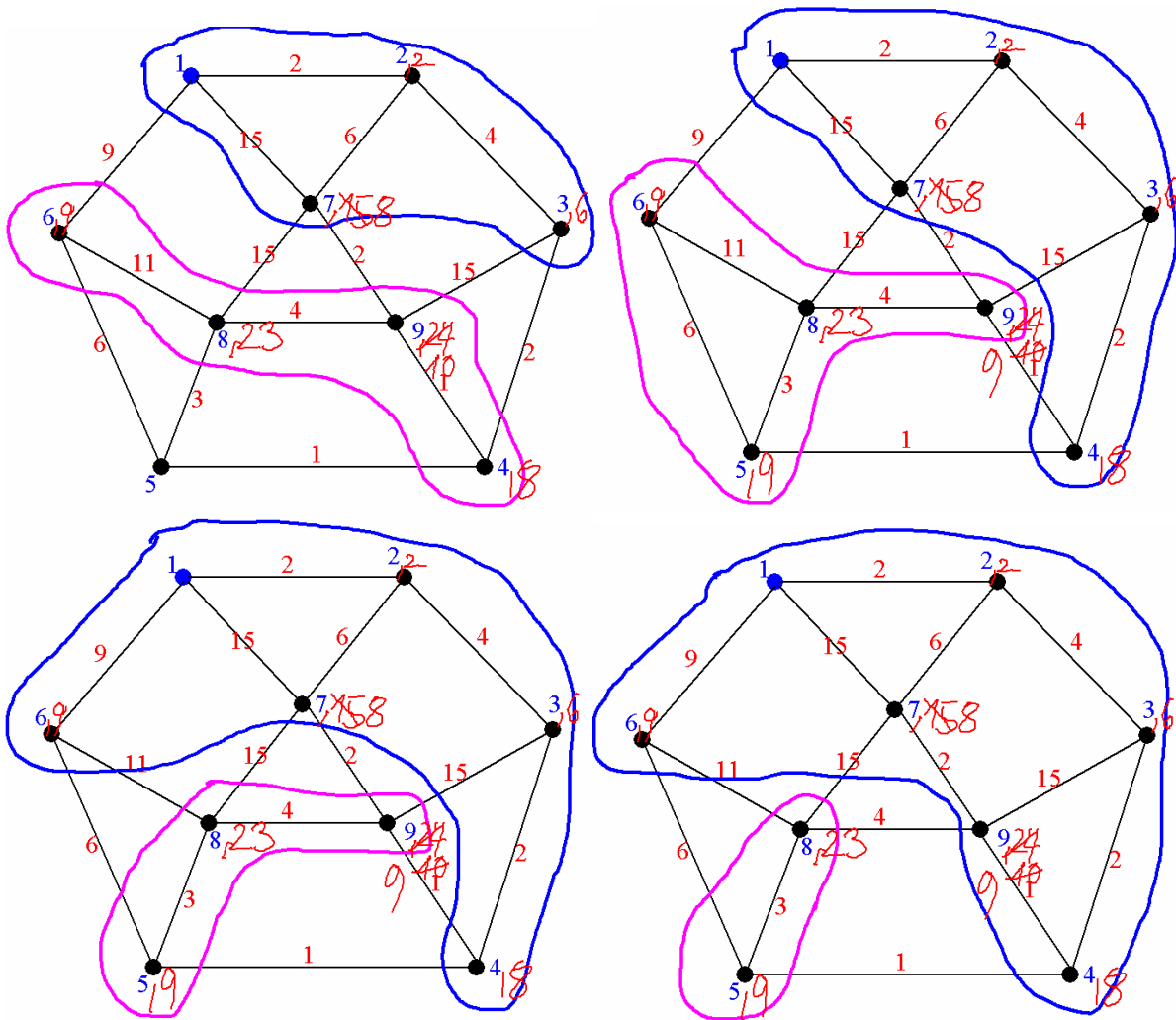
Gewählte Knoten: Der kürzeste Weg von  $s$  nach  $v'$  ist schon bekannt

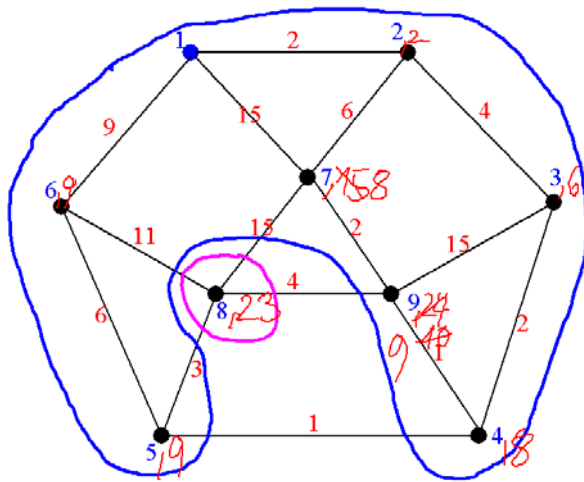
Randknoten: Weg von  $v'$  nach  $v''$  bekannt (aber nicht unbedingt kürzester)





Die 24 als Entfernung Bei Knoten 9 ist falsch → Richtig ist 21





## Dijkstra's Algorithmus als Code

Input: Graph  $G(V,E)$   
 $c: E \rightarrow \mathbb{R}_+$ , Kantenlänge  
 Startknoten  $s$  aus  $V$

Output: Zu jedem Knoten  $v$  aus  $V$  ein kürzester Weg von  $s$  nach  $v$  in  $G$

Initialisierung:

*/\* Anfangs sind alle Knoten außer  $s$  unerreicht \*/*

for all  $v \in V - \{s\}$  do

{  $v$ .Vorgänger = undefiniert ;  
 $v$ .Entfernung =  $\infty$  ;  
 $v$ .gewählt = false ; }

$s$ .Vorgänger =  $s$  ;

$s$ .Entfernung = 0 ;

$s$ .gewählt = true ;

*/\* Alle zu  $s$  adjazenten Kanten gehören zum Rand \*/*

$R = \emptyset$  ;

ergänze  $R$  bei  $s$  ;

Berechne Wege ab  $s$ :

while  $R \neq \emptyset$  do

*/\* Wähle zu  $s$  nächstgelegenen Randknoten \*/*

{ wähle  $v$  aus  $R$  mit  $v$ .Entfernung minimal und  
 entferne  $v$  aus  $R$  ;  
 $v$ .gewählt = true ;  
 ergänze  $R$  bei  $v$  }

Ergänze R bei v:

for all (v, v') aus E do

if not v'.gewählt = true and

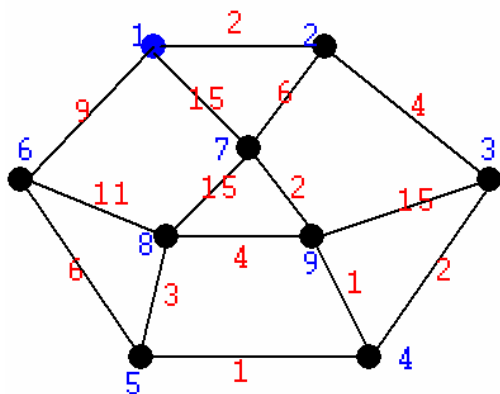
(v.Entfernung + c((v,v')) < v'.Entfernung) then

{ v'.Vorgänger = v;

v'.Entfernung = v.Entfernung + c((v,v')); *decrease*

vermerke v' in R; }

Ein Beispiel komplett durchgerechnet:



Knoten:

(Nr., Entfernung, Vorgänger)

Operationen auf R:

(1) Initialisieren:  $R = \emptyset$

(2) Prüfen, ob  $R = \emptyset$

(3) wählen und entfernen des Knotens mit minimaler Entfernung

(4) neuen oder geänderten Eintrag im Rand vermerken

| gewählt  | Randknoten                           |
|----------|--------------------------------------|
| (1,0,1)  | (2,2,1), (6,9,1), (7,15,1)           |
| (2,2,1)  | (6,9,1), (7,8,2), (3,6,2)            |
| (3,6,2)  | (6,9,1), (7,8,2), (4,8,3), (9,21,3)  |
| (7,8,2)  | (6,9,1), (4,8,3), (9,10,7), (8,23,7) |
| (4,8,3)  | (6,9,1), (8,23,7), (9,9,4), (5,9,4)  |
| (6,9,1)  | (9,9,4), (5,9,4), (8,20,6)           |
| (9,9,4)  | (5,9,4), (8,13,9)                    |
| (5,9,4)  | (8,12,5)                             |
| (8,12,5) |                                      |

Beispiel: Auslesen des kürzesten Pfades vom Startknoten (1) zur 8 (dazu Vorgängerzeigern folgen):

[8,5,4,3,2,1]

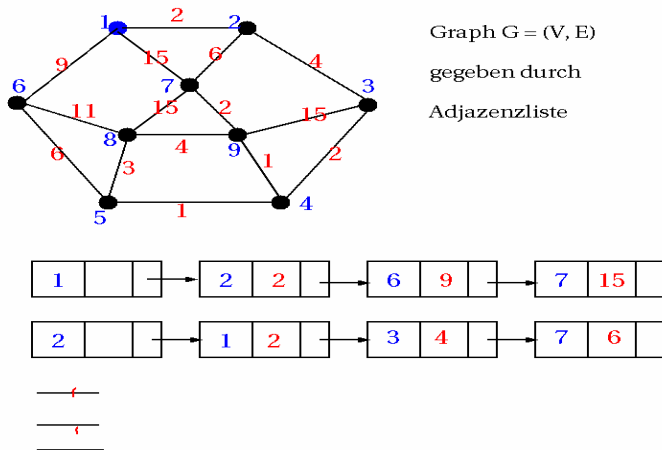
Verwendete Operationen hierbei:

- Einfügen  $\rightarrow$  Hinzufügen eines Knoten in der Randliste

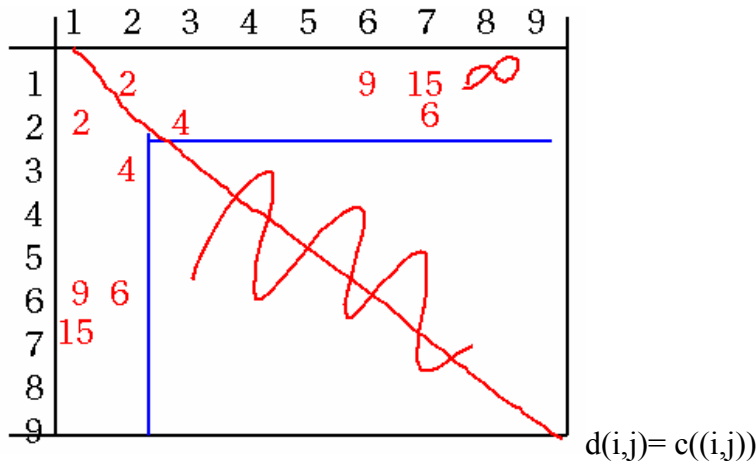
- Min\_entfernen → Entfernen des Knotens mit der kürzesten Strecke zu den bereits gewählten Knoten.
- Decreasekey → Wenn ein kürzerer Weg gefunden wurde
- Prüfen ob Randliste leer ist → Abbruchbedingung

## Darstellungsformen eines Graphen

Adjazenzliste → Zu jedem Knoten die Nachbarn in der Liste



Adjazenzmatrix



## Zwei verschiedene Implementierungen

1. Version: Keine explizite Speicherung des Randes

Wir speichern ein 4-Tupel: (Knotennr, Entfernung, Vorgänger, gewählt)

1. Initialisiere:  $R = \emptyset$
2. Prüfen ob  $R = \emptyset$   
→ Für alle Knoten  $v$  prüfe ob  $\text{not } v.\text{gewählt} = \text{true} \rightarrow O(|V|)$
3. Wählen und Entfernen des Knotens mit minimaler Entfernung  
Bestimme unter allen Knoten  $v$  mit  $v.\text{gewählt} = \text{false}$  einen Knoten  $v$  mit  $v.\text{Entfernung}$  minimal, setze  $v.\text{gewählt} = \text{true} \rightarrow O(|V|)$

4. Neuen oder geänderten Eintrag im Rand R vermerken  $\rightarrow O(|V|^2)$

Gesamtlaufzeit =  $O(n^2)$   $\rightarrow$  Gut für Graphen mit vielen Kanten

2. Version: Verwaltung der Randknoten in einem Fibonacci Heap

Operation auf R:

1. Initialisiere:  $R = \emptyset \rightarrow O(1)$

2. Prüfen ob  $R = \emptyset \rightarrow O(1)$

3. Wählen und Entfernen des Knotens mit minimaler Entfernung  $\rightarrow O(\log n)$

4. Neuen oder geänderten Eintrag im Rand R vermerken, Decreasekey  $\rightarrow O(1)$

FibHeap speichert die Knoten aus V mit aktueller Entfernung zu s als Heapordnung.

$\rightarrow |\text{Rand}| \leq |V| = n$

Sämtlicher Änderungen und Neueinträge im FibHeap sind in Zeit  $O(|E|)$  ausführbar.

Gesamtlaufzeit:  $O(|E| + |V| \log |V|) \rightarrow$  gut, wenn Kantenanzahl klein !

# Vorlesung 13 – Minimalspannende Bäume (MST)

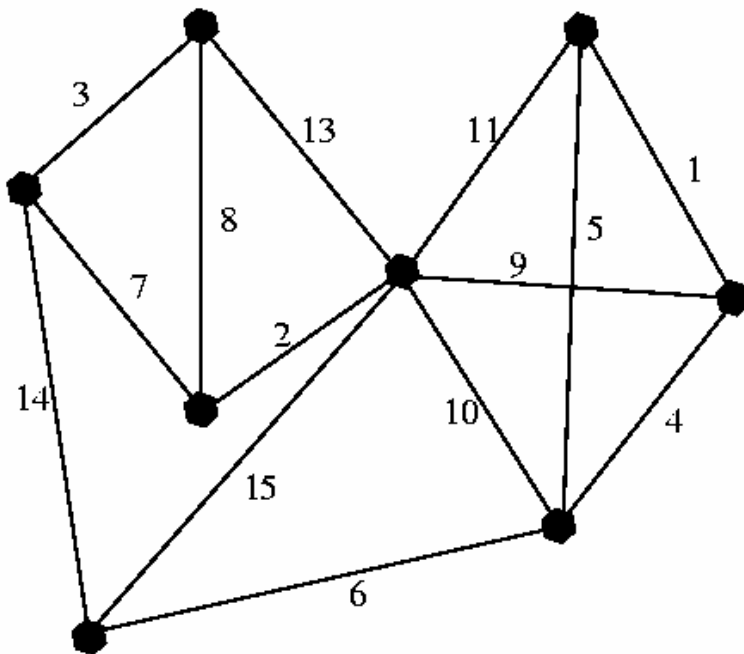
## Aufspannende Bäume, minimalen Gewichts in Graphen

### Das MST Problem

Gegeben: Zusammenhängender Graph  $G = (V, E)$   
 $V$  Knotenmenge  
 $E \subseteq \{\{u, v\} : u, v \in V, u \neq v\}$  Kantenmenge  
Gewichtsfunktion  $c$  auf  $E$

Gesucht: aufspannender Baum  $B = (V(B), E(B))$  in  $G$  mit minimalem Gewicht; also  
Teilgraph  $B$  mit  
 $V(B) = V$   
 $E(B) \subset E$   
 $B$  ist ein Baum  
 $\sum_{e \in E(B)} c(e)$  ist minimal

Ein Graph  $B = (V(B), E(B))$  heißt Baum, wenn es zwischen je zwei Knoten aus  $V(B)$  genau einen Weg in  $B$  gibt.



### Färbungsverfahren von Tarjan - Greedy Methode

Kanten werden nacheinander grün oder rot eingefärbt

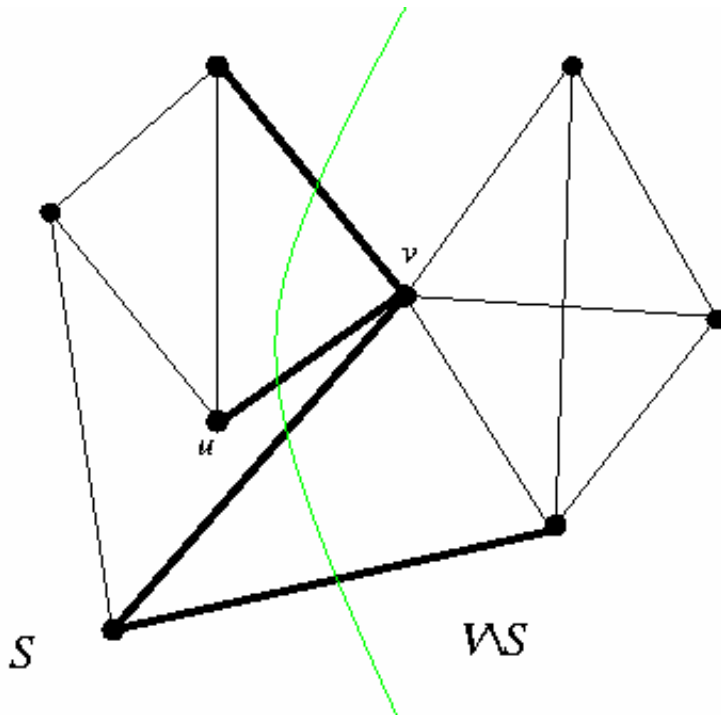
Am Ende bildet die Menge der grünen Kanten einen aufspannenden Baum minimalen Gewichts

Färbungen der Kanten sind Anwendungen von Regeln, einer grünen Regel oder einer roten Regel

Notwendige Begriffe zur Formulierung der Regeln sind:

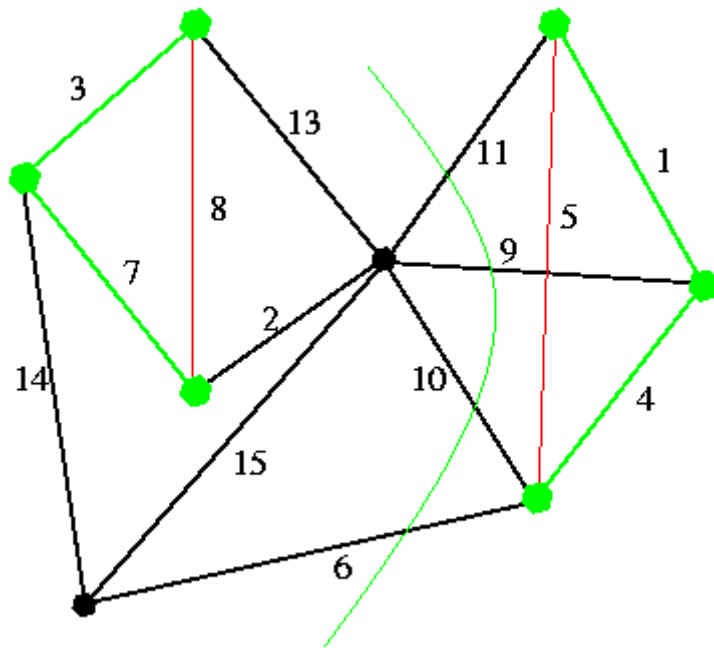
- Schnitt
- Kreis

Ein **Schnitt** in einem Graph  $G=(V,E)$  ist eine Partition  $(S, V \setminus S)$  der Knotenmenge  $V$  von  $G$ . Eine Kante  $\{u,v\}$  von  $G$  kreuzt den **Schnitt**  $(S, V \setminus S)$ , wenn  $u \in S$  und  $v \in V \setminus S$  ist. Oft wird auch die Menge der Kanten aus  $G$ , die den Schnitt  $(S, V \setminus S)$  kreuzen mit diesem Schnitt identifiziert.

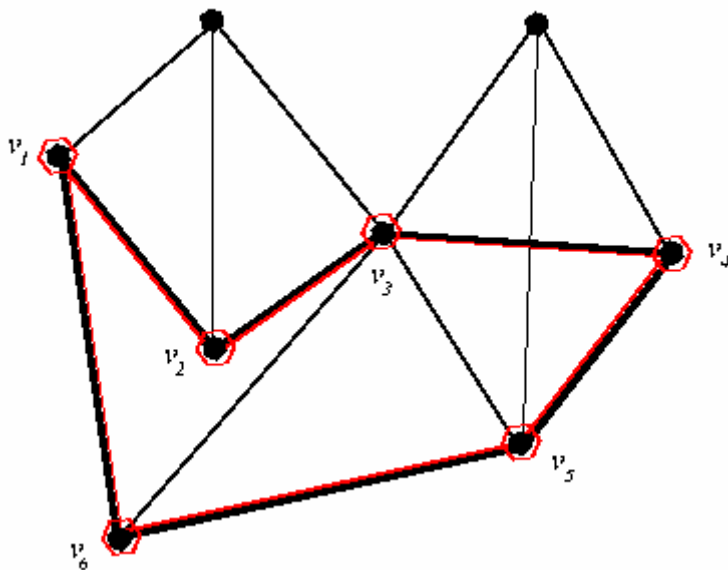


### Grüne Regel

Voraussetzung: Wenn ein **Schnitt** im Graph existiert, der von keiner grünen Kante und mindestens einer ungefärbten Kante gekreuzt wird, dann folgt ein Färbungsschritt: färbe eine ungefärbte Kante minimalen Gewichts, die diesen Schnitt kreuzt, grün.

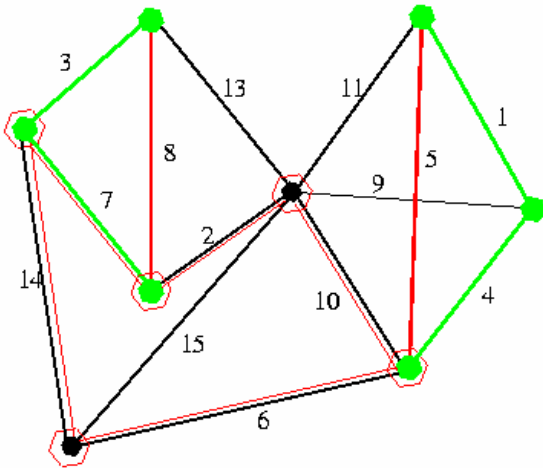


Ein Kreis in einem Graph ist eine Folge  $v_1, v_2, \dots, v_k = v_1$  von Knoten aus  $G$ , in der zwei aufeinanderfolgende Knoten durch eine Kante verbunden sind, und kein Knoten ausser dem Anfangs- und Endknoten zweimal auftritt.



### Rote Regel

Voraussetzung: Wenn ein Kreis im Graph existiert, der keine rote und mindestens eine ungefärbte Kante enthält, dann folgt ein Färbungsschritt: färbe eine ungefärbte Kante maximalen Gewichts, die auf diesem Kreis liegt rot.



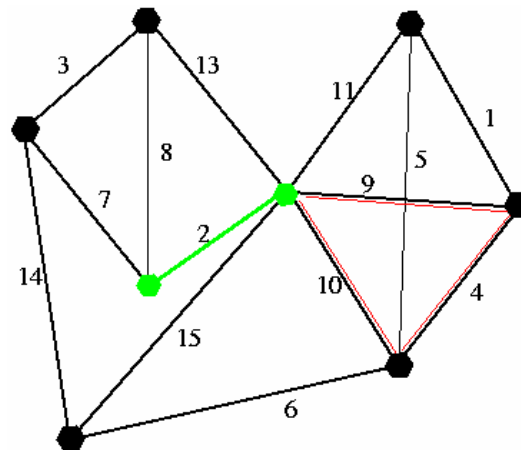
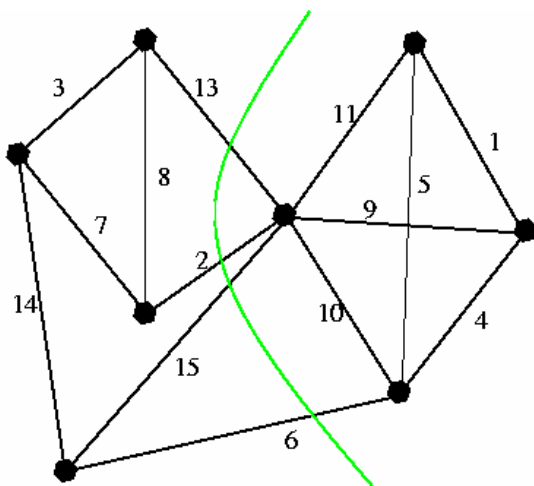
### Färbungsalgorithmus im Einzelnen

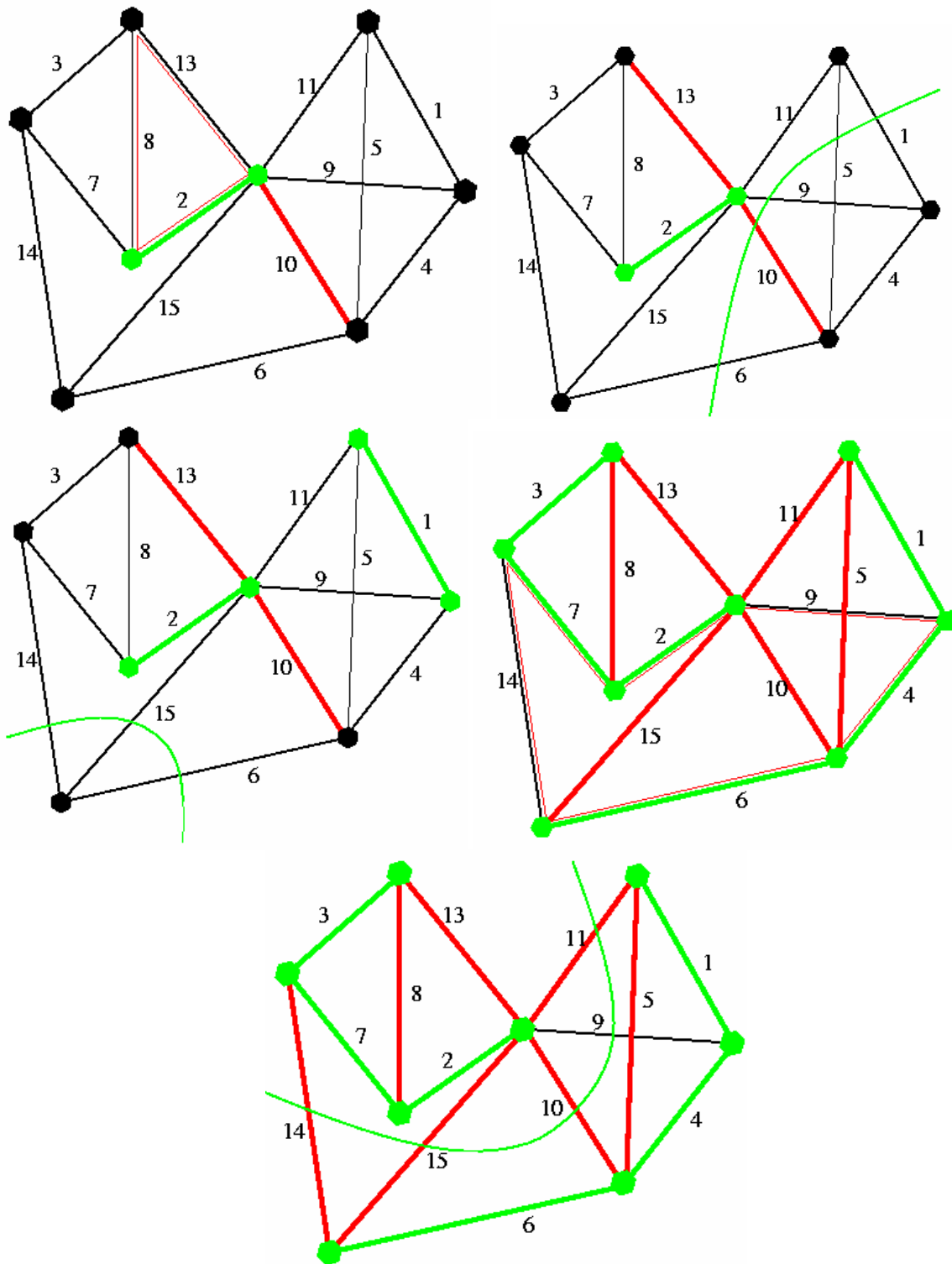
Solange noch eine der beiden Regeln anwendbar ist, wende die grüne oder die rote Regel an

Bemerkung: Algorithmus ist nicht deterministisch!

Behauptung: Am Ende bildet die Menge der grünen Kanten einen Baum minimalen Gewichts. Alle anderen Kanten sind rot gefärbt.

Beobachtung: Der Färbungsalgorithmus kann bereits abgebrochen werden, wenn die grüne Regel nicht mehr anwendbar ist.





## Korrektheit des Färbungsalgorithmus

Färbungsinvariante:

Nach jedem Färbungsschritt existiert im Graph ein aufspannender Baum minimalen Gewichts, der alle grünen und keine rote Kante enthält.

Wir beweisen:

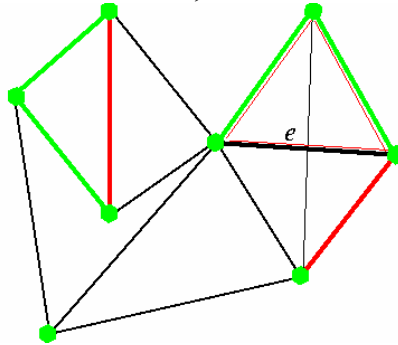
Der Färbungsalgorithmus erhält die Färbungsinvariante

- Bewiesen wird mittels Induktion über die Färbungsschritte → Wenn vor Ausführung eines Färbungsschrittes ein aufspannender Baum minimalen Gewichts

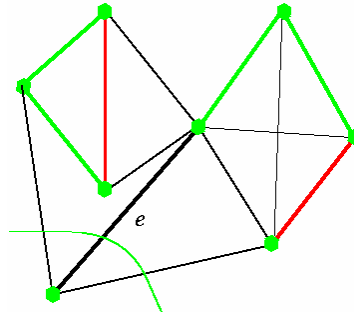
existiert, der **alle grünen** und **keine rote** Kante enthält, so auch nach Ausführung eines Färbungsschritts. → Hier würde nun der ausführliche Beweis folgen

Solange noch nicht alle Kanten gefärbt sind, ist noch mindestens eine Regel anwendbar.

- Beweisidee: Betrachte eine ungefärbte Kante  $e$ . Da die Färbungsinvariante gilt, bilden die Knoten des Graphen zusammen mit den grünen Kanten eine Menge „grüner Bäume“. Für die Kante  $e$  sind zwei Fälle zu unterscheiden:
  - Fall 1:  $e$  verbindet zwei Knoten, die in demselben grünen Baum liegen



- Fall 2:  $e$  verbindet zwei Knoten, die in verschiedenen grünen Bäumen liegen



- Beide Fälle wurden in der Vorlesung bewiesen

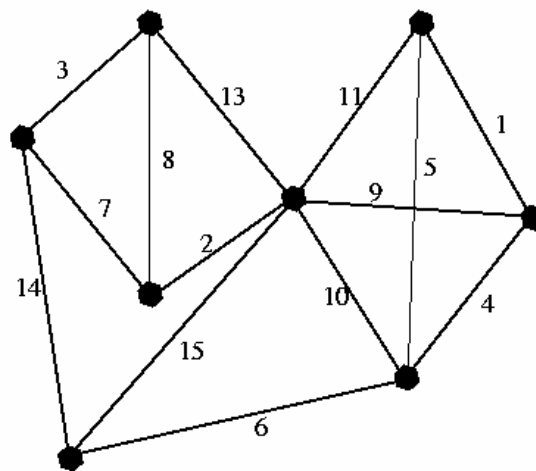
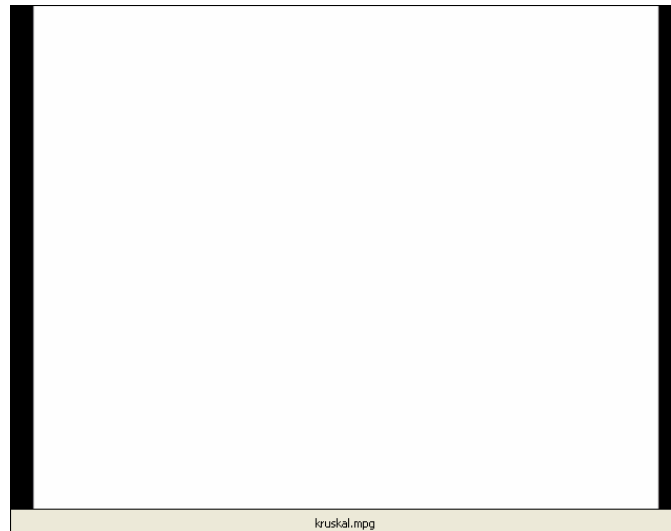
## Algorithmus von Kruskal

1. Sortiere die Kanten nach ihrem Gewicht in aufsteigender Reihenfolge
2. Durchlaufe die sortierten Kanten der Reihe nach, und wende folgenden Färbungsschritt an:
  - a. Wenn beide Endknoten der Kante in demselben grünen Baum liegen, so färbe sie rot;
  - b. Ansonsten färbe sie grün

Der Algorithmus von Kruskal endet, wenn alle Kanten durchlaufen sind. Er ist eine spezielle Version des Färbungsalgorithmus von Tarjan (Die wurde dann noch ausführlich gezeigt, ist aber eigentlich klar).

Für diesen Algorithmus existiert eine Animation:

Animation: Algorithmus von Kruskal



Folge sortierter Kantengewichte:

1,2,3,4,5,6,7,8,9,10,11,12,13,14,15

Laufzeit des Algorithmus von Kruskal:

Hängt ab von

- Aufwand für sortieren
- Aufwand für Test ob Kante beide Endknoten in demselben grünen Baum hat

Implementation mit Hilfe einer UNION-FIND Struktur

- Kanten werden in einem Preprocessing sortiert
- Organisation der grünen Bäume wird als Folge von UNION und FIND-Operationen realisiert
  - FIND: Finde die grünen Bäume, in denen die beiden Endknoten der zu färbenden Kante liegen
  - UNION: Vereinige die beiden grünen Bäume, in denen die beiden Endknoten einer Kante liegen, die grün gefärbt wird

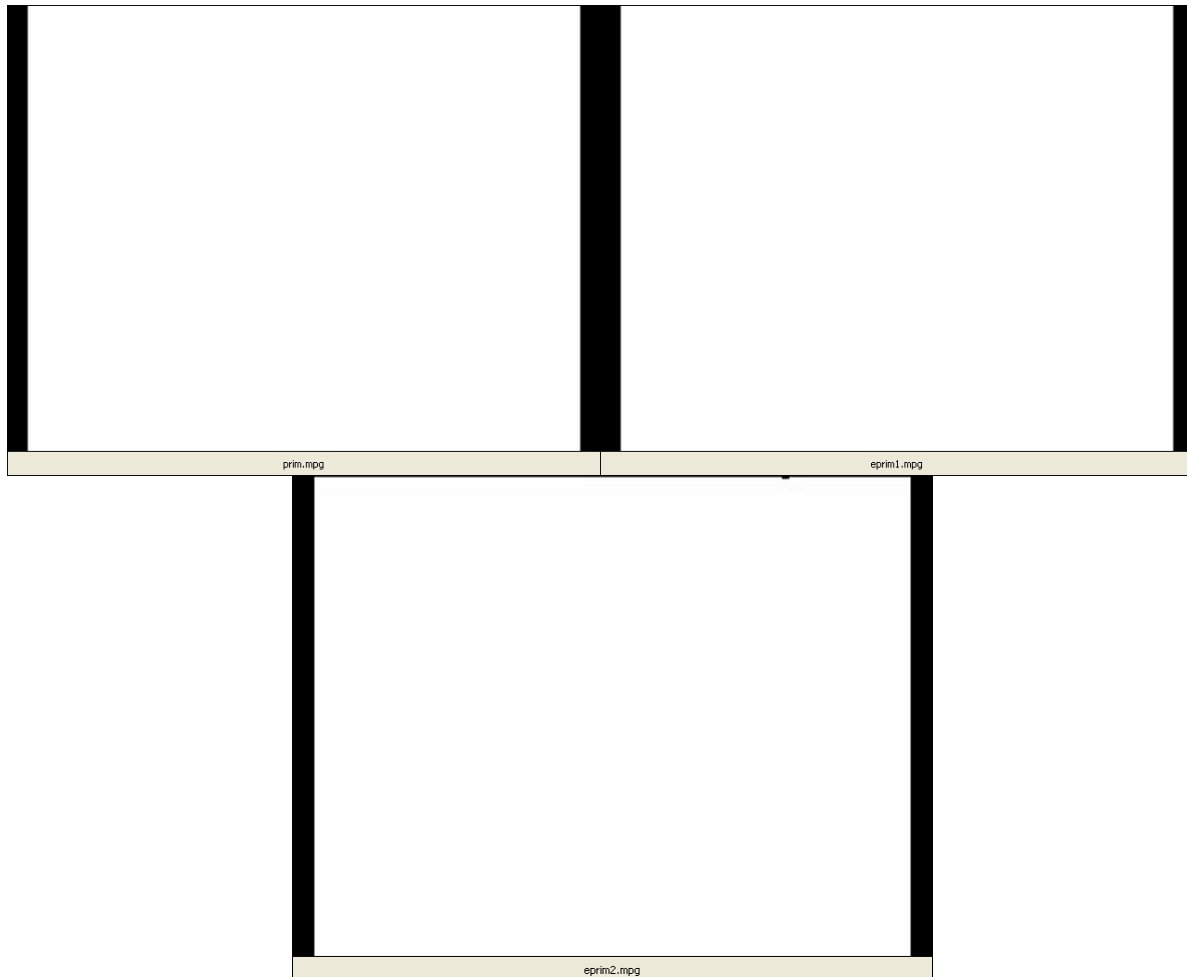
### Der Algorithmus von Prim

1. Wähle einen beliebigen Startknoten und betrachte diesen als einen grünen Baum
2. Wiederhole den folgenden Färbungsschritt  $(|V|-1)$ mal

- a. Wähle eine ungefärbte Kante minimalen Gewichts, die genau einen Endknoten in dem grünen Baum hat, und färbe sie grün

Auch dieser Algorithmus ist eine spezielle Version des Färbungsalgorithmus von Tarjan. Die wurde ebenfalls ausführlich gezeigt.

Animationen zum Prim Algorithmus



Laufzeit des Algorithmus von Prim

Hängt ab von:

- Aufwand für die Wahl der Kante minimalen Gewichts, die genau einen Endknoten in dem grünen Baum hat.

Implementation mit einem HEAP

- Der HEAP wird zur Organisation derjenigen Kanten benutzt, die genau einen Endknoten in dem aktuellen grünen Baum haben, und daher „Kandidaten“ dafür sind grün gefärbt zu werden.

## Greedy Algorithmen und Matroide

Beobachtung:

Wir haben in dem Korrektheitsbeweis zu dem Färbungsalgorithmus mehrfach ein Austauschargument benutzt.

Dieses Austauschargument basiert auf einer interessanten strukturellen Eigenschaft aufspannenden Bäume in Graphen.

Die Mengen von Kanten eines Graphen, welche Bäume induzieren, bilden einen Matroid

Matroide sind Mengensysteme, die eine gewisse Austausch Eigenschaft erfüllen.

Ein Mengensystem  $\mathcal{U}$  über einer endlichen Menge  $M$  heisst Unabhängigkeitssystem, wenn

- $\emptyset \in \mathcal{U}$
- $I_1 \in \mathcal{U}, I_2 \subseteq I_1$  induziert  $I_2 \in \mathcal{U}$

Ein Unabhängigkeitssystem  $\mathcal{U}$  ist ein Matroid, falls es folgende „Austauschbedingung“ erfüllt:

Falls  $I, J \subseteq M, I, J \in \mathcal{U}$  mit  $|I| = |J|$ , dann existiert ein  $e \in I$  und ein  $e' \in J$  mit  $I \setminus \{e\} \cup \{e'\} \in \mathcal{U}$ .

**Es gilt nun: Ein Greedy Algorithmus liefert eine optimale Lösung über einem Mengensystem, genau dann, wenn das Mengensystem ein Matroid ist.**

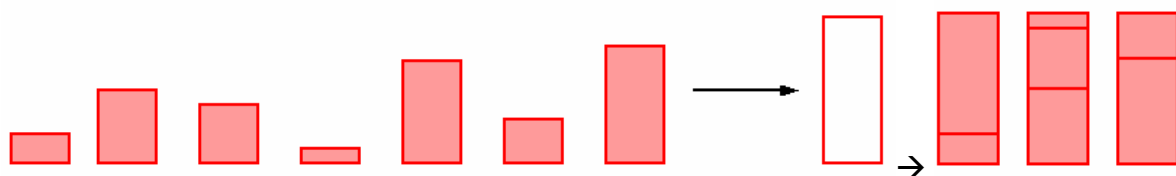
## Vorlesung 14 – Bin Packing

Gegeben:  $n$  Objekte der Größen  $s_1, \dots, s_n$   
Mit  $0 < s_i \leq 1$ , für  $1 \leq i \leq n$

Gesucht: Die kleinst mögliche Anzahl von Kisten (Bins) der Größe 1, mit der alle Objekte verpackt werden.

Beispiel:

7 Objekte mit den Größen:  
0.2., 0.5, 0.4, 0.7, 0.1, 0.3, 0.8



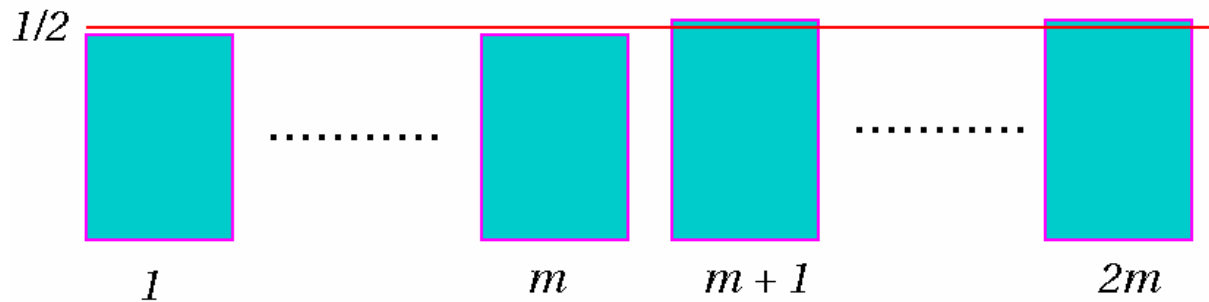
Es gibt verschiedene Klassen von Binpacking Algorithmen:

- Online Bin Packing: Jedes (ankommende) Objekt muss verpackt sein, bevor das nächste Objekt betrachtet wird. Ein Objekt verbleibt in derjenigen Kiste, in die es zuerst gepackt wird

- Offline Bin Packing: Zunächst wird die Anzahl  $n$  und alle  $n$  Objekte vorgegeben. Dann beginnt die Verpackung.

Beobachtungen:

- Bin Packing ist beweisbar schwer  $\rightarrow$  Offline Version ist NP-schwer. Entscheidungsproblem ist NP-Vollständig)
- Kein Online Bin Packing verfahren kann stets eine optimale Lösung liefern.



- Online Verfahren wissen nie, wann die Eingabe zu Ende ist.

## Online Bin Packing Verfahren

Satz (für Online verfahren): Es gibt Eingabefolgen, die jeden Online Bin Packing Algorithmus zwingen, mindestens  $4/3$  OPT viele Kisten zu verwenden, wenn OPT die minimal mögliche Anzahl an Kisten für die Eingabefolge ist.

Beweisidee: Gegenbeweis führt zum Widerspruch ! (genauen Beweis haben wir weggelassen)

## Die verschiedenen Online Bin Packing Verfahren

### Next Fit

- Verpacke das nächste Objekt in dieselbe Kiste, wie das vorherige, wenn es dort noch hineinpasst, ansonsten öffne eine neue Kiste und verpacke es dort
  - Satz:
    - Für alle Eingabefolgen  $I$  gilt  $NF(I) \leq 2OPT(I) \rightarrow$  Beweis über eine geschickt gewählt Eingabefolge

### First Fit

- Packe das nächste Objekt in die erste Kiste in die es noch hineinpasst, falls es eine solche gibt, ansonsten öffne eine neue Kiste und verpacke es dort.
- Beobachtung: Zu jedem Zeitpunkt kann es höchstens eine Kiste geben, die weniger als Halbvoll ist (Gäbe es zwei könnte man diese ja ineinander schütten.)
- $\rightarrow FF(I) \leq 2 OPT(I)$  für alle Eingabefolgen  $I$

Satz:

- Für alle Eingabefolgen  $I$  gilt:  $FF(I) \leq 17/10 OPT(I)$
- Es gibt Eingabefolgen  $I$  mit:  $FF(I) \geq 17/10 (OPT(I)-1) = 1.7$  (schwer zu beweisen)
- Es gibt Eingabefolgen  $I$  mit:  $FF(I) \geq 10/6 OPT(I) = 1.6$  (leicht zu beweisen)

### Best Fit

- Verpacke das Objekt in diejenige Kiste, in die es am besten passt (d.h. den geringsten Platz ungenutzt lässt.)
- Verhalten von BF ähnlich zu FF

Laufzeit für Inputfolgen der Länge  $n$

- NF  $O(n)$
- FF  $O(n^2) \rightarrow O(n \log n)$
- BF  $O(n^2) \rightarrow O(n \log n)$

## Online Algorithmen Allgemein

Jeder Online Algorithmus benötigt im schlimmsten Fall mindestens 1.54-mal so viele Kisten wie nötig.

Bisheriger Champion:  $< 1.59$

## Offline Bin Packing Verfahren

$n$  und  $s_1, \dots, s_n$  sind gegeben, bevor die Verpackung beginnt !

Optimale Packung kann durch erschöpfende Suche bestimmt werden (Laufzeit aber natürlich mies)

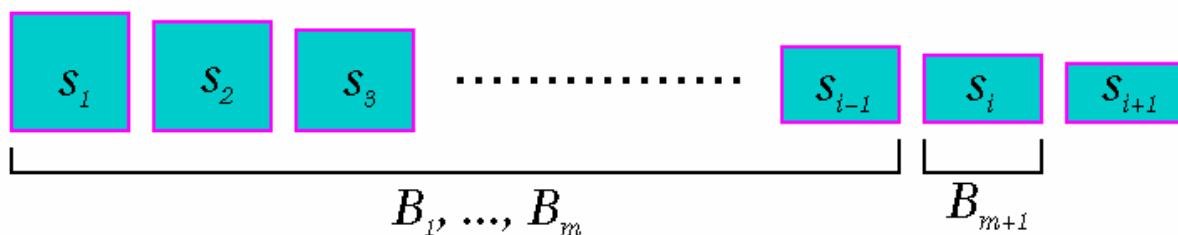
Idee für Offline Approximationsalgorithmus:

Sortiere die Objekte zunächst nach abnehmender Größe und verpacke größere Objekte zuerst.

Zwei Typen von Algorithmen

- First Fit Decreasing (FFD), bzw. FFNI
- Best Fit Decreasing (BFD)

## First Fit Decreasing



### Lemma 1

Sei  $I$  eine Folge von  $n$  Objekten der Größe

$$s_1 \geq s_2 \geq s_3 \geq \dots \geq s_n$$

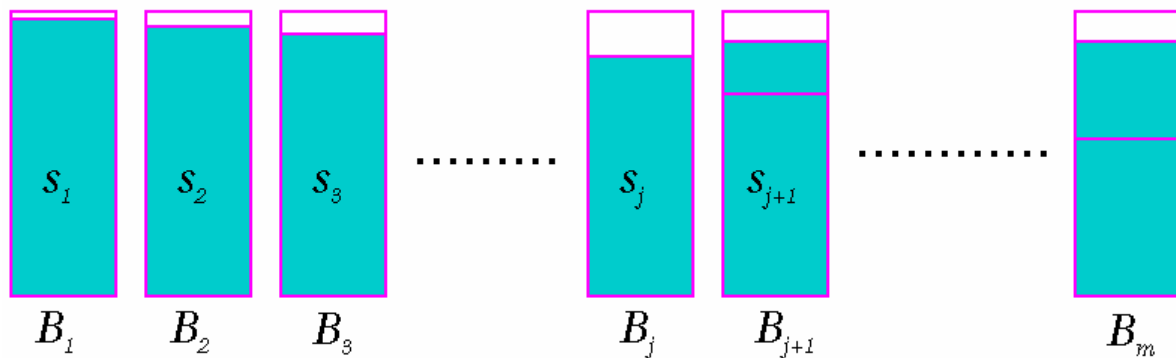
und sei  $m = \text{OPT}(I)$

Dann haben alle von FFD in den Kisten

$$B_{m+1}, B_{m+2}, \dots, B_{\text{FFD}(I)}$$

Verpackten Objekte eine Größe von höchstens  $1/3$

Pseudoerklärung: Am Anfang gibt es Kisten, in die nur ein Objekt hineinpasst, dann folgen Kisten mit jeweils zwei Objekten. Wenn Kisten folgen mit 3 Objekten, dann ist jedes dieser Objekte kleiner als  $1/3$  (wegen der Sortierung).



### Lemma 2

Sei  $I$  eine Folge von  $n$  Objekten der Größe

$$s_1 \geq s_2 \geq s_3 \geq \dots \geq s_n$$

und sei  $m = \text{OPT}(I)$

Dann ist die Anzahl der Objekte, die FFD in den Kisten

$$B_{m+1}, B_{m+2}, \dots, B_{\text{FFD}(I)}$$

verpackt, höchstens  $m-1$ .

### Satz

Für alle Eingabefolgen  $I$  gilt:

$$\text{FFD}(I) \leq 4/3 \text{OPT}(I) + 1 \leq \text{OPT}(I) + \lceil (\text{OPT}(I)-1)/3 \rceil$$

$$\text{OPT}(I) + \lceil (\text{OPT}(I)-1)/3 \rceil = m + \lceil (m-1)/3 \rceil$$

(Die  $/3$  stammen aus Lemma 1, die  $m-1$  aus Lemma 2)

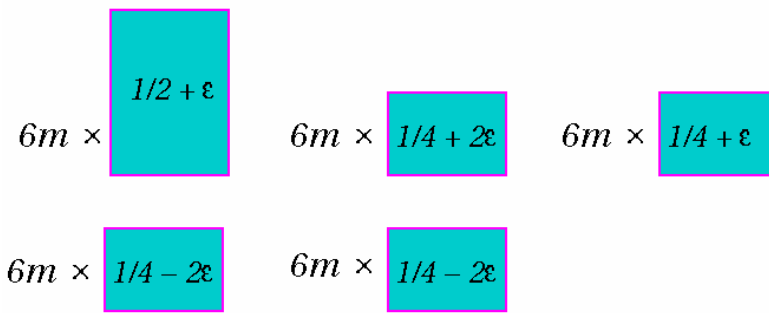
Der Beweis für den Satz ergibt sich also aus den beiden Lemmas

### Satz

- a. Für alle Eingabefolgen  $I$  gilt
  - i.  $\text{FFD}(I) \leq 11/9 \text{OPT}(I) + 4$
- b. Es gibt Eingabefolgen  $I$  mit
  - i.  $\text{FFD}(I) \geq 11/9 \text{OPT}(I)$

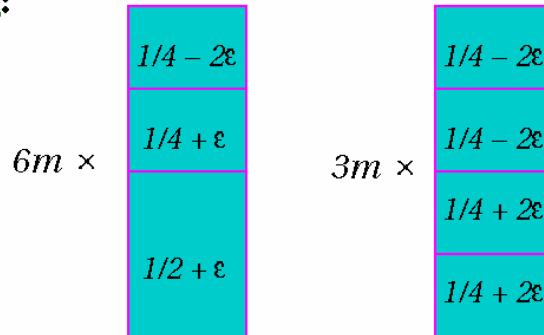
$11/9 \text{OPT}(I) + 4 = 1.222 \text{OPT}(I) + 4$  (Obere Schranke für FFD) Bewiesen haben wir 1.333

Beweis von b. Betrachte Eingabefolge  $I$  der Länge  $30m$

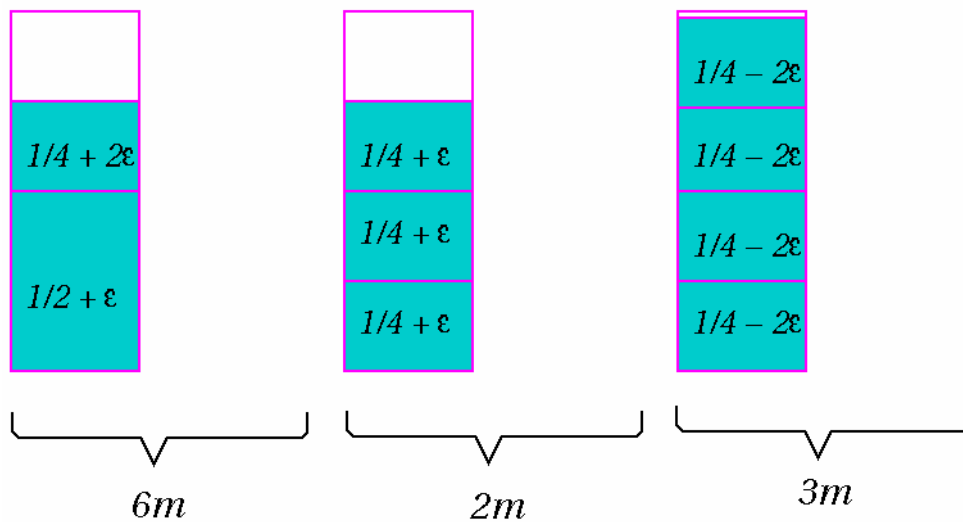


**Optimale Packung:**

*9m*



**First Fit Decreasing liefert:**



$$OPT(I) = 9m$$

$$FFD(I) = 11m$$

## Vorlesung 15 – Online Algorithmen

### Online Algorithmen und Kompetitivität

Online Algorithmen sind Verfahren für Probleme, über die nicht alle Informationen a priori vorliegen.

In der Regel versucht man die Lösung des besten Offline Verfahrens zu approximieren.

**Modell:**

Eingabefolgen  $\sigma = \sigma_1\sigma_2\cdots$

Online Algorithmus  $A$ :

verarbeitet  $\sigma_i$  bevor  $\sigma_{i+1}$  erscheint

$C_A(\sigma)$ : Kosten von  $A$  zur Verarbeitung der Eingabefolge  $\sigma$

$C_{OPT}(\sigma)$ : Kosten des optimalen offline Algorithmus  $OPT$

**Definition**

Ein online Algorithmus  $A$  ist **c-kompetitiv**, falls für alle Eingabefolgen  $\sigma$  gilt:

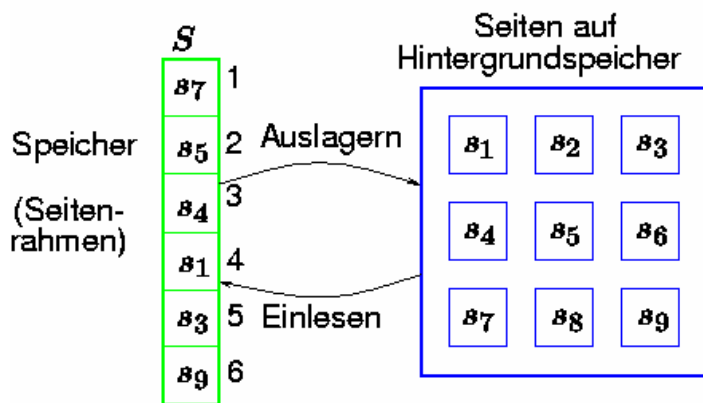
$$C_A(\sigma) \leq c \cdot C_{OPT}(\sigma) + a$$

für ein Konstante  $a$ .

**Seitenaustauschstrategien**

Zweistufiges Speichersystem

Einteilung von Speicher in Seiten gleicher Größe (Seiten des Speichers nennt man **Seitenrahmen**)



Ablauf

Programm  $P$  benötigt Daten aus Seite  $s_i$

→ Es gibt zwei Situationen

1.  $s_i \in S$ : auf Daten kann zugegriffen werden
2.  $s_i \notin S$ : Seitenfehler
  - a. Es gibt noch einen freien Seitenrahmen in  $S$ :  $s_i$  wird in den freien Rahmen geladen
  - b. Der Speicher ist vollständig belegt:

- i. Eine Seite  $s_k$  wird aus  $S$  entfernt
- ii.  $s_i$  wird in den freigewordenen Seitenrahmen geladen

Seitenfehler: Zugriff auf Hintergrundspeicher  
 Festplatte: Faktor  $10^5$  langsamer als interner Speicher

⇒ Verlangsam der Programmausführung

Eingabefolge:  $\sigma = \sigma_1 \sigma_2 \sigma_3 \dots$   
 $\sigma_t$  Seitenreferenz,  $t=1, 2, \dots$

$C_A(\sigma)$  = Anzahl der Seitenfehler von  $A$  bei Seitenreferenzfolge  $\sigma$

Online Algorithmus:

⇒ Entscheidet bei einem Seitenfehler zum Zeitpunkt  $t$  allein aufgrund von  $\sigma_1 \dots \sigma_t$ , welche Seite entfernt werden soll.

### Mögliche Strategien

- Last-In-First-Out (LIFO)
- First-In-First-Out (FIFO)
- Least-Recently-Used (LRU)
- Least-Frequently-Used
- Flush-When-Ready (FWF)
- ...

### Least Recently Used

Ersetze diejenige Seite, die am längsten nicht benötigt wurde

Speicherzustand  $S_t$ : Sortierte Folge  $(s_1, \dots, s_k)$

$\sigma_t = s_i \in S_t$   
 ⇒  $S_{t+1} = (s_i, s_1, \dots, s_{i-1}, s_{i+1}, \dots, s_k)$

$\sigma_t = s_0 \notin S_t$   
 ⇒  $S_{t+1} = (s_0, s_1, \dots, s_{k-1})$

Beispiel :

|           |   |   |   |   |   |
|-----------|---|---|---|---|---|
| $\sigma$  | 4 | 1 | 2 | 3 | 2 |
| 1         | 4 | 1 | 2 | 3 | 2 |
| $S_{t+1}$ | 2 | 1 | 4 | 1 | 2 |
|           | 3 | 2 | 2 | 4 | 1 |

(Speicher Spaltenweise)

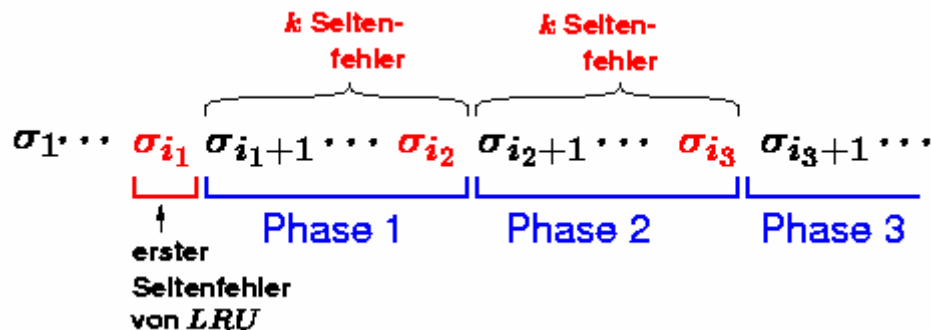
Satz: LRU ist  $k$ -kompetitiv → d.h.

$$C_{LRU}(\sigma) \leq k C_{OPT}(\sigma).$$

**Beweis:**

Phase 0 endet mit dem ersten Seitenfehler von LRU

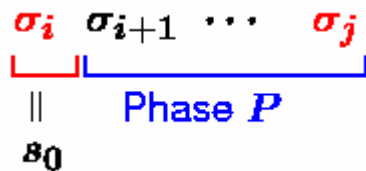
Phase i beginnt nach Phase i-1 und endet mit dem k-ten Seitenfehler von LRU in Phase i.



Behauptung: OPT produziert mindestens eine Seitenfehler in jeder Phase P

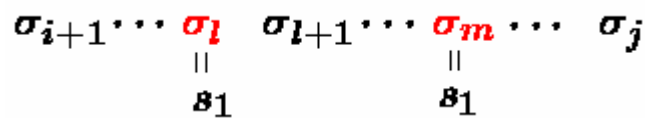
→ Es gibt 3 Fälle:

- Fall 1: Es gibt einen Seitenfehler in P bei Zugriff auf  $s_0$

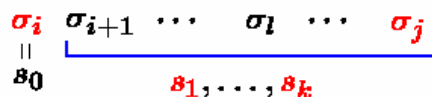


- → OPT Produziert mindestens eine Seitenfehler in P

- Fall 2: Es gibt eine Seite  $s_1$  in P, die zweimal einen Seitenfehler erzeugt



- 
- Fall 3: Alle Seiten in P sind paarweise verschieden und verschieden von  $s_0$



$$S_{i+1}^{opt} = (s_0, s'_1, \dots, s'_{k-1})$$

- → OPT Produziert mindestens eine Seitenfehler in P

**Optimale offline Strategie MIN**

Ersetze diejenige Seite, die am längsten nicht benötigt wird. (Greedy Prinzip)

$$\Phi(t, s) = \min\{t' > t \mid \sigma_{t'} = s\}$$

Entferne Seite s für die  $\Phi(t,s)$  maximal ist.  
 $\sigma$  muss vollständig im Voraus bekannt sein.

## Unter Schranken

**Satz:** Sei A ein online Seitenaustauschalgorithmus, dann gibt es eine beliebig lange Seitenreferenzfolge  $\sigma$ , so dass:

$$C_A(\sigma) \geq k C_{MIN}(\sigma).$$

## Randomisierung und Gegenspieler

Folge  $\sigma$  für untere Schranke:

$$\sigma_1 = s_{k+1}$$

$$\sigma_{t+1} = \text{diejenige Seite } s_{it}, \text{ die A zum Zeitpunkt } t \text{ ausgelagert hat}$$

Ein Gegenspieler wählt die Anfragen  $\sigma_t$

Zufällige Bestimmung der entfernten Seite

⇒ innerer Zustand bleibt verborgen

⇒ besseres kompetitives Verhältnis

Es gibt drei Sorten von Gegenspielern:

**Unwissender Gegenspieler G:**  $\sigma$  wird zu anfang gewählt

$$E[C_A(\sigma)] \leq c \cdot C_{MIN}(\sigma) + a$$

**Adaptiver online Gegenspieler G:**  $\sigma_t$  hängt von der entfernten Seite ab,  $\sigma_t$  muß on-line von G beantwortet werden

$$E[C_A(\sigma)] \leq c \cdot E[C_G(\sigma)] + a$$

**Adaptiver offline Gegenspieler G:**  $\sigma_t$  hängt von der entfernten Seite ab

$$E[C_A(\sigma)] \leq c \cdot E[C_{MIN}(\sigma)] + a$$

**Algorithmus Marking (fast gleich wie FWF nur randomisiert)**

### Algorithmus *Marking*

**Input:** Eine Seitenreferenz  $\sigma_i$

**Output:** Eine ausgelagerte Seite

```
1 if $\sigma_i \notin S$ then
2 if S ist nicht voll
3 then lade σ_i in einen freien Seitenrahmen
4 else if alle Seiten sind markiert
5 then entferne alle Markierungen
6 wähle eine zufällige unmarkierte Seite s_j
 (gleichverteilt)
7 entferne s_j und lade σ_i
8 markiere σ_i
```

### Kompetitivität von Marking

**Satz:** Marking ist  $2H_k$ -kompetitiv gegen jeden unwissenden Gegenspieler

$H_k$  ist die  $k$ -te harmonische Zahl

$$H_k = 1 + \frac{1}{2} + \frac{1}{3} + \dots + \frac{1}{k}$$

$$(H_k \leq 1 + \ln k)$$

### Analyse von Marking

**Zu Zeigen:** Für alle Seitenreferenzfolgen  $\sigma$

$$E[C_M(\sigma)] \leq 2H_k C_{MIN}(\sigma)$$

(Sehr umfangreicher Beweis von ca. 15 Seiten fehlt)

**Satz:** Sei  $A$  ein randomisierter online Seitenaustauschalgorithmus, dann gibt es eine beliebig lange Seitenreferenzfolge  $\sigma$ , so dass:

$$C_A(\sigma) \geq H_k C_{MIN}(\sigma).$$

### Andere Bereiche für Online Algorithmen

- Bin Packing
- Load Balancing (z.B. Maschinenauslastung Balancieren)
- K-Server Problem (Verallgemeinerung des Seitenaustauschproblems)
- Geometrische Online Suche (z.B. Autonome Roboter die sich in einem unbekanntem Raum orientieren müssen)
- ...

## Vorlesung 16 – Dynamische Programmierung

### Was ist dynamische Programmierung ?

Rekursiver Ansatz:

⇒ Lösen eines Problems durch Lösen mehrerer kleinerer Teilprobleme, aus denen sich die Lösung für das Ausgangsproblem zusammensetzt.

Phänomen:

⇒ Mehrfachberechnungen von Lösungen

Methode:

⇒ Speichern einmal berechneter Lösungen in einer **Tabelle** für spätere Zugriffe

### Beispiel: Fibonacci-Zahlen

$$f(0) = 0$$

$$f(1) = 1$$

$$f(n) = f(n-1) + f(n-2), \text{ falls } n \geq 2$$

$$f(n) = \left\lceil \frac{1}{\sqrt{5}} (1.618\dots)^n \right\rceil$$

Es gilt: (die 1.618... entspricht dem goldenen Schnitt)

### Direkte Implementierung der Fibonaccizahlen

(ohne Verbesserungen durch dynamisches Programmieren)

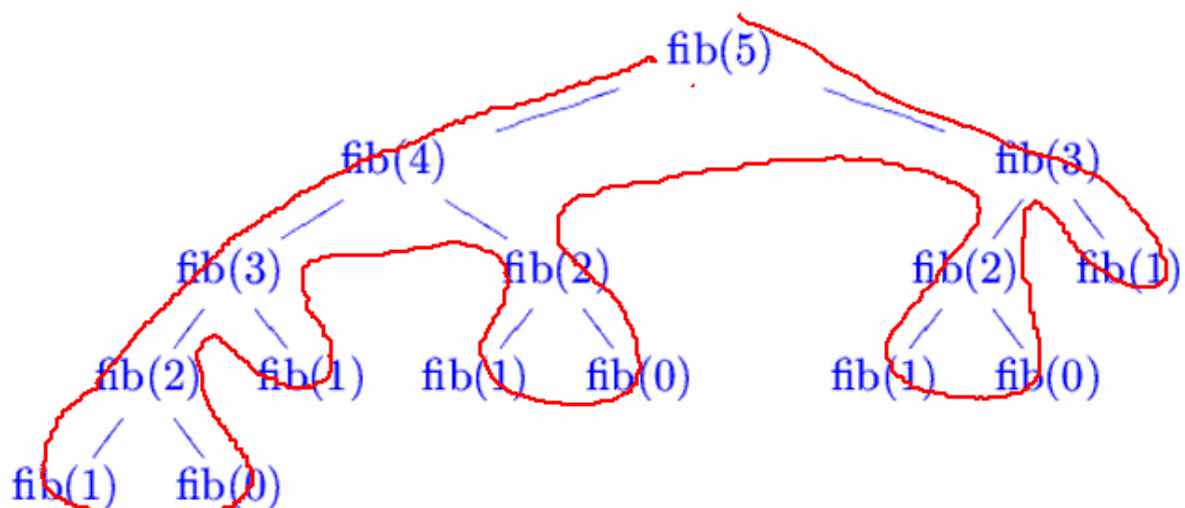
```
procedure fib (n : integer) : integer
```

```
if (n == 0) or (n == 1)
```

```
then return n
```

```
else return fib(n - 1) + fib(n - 2)
```

der Algorithmus spannt den folgenden Aufrufbaum auf



Die rote Linie kennzeichnet die Abarbeitungsreihenfolge (von links nach recht)

Wie man sieht gibt es einige Mehrfachberechnungen (z.b. fib(3), fib(2))

Sei  $T(n)$  die Anzahl der „fib“-Aufrufe, also die Anzahl der Knoten im Aufrufbaum, bei einem kompletten Durchlauf des Algorithmus, dann gilt

$T(n)=T(n-2)+T(n-1)+1$  bzw.

$$T(n) \approx \left[ \left( 1 + \frac{1}{\sqrt{5}} \right) \left( \frac{\sqrt{5}+1}{2} \right)^n - 1 \right] \approx [1.447 \times 1.618^n - 1]$$

Vorgehensweise beim dynamischen Programmieren:

1. Rekursive Beschreibung des Problems P
2. Bestimmung einer Menge T, die alle Teilprobleme von P enthält, auf die bei der Lösung von P ,auch in tieferen Rekursionsstufen, zurückgegriffen wird.
3. Bestimmung einer Reihenfolge  $T_0, \dots, T_k$  der Probleme in T, so dass bei der Lösung von  $T_i$  nur auf Probleme  $T_j$  mit  $j < i$  zurückgegriffen wird.
4. Sukzessive Berechnung und Speicherung von Lösungen für  $T_0, \dots, T_k$ .

### Beispiel: Umsetzung bei den Fibonaccizahlen

1. Rekursive Definition der Fibonacci-Zahlen nach gegebener Gleichung
2.  $T = \{f(0), \dots, f(n-1)\}$
3.  $T_i = f(i), i=0, \dots, n-1$
4. Berechnung von  $\text{fib}(i)$  benötigt von den früheren Problemen nur die zwei letzten Teillösungen  $\text{fib}(i-1)$  und  $\text{fib}(i-2)$  für  $i \geq 2$

### Implementierung mittels dynamischer Programmierung

**procedure** *fib* ( $n : \text{integer}$ ) : *integer*

- 1  $f_0 := 0; f_1 := 1$
- 2 **for**  $k := 2$  **to**  $n$  **do**
- 3      $f_k := f_{k-1} + f_{k-2}$
- 4 **return**  $f_n$

Laufzeit:  $O(n)$

Platzbedarf:  $O(n)$

**procedure** *fib* ( $n : \text{integer}$ ) : *integer*

- 1  $f_{\text{vorletzte}} := 0; f_{\text{letzte}} := 1$
- 2 **for**  $k := 2$  **to**  $n$  **do**
- 3      $f_{\text{aktuell}} := f_{\text{letzte}} + f_{\text{vorletzte}}$
- 4      $f_{\text{vorletzte}} := f_{\text{letzte}}$
- 5      $f_{\text{letzte}} := f_{\text{aktuell}}$
- 6 **return**  $(n \leq 1) ? n : f_{\text{aktuell}}$

Laufzeit:  $O(n)$

Platzbedarf:  $O(1)$

### Memoisierte Version der Berechnung der Fibonacci Zahlen

Berechne jeden Wert genau einmal und speichere ihn in einem Array  $F[1 \dots n]$ :

Die folgende Prozedur initialisiert das Array und ruft die Prozedur  $\text{lookupfib}(n)$  auf

**procedure** *fib* (*n* : *integer*) : *integer*

```
1 F[0] := 0; F[1] := 1;
2 for i := 2 to n do
3 F[i] := ∞;
4 return lookupfib(n)
```

*lookupfib*(*n*) sieht folgendermaßen aus:

**procedure** *lookupfib*(*k* : *integer*) : *integer*

```
1 if F[k] < ∞
2 then return F[k]
3 else F[k] := lookupfib(k−1)+lookupfib(k−2);
4 return F[k]
```

Platzbedarf:  $O(n)$

(Anmerkung: Im Matheprogramm Maple lässt sich die Memoisierung an bzw. ausschalten.)

## Das Optimalitätsprinzip

Typische Anwendung für dynamisches Programmieren: Optimierungsprobleme

Eine optimale Lösung für das Ausgangsproblem setzt sich aus optimalen Lösungen für kleinere Probleme zusammen.

## Kettenprodukt von Matrizen

Das Kettenprodukt von Matrizen benötigt man um eine optimale Abarbeitungsreihenfolge der Multiplikationen zu finden um möglichst wenige skalare Multiplikationen zu haben.

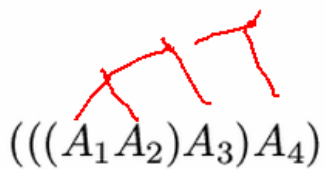
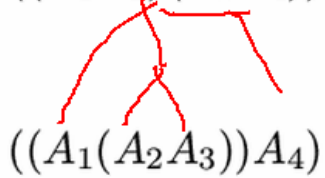
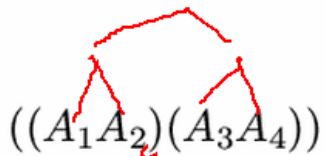
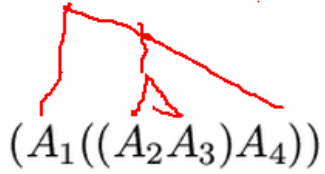
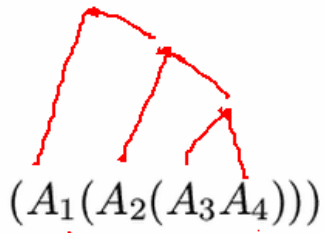
**Gegeben:** Folge (Kette)  $\langle A_1, A_2, \dots, A_n \rangle$  von Matrizen

**Gesucht:** Produkt  $(A_1 * A_2 * \dots * A_n)$

**Problem:** Organisiere die Multiplikation so, dass möglichst wenige skalare Multiplikationen ausgeführt werden.

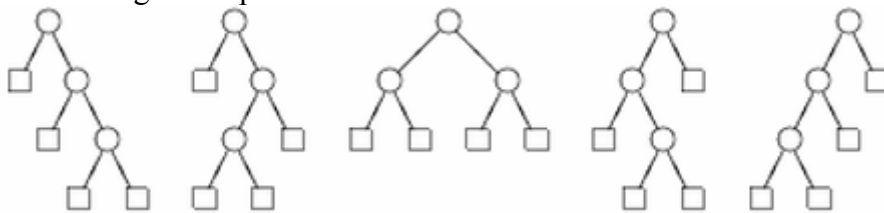
**Definition:** Ein Matrizenprodukt heißt vollständig geklammert, wenn es entweder eine einzelne Matrix oder das geklammerte Produkt zweier vollständig geklammerter Matrizenprodukte ist.

Alle vollständig geklammerten Matrizenprodukte der Kette  $\langle A_1, A_2, A_3, A_4 \rangle$  sind:



### Anzahl der verschiedenen Klammerungen

Klammerungen entsprechen strukturell verschiedenen Bäumen:



$P(n)$  sei die # der verschiedenen Klammerungen von:

$$(A_1 \dots A_k) | (A_{k+1} \dots A_n)$$

es gibt  $n-1$  Möglichkeiten den „Schnittpunkt“  $k$  zu setzen um  $A_1$  bis  $A_n$  in zwei Teile zu splitten.

$$P(1) = 1$$

$$P(n) = \sum_{k=1}^{n-1} P(k) P(n-k) \quad \text{für } n \geq 2$$

$$P(n+1) = \frac{1}{n+1} \binom{2n}{n} \approx \frac{4^n}{n\sqrt{\pi n}} + O\left(\frac{4^n}{\sqrt{n^5}}\right)$$

$$P(n+1) = C_{n+1} = \text{n-te Catalansche Zahl}$$

**Bemerkung:** finden der optimalen Klammerung durch Ausprobieren ist sinnlos, da es  $O(4^n)$  Bäume gibt!

## Multiplikation zweier Matrizen

$$A = (a_{ij})_{p \times q}, B = (b_{ij})_{q \times r}, A \cdot B = C = (c_{ij})_{p \times r},$$

$$c_{ij} = \sum_{k=1}^q a_{ik} b_{kj}.$$

**Algorithmus** *Matrix-Mult*

(naives Verfahren)

**Input:** Eine  $(p \times q)$  Matrix  $A$  und eine  $(q \times r)$  Matrix  $B$

**Output:** Die  $(p \times r)$  Matrix  $C = A \cdot B$

```

1 for i := 1 to p do
2 for j := 1 to r do
3 C[i, j] := 0
4 for k := 1 to q do
5 C[i, j] := C[i, j] + A[i, k] · B[k, j]
```

Anzahl der Multiplikationen und Additionen:  $p \cdot q \cdot r$

**Bemerkung:** Für zwei  $n \times n$  Matrizen werden hier  $n^3$  Multiplikationen benötigt. Es geht auch mit  $O(n^{2.376})$  Multiplikationen.

Beispiel: Berechnung des Produktes von  $A_1, A_2, A_3$  mit

$A_1$ : 10 x 100 Matrix

$A_2$ : 100 x 5 Matrix

$A_3$ : 5 x 50 Matrix

a) Klammerung  $((A_1 A_2) A_3)$  erfordert

$$A' = (A_1 A_2) : 10 \times 100 \times 5 = 5000$$

$$A' A_3 : 10 \times 5 \times 50 = 2500$$

$$\text{Summe:} \quad \text{-----}$$

$$7500$$

b) Klammerung  $(A_1 (A_2 A_3))$  erfordert

$$\begin{array}{r}
 A'' = (A_2 A_3) : 100 \times 5 \times 50 = 25000 \\
 A_1 A'' : 10 \times 100 \times 50 = 50000 \\
 \hline
 \text{Summe:} \qquad \qquad \qquad 75000
 \end{array}$$

Man sieht es kommt also enorm auf die Klammerung an

### Struktur der optimalen Klammerung

$$(A_{i..j}) = ((A_{i..k})(A_{k+1..j})) \quad i \leq k < j$$

Jede optimale Lösung des Matrixkettenproduktes enthält optimale Lösungen von Teilproblemen.

Rekursive Bestimmung des Wertes einer optimalen Lösung:

$M[i,j]$  sei minimale # von Operationen zur Berechnung des Teilproduktes  $A_{i..j}$ :

$$\begin{aligned}
 m[i,j] &= 0 && \text{falls } i = j \\
 m[i,j] &= \min_{i \leq k < j} \{m[i,k] + m[k+1,j] + p_{i-1}p_k p_j\} && \text{sonst} \\
 s[i,k] &= \text{optimaler Splitwert für ein } k, \text{ für das das} \\
 &&& \text{Minimum angenommen wird}
 \end{aligned}$$

## Implementierung Rekursives Matrixkettenprodukt

**Algorithmus**  $rek\text{-}mat\text{-}ket(p, i, j)$

**Input:** Eingabefolge  $p = \langle p_0, p_1, \dots, p_n \rangle$ ,  $p_{i-1} \times p_i$   
Dimensionen der Matrix  $A_i$

**Invariante:**  $rek\text{-}mat\text{-}ket(p, i, j)$  liefert  $m[i, j]$

```
1 if $i = j$ then return 0
2 $m[i, j] := \infty$
3 for $k := i$ to $j - 1$ do
4 $m[i, j] := \min(m[i, j], p_{i-1}p_kp_j +$
 $rek\text{-}mat\text{-}ket(p, i, k) +$
 $rek\text{-}mat\text{-}ket(p, k + 1, j))$
5 return $m[i, j]$
```

Aufruf:  $rek\text{-}mat\text{-}ket(p, 1, n)$

Sei  $T(n)$  die Anzahl der Schritte zur Berechnung von  $rek\text{-}mat\text{-}ket(p, 1, n)$

$$T(1) \geq 1$$

$$T(n) \geq 1 + \sum_{k=1}^{n-1} (T(k) + T(n-k) + 1)$$

$$\geq n + 2 \sum_{i=1}^{n-1} T(i)$$

$$\Rightarrow T(n) \geq 3^{n-1} \quad (\text{vollst. Induktion})$$

$\Rightarrow$  wir haben also exponentielle Laufzeit !!!

## Implementierung des Matrixkettenproduktes mit dynamischer Programmierung

Bottom-Up Ansatz (Top-Dow folgt weiter unten)

**Algorithmus** *dyn-mat-ket*

**Input:** Eingabefolge  $p = \langle p_0, p_1, \dots, p_n \rangle$ ,  $p_{i-1} \times p_i$   
Dimensionen der Matrix  $A_i$

**Output:**  $m[1, n]$

```

1 $n := \text{length}(p)$
2 for $i := 1$ to n do $m[i, i] := 0$
3 for $l := 2$ to n do
 /* $l =$ Länge des Teilproblems */
4 for $i := 1$ to $n - l + 1$ do
 /* i ist der linke Index */
5 $j := i + l - 1$
 /* j ist der rechte Index */
6 $m[i, j] := \infty$
7 for $k := i$ to $j - 1$ do
 $m[i, j] := \min(m[i, j], p_{i-1}p_kp_j + m[i, k] + m[k + 1, j])$
8 return $m[1, n]$

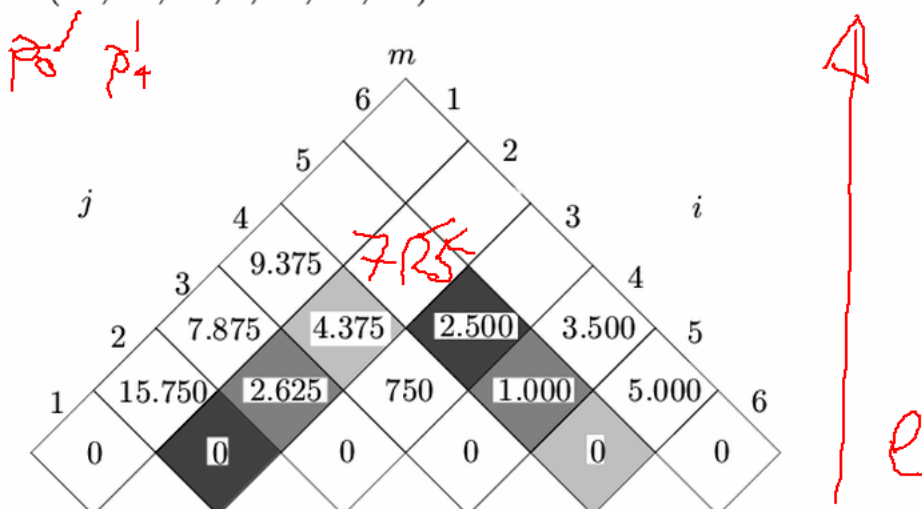
```

Zeitbedarf:  $O(n^3)$   
Platzbedarf:  $O(n^2)$

Berechnungsbeispiel:

|       |                |       |                |
|-------|----------------|-------|----------------|
| $A_1$ | $30 \times 35$ | $A_4$ | $5 \times 10$  |
| $A_2$ | $35 \times 15$ | $A_5$ | $10 \times 20$ |
| $A_3$ | $15 \times 5$  | $A_6$ | $20 \times 25$ |

$p = (30, 35, 15, 5, 10, 20, 25)$



$$m[2, 5] =$$

$$\min_{2 \leq k < 5} (m[2, k] + m[k + 1, 5] + p_1 p_k p_5)$$

$$\min \begin{cases} m[2, 2] + m[3, 5] + p_1 p_2 p_5 \\ m[2, 3] + m[4, 5] + p_1 p_3 p_5 \\ m[2, 4] + m[5, 5] + p_1 p_4 p_5 \end{cases}$$

$$\min \begin{cases} 0 + 2500 + 35 \cdot 15 \cdot 20 & = 13000 \\ 2625 + 1000 + 35 \cdot 5 \cdot 20 & = 7125 \quad * \\ 4375 + 0 + 35 \cdot 10 \cdot 20 & = 11375 \end{cases}$$

$$= 7125$$

### Matrixkettenprodukt und optimale Splitwerte mit dynamischer Programmierung

#### Algorithmus *dyn-mat-ket*(*p*)

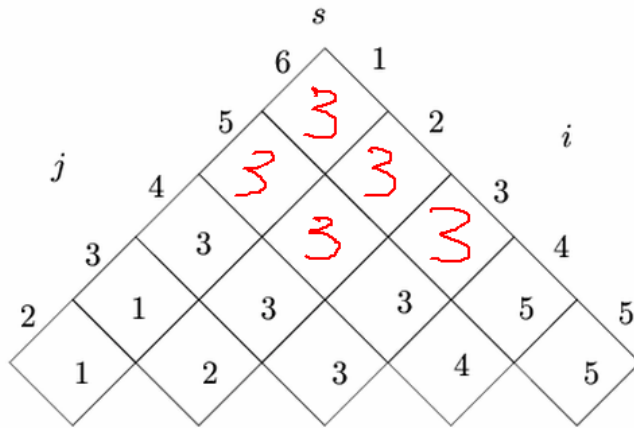
**Input:** Eingabefolge  $p = \langle p_0, p_1, \dots, p_n \rangle$ ,  $p_{i-1} \times p_i$   
Dimensionen der Matrix  $A_i$

**Output:**  $m[1, n]$  und eine Matrix  $s[i, j]$  von opt.  
Splitwerten

```

1 n := length(p)
2 for i := 1 to n do m[i, i] := 0
3 for l := 2 to n do
4 for i := 1 to n - l + 1 do
5 j := i + l - 1
6 m[i, j] := ∞
7 for k := i to j - 1 do
8 q := m[i, j]
9 m[i, j] := min(m[i, j], pi-1pkpj +
 m[i, k] + m[k + 1, j])
10 if m[i, j] < q then s[i, j] := k
11 return (m[1, n], s)

```



$$((A_1 (A_2 A_3)) (A_4 A_5) A_6)$$

$s[1,6]$  splittet  $A_1 \dots A_6$  an der Stelle 3  $\rightarrow (A_1 A_2 A_3) (A_4 A_5 A_6)$

$s[1,3]$  splittet  $A_1 A_2 A_3$  an der Stelle 1  $\rightarrow (A_1 (A_2 A_3))$

$s[4,6]$  splittet  $A_4 A_5 A_6$  an der Stelle 5  $\rightarrow ((A_4 A_5) A_6)$

### Implementierung zur Berechnung/Ausgabe der optimalen Klammerung

#### Algorithmus *Opt-Klam*

**Input:** Die Sequenz  $A$  der Matrizen, die Matrix  $s$  der optimalen Splitwerte,

zwei Indizes  $i$  und  $j$

**Output:** Eine optimale Klammerung von  $A_{i..j}$

```

1 if $i < j$
2 then $X := \text{Opt-Klam}(A, s, i, s[i, j])$
3 $Y := \text{Opt-Klam}(A, s, s[i, j] + 1, j)$
4 return $(X \cdot Y)$
5 else return A_i
```

Aufruf:  $\text{Opt-Klam}(A, s, 1, n)$

### Matrixkettenprodukt mit dynamischer Programmierung (Top-Down Ansatz)

Notizblockmethode zur Beschleunigung einer rekursiven Problemlösung:

- $\Rightarrow$  Ein Teilproblem wird nur beim ersten Auftreten gelöst, die Lösung wird in einer Tabelle gespeichert und bei jedem späteren Auftreten desselben Teilproblems wird die Lösung (ohne erneute Rechnung!) in der Lösungstabelle nachgesehen.

## Implementierung der Notizblockmethode zum Matrixkettenprodukt

(Memoisiertes Matrixkettenprodukt)

**Algorithmus**  $mem\text{-}mat\text{-}ket(p, i, j)$

**Invariante:**  $mem\text{-}mat\text{-}ket(p, i, j)$  liefert  $m[i, j]$  und

$m[i, j]$  hat den korrekten Wert, falls

$$m[i, j] < \infty$$

```
1 if $i = j$ then return 0
2 if $m[i, j] < \infty$ then return $m[i, j]$
3 for $k := i$ to $j - 1$ do
4 $m[i, j] := \min(m[i, j], p_{i-1}p_kp_j +$
 $mem\text{-}mat\text{-}ket(p, i, k) +$
 $mem\text{-}mat\text{-}ket(p, k + 1, j))$
5 return $m[i, j]$
```

Aufruf:

```
1 $n := length(p) - 1$
2 for $i := 1$ to n do
3 for $j := 1$ to n do
4 $m[i, j] := \infty$
5 $mem\text{-}mat\text{-}ket(p, 1, n)$
```

Zur Berechnung aller Einträge  $m[i, j]$  mit Hilfe von  $mem\text{-}mat\text{-}ket$  genügen insgesamt  $O(n^3)$  Schritte.

$O(n^2)$  Einträge

jeder Eintrag  $m[i, j]$  wird einmal eingetragen

jeder Eintrag  $m[i, j]$  wird zur Berechnung eines Eintrages

$m[i', j']$  betrachtet, falls  $i' = i$  und  $j' > j$  oder  $j' = j$  und  $i' < i$

$\Rightarrow \leq 2n$  Einträge benötigen  $m[i, j]$

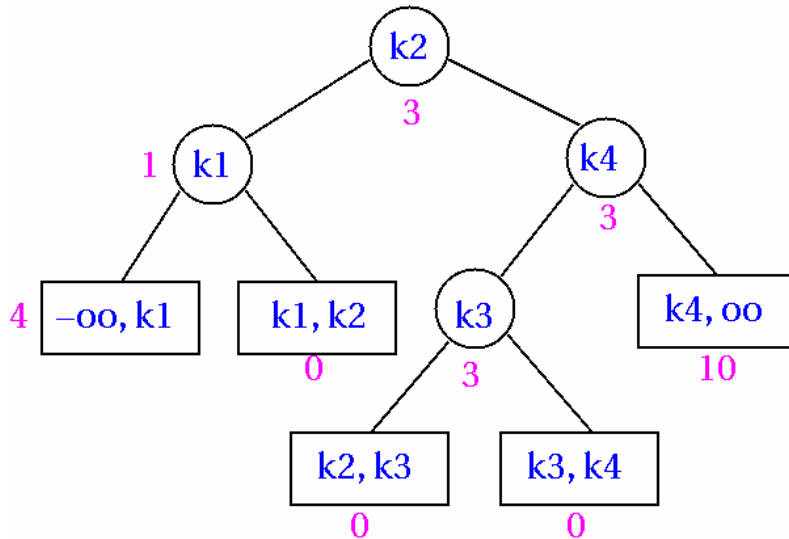
Bemerkungen zum Matrixkettenprodukt:

- Es gibt einen Algorithmus mit linearer Laufzeit  $O(n)$ , der eine Klammerung findet mit Multiplikationsaufwand  $\leq 1.155 M_{opt}$
- Es gibt eine Algorithmus mit Laufzeit  $O(n \log n)$ , der die optimale Klammerung findet.

## Konstruktion optimaler Suchbäume

$(-\infty, k_1)$   $k_1$   $(k_1, k_2)$   $k_2$   $(k_2, k_3)$   $k_3$   $(k_3, k_4)$   $k_4$   $(k_4, \infty)$

4 1 0 3 0 3 0 3 10



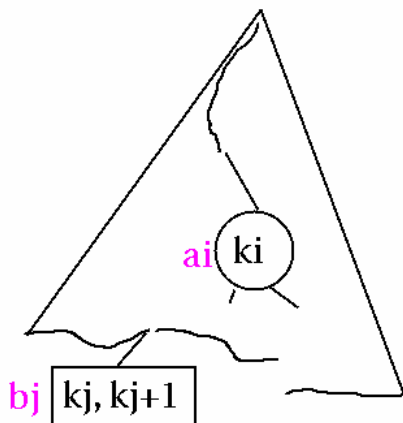
Gesamte Pfadlänge des obigen Baumes:

$$1 \cdot 3 + 2 \cdot (1 + 3) + 3 \cdot 3 + 2 \cdot (4 + 0) + 3 \cdot (0 + 0) + 2 \cdot 10$$

Schlüsselmenge  $S = \{k_1, k_2, \dots, k_n\}, k_1 < k_2 < \dots < k_n$

- $a_i$  = (absolute) Häufigkeit, mit der nach  $k_i$  gesucht wird
- $b_j$  = (absolute) Häufigkeit, mit der nach einem Schlüssel  $x$  in  $(k_j, k_{j+1})$  gesucht wird

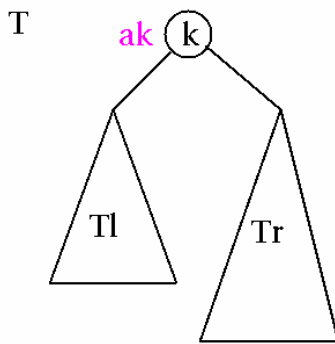
gewichtete Pfadlänge:



$$P = \sum_{i=1}^n (\text{Tiefe}(k_i) + 1) a_i + \sum_{j=0}^n \text{Tiefe}((k_j, k_{j+1})) b_j$$

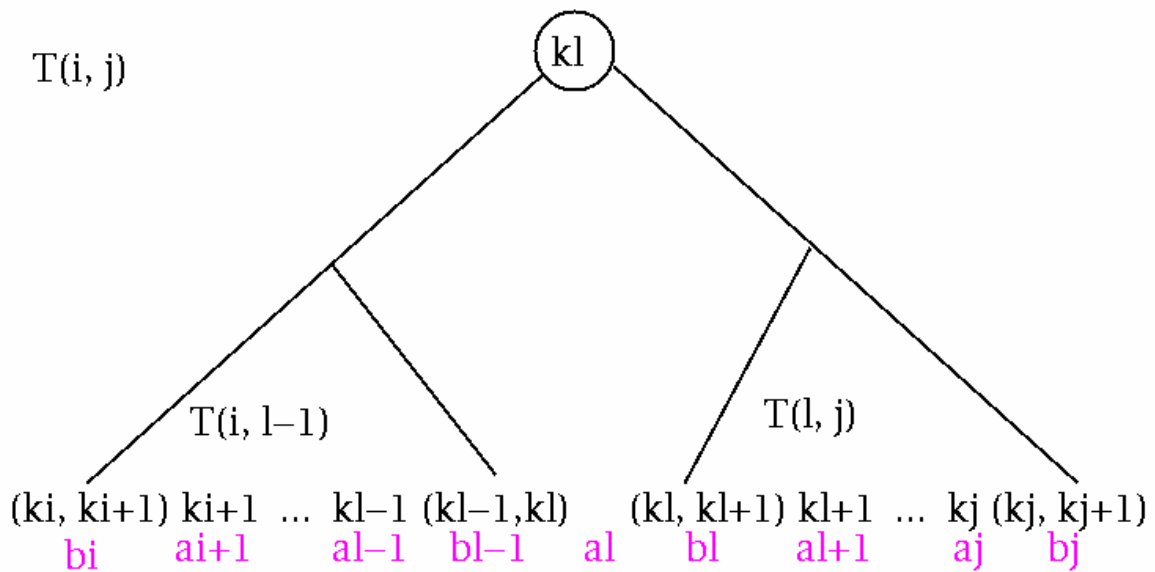
Ein Suchbaum mit minimal möglicher gewichteter Pfadlänge ist ein optimaler Suchbaum

## Rekursive Bestimmung der gewichteten Pfadlänge



$$\begin{aligned}
 P(T) &= P(Tl) + \text{Gewicht}(Tl) + \\
 &\quad P(Tr) + \text{Gewicht}(Tr) + \\
 &\quad ak \\
 &= P(Tl) + P(Tr) + \text{Gewicht}(T)
 \end{aligned}$$

Ist T ein Baum mit minimaler gewichteter Pfadlänge, so auch Tl und Tr (Optimalitätsprinzip)



$$W(i, i) = b_i \quad , \quad \text{für } 0 \leq i \leq n$$

$$W(i, j) = W(i, j-1) + a_j + b_j \quad , \quad \text{für } 0 \leq i < j \leq n$$

$$P(i, i) = 0 \quad , \quad \text{für } 0 \leq i \leq n$$

$$P(i, j) = W(i, j) + \min_{i < l \leq j} \{ P(i, l-1) + P(l, j) \} \quad , \quad \text{für } 0 \leq i < j \leq n$$

$W(i, j)$  ist das Gesamtgewicht des Baumes  $T(i, j)$

$P(i, j)$  ist die Gesamtpfadlänge des Baumes  $T(i, j)$

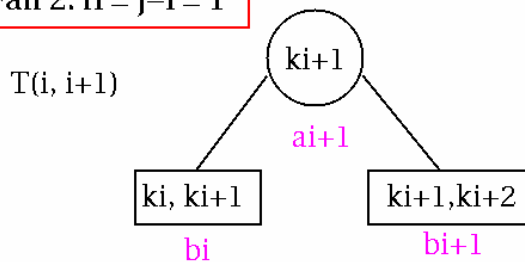
Fall 1:  $h = j - i = 0$

$$T(i, i) = [k_i, k_{i+1}]$$

$$W(i, i) = b_i$$

$$P(i, i) = 0, \quad r(i, i) \text{ undefiniert}$$

Fall 2:  $h = j - i = 1$



$$W(i, i+1) = b_i + a_{i+1} + b_{i+1}$$

$$P(i, i+1) = W(i, i+1)$$

$$r(i, i+1) = i+1$$

Berechnung von  $P(0, n)$  nach dem Prinzip der dynamischen Programmierung:

**for**  $h = 2$  **to**  $n$  **do**

**for**  $i = 0$  **to**  $(n - h)$  **do**

$\{ j = i + h;$

        finde das (größte)  $l, i < l \leq j$ , für das

$P(i, l-1) + P(l, j)$  minimal wird;

$P(i, j) = P(i, l-1) + P(l, j) + W(i, j);$

$r(i, j) = l;$

$\}$

Satz: Ein optimaler Suchbaum für  $n$  Schlüssel und  $n+1$  Intervalle mit gegebenen Zugriffshäufigkeiten kann in Zeit  $O(n^3)$  und Platz  $(n^2)$  konstruiert werden.

## Vorlesung 17 – Dynamische Programmierung – Editierdistanz

Vorteile und Nachteile für die beiden Ansätze der dynamischen Programmierung:

Bottom-Up Ansatz

- + kontrollierte effiziente Tabellenverwaltung, spart Zeit
- + spezielle optimierte Berechnungsreihenfolge, spart Platz
- weitgehende Umcodierung des Originalprogramms erforderlich

- möglicherweise Berechnung nicht benötigter Werte
- Top-Down Ansatz (Memoisierung, Notizblockmethode):
- + Originalprogramm wird nur gering oder nicht verändert
- + Nur tatsächlich benötigte Werte werden berechnet
- separate Tabellenverwaltung benötigt Zeit
- Tabellengröße oft nicht optimal

## Probleme der Ähnlichkeit von Zeichenketten

### Editierdistanz

Berechne für zwei gegebene Zeichenfolgen A und B möglichst effizient die Editier-Distanz  $D(A,B)$  und eine minimale Folge von Editieroperationen, die A in B überführt.

i n f - - - o r m a t i k -  
 i n t e r p o l - a t i o n  $\rightarrow D(A,B) = 8$

### Approximative Zeichenkettensuche

Finde für einen gegebenen Text T, ein Muster P und eine Distanz d alle Teilketten P' in T mit  $D(P,P') \leq d$

### Sequence Alignment

Finde optimale Alignments zwischen DNA-Sequenzen

G A G C A - C T T G G A T T C T C G G  
 - - - C A C G T G G - - - - - - - - -

### Editier-Distanz

**Gegeben:** Zwei Zeichenketten  $A = a_1a_2 \dots a_m$  und  $B = b_1b_2 \dots b_n$

**Gesucht:** Minimale Kosten  $D(A,B)$  für eine Folge von Editieroperationen, um A in B zu überführen

Editieroperationen:

1. Ersetzen eines Zeichens von A durch ein Zeichen von B
2. Löschen eines Zeichens von A
3. Einfügen eines Zeichens von B

Einheitskostenmodell:

$$c(a,b) = \begin{cases} 1 & \text{falls } a \neq b \\ 0 & \text{falls } a = b \end{cases}$$

$a = \epsilon$ ,  $b = \epsilon$  möglich

Dreiecksungleichung soll für c im allgemeinen gelten:

$$C(a,c) \leq c(a,b) + c(b,c)$$

$\Rightarrow$  Ein Buchstabe wird höchstens einmal verändert

Spur als Repräsentation von Editiersequenzen

$A = \quad b \quad a \quad a \quad c \quad a \quad a \quad b \quad c$   
 $B = \quad a \quad b \quad a \quad c \quad b \quad c \quad a \quad c$

oder mit Indels

$A = \quad - \quad b \quad a \quad a \quad c \quad a \quad - \quad a \quad b \quad c$   
 $B = \quad a \quad b \quad a \quad - \quad c \quad b \quad c \quad a \quad - \quad c$

Editier-Distanz (Kosten): 5

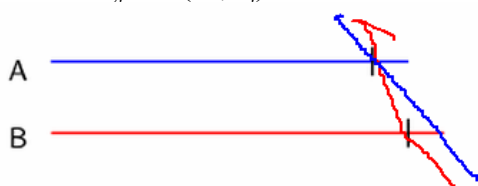
Aufteilung einer optimalen Spur ergibt zwei optimale Teilspuren

⇒ Dynamische Programmierung anwendbar

### Berechnung der Editier-Distanz

Sei  $A_i = a_1 \dots a_i$  und  $B_j = b_1 \dots b_j$

$$D_{i,j} = D(A_i, B_j)$$



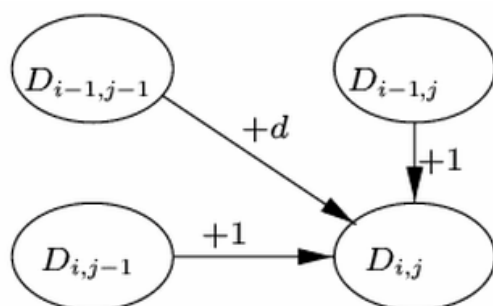
Drei Möglichkeiten eine Spur zu beenden:

1.  $a_m$  wird durch  $b_n$  ersetzt:  $D_{m,n} = D_{m-1,n-1} + c(a_m, b_n)$
2.  $a_m$  wird gelöscht:  $D_{m,n} = D_{m-1,n} + 1$
3.  $b_n$  wird eingefügt:  $D_{m,n} = D_{m,n-1} + 1$

Rekursionsgleichung falls  $m, n \geq 1$

$$D_{m,n} = \min \left\{ \begin{array}{l} D_{m-1,n-1} + c(a_m, b_n), \\ D_{m-1,n} + 1, \\ D_{m,n-1} + 1 \end{array} \right\}$$

⇒ Berechnung aller  $D_{i,j}$  erforderlich,  $0 \leq i \leq m, 0 \leq j \leq n$



## Rekursionsgleichung für die Editier-Distanz

Anfangsbedingungen:

$$D_{0,0} = D(\varepsilon, \varepsilon) = 0$$

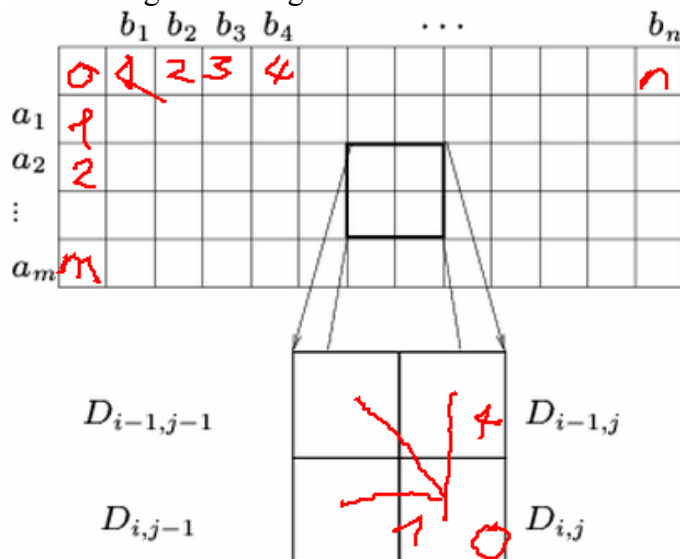
$$D_{0,j} = D(\varepsilon, B_j) = j$$

$$D_{i,0} = D(A_i, \varepsilon) = i$$

Rekursionsgleichung:

$$D_{i,j} = \min \left\{ \begin{array}{l} D_{i-1,j-1} + c(a_i, b_j), \\ D_{i-1,j} + 1, \\ D_{i,j-1} + 1 \end{array} \right\}$$

Berechnungsreihenfolge für die Editier-Distanz



## Algorithmus für die Editier-Distanz

### Algorithmus Editierdistanz

**Input:** Zwei Zeichenketten  $A = a_1 \cdots a_m$  und  $B = b_1 \cdots b_n$

**Output:** Die Matrix  $D = (D_{ij})$

1  $D[0,0] := 0$

2 **for**  $i := 1$  **to**  $m$  **do**  $D[i,0] = i$

3 **for**  $j := 1$  **to**  $n$  **do**  $D[0,j] = j$

4 **for**  $i := 1$  **to**  $m$  **do**

5     **for**  $j := 1$  **to**  $n$  **do**

6          $D[i,j] := \min(D[i-1,j] + 1,$

7                      $D[i,j-1] + 1,$

8                      $D[i-1,j-1] + c(a_i, b_j))$

Laufzeit:  $O(m \cdot n)$   
 Platzbedarf:  $O(m \cdot n)$

### Beispiel für Editier-Distanz

B →

|        |   | a | b | a | c |   |
|--------|---|---|---|---|---|---|
| A<br>↓ | 0 | 0 | 1 | 2 | 3 | 4 |
|        | b | 1 | 1 | 2 | 3 |   |
|        | a | 2 | 1 | 2 | 3 | 2 |
|        | a | 3 | 2 | 2 | 2 | 2 |
|        | c | 4 | 3 | 3 | 3 | 2 |

A    b a a c  
 B    a b a c

### Implementierung: Berechnung der Editieroperationen

#### Algorithmus Editieroperationen( $i, j$ )

**Input:** Berechnete Matrix  $D$

```

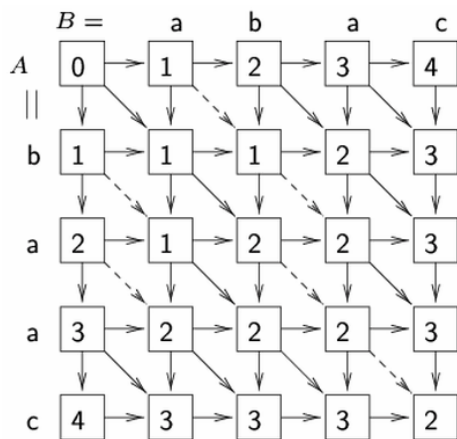
1 if $i = 0$ and $j = 0$ then return
2 if $i \neq 0$ and $D[i, j] = D[i - 1, j] + 1$
3 then "lösche $a[i]$ "
4 Editieroperationen($i - 1, j$)
5 else if $j \neq 0$ and $D[i, j] = D[i, j - 1] + 1$
6 then "füge $b[j]$ ein"
7 Editieroperationen($i, j - 1$)
8 else
9 /* $D[i, j] = D[i - 1, j - 1] + c(a[i], b[j])$ */
10 "ersetze $a[i]$ durch $b[j]$ "
11 Editieroperationen($i - 1, j - 1$)

```

Aufruf:                    Editieroperationen( $m, n$ )

#### Spurgraph der Editieroperationen

Beispiel Editieroperationen:



### Spurgraph:

Übersicht über alle möglichen Spuren zu Transformation von A in B, gerichtete Kante von Knoten  $(i,j)$  zu  $(i+1,j)$ ,  $(i,j+1)$  und  $(i+1,j+1)$ .  
Gewichtung der Kanten entsprechend Editierkosten.

Kosten nehmen entlang eines optimalen Weges monoton zu.

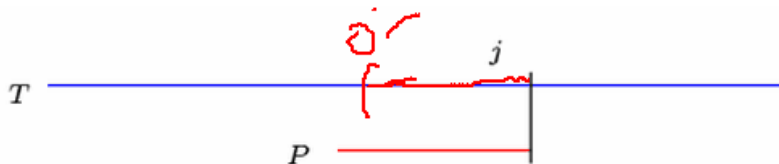
Jeder Weg mit monoton wachsenden Kosten von der linken oberen Ecke zur rechten unteren Ecke entspricht einer optimalen Spur.

### Approximative Zeichenkettensuche

**Gegeben:** zwei Zeichenketten  $P = p_1p_2\dots p_m$  (Muster) und  $T = t_1t_2\dots t_n$  (Text)

**Gesucht:** Ein Intervall  $[j',j]$ ,  $1 \leq j' \leq j \leq n$ , so dass das Teilwort  $T_{j',j} = t_{j'}\dots t_j$  das dem Muster P ähnlichste Teilwort von T ist, d.h. für alle anderen Intervalle  $[k',k]$ ,  $1 \leq k' \leq k \leq n$ , gilt:

$$D(P, T_{j',j}) \leq D(P, T_{k',k})$$



### Naives Verfahren:

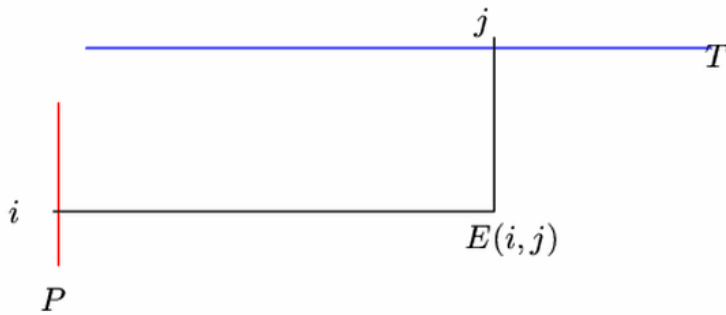
**for all**  $1 \leq j' \leq j \leq n$  **do**

Berechne  $D(P, T_{j',j})$

wähle Minimum

Laufzeit:  $O(n^2 * n * m)$

Betrachte verwandtes Problem:



Für jede Textstelle  $j$  und jede Musterstelle  $i$  berechne die Editierdistanz des zu  $P_i$  ähnlichsten, bei  $j$  endenden Teilstücks  $T_{j',j}$  von  $T$ .

Methode:

**for all**  $1 \leq j \leq n$  **do**

Berechne  $j'$ , so daß  $D(P, T_{j',j})$  minimal ist

Für  $0 \leq i \leq m$  und  $0 \leq j \leq n$  sei:

$$E_{i,j} = \min_{1 \leq j' \leq j+1} D(P_i, T_{j',j})$$

Optimale Spur:

$$\begin{array}{cccccccc}
 P_i & = & b & a & a & c & a & a & b & c \\
 & & | & | & / & / & | & / & & \\
 T_{j',j} & = & b & a & c & b & c & a & c & 
 \end{array}$$

Rekursionsgleichung:

$$E_{i,j} = \min \left\{ \begin{array}{l} E_{i-1,j-1} + c(p_i, t_j), \\ E_{i-1,j} + 1, \\ E_{i,j-1} + 1 \end{array} \right\}$$

Bemerkung:

$J'$  kann für  $E_{i-1,j-1}$ ,  $E_{i-1,j}$  und  $E_{i,j-1}$  ganz verschieden sein. Teilspur einer optimalen Spur ist eine optimale Teilspur (wieder Optimalitätsprinzip)

Anfangsbedingungen:

$$E_{0,0} = E(\epsilon, \epsilon) = 0$$

$$E_{i,0} = E(P_i, \epsilon) = i$$

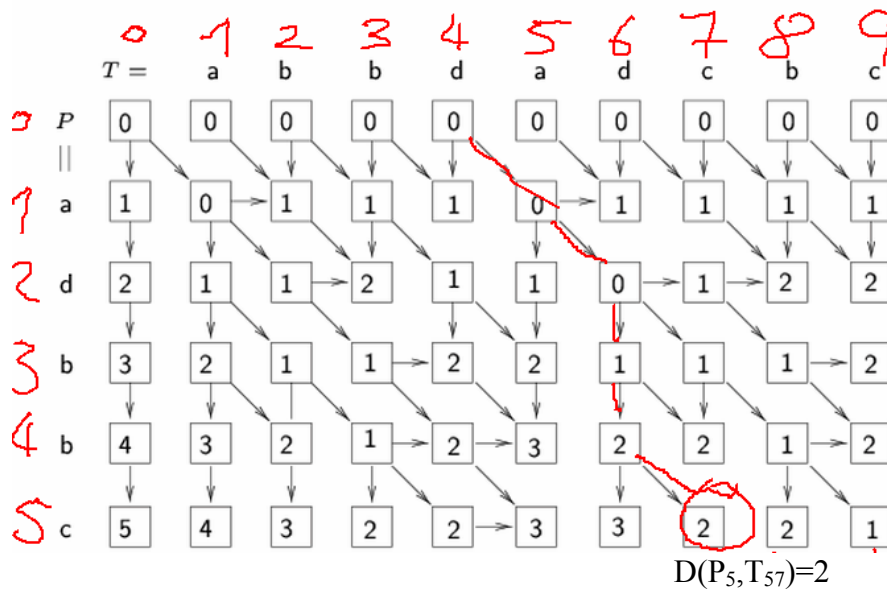
aber

$$E_{0,j} = E(\epsilon, T_j) = 0$$

Beobachtung:

Die optimale Editiersequenz von P nach  $T_{j,j}$  beginnt nicht mit einer Einfügung von  $t_j$ .

### Abhängigkeitsgraph



**Satz:** Gibt es im Abhängigkeitsgraphen einen Weg von  $E_{0,j-1}$  nach  $E_{i,j}$ , so ist  $T_{j,j}$  ein zu  $P_i$  ähnliches, bei j endendes Teilstück von T mit

$$D(P_i, T_{j,j}) = E_{i,j}$$

### Ähnlichkeit von Zeichenketten

Sequence Alignment

Finde für zwei DNA-Sequenzen Einfügestellen von Leerzeichen, so, dass die Sequenzen möglichst ähnlich sind.

GA CCGGATTAG  
 GATCGGAATAG

Ähnlichkeitsmaß für Zeichenpaare

| Bsp. | Situation       | allgemein   |
|------|-----------------|-------------|
| +1   | für Match       | } $s(a, b)$ |
| -1   | für Mismatch    |             |
| -2   | für Leerzeichen | $-c$        |

Für die obige Zeichenfolge ergibt sich daraus ein Wert von 6  $(-2+(-1)+9)$

Ähnlichkeitsmaß für Sequenzen:

$$S(A, B) = \sum_{\text{alle Zeichenpaare}} \text{Ähnlichkeit des Zeichenpaars}$$

**ZIEL:** Finde Alignment mit optimaler Ähnlichkeit

**Operationen:**

1. Ersetzen eines Zeichens a durch ein Zeichen b: Gewinn  $s(a,b)$
2. Löschen eines Zeichens von A, Einfügen eines Zeichens von B: Verlust  $-c$

**Aufgabe:** Finde eine Folge von Operationen zur Umwandlung von A in B, so dass die Summe der Gewinne maximiert wird

$$S_{i,j} = S(A_i, B_j), \quad 0 \leq i \leq m, \quad 0 \leq j \leq n$$

**Rekursionsgleichung:**

$$S_{m,n} = \max \left( S_{m-1,n-1} + s(a_m, b_n), \right. \\ \left. S_{m-1,n} - c, S_{m,n-1} - c \right)$$

**Anfangsbedingungen:**

$$S_{0,0} = S(\epsilon, \epsilon) = 0$$

$$S_{0,j} = S(\epsilon, B_j) = -jc$$

$$S_{i,0} = S(A_i, \epsilon) = -ic$$

**Ähnlichste Teilzeichenketten**

Gegeben: zwei Zeichenketten  $A = a_1a_2\dots a_m$  und  $B = b_1b_2\dots b_n$

Gesucht: Ein zwei Intervalle  $[i', i] \subseteq [1, m]$  und  $[j', j] \subseteq [1, n]$ , so dass:

$$S(A_{i',i}, B_{j',j}) \geq S(A_{k',k}, B_{l',l}),$$

für alle  $[k', k] \subseteq [1, m]$  und  $[l', l] \subseteq [1, n]$ .

**Naives Verfahren:**

**for all**  $[i', i] \subseteq [1, m]$  **and**  $[j', j] \subseteq [1, n]$  **do**  
 Berechne  $S(A_{i',i}, B_{j',j})$

Laufzeit:  $O(m^2n^2mn)$  als kubische Laufzeit !!!

**Methode:**

**for all**  $1 \leq i \leq m, 1 \leq j \leq n$  **do**

Berechne  $i'$  und  $j'$ , so daß  $S(A_{i',i}, B_{j',j})$  maximal ist

Für  $0 \leq i \leq m$  und  $0 \leq j \leq n$  sei:

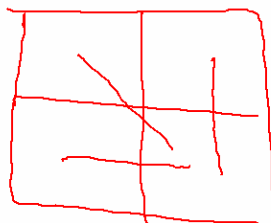
$$H_{i,j} = \max_{\substack{1 \leq i' \leq i+1, \\ 1 \leq j' \leq j+1}} S(A_{i',i}, B_{j',j})$$

**Optimale Spur:**

$$\begin{array}{rcccccccc} A_{i',i} = & b & a & a & c & a & - & a & b & c \\ & | & | & & | & | & & | & & | \\ B_{j',j} = & b & a & - & c & b & c & a & - & c \end{array}$$

**Rekursionsgleichung:**

$$H_{i,j} = \max \left\{ \begin{array}{l} \underline{H_{i-1,j-1} + s(a_i, b_j)}, \\ H_{i-1,j} - c, \\ H_{i,j-1} - c, \\ 0 \end{array} \right\}$$



**Anfangsbedingungen:**

$$H_{0,0} = H(\epsilon, \epsilon) = 0$$

$$H_{i,0} = H(A_i, \epsilon) = 0$$

$$H_{0,j} = H(\epsilon, B_j) = 0$$

## Vorlesung 18 – Suche in Texten (KMP/BM)

### Verschiedene Szenarios

Dynamische Texte:

- Texteditoren
- Symbolmanipulatoren

Statische Texte

- Literaturdatenbank
- Bibliotheksysteme

- Gen-Datenbanken
- WWW-Verzeichnisse

Datentyp *string*:

- array of character
- file of character
- list of character

Operationen: (seien T,P vom Typ *string*)

**Länge:** length ()  
**i-tes Zeichen:** T[i]  
**Verkettung:** cat (T,P) T.P

## Problemdefinition

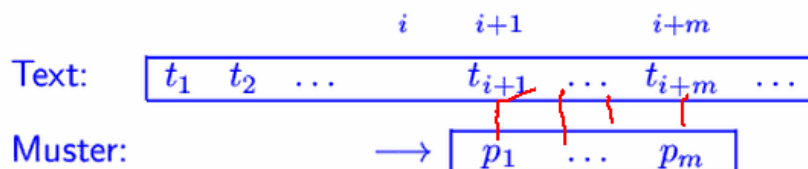
Gegeben:

Text  $t_1 t_2 \dots t_n \in \Sigma^n$   
 Muster  $p_1 p_2 \dots p_m \in \Sigma^m$

Gesucht:

Ein oder alle Vorkommen des Musters im Text, d.h. Verschiebungen  $i$  mit  $0 \leq i \leq n-m$  und

$$\begin{aligned} p_1 &= t_{i+1} \\ p_2 &= t_{i+2} \\ &\vdots \\ p_m &= t_{i+m} \end{aligned}$$



Aufwandsabschätzung (Zeit):

1. # mögl. Verschiebungen:  $n-m+1$  #Musterstellen:  $m$   
 $\rightarrow O(n*m)$
2. mind. 1 Vergleich pro  $m$  aufeinanderfolgende Textstellen  
 $\rightarrow \Omega(m + \lfloor n/m \rfloor)$

## Naives Verfahren

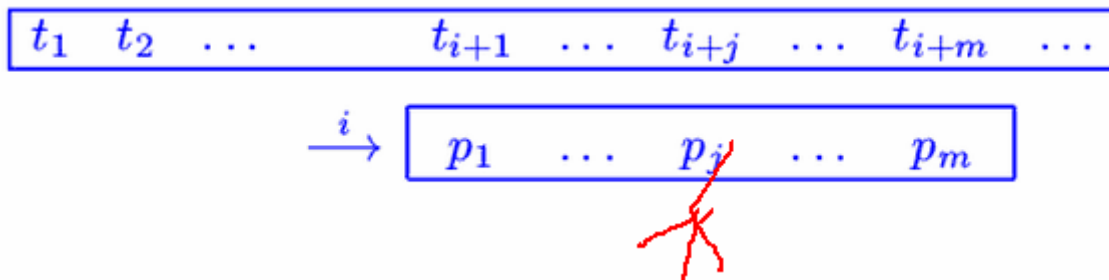
Für jede mögliche Verschiebung  $0 \leq i \leq n-m$  prüfe maximal  $m$  Zeichenpaare.

Bei Mismatch beginne mit neuer Verschiebung

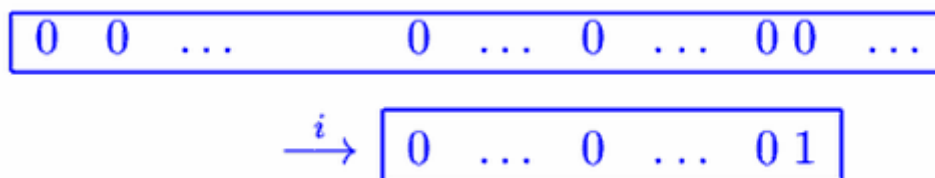
```

textsearchbf := proc (T::string, P::string)
Input: Text T und Muster P
Output: Liste L mit Verschiebungen i
an denen P in T vorkommt
 n := length (T); m := length (P);
 L := [];
 for i from 0 to n-m do
 j := 1;
 while j <= m and T[i+j] = P[j]
 do j := j+1 od;
 if j = m+1 then L := [L[],i] fi;
 od;
 RETURN (L)
end;

```



### Aufwandsabschätzung (Naives Verfahren)



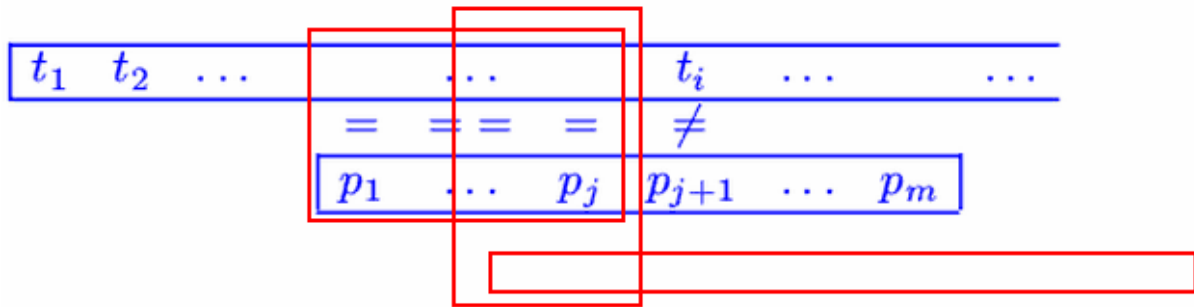
Worst Case:  $\Omega(m n)$

In der Praxis oft: Mismatch tritt sehr früh auf

→ Laufzeit  $\sim cn$  ( $c$  ist die Stelle an der im Durchschnitt der Mismatch auftaucht)

### Verfahren von Knuth-Morris-Pratt

Seien  $t_i$  und  $p_{j+t}$  die zu vergleichenden Zeichen



Tritt bei einer Verschiebung erstmals ein Mismatch auf bei  $t_i$  und  $p_{j+1}$  dann gilt:

- Die zuletzt verglichenen  $j$  Zeichen in  $T$  stimmen mit den ersten  $j$  Zeichen in  $P$  überein
- $t_i \neq p_{j+1}$

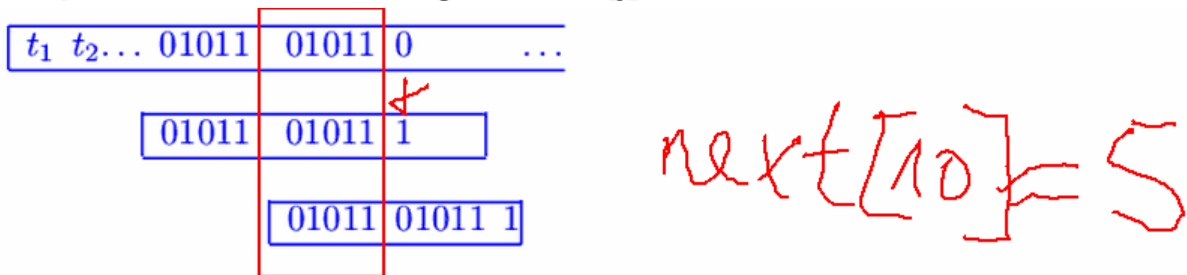
Idee:

Bestimme  $j' = \text{next}[j] < j$ , so dass  $t_i$  anschließend mit  $p_{j'+1}$  verglichen werden kann.

Bestimme  $j' < j$ , so dass  $P_{1..j'} = P_{j'+1..j}$

Bestimme das längste Präfix von  $P$ , das echtes Suffix von  $P_{1..j}$  ist.

### Beispiel für die Bestimmung von $\text{next}[j]$ :



$\text{next}[j]$  = Länge des längsten Präfixes von  $P$ , das echtes Suffix von  $P_{1..j}$  ist.

⇒ für  $P = 0101101011$  ist  $\text{next} = [0,0,1,2,0,1,2,3,4,5]$ :

| 1 | 2 | 3 | 4 | 5 | 6 | 7 | 8 | 9 | 10 |
|---|---|---|---|---|---|---|---|---|----|
| 0 | 1 | 0 | 1 | 1 | 0 | 1 | 0 | 1 | 1  |
|   |   | 0 |   |   |   |   |   |   |    |
|   |   | 0 | 1 |   |   |   |   |   |    |
|   |   |   |   | 0 |   |   |   |   |    |
|   |   |   |   | 0 | 1 |   |   |   |    |
|   |   |   |   | 0 | 1 | 0 |   |   |    |
|   |   |   |   | 0 | 1 | 0 | 1 |   |    |
|   |   |   |   | 0 | 1 | 0 | 1 | 1 |    |

```

KMP := proc (T::string, P::string)
Input: Text T und Muster P
Output: Liste L mit Verschiebungen i
an denen P in T vorkommt
 n := length (T); m := length (P);
 L := [];
 next := KMPnext (P);
 j := 0;
 for i from 1 to n do
 while j>0 and T[i] <> P[j+1]
 do j := next [j] od;
 if T[i] = P[j+1] then j := j+1 fi;
 if j = m then L := [L[],i-m];
 j := next [j]
 fi;
 od;
 RETURN (L);
end;

```

*i* ist Zeiger auf Zeichen in *T*  
*j* ist Zeiger vor Zeichen in *P*

Muster: abrakadabra, next = [0, 0, 0, 1, 0, 1, 0, 1, 2, 3, 4]

```

a b r a k a d a b r a b r a b a b r a k ...
| | | | | | | | | |
a b r a k a d a b r a
next[11] = 4

```

```

a b r a k a d a b r a b r a b a b r a k ...
- - - - X
a b r a k
next[4] = 1

```

```

a b r a k a d a b r a b r a b a b r a k ...
- | | | X
a b r a k
next[4] = 1

```

```

a b r a k a d a b r a b r a b a b r a k ...
- | X
a b r a k
next[2] = 0

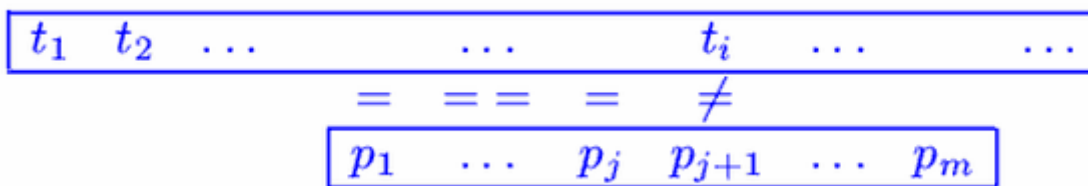
```

```

a b r a k a d a b r a b r a b a b r a k ...
| | | | |
a b r a k

```

**Korrektheit:**



Situation am Beginn der for-Schleife:

$P_{1..j}$   $T_{i..i-1}$  und  $j \neq m$

falls  $j=0$ : man steht auf erstem Zeichen vom P

falls  $j \neq 0$ : P kann verschoben werden, solange  $j > 0$  und  $t_i \neq p_{j+1}$

Ist dann  $T[i] = P[j+1]$ , können j und i (am Schleifenende) erhöht werden.

Wurde ganz P verglichen ( $j=m$ ), ist eine Stelle gefunden, und es kann verschoben werden.

### Laufzeit:

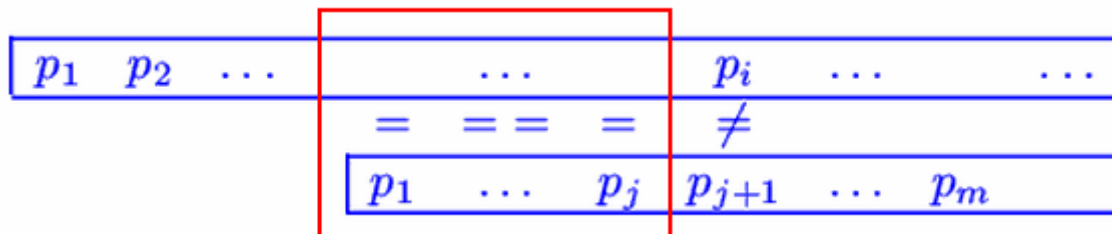
- Textzeiger  $i$  wird nie zurückgesetzt
- Textzeiger  $i$  und Musterzeiger  $j$  werden stets gemeinsam inkrementiert
- Es ist  $\text{next}[j] < j$ ;  $j$  kann nur so oft herabgesetzt werden wie es heraufgesetzt wurde.

Der KMP-Algorithmus kann in Zeit  $O(n)$  ausgeführt werden, wenn das next-Array bekannt ist.

### Berechnung des next-Arrays

$\text{next}[i]$  = Länge des längsten Prefixes von  $P$ , das echtes Suffix von  $P_{1\dots i}$  ist

- $\text{next}[1]=0$
- Sei  $\text{next}[i-1]=j$ ;



Betrachte 2 Fälle:

- 1)  $p_i = p_{j+1} \Rightarrow \text{next}[i] = j + 1$
- 2)  $p_i \neq p_{j+1} \Rightarrow$  ersetze  $j$  durch  $\text{next}[j]$ , bis  $p_i = p_{j+1}$  oder  $j = 0$ .  
Falls  $p_i = p_{j+1}$  ist, kann  $\text{next}[i] = j + 1$  gesetzt werden, sonst ist  $\text{next}[i] = 0$

## Algorithmus – Berechnung des next-Arrays

```
KMPnext := proc (P::string)
Input: Muster P
Output: next-Array fuer P
 m := length (P);
 next := array (1..m);
 next [1] := 0;
 j := 0;
 for i from 2 to m do
 while j > 0 and P[i] <> P[j+1]
 do j := next [j] od;
 if P[i] = P[j+1] then j := j+1 fi;
 next [i] := j
 od;
 RETURN (next);
end;
```

Zeitaufwand:  $O(m)$  (nur für das next-Arrays)

Zeitaufwand Gesamt für KMP Algorithmus:

$O(n+m)$

Kann die Textsuche noch schneller sein?  $\rightarrow n+m$  bedeutet doch eigentlich, jedes Zeichen einmal zu betrachten, aber es geht noch schneller !!

## Verfahren von Boyer-Moore

### Idee:

Das Muster von links nach rechts anlegen, aber zeichenweise von rechts nach links verglichen.

Beispiel:

```

e r s a g t e a b r a k a d a b r a a b e r
 X
a b e r

```

```

e r s a g t e a b r a k a d a b r a a b e r
 X
 a b e r

```

```

e r s a g t e a b r a k a d a b r a a b e r
 X
 a b e r

```

```

e r s a g t e a b r a k a d a b r a a b e r
 X
 a b e r

```

```

e r s a g t e a b r a k a d a b r a a b e r
 X
 a b e r

```

```

e r s a g t e a b r a k a d a b r a a b e r
 X
 a b e r

```

```

e r s a g t e a b r a k a d a b r a a b e r
 X
 a b e r

```

```

e r s a g t e a b r a k a d a b r a a b e r
 | | | |
 a b e r

```

Große Sprünge:      Wenig vergleiche  
 Erhoffte Laufzeit:  $O(m + \lfloor n/m \rfloor)$

## Die Vorkommensheuristik

Für  $c \in \Sigma$  und das Muster  $P$  sei ( $\Sigma$  ist das Alphabet !)

$$\begin{aligned} \delta(c) &:= \text{Index des von rechts her ersten Vorkommens} \\ &\quad \text{von } c \text{ in } P \\ &= \max\{j \mid p_j = c\} \\ &= \begin{cases} 0 & \text{falls } c \notin P \\ j & \text{falls } c = p_j \text{ und } c \neq p_k \text{ für } j < k \leq m \end{cases} \end{aligned}$$

Wie teuer ist die Berechnung aller  $\delta$ -Werte?

Sei  $|\Sigma| = l$ :

$$O(l+m)$$

Seien:

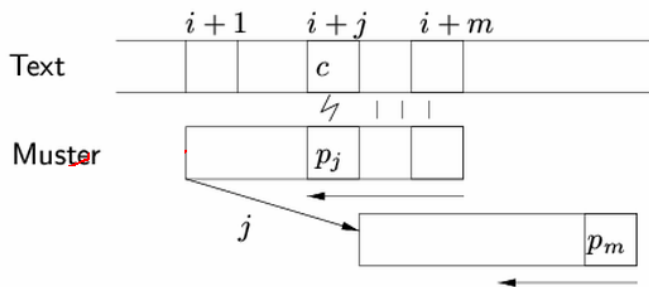
$c$  = das den Mismatch verursachende Zeichen

$j$  = Index des aktuellsten Zeichens im Muster ( $c \neq p_j$ )

### Berechnung der Musterverschiebung

**Fall 1**  $c$  kommt nicht im Muster  $P$  vor. ( $\delta(c)=0$ )

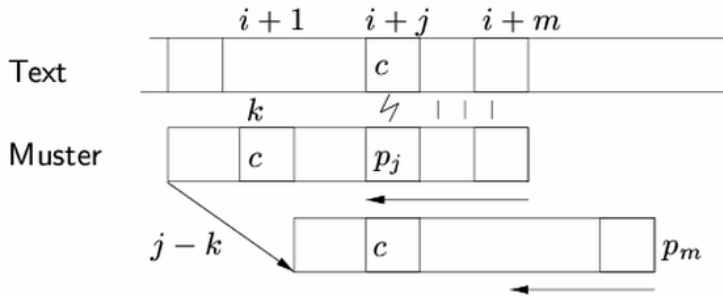
Verschiebe das Muster um  $j$  Positionen nach rechts



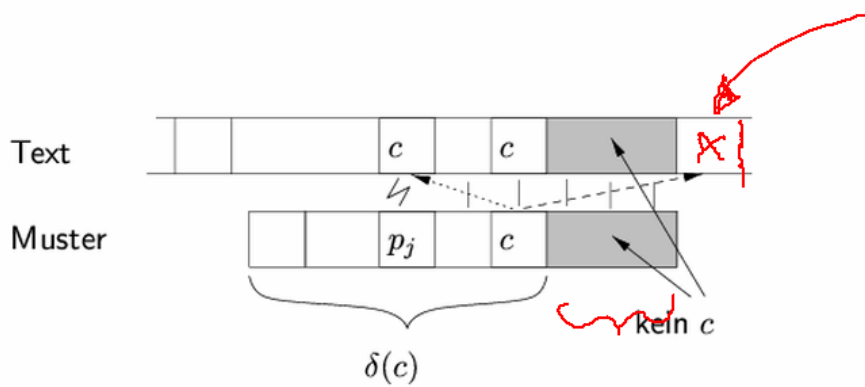
$$\Delta(i) = j$$

**Fall 2**  $c$  kommt im Muster vor. ( $\delta(c) \neq 0$ )

Verschiebe das Muster soweit nach rechts, dass das rechteste  $c$  im Muster über einem potentiellen  $c$  im Text liegt



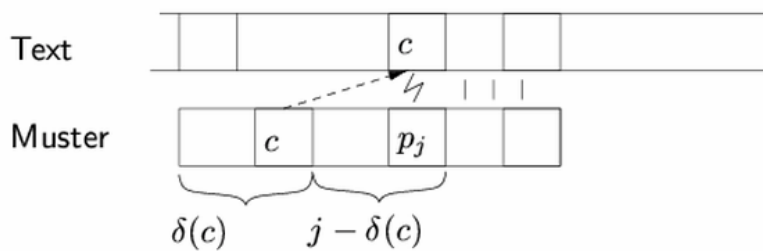
**Fall 2a**  $\delta(c) > j$



Verschiebung des rechten c im Muster auf ein potentielles c im Text

$\Rightarrow$  Verschiebung um  $\Delta(i) = m - \delta(c) + 1$

**Fall 2b**  $\delta(c) < j$



Verschiebung des rechten c im Muster auf c im Text:

Verschiebung um  $\Delta(i) = j - \delta(c)$

## Algorithmus zum Verfahren von Boyer-Moore (1. Version)

**Algorithmus** BM-search1

**Input:** Text  $T$  und Pattern  $P$

**Output:** Verschiebungen für alle Vorkommen von  $P$  in  $T$

1  $n := \text{length}(T); m := \text{length}(P)$

2 berechne  $\delta$

3  $i := 0$

4 **while**  $i \leq n - m$  **do**

5      $j := m$

6     **while**  $j > 0$  **and**  $P[j] = T[i + j]$  **do**

7          $j := j - 1$

**end while;**

8     **if**  $j = 0$

9         **then** gebe Verschiebung  $i$  aus

10          $i := i + 1$

11     **else if**  $\delta(T[i + j]) > j$

12         **then**  $i := i + m + 1 - \delta(T[i + j])$

13     **else**  $i := i + j - \delta(T[i + j])$

**end while;**

Verschiebungen

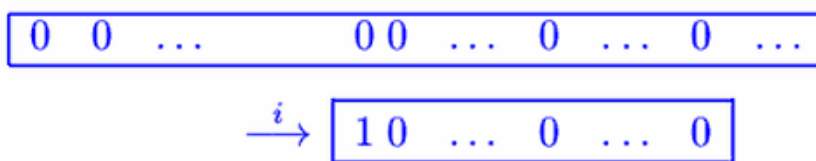
$\delta \geq 0$

## Laufzeitanalyse (1. Version):

⇒ gewünschte Laufzeit:  $c(m+n/m)$

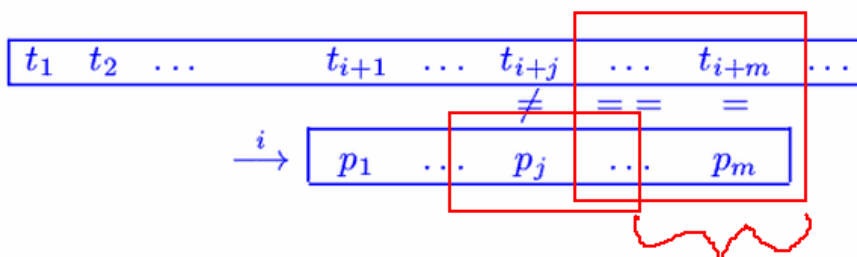
⇒ worst-case Laufzeit:  $\Omega(n m)$

Es gibt folgende schlechte Eingabefolge die den worst-case erzeugt:



## Match-Heuristik

Nutze die bis zum Auftreten eines Mismatches  $p_j \neq t_{i+j}$  gesammelte Information



$wrw[j]$  = Position, an der das von rechts her nächste Vorkommen des Suffixes  $P_{j+1\dots m}$  endet, dem nicht das Zeichen  $P_j$  vorangeht.

Mögliche Verschiebung:  $\gamma[j] = m - wrw[j]$

### Beispiel für die wrw-Berechnung

$wrw[j]$  = Position, an der das von rechts her nächste Vorkommen des Suffix  $P_{j+1\dots m}$  endet, dem nicht das Zeichen  $P_j$  vorangeht.

| Muster: banana |                |              |                    |      |
|----------------|----------------|--------------|--------------------|------|
| $wrw[j]$       | betracht. Suf. | verb. Zeich. | weit. Auft.        | Pos. |
| $wrw[5]$       | a              | n            | <u>ban</u> ana     | 2    |
| $wrw[4]$       | na             | a            | *** <u>ban</u> ana | 0    |
| $wrw[3]$       | ana            | n            | <u>ban</u> ana     | 4    |
| $wrw[2]$       | nana           | a            | <u>ban</u> ana     | 0    |
| $wrw[1]$       | anana          | b            | <u>ban</u> ana     | 0    |
| $wrw[0]$       | banana         | $\epsilon$   | <u>ban</u> ana     | 0    |

$\Rightarrow wrw(\text{banana}) = [0, 0, 0, 4, 0, 2]$

```

a b a a b a b a n a n a n a n a
 ≠ = = =
 b a n a n a
 b a n a n a

```

## Algorithmus zum Verfahren von Boyer-Moore (2. Version)

### Algorithmus BM-search2

**Input:** Text  $T$  und Pattern  $P$

**Output:** Verschiebungen für alle Vorkommen von  $P$  in  $T$

```
1 $n := \text{length}(T); m := \text{length}(P)$
2 berechne δ und γ
3 $i := 0$
4 while $i \leq n - m$ do
5 $j := m$
6 while $j > 0$ and $P[j] = T[i + j]$ do
7 $j := j - 1$
8 end while;
9 if $j = 0$
10 then gebe Verschiebung i aus
11 $i := i + \gamma[0]$
12 else $i := i + \max(\gamma[j], j - \delta[T[i + j]])$
13 end while;
```

# Vorlesung 19 – Suche in Texten - „Suffix Bäume“

Suchindex

Zu einem Text  $\sigma$  für Suche nach verschiedenen Mustern  $\alpha$

Eigenschaften:

1. **Teilwortsuche** in Zeit  $O(|\alpha|)$
2. **Anfragen an  $\sigma$  selbst**, z.B.:
  - a. Längstes Teilwort von  $\sigma$ , das an mind. 2 Stellen auftritt
3. **Präfix-Suche**: Alle Stellen in  $\sigma$  mit Präfix  $\alpha$
4. **Bereichs-Suche**: alle Stellen in  $\sigma$  im Intervall  $[\alpha, \beta]$  mit  $\alpha \leq_{\text{lex}} \beta$ , z.B.
  - a. abrakadabra, acacia  $\in$  [abc,acc],
  - b. abacus  $\notin$  [abc, acc]
5. **Lineare Komplexität**: Speicherplatzbedarf und Konstruktionszeit  $\in O(|\sigma|)$

## Tries

Trie: Baum zur Repräsentation von Schlüssel.

Alphabet  $\Sigma$ , Menge  $S$  von Schlüssel,  $S \subset \Sigma^*$

**Schlüssel** entspricht Zeichenkette aus  $\Sigma^*$

**Kante** eines Tries  $T$ : Beschriftung mit einzelnen Zeichen aus  $\Sigma$

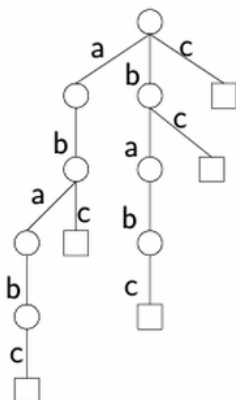
**Benachbarte Kanten**: verschiedene Zeichen

**Blatt** repräsentiert Schlüssel:

Entspricht Beschriftungen der Kanten des Weges von der Wurzel zu Blatt

**! Schlüssel werden nicht in Knoten gespeichert !**

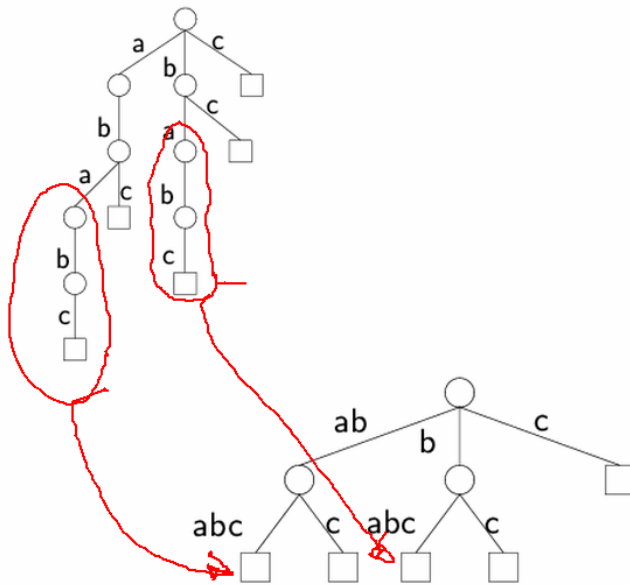
Beispiel:



## Suffix-Tries

Trie für alle Suffixe eines Wortes



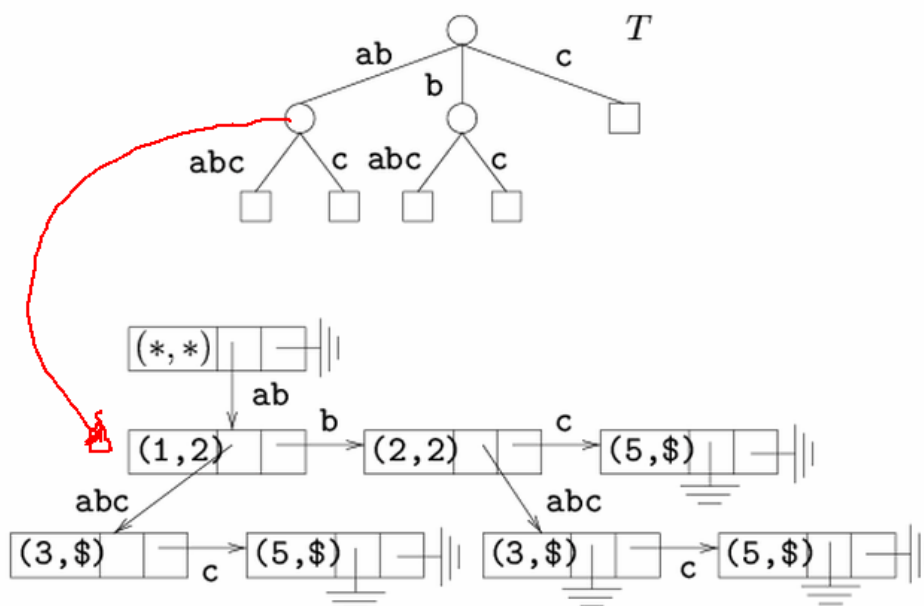


Suffix-Baum = kontraktierter Suffix-Trie

### Interne Repräsentation von Suffix-Bäumen Sohn/Bruder-Repräsentation

Teilworte: Zahlenpaare (i,j)

Beispiel:  $\sigma = ababc$



Knoten  $v = (v.u, v.o, v.sn, v.br)$

Weitere Zeiger (Suffix-Zeiger) kommen später hinzu.

## Eigenschaften von Suffix-Bäumen

(S1) Kein Suffix ist Präfix eines anderen Suffixes;  
gilt, falls (letztes Zeichen von  $\sigma$ ) =  $\$ \notin \Sigma$

### Suche:

(T1) Kante  $\hat{=}$  nichtleeres Teilwort von  $\sigma$ .  
(T2) Benachbarte Kanten: zugeordnete Teilworte  
beginnen mit verschiedenen Zeichen.

### Größe

(T3) Innerer Knoten ( $\neq$  Wurzel): mind. zwei Söhne.  
(T4) Blatt:  $\hat{=}$  (nicht-leeres) Suffix von  $\sigma$ .

Sei  $n = |\sigma| \neq 1$

$\xrightarrow{(T4)}$  Anzahl der Blätter:  $n$

$\xrightarrow{(T3)}$  Anzahl der inneren Knoten:  $\leq n - 1$

$\Rightarrow$  Speicherplatzbedarf:  $O(n) = O(|\sigma|)$

## Konstruktion von Suffix-Bäumen

Definitionen:

**Partieller Weg:** Weg von der Wurzel zu einem Knoten von T

**Weg:** Ein partieller Weg, der bei einem Blatt endet.

**Ort** einer Zeichenkette  $\alpha$ : Knoten am Ende des mit  $\alpha$  beschrifteten partiellen Weges (falls er existiert).

**Erweiterung** einer Zeichenkette  $\alpha$ : Zeichenkette mit Präfix  $\alpha$

**Erweiterter Ort** einer Zeichenkette  $\alpha$ : Ort der kürzesten Erweiterung von  $\alpha$ , deren Ort definiert ist.

**Kontraktierter Ort** einer Zeichenkette  $\alpha$ : Ort des längsten Präfixes von  $\alpha$ , dessen Ort definiert ist.

Definitionen:

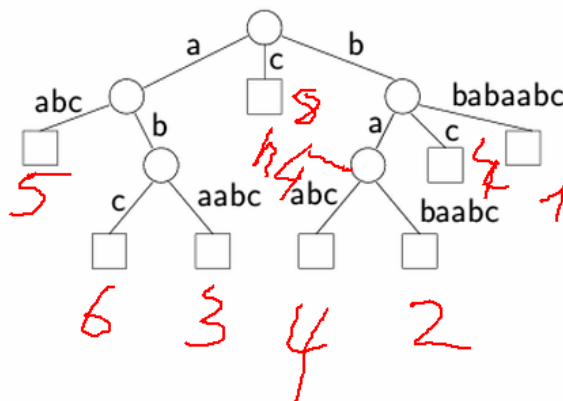
$suf_i$ : an Position  $i$  beginnendes Suffix von  $\sigma$ , also z.B.

$suf_1 = \sigma$ ,  $suf_n = \$$ .

$head_i$ : längstes Präfix von  $suf_i$ , das auch Präfix von  $suf_j$  für ein  $j < i$  ist.

Beispiel:

$\sigma = \text{bbabaabc}$        $\alpha = \text{baa}$  (hat keinen Ort)  
 $suf_4 = \text{baabc}$   
 $head_4 = \text{ba}$



## Naive Suffix-Baum-Konstruktion

Beginne mit dem leeren Baum  $T_0$

Der Baum  $T_{i+1}$  entsteht aus  $T_i$  durch Einfügen des Suffixes  $suf_{i+1}$ .

### Algorithmus Suffix-Baum

**Input:** Eine Zeichenkette  $\sigma$

**Output:** Der Suffix-Baum  $T$  von  $\sigma$

- 1  $n := |\sigma|$ ;  $T_0 := \emptyset$ ;
- 2 **for**  $i := 0$  **to**  $n - 1$  **do**
- 3     füge  $suf_{i+1}$  in  $T_i$  ein, dies sei  $T_{i+1}$ ;
- 4 **end for**

In  $T_i$  haben alle Suffixe  $suf_j$ ,  $j < i$  bereits einen Ort.

$\Rightarrow head_i =$  längstes Präfix von  $suf_i$ , dessen erweiterter Ort in  $T_{i-1}$  existiert.

Definition:

$Tail_i := suf_i - head_i$ , d.h. also  $suf_i = head_i tail_i$ .

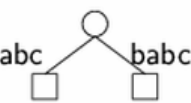
$\xrightarrow{(S1)} tail_i \neq \varepsilon$ .

Beispiel:  $\sigma = ababc$

$suf_3 = abc$   
 $head_3 = ab$   
 $tail_3 = c$

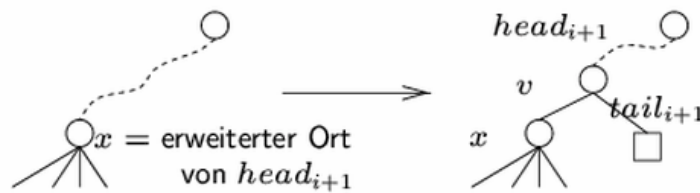
$T_0 =$  

$T_1 =$  

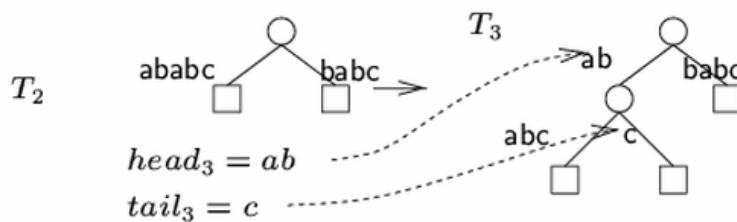
$T_2 =$  

$T_{i+1}$  kann aus  $T_i$  wie folgt konstruiert werden:

1. Man bestimme den erweiterten Ort von  $head_{i+1}$  in  $T_i$  und teile die letzte zu diesem Ort führende Kante in zwei neue Kanten auf durch Einfügen eines neuen Knotens.
2. Man schaffe ein neues Blatt als Ort für  $suf_{i+1}$ .



Beispiel:  $\sigma = ababc$



## Algorithmus Suffix-Einfügen

**Input:** Der Baum  $T_i$  und der Suffix  $suf_{i+1}$

**Output:** Der Baum  $T_{i+1}$

```
1 $v :=$ Wurzel von T_i
2 $j := i$
3 repeat
4 finde Sohn w von v mit $\sigma_{w.u} = \sigma_{j+1}$
5 $k := w.u - 1$;
6 while $k < w.o$ and $\sigma_{k+1} = \sigma_{j+1}$ do
7 $k := k + 1$; $j := j + 1$
 end while
8 if $k = w.o$ then $v := w$
9 until $k < w.o$ or $w = \text{nil}$;
10 /* v ist kontraktierter Ort von $head_{i+1}$ */
11 füge den Ort von $head_{i+1}$ und $tail_{i+1}$ in T_i unter v ein
```

Laufzeit für Suffix-Einfügen:  $O(n-i)$

Gesamtlaufzeit für naive Suffix-Baum-Konstruktion:  $O(n^2)$

Es gibt Beispiele die  $\Omega(n^2)$  benötigen.

## Der Algorithmus M (McCreight, 1976)

Falls erweiterter Ort von  $head_{i+1}$  in  $T_i$  gefunden: Erzeugen eines neuen Knotens und Aufspalten einer Kante  $\in O(1)$  Zeit.

Ziel: Erweiterten Ort von  $head_{i+1}$  in konstanter amortisierter Zeit in  $T_i$  bestimmen.  
(Zusatzinformation erforderlich!)

**Lemma 1.** Wenn  $head_i = a\gamma$  für ein Symbol  $a$  und eine (eventuell leere) Zeichenkette  $\gamma$  ist, dann ist  $\gamma$  ein Präfix von  $head_{i+1}$ .

**Beweis:** Sei  $head_i = a\gamma$ , dann existiert ein  $j < i$ , so dass  $a\gamma$  Präfix von  $suf_j$  und  $suf_j$  ist nach der Definition von  $head_i$ . Also ist  $\gamma$  ein Präfix sowohl von  $suf_{i+1}$  als auch von  $suf_{j+1}$ .

**Suffix-Zeiger:**

Von jedem inneren Knoten, der der Ort eines Wortes  $a\gamma$  ist, gibt es einen Zeiger auf den Ort des Wortes  $\gamma$ .

**Bemerkung 1.** Der Ort von  $\gamma$  liegt niemals im Teilbaum  $T$  mit Wurzel beim Ort von  $a\gamma$ , da  $T$  nur Erweiterungen von  $a\gamma$  enthält.



## Die Invarianten des Algorithmus M

Nach Konstruktion von  $T_i$  gilt:

(Inv1) Alle inneren Knoten von  $T_{i-1}$  haben einen korrekten Suffix-Zeiger in  $T_i$

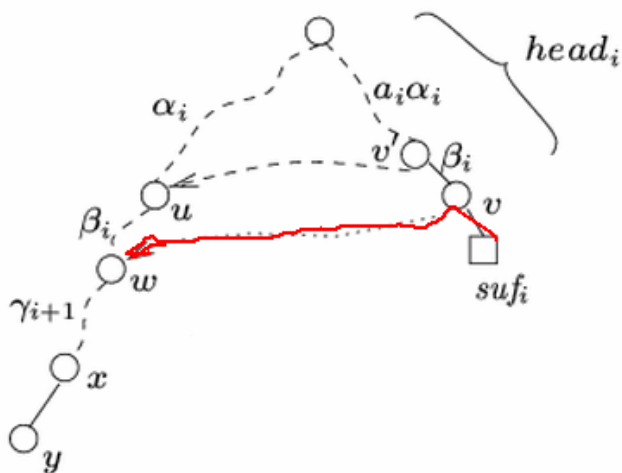
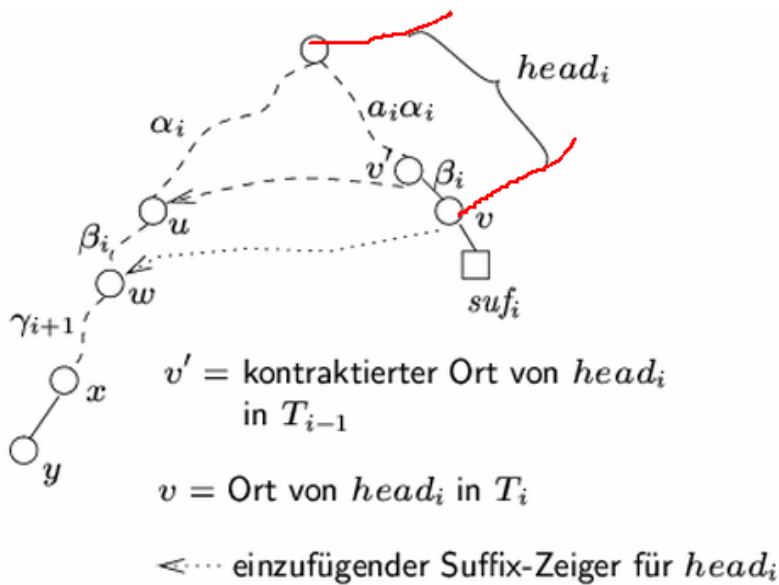
(Inv2) Bei der Konstruktion von  $T_i$  wird der kontrahierte Ort von  $head_i$  in  $T_{i-1}$  besucht.



$i=1$ :

$i > 1$ : Konstruktion von  $T_{i+1}$  aus  $T_i$  kann beim kontrahierten Ort von  $head_i$  in  $T_{i-1}$  starten

Definition: Ist  $head_i \neq \varepsilon$ , so sei  $\alpha_i$  die Konkatenation der Kantenbeschriftungen des Weges zum kontrahierten Ort von  $head_i$  ohne den ersten Buchstaben  $a_i$ . Es sei  $\beta_i = head_i - a_i\alpha_i$ , d.h.  $head_i = a_i\alpha_i\beta_i$ . Für  $head_i \neq \varepsilon$ , gilt in  $T_i$ :



Wegen Lemma 1 ist

$$head_{i+1} = \alpha_i\beta_i\gamma_{i+1}$$

(Inv2)  $\Rightarrow$  Konstruktion von  $T_{i+1}$  kann beim kontrahierten Ort  $v'$  von  $head_i$  in  $T_{i-1}$  beginnen.

(Inv1)  $\Rightarrow$  von  $v'$  gibt es bereits einen korrekten Suffix-Zeiger in  $T_i$  zu einem Knoten  $u$ .

Folge  $v'$ .suffix-zeiger zu  $u$  im Gegensatz zum naiven Verfahren, das bei der Wurzel beginnt.

### Der Algorithmus M als Code

#### Schritt 1: Einfügen des Ortes von $head_{i+1}$

- 1  $v' =$  kontraktierter Ort von  $head_i$  in  $T_{i-1}$   
 $u = v'.suffix\text{-zeiger}$
- 2 **if**  $\beta_i \neq \varepsilon$   
  **then** rescan  $\beta_i$  in  $T_i$  beginnend bei  $u$
- 3 **if** Ort  $w$  von  $\alpha_i\beta_i$  in  $T_i$  existiert  
  **then** Scan  $\gamma_{i+1}$  ausgehend von  $w$   
     $(x, y) =$  letzte Kante  
  **else** /\*  $head_{i+1} = \alpha_i\beta_i$  (s.u.) \*/  
     $x =$  kontraktierter Ort von  $\alpha_i\beta_i$   
     $y =$  erweiterter Ort von  $\alpha_i\beta_i$
- 4 Schaffe bei  $(x, y)$  einen inneren Knoten  $z$  für den Ort von  $head_{i+1}$  und ein Blatt für den Ort von  $suf_{i+1}$

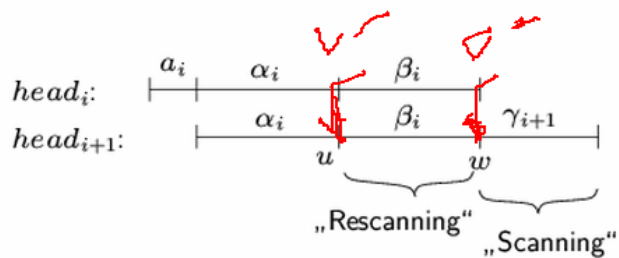
rescan  $\beta_i$  in  $T_i$ : Folge einem Weg in  $T_i$  ausgehend von  $u$ , dessen Kantenbeschriftungen  $\beta_i$  ergeben.

Scan  $\gamma_{i+1}$  ausgehend von  $\omega$ : Folge einem Weg in  $T_i$  von  $\omega$  aus, dessen Kantenbeschriftungen mit  $suf_{i+1}$  übereinstimmen, bis man aus dem Baum bei der Kante  $(x,y)$  herausfällt.

**Schritt 2:** Einfügen des Suffix-Zeigers für den Ort  $v$  von  $head_i$

- 1  $u = v'.suffix\text{-zeiger}$
- 2 **if**  $\beta_i \neq \varepsilon$   
    **then** rescann  $\beta_i$  in  $T_i$  bis zum Ort  $w$  von  $\alpha_i\beta_i$   
    **else**  $w = u$
- 3  $v = \text{Ort von } head_i$   
     $v.suffix\text{-zeiger} = w$

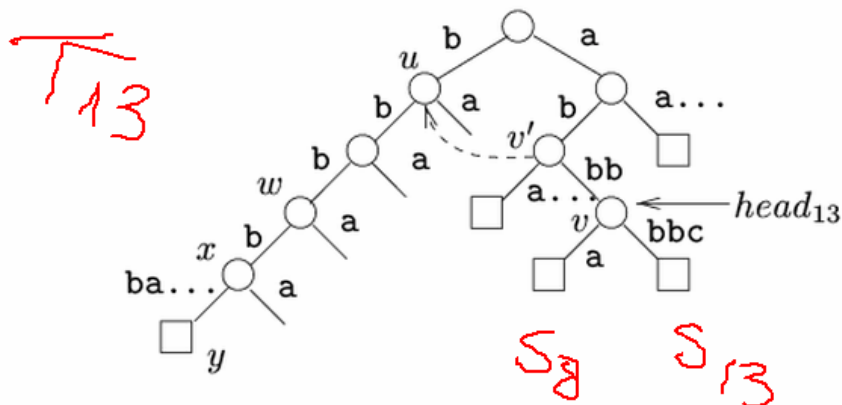
Implementation: Verflechtung von Schritt 1 und 2



Lemma 2: Falls der Ort von  $\alpha_i\beta_i$  in  $T_i$  nicht existiert, dann ist  $head_{i+1} = \alpha_i\beta_i$  d.h.  $\gamma_{i+1} = \varepsilon$   
 $\Rightarrow$  OHNE BEWEIS !

### Beispiel für das Suffix-Einfügen

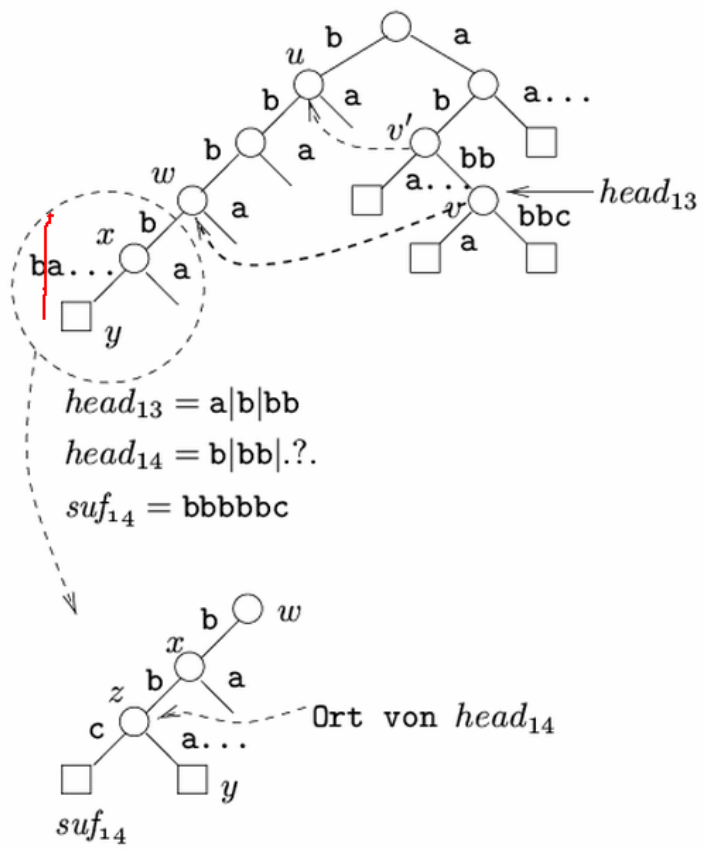
Beispiel:  $\sigma = b^5abab^3a^2b^5c$ . Konstruktion von  $T_{14}$  aus  $T_{13}$  durch Einfügen von  $suf_{14} = bbbbbc$  in  $T_{13}$ .



$$suf_{13} = a|b|bb|bbc$$

$$suf_{14} = b|bb|bbc$$

finde  $w$  durch rescannen von  $bb$



## Analyse des Rescannens

$\alpha_i \beta_i$  ist Präfix von  $head_{i+1}$ : an einer Kante muß nur festgestellt werden, um wieviele Zeichen in  $\beta_i$  vorgerückt werden muss  $\Rightarrow$  konstante Zeit pro besuchte Kante  $\Rightarrow$   
 $\#(\text{Schritte beim Rescannen}) = O(\#(\text{besuchte Kanten}))$

Sei

$$res_{i+1} := suf_{i+1} - \alpha_i = \beta_i \gamma_{i+1} tail_{i+1}.$$

( $res_{i+1} \hat{=}$  Zeichen, die ab Schritt  $i + 1$  überhaupt noch rescannt werden können).

Bei jeder Kante  $e$ , um die während des Rescannens von  $\beta_i$  vorgerückt wird, wird  $\alpha_{i+1}$  um die Beschriftung  $\delta_e$  der Kante  $e$  länger, d.h.  $\delta_e$  ist in  $res_{i+1}$ , aber nicht in  $res_{i+2}$ .

( $\beta_{i+1}$  ist der Teil von  $head_{i+1}$  zwischen dem kontraktierten und dem erweiterten Ort von  $head_{i+1}$ )

$$|\delta_e| \geq 1 \Rightarrow |res_{i+2}| \leq |res_{i+1}| - k_{i+1}$$

mit  $k_i = \#(\text{rescannte Kanten in Schritt } i)$ . Somit

$$\sum_{i=1}^n k_i \leq \sum_{i=1}^n (|res_i| - |res_{i+1}|) = |res_1| - |res_{n+1}| \leq n$$

$\Rightarrow \#(\text{rescannte Kanten}) \leq n$ .

## Analyse des Scannens

$\#(\text{gescannte Zeichen in Schritt } i + 1) = |\gamma_{i+1}|$ , mit

$$\begin{aligned} |\gamma_{i+1}| &= |head_{i+1}| - |\alpha_i \beta_i| \\ &= |head_{i+1}| - (|head_i| - 1). \end{aligned}$$

wegen  $head_i = a_i \alpha_i \beta_i$ .

Also ist  $\#(\text{gescannte Zeichen}) =$

$$\begin{aligned} \sum_{i=1}^n |\gamma_i| &= \sum_{i=1}^n (|head_i| - |head_{i-1}| + 1) \\ &= n + |head_n| - |head_0| = n. \end{aligned}$$



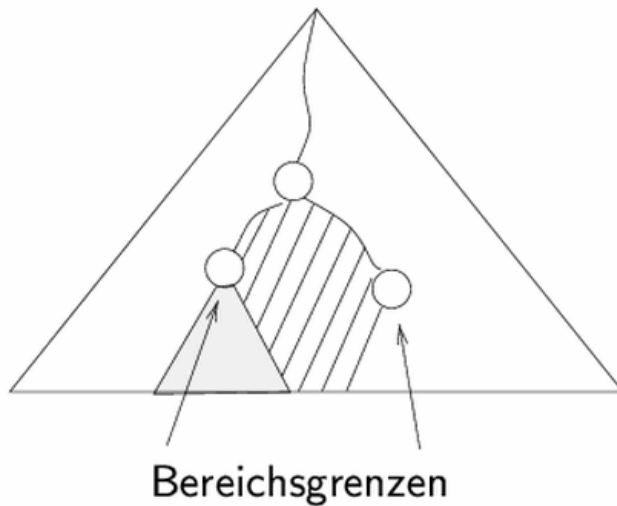
## Analyse des Algorithmus M

Theorem 1: Algorithmus M liefert in Zeit  $O(|\sigma|)$  einen Suffix-Baum für  $\sigma$  mit  $|\sigma|$  Blättern in höchstens  $|\sigma|-1$  inneren Knoten.

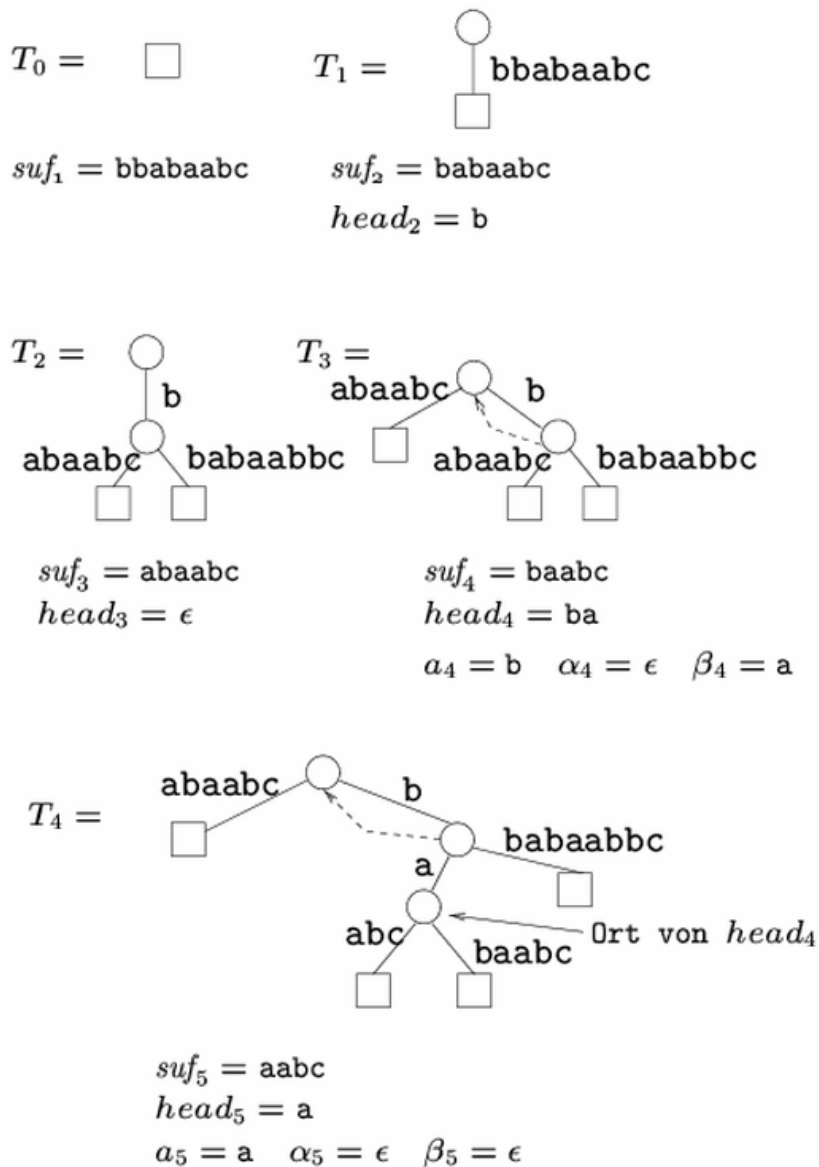
## Suffix Baum Anwendung

Verwendung von Suffix-Baum T:

1. Suche nach Zeichenkette  $\alpha$ : Folge dem Weg mit Kantenbeschriftung  $\alpha$  in T in Zeit  $O(|\alpha|)$ .  $\rightarrow$  Blätter des Teilbaumes entsprechen Vorkommen von  $\alpha$
2. Suche längstes, Doppelt auftretendes Wort: Finde Ort eines Wortes mit größter gewichteter Tiefe, der innerer Knoten ist.
3. Suche nach Präfix: Alle Vorkommen von Zeichenketten mit Präfix  $\alpha$  finden sich in dem Teilbaum unterhalb des „Ortes“ von  $\alpha$  in T.
4. Bereichssuche nach  $[\alpha, \beta]$ :



## Suffix-Baum-Beispiel



## Eigenschaften von Suffix-Bäumen

Suffix-Bäume sind ein Suchindex für einen Text  $\sigma \in \Sigma^n$  für eine Suche nach einem Muster  $\alpha \in \Sigma^p$

### Eigenschaften:

Teilwortsuche, Anfragen an  $\sigma$  selbst, Präfix-Suche, Bereichs-Suche, Kostengünstige Konstruktion.

### Kosten:

1. Konstruktion in  $O(n \log |\Sigma|)$  Zeit und  $O(n)$  Platz, Suche in  $O(p \log |\Sigma|)$  Zeit
2. Konstruktion in  $O(n)$  Zeit und  $O(n|\Sigma|)$  Platz, Suche in  $O(p)$  Zeit

### Nachteile:

- Komplexe Datenstruktur => viele Bytes/Zeichen

- Komplexe Algorithmen

## Vorlesung 20 – Suche in Texten - „Suffix Arrays“

### Suffix-Array:

- Eine sortierte Liste aller Suffixe eines Textes,
- Plus Zusatzinformationen über längste gemeinsame Prefixe (lcp = longest common prefixes) zur Beschleunigung der Suche.

### Eigenschaften:

- Teilwortsuche in  $O(p + \log n)$  Zeit, genauer:  $\leq p + \lceil \log_2(n-1) \rceil$  Vergleiche zwischen Zeichen
- Zusätzlicher Speicherbedarf:  $2n$  Ganzzahlen (Integers)
- Konstruktionszeit:  $O(n \log n)$  (worst case) bzw.  $O(n)$  (average case)

### Definitionen: Sei

$$\begin{aligned}
 A &= a_0 a_1 \dots a_{n-1} \in \Sigma^n && \text{Text} \\
 A_i &= a_i \dots a_{n-1} \in \Sigma^{n-i} && i\text{-tes Suffix } (i \leq n-1) \\
 A_{i,j} &= a_{\max(0,i)} \dots a_{\min(j,n-1)} && \text{Teilwort} \\
 pos &= [i_0, \dots, i_{n-1}] \text{ mit } pos[k] \in \{0, \dots, n-1\} \text{ und} \\
 A_{pos[k]} &= \text{das } k\text{-kleinste Suffix von } A
 \end{aligned}$$

$$\text{Dann gilt: } A_{pos[0]} < A_{pos[1]} < \dots < A_{pos[n-1]}$$

### Weiter sei:

$$A <_p B \iff A_{0,p-1} < B_{0,p-1}$$

$$\text{analog: } =_p, \leq_p, >_p, \geq_p, \neq_p$$

Fakt:  $pos$  ist auch bzgl.  $\leq_p$  sortiert:

$$A_{pos[0]} \leq_p A_{pos[1]} \leq_p \dots \leq_p A_{pos[n-1]}$$

Alle Prefixe zu einem gesuchten Anfang  $W$  mit Länge  $p$  liegen im  $pos$ -Array hintereinander.

## Beispiel zum Suffix-Array

|     |   |   |   |   |   |   |   |   |   |   |    |    |    |    |    |    |    |
|-----|---|---|---|---|---|---|---|---|---|---|----|----|----|----|----|----|----|
| $i$ | 0 | 1 | 2 | 3 | 4 | 5 | 6 | 7 | 8 | 9 | 10 | 11 | 12 | 13 | 14 | 15 | 16 |
| $A$ | a | b | a | a | b | a | b | a | a | b | c  | a  | b  | b  | d  | \$ |    |

| $k$ | $pos[k]$ | $A_{pos[k]}$                       |
|-----|----------|------------------------------------|
| 0   | 7        | a a a b c a b b d \$               |
| 1   | 2        | a a b a b a a a b c a b b d \$     |
| 2   | 8        | a a b c a b b d \$                 |
| 3   | 5        | a b a a a b c a b b d \$           |
| 4   | 0        | a b a a b a b a a a b c a b b d \$ |
| 5   | 3        | a b a b a a a b c a b b d \$       |
| 6   | 12       | a b b d \$                         |
| 7   | 9        | a b c a b b d \$                   |
| 8   | 6        | b a a a b c a b b d \$             |
| 9   | 1        | b a a b a b a a a b c a b b d \$   |
| 10  | 4        | b a b a a a b c a b b d \$         |
| 11  | 13       | b b d \$                           |
| 12  | 10       | b c a b b d \$                     |
| 13  | 14       | b d \$                             |
| 14  | 11       | c a b b d \$                       |
| 15  | 15       | d \$                               |
| 16  | 16       | \$                                 |

Suchwort:  $W = aba$

## Prefix-Suche im Suffix-Array

Alle Prefixe zu einem gesuchten Anfang  $W$  mit Länge  $p$  liegen im pos-Array hintereinander.

Suche die untere Grenze  $L_W$  für das Vorkommen von Prefix  $W$  mit  $|W| = p$  im pos-Array:

$$L_W := \min\{k \mid W \leq_p A_{pos[k]} \vee k = n\}$$

Binäre Suche nach  $L_W$  im pos-Array:

Zeitbedarf:  $O(p \log n)$  da immer  $p$  Buchstaben in jedem Schritt der binären Suche verglichen werden müssen.

Es geht noch besser, und zwar in  $O(p + \log n)$  was wir im folgenden noch besprechen werden.

## Algorithmus $L_W$ -Search

**Input:** Wort  $W = w_0 \dots w_{p-1}$  mit  $p \leq n$   
**Output:**  $L_W = \min\{k \mid W \leq_p A_{pos[k]} \vee k = n\}$

```
1 $p := \text{length}(W)$
2 if $W \leq_p A_{pos[0]}$ then $L_W := 0$
3 else if $W >_p A_{pos[n-1]}$
4 then $L_W := n$
5 else $(L, R) := (0, n - 1)$
6 while $L - R > 1$ do
7 $M := (L + R)/2$
8 if $W \leq_p A_{pos[M]}$ then $R := M$
9 else $L := M$
11 end while
12 $L_W := R$
14 return L_W
```

### 1. Verbesserung von $L_W$ -Search

#### Idee:

Spare Vergleiche zwischen Zeichen, deren Ergebnis bekannt ist.

Für  $v, w \in \Sigma^*$  sei:

$$lcp(v, w) := \max\{p \mid v =_p w\}$$

$lcp(v, w)$ : Länge des längsten gemeinsamen Prefixes von  $v, w$

In  $L_W$ -search sei

$$\begin{aligned} \ell &= lcp(A_{pos[L]}, W) & \text{zuerst: } \ell &= lcp(A_{pos[0]}, W) \\ r &= lcp(A_{pos[R]}, W) & \text{zuerst: } r &= lcp(A_{pos[n-1]}, W) \\ h &= \min\{\ell, r\} \end{aligned}$$

Zeile 2  
Zeile 3

$$\text{Dann gilt: } A_{pos[L]} =_h W =_h A_{pos[R]}$$

$\Rightarrow$  Die  $h$  ersten Zeichen brauchen nicht mehr verglichen zu werden.

Das worst case-Verhalten wird nicht geändert.

### 2. Verbesserung von $L_W$ -Search

#### Idee:

Berechne und nutze Zusatzinformationen über

$$lcp(A_{pos[M]}, A_{pos[L]}) : Llcp$$

$$lcp(A_{pos[M]}, A_{pos[R]}) : Rlcp$$

} statische Arrays

| $k = M$ | $L$ | $Llcp$ | $pos[k]$ | $A_{pos[k]}$      |
|---------|-----|--------|----------|-------------------|
| 0       |     |        | 7        | aaabcaabd\$       |
| 1       | 0   | 2      | 2        | aaabaaabcaabd\$   |
| 2       | 0   | 2      | 8        | aaabcaabd\$       |
| 3       | 2   | 1      | 5        | abaaabcaabd\$     |
| 4       | 0   | 1      | 0        | abaaabaaabcaabd\$ |
| 5       | 4   | 3      | 3        | ababaaabcaabd\$   |
| 6       | 4   | 2      | 12       | abd\$             |
| 7       | 6   | 2      | 9        | abcaabd\$         |
| 8       | 0   | 0      | 6        | baaabcaabd\$      |
| 9       | 8   | 3      | 1        | baabaaabcaabd\$   |
| 10      | 8   | 2      | 4        | babaaabcaabd\$    |
| 11      | 10  | 1      | 13       | abd\$             |
| 12      | 8   | 1      | 10       | bcaabd\$          |
| 13      | 12  | 1      | 14       | bd\$              |
| 14      | 12  | 0      | 11       | caabd\$           |
| 15      | 14  | 0      | 15       | d\$               |
| 16      |     |        | 16       | \$                |

Berechne Llcp und Rlcp bei der Sortierung des pos-Arrays.

### Nutzen von Llcp und Rlcp in $L_W$ -Search

Sei

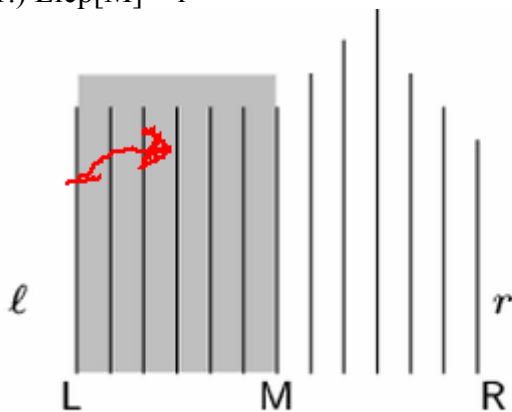
$$H = \max\{l, r\}$$

$\Delta H$  = Differenz zwischen H am Anfang und Ende einer Iteration

Im Folgenden sei o.B.d.A.:  $r \leq l = H$ : Llcp wird benutzt.

Unterscheide 3 Fälle:

1.)  $Llcp[M] > l$

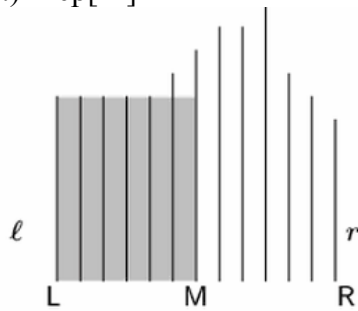


$$A_{pos[M]} =_{\ell+1} A_{pos[L]} \neq_{\ell+1} W$$

$L_W$  gehört in rechte Hälfte,  $l$  nicht geändert

In diesem Fall sind somit keine Zeichenvergleiche nötig.

2.)  $Llcp[M] = 1$



$$A_{pos[M]} =_{\ell} W$$

Vergleiche Zeichen  $\ell + 1 \dots \ell + j$  bis

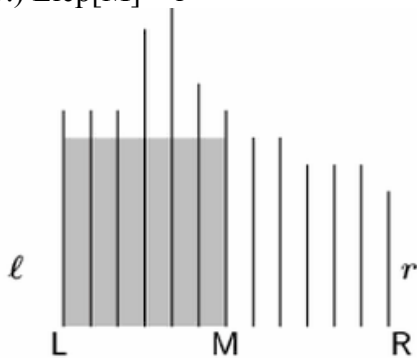
$$A_{pos[M]} \neq_{\ell+j} W.$$

$L_W$  liegt links oder rechts, setze entsprechend

$$r = \ell + j - 1 \text{ bzw. } \ell = \ell + j - 1.$$

# Zeichenvergleiche:  $\Delta H + 1$

3.)  $Llcp[M] < 1$



$$W =_{\ell} A_{pos[L]} \text{ und}$$

$$W =_{\ell'} A_{pos[M]} \text{ mit } \ell' < \ell$$

$L_W$  gehört in linke Hälfte,  $r := Llcp[M]$

⇒ Durch Nutzung von  $Llcp$  und  $Rlcp$  werden pro Iteration  $\Delta H + 1$  Vergleiche benötigt.

Mit  $\Sigma \Delta H \leq p$  folgt:

**Satz:**

Die Anzahl der Symbolvergleiche beträgt höchstens  $p + \lceil \log_2(n-1) \rceil$ .

# Vorlesung 21 – Textcodierungen

## Kompressionsverfahren für Texte

### Ziel:

Finde umkehrbare Codierung, so, dass der Text wieder (verlustfrei) rekonstruiert werden kann

### Beispiele:

- ⇒ Huffman-Code
- ⇒ Lauflängen Codierung
- ⇒ Arithmetische Codierung
- ⇒ Lempel-Ziv Codierung

Gegensatz sind die verlustbehafteten Kompressionen, z.B. für Bilder, Audio oder Video

- ⇒ JPeg
- ⇒ MPeg
- ⇒ MP3

## Arithmetische Codierung

Ziel bei der verlustfreien Kompression ist es, die Anzahl der Bits der codierten Nachricht umkehrt proportional zur Wahrscheinlichkeit des Auftretens von Zeichenketten zu codieren.

d.h.:

- ⇒ Wahrscheinlichkeit für Zeichenkette groß → Anzahl der Bits soll klein sein
- ⇒ Wahrscheinlichkeit für Zeichenkette klein → Anzahl der Bits groß

Eine Zeichenkette kann auch ein einzelnes Zeichen sein.

Beispiel Huffman-Code:

| Symbol | p(Symbol) | Code |
|--------|-----------|------|
| A      | 0.01      | 1    |
| B      | 0.99      | 0    |

AAAA → 1111

BBBB → 0000

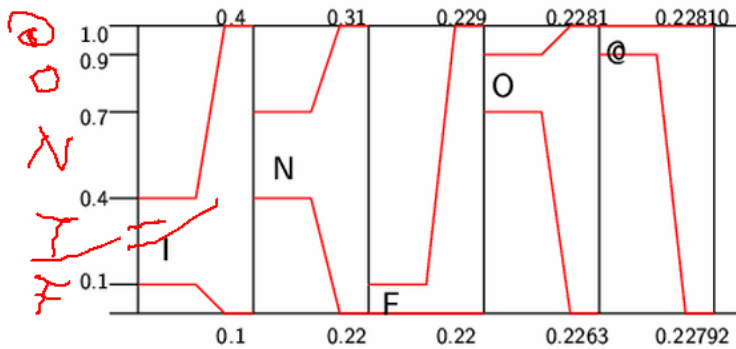
### Idee:

Stelle Symbole und Symbolfolgen als Intervall  $[l,r)$  bzw. als Element daraus dar.

### Beispiel:

| Symbol | p(Symbol) | Intervall  |
|--------|-----------|------------|
| F      | 0.1       | [0.0, 0.1) |
| I      | 0.3       | [0.1, 0.4) |
| N      | 0.3       | [0.4, 0.7) |
| O      | 0.2       | [0.7, 0.9) |
| @      | 0.1       | [0.9, 1.0) |

} [0, 1)



$$[x, y) \xrightarrow{[u, o)} [x + (y - x)u, x + (y - x)o)$$

Gestartet wird mit dem Intervall: [0,1)

### Decodierung durch Umkehrung:

$$[v, w) \xrightarrow{[u, o)} [(v - u)/(o - u), (w - u)/(o - u))$$

Beispiel:

$$\begin{aligned}
 [0.1, 0.4): I &\xrightarrow{[0.22792, 0.2281)} [0.4264, 0.427) \\
 [0.4, 0.7): N &\xrightarrow{[0.22792, 0.2281)} [0.088, 0.09) \\
 [0.0, 0.1): F &\xrightarrow{[0.22792, 0.2281)} [0.88, 0.9) \\
 [0.7, 0.9): O &\xrightarrow{[0.22792, 0.2281)} [0.9, 1.0) \\
 [0.9, 1.0): @ &\xrightarrow{[0.22792, 0.2281)} [0.0, 1.0)
 \end{aligned}$$

Es reicht natürlich ein wert aus dem Intervall, z.B. der untere.

Die Gesamtnachricht wird zur Codierung in Teilzeichenfolgen zerlegt, die durch Stoppzeichen beendet werden.

Nachteil:

- ⇒ Statisches Verfahren, passt sich nicht wechselnden Wahrscheinlichkeiten an.
- ⇒ Aufwendige Berechnungen

# Lempel-Ziv Codierung

## Einfaches verlustfreies Kompressionsverfahren

Ersetze häufig auftretendes Muster durch kurzes Codewort, verwende Wörterbuch für die Codeworte

|                    |      |   |   |            |
|--------------------|------|---|---|------------|
| abracadabracadabra | abra | 1 | } | Wörterbuch |
| 1 2 1 2 1          | cad  | 2 |   |            |

Wörterbuchbasiertes Kompressionsverfahren:

- ⇒ Statisch: Wörterbuch wird vor Codierung festgelegt und bleibt unverändert
- ⇒ Dynamisch: Wörterbuch passt sich dem zu komprimierenden Text dynamisch an.

Lempel-Ziv: zip, Tiff  
 Lempel-Ziv-Welsh: Compress in Unix

Lempel-Ziv Idee: Baue das Wörterbuch simultan mit der Kodierung des Textes auf; anfangs seien für jeden Buchstaben des Alphabets Codenummern im Wörterbuch.

Kodierung von: ~~abababababab...~~  $\Sigma = \{a, b, c\}$

| Wörterbuch<br>Eintrag | # | Ausgabe |
|-----------------------|---|---------|
| a                     | 1 | 1       |
| b                     | 2 | 2       |
| c                     | 3 | 3       |
| ab                    | 4 | 4       |
| ba                    | 5 | 3       |
| abc                   | 6 | 5       |
| cb                    | 7 | 8       |
| bab                   | 8 | 8       |
| :                     | : | :       |

Decodierung von: ~~1 2 4 3 5 8~~

| Wörterbuch<br>Eintrag | # | Ausgabe |
|-----------------------|---|---------|
| a                     | 1 | a       |
| b                     | 2 | b       |
| c                     | 3 | ab      |
| ab                    | 4 | ab      |
| ba                    | 5 | c       |
| abc                   | 6 | :       |
| :                     | : | :       |

## Implementierung des Algorithmus „Lempel-Ziv“

**Input:** Ein Text  $T$ ;

**Output:** Die Lempel-Ziv Kodierung von  $T$

```

1 initialisiere Wörterbuch D
2 bestimme aktuellen Match m von D in T
3 gebe $\#(m)$ aus
4 $T := T - m$; $m_{last} := m$;
5 while $T \neq \epsilon$ do
6 bestimme aktuellen Match $m = am'$
7 gebe $\#(m)$ aus
8 füge $m_{last}a$ zu D hinzu
9 $T := T - m$; $m_{last} := m$;
 end while;
```

Weiteres Beispiel für Lempel-Ziv Codierung:

$T = \text{COCOA AND BANANAS}$

Wörterbuch  $D$  (anfangs)

| $m$ | $\#(m)$ | $m$ | $\#(m)$ |
|-----|---------|-----|---------|
| A   | 000 001 | O   | 001 111 |
| B   | 000 010 | :   | :       |
| C   | 000 011 | S   | 010 011 |
| D   | 000 100 | :   | :       |
| :   | :       | Z   | 011 010 |
| N   | 001 110 |     | 011 011 |

$T = \text{COCOA AND BANANAS}$

| $m$       | $\#(m)$ | add to $D$  | $T$              |
|-----------|---------|-------------|------------------|
| <u>C</u>  | 000 011 | —           | COCA AND BANANAS |
| O         | 001 111 | CO 011 100  | COA AND BANANAS  |
| <u>CO</u> | 011 100 | OC 011 101  | A AND BANANAS    |
| A         | 000 001 | COA 011 110 | AND BANANAS      |
|           | 011 011 | A 011 111   | AND BANANAS      |
| A         | 000 001 | A 100 000   | ND BANANAS       |
| N         | 001 110 | AN 100 001  | D BANANAS        |
| D         | 000 100 | ND 100 010  | BANANAS          |
|           | 011 011 | D 100 011   | BANANAS          |
| B         | 000 010 | B 100 100   | ANANAS           |
| AN        | 100 001 | BA 100 101  | ANAS             |
| AN        | 100 001 | ANA 100 110 | AS               |
| A         | 000 001 | ANA 100 110 | S                |
| S         | 010 011 | AS 100 111  |                  |

$\#(T) = 000\ 011|001\ 111|011\ 100|000\ 001|011\ 011|\dots$

## Lempel-Ziv-Welsh Eigenschaften

- ⇒ Wörterbuch passt sich dynamisch an die zu komprimierende Zeichenkette an, d.h. es enthält schließlich die am häufigsten vorkommenden Zeichenketten.
- ⇒ Wörterbuch (Code Tabelle) muss nicht übertragen werden. Bekannt sein muss nur die Anfangstabelle, alles weitere wird beim Decodieren dynamisch erzeugt.
- ⇒ Codieren und Decodieren ist in linearer Zeit möglich
- ⇒ Lempel-Ziv führt i.a. zu höheren Kompressionsraten als der Huffman-Code

## Heuristische Optimierungsverfahren

### Vorlesung 22 – Genetische Algorithmen

#### Beispiel: 0/1 Mehrfach-Rucksack-Problem

→ Kombinatorisches Optimierungsproblem (KOP)

Problem Instanz:

|             |       |          |          |       |          |           |                                  |
|-------------|-------|----------|----------|-------|----------|-----------|----------------------------------|
| Rucksäcke   |       | 1        | 2        | ...   | m        |           |                                  |
| Kapazitäten |       | $c_1$    | $c_2$    | ...   | $c_m$    | ;         | $c_j > 0$                        |
| Objekte     |       | 1        | 2        | ...   | n        |           |                                  |
| Nutzen      | $p_1$ | $p_2$    | ...      | $p_n$ | ;        | $p_i > 0$ |                                  |
| Gewichte    |       | $w_{1j}$ | $w_{2j}$ | ...   | $w_{nj}$ | ;         | $w_{ij} \geq 0, 1 \leq j \leq m$ |

Zulässige Lösung:  $x = (x_1, \dots, x_n) \in \{0, 1\}^n$  mit

$$\sum_{i=1}^n w_{ij} x_i \leq c_j \quad (\forall j \in \{1, \dots, m\})$$

Zielfunktion:  $P(\mathbf{x}) = \sum_{i=1}^n p_i x_i$

Optimale Lösung: Zulässige Lösung  $x$  mit maximalem Nutzen  $P(x)$

Größe des Lösungsraumes:  $2^n$

# Suchverfahren für kombinatorische Optimierungsprobleme (KOP)



## Der Simple genetische Algorithmus (SGA)

```
SGA :=
 proc ()
 (1) $t := 1$; // Generationszähler
 (2) $G_t :=$ initiale Population mit $|G_t| = \mu$ gerade;
 (3) while true do
 (4) $\forall x \in G_t$ do berechne $v(x)$ od; // Bewertung
 (5) $\forall x \in G_t$ do berechne $f(x)$ aus $v(x)$ od; // Fitness
 (6) if fertig (G_t) then break fi;
 (7) $G_{t+1/2} :=$ Selektion (G_t); // Zwischengeneration
 (8) $t := t + 1$;
 (9) $G_t :=$ leere Population;
 (10) while $|G_{t-1/2}| \neq 0$ do
 (11) entferne zufällig x, y aus $G_{t-1/2}$;
 (12) mit W'keit p_c do // $p_c =$ Kreuzungsrate
 (13) ersetze (x, y) durch Kreuzungen (x, y) od;
 (14) füge x, y zu G_t
 (15) od;
 (16) $\forall x \in G_t, \forall b \in x$ do
 (17) mit W'keit p_m do // $p_m =$ Mutationsrate
 (18) $b :=$ Mutation (b) od
 (19) od
 (20) od;
 (21) gib $x \in G_t$ mit maximalem $f(x)$ aus;
 end;
```

### Legende zum SGA:

#### Individuum $x \in G_t$ :

⇒ beschreibt zulässige oder unzulässige Problemlösung, die als String über Alphabet  $\Sigma$  codiert wird, Chromosom; oft gilt:  $\Sigma = \{0,1\}$

#### Generation/Population:

⇒ Liste von  $\mu$  Individuen; etwa:  $\mu = 50$

#### Bewertung $v(x)$ :

⇒ Anwendungsabhängige, zu optimierende oder minimierende Zielfunktion

#### Fitness $f(x)$ :

⇒ nicht-negativ, abgeleitet von  $v(x)$ , korreliert positiv mit # Reproduktionsmöglichkeiten  $\varphi(x)$  von  $x$

#### Selektion:

⇒

bestimme  $\varphi(x)$  aus  $f(x)$ , so dass  $\sum_{x \in G_t} \varphi(x) = \mu$ ;  
 $\lfloor \varphi(x) \rfloor$ : sichere # Kopien von  $x$  in  $G_{t+1/2}$ ,  
 $\varphi(x) - \lfloor \varphi(x) \rfloor$ : W'keit für eine weitere Kopie; etwa  
 $\varphi(x) := f(x)/\bar{f}$  mit  $\bar{f} := 1/\mu \sum_{x \in G_t} f(x)$ . Bsp.:

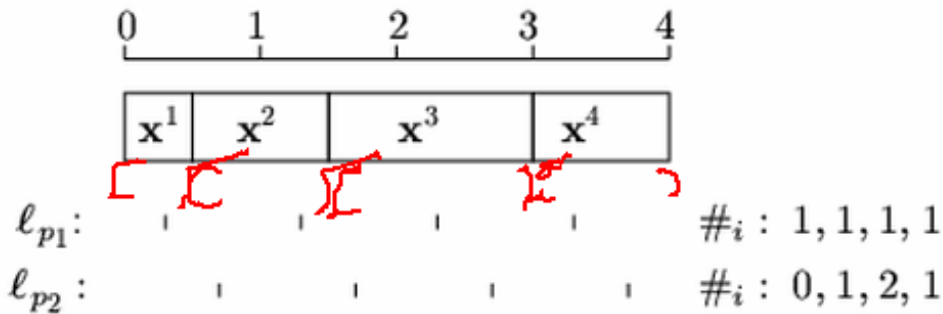
| $i$            | 1   | 2 | 3   | 4 |                              |
|----------------|-----|---|-----|---|------------------------------|
| $\nu(x^i)$     | 1   | 0 | -1  | 0 | min                          |
| $f(x^i)$       | 1   | 2 | 3   | 2 | $2 - \nu(x^i)$               |
| $\varphi(x^i)$ | 0.5 | 1 | 1.5 | 1 | $f(x)/\bar{f}$ $\bar{f} = 2$ |

### Ermittlung der # Kopien $\#_i$ von $x^i$ :

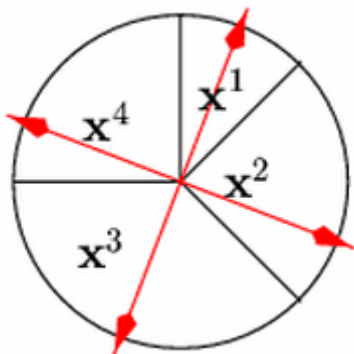
$\Rightarrow$  Wähle  $p \in [0,1)$  zufällig, sei  $l_p := \{p, p+1, \dots, p+\mu-1\}$ , dann sei

$$\#_i = \left| l_p \cap \left[ \sum_{j=1}^{i-1} \varphi(x^j), \sum_{j=1}^i \varphi(x^j) \right) \right|$$

Beispiel:



„gewichtetes Roulettrad“



### Kreuzung zweier Individuen

$\Rightarrow x = (x_1, \dots, x_n)$        $y = (y_1, \dots, y_n)$

### in Teilsequenzen und Rekombination zu $x'$ und $y'$ , etwa

- 1-Punkt Kreuzung:
  - wähle  $l \in \{1, \dots, n-1\}$  zufällig, und

$$\begin{aligned}x' &= (x_1, \dots, x_l, y_{l+1}, \dots, y_n) \\y' &= (y_1, \dots, y_l, x_{l+1}, \dots, x_n)\end{aligned}$$

- 2-Punkt Kreuzung:
  - wähle  $l, r \in \{1, \dots, n\}$ ,  $l, r$  zufällig, und

$$\begin{aligned}x' &= (x_1, \dots, x_l, y_{l+1}, \dots, y_r, x_{r+1}, \dots, x_n) \\y' &= (y_1, \dots, y_l, x_{l+1}, \dots, x_r, y_{r+1}, \dots, y_n)\end{aligned}$$

- gleichmäßige Kreuzung:
  - erzeuge zufällige Bit-Maske  $b = (b_1, \dots, b_n)$  und

$$\begin{aligned}x' &= b \& x \mid \sim b \& y \\y' &= b \& y \mid \sim b \& x\end{aligned}$$

### Mutation

⇒ Jede Komponente  $b$  eines Strings (Bits) wird mit Wahrscheinlichkeit  $p_m$  verändert (gekippt); z.B.  $p_m = 0.1\%$  oder  $p_m = 1/n$

### Vorgehensweise bei der Anwendungserstellung

Gegeben: KOP  
Gesucht: Lösung für KOP

Vorgehensweise:

- Wähle Codierung für potentiell Lösungen
- Wähle Bewertungs-, Fitness-Funktion
- Wähle Parameter  $\mu$ ,  $p_c$ ,  $p_m$ , Abbruchbedingung,
- Implementiere Verfahren, z.B. mit Hilfe von Tools/Bibliotheken

### Anwendungsbeispiel 1: Subset Sum-Problem

Problem Instanz:

$$\mathbf{w} = (w_1, \dots, w_n) \subset \mathbb{N}^+, C \in \mathbb{N}^+$$

Zulässige Lösung:

$$\mathbf{x} = (x_1, \dots, x_n) \in \{0, 1\}^n \text{ mit}$$

$$\sum_{i=1}^n w_i x_i \leq C$$

Zielfunktion:

$$P(\mathbf{x}) = \sum_{i=1}^n w_i x_i$$

Optimale Lösung: Zulässige Lösung  $\mathbf{x}$  mit maximalem  $P(\mathbf{x})$

Codierung gegeben, aber wie mit unzulässigen Lösungen umgehen?

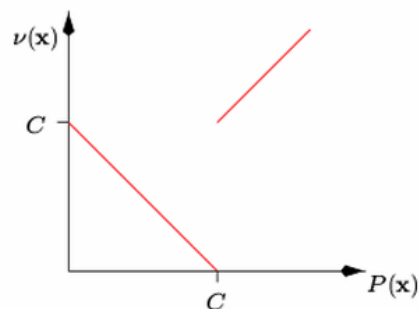
Idee: unzulässige Lösungen zulassen für einen Preis (Strafe), Strafterm

- Strafterm ist eine Funktion des Abstandes von zulässiger Region
  - Der beste unzulässige Vektor ist nie besser als der schlechteste zulässige
- ⇒ Kurze Überlebenszeit der unzulässigen Vektoren

Formuliere Subset Sum als Minimierungsproblem:

$$\nu(\mathbf{x}) = s(\mathbf{x})(C - P(\mathbf{x})) + (1 - s(\mathbf{x}))P(\mathbf{x}) \quad \text{mit}$$

$$s(\mathbf{x}) = \begin{cases} 1 & \text{falls } \mathbf{x} \text{ zulässig} \\ 0 & \text{sonst} \end{cases}$$



Definiere Fitness:

$$f(\mathbf{x}) = \sum_{i=1}^n w_i - \nu(\mathbf{x})$$

Tests mit  $n = 1000$  zeigen: Nach 20 Generationen (also 20000 Bewertungen) wird in 95% der Fälle das Optimum gefunden.

## Anwendungsbeispiel 2: Maximum Cut-Problem

**Problem Instanz:**

$G = (V, E)$  gewichteter Graph  
 $V = \{1, \dots, n\}$  Knoten  
 $w_{ij}$  Gewicht der Kante  $(i, j) \in E$   
mit  $w_{ij} = w_{ji}$ ;  $w_{ii} = 0$

**Zulässige Lösung:**

$V_0, V_1 \subseteq V$  mit  $V_0 \cap V_1 = \emptyset, V_0 \cup V_1 = V$

$C := \{(v, v') \in E \mid v \in V_0, v' \in V_1\}$

**Zielfunktion**

$$W(C) = \sum_{(i,j) \in C} w_{ij}$$

Optimale Lösung: Zulässig Lösung C mit W(C)  
 Codierung von  $V_0, V_1$  durch  $x = \{x_1, \dots, x_n\}$ , so dass

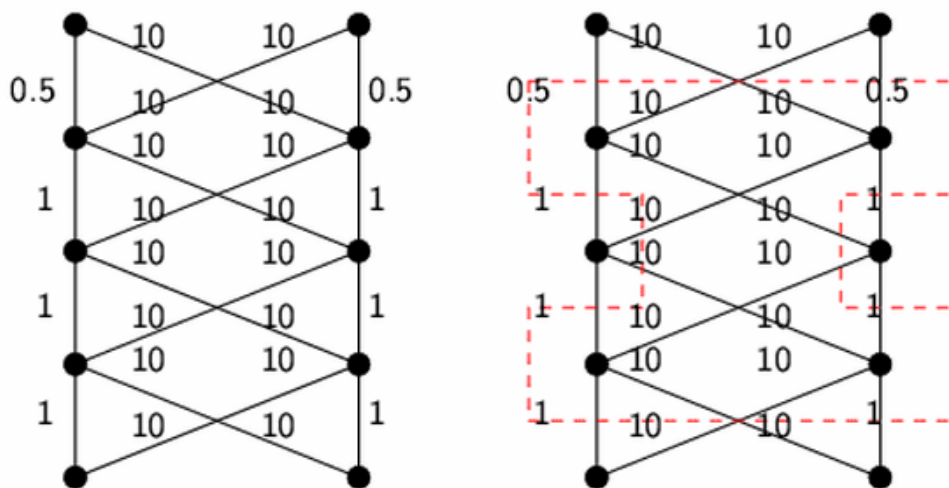
$$x_i = 1 \Leftrightarrow i \in V_1$$

Formuliere Maximum Cut als Maximimierungsproblem:

$$v(\mathbf{x}) = \sum_{i=1}^{n-1} \sum_{j=i+1}^n w_{ij} [x_i (1 - x_j) + x_j (1 - x_i)]$$

Anmerkung: Da  $v(x)$  immer positiv ist, kann man  $f(x) = v(x)$  setzen

### Test Beispiel (n=10)



$$f_{\text{opt}} = 21 + 11(n-4)$$

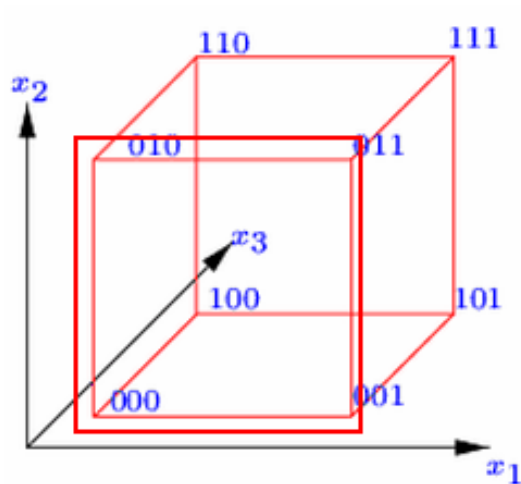
Tests mit  $n=100$  zeigen: Nach 1000 Generationen (also 50 000 Bewertungen)  
 Ist die gefundene Lösung im Schnitt nur 5% vom Optimum entfernt.

Nur  $(5 \cdot 10^4) / 2^{100} \approx 4 \cdot 10^{-24}$  % des Suchraumes musste exploriert werden!

### Selektion + Rekombination = Innovation

Iterierte Abtastung von Hyperebenen-Partitionen

Bsp.:  $x \in \{0,1\}^3$ :



Vordere Fläche (des Hypercubes): 0\*\*

### Schema

⇒ String aus  $\{0,1,*\}$ , mind. Ein nicht-\*-Zeichen

### Ordnung $o(s)$ eines Schemas $s$

⇒ # der nicht-\*-Zeichen in  $s$

Bsp:  $o(1**1*****0**) = 3$

Bit-String  $x$  passt zu Schema  $s, x \in s$ , wenn  $s$  durch Verändern von \*-Zeichen in  $x$  verwandelt werden kann

⇒ alle  $x$ , die zu  $s$  passen, liegen in Hyperebene

Jedes  $x \in \{0,1\}^n$  gehört zu  $\sum_{k=0}^{n-1} \binom{n}{k} = 2^n - 1$  Hyperebenen.

Es gibt insgesamt  $3^n - 1$  verschiedene Hyperebenen

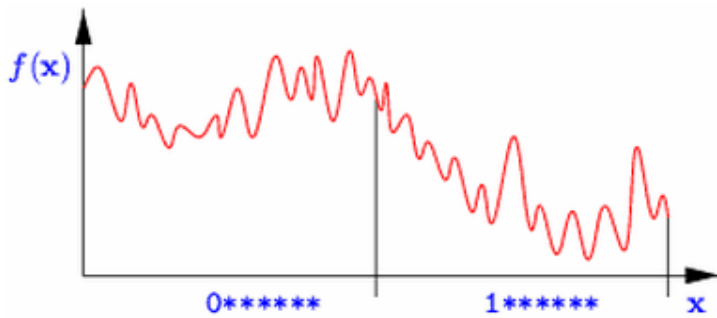
Zufällig gewählte Population der Größe  $\mu$  enthält oft viele Exemplare, die zu Schema  $s$  mit kleinem  $o(s)$  passen, im Schnitt:

$$\frac{\mu}{2^{o(s)}}$$

*Impliziter Parallelismus*: Evaluation von  $x$  liefert Informationen über  $2^n - 1$  Schemata

*Konkurrenz der Schemata*: GA tastet Schemata ab, # Repräsentationen guter Schemata in Folgegeneration wird erhöht.

### Veranschaulichung, Beispiel:



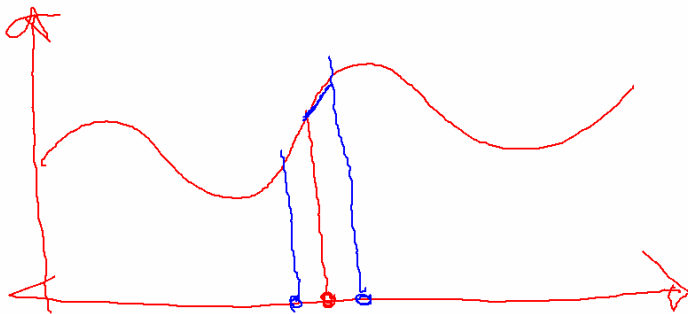
Individuen  $x$  mit  $x_1 = 0$  sind im Schnitt besser als die mit  $x_1 = 1$  und daher in Folgegenerationen häufiger vertreten.

⇒ Abtastrate in Bereichen mit  $f(x) > \bar{f}$  wird erhöht.  
(Konvergenz zum Optimum hin ist nicht garantiert)

### Selektion + Mutation = stetige Verbesserung

Mutation: kleine Änderungen an Individuen, kann neue Information generieren

Ausschließliche Verwendung von Selektion und Mutation funktioniert ähnlich wie Hillclimbing-Verfahren.



## Vorlesung 23 – Genetische Algorithmen

### Das Schema Theorem

Untere Abschätzung der erwarteten Änderung der Abtastrate für ein Schema  $s$  beim Übergang von  $G_t$  nach  $G_{t+1}$  (Holland 1975):

$$M(s, t) := |\{x \in G_t \mid x \in s\}|$$

$$M(s, t + 1/2) = M(s, t) \frac{f(s, t)}{\bar{f}} \text{ mit}$$

$$f(s, t) := \frac{1}{M(s, t)} \sum_{x \in G_t, x \in s} f(x)$$

Definierende Länge  $\Delta(s)$  eines Schemas  $s$  ist Differenz zwischen max. und min. Index eines nicht-\* -Zeichens

Bsp:  $\Delta(\text{****1**0**10**}) = 12 - 5 = 7$

Wahrscheinlichkeit dafür, dass bei 1-Punkt-Kreuzung Schnittpunkt in  $s$  liegt:

$$\Delta(s)/(n-1)$$

$$M(s, t+1) = (1-p_c) M(s, t) \frac{f(s, t)}{\bar{f}} + p_c \left[ M(s, t) \frac{f(s, t)}{\bar{f}} (1-\nu) + \mathcal{G} \right]$$

Konservative Annahmen:

- Jede Kreuzung innerhalb  $\Delta(s)$  wirkt zerstörend:  $\nu$
- Gewinne sind vernachlässigbar:  $\mathcal{G} = 0$

$$\begin{aligned} M(s, t+1) &\geq (1-p_c) M(s, t) \frac{f(s, t)}{\bar{f}} \\ &\quad + p_c \left[ M(s, t) \frac{f(s, t)}{\bar{f}} (1-d) \right] \\ &= M(s, t) \frac{f(s, t)}{\bar{f}} [1-p_c d] \quad (*) \end{aligned}$$

Bemerkung: Werden  $x, y \in s$  rekombiniert, findet kein Verlust statt.

$$P(s, t) := M(s, t) / \mu$$

Ist Wahrscheinlichkeit dafür, dass für zufällig gezogenes  $x \in G_t$  gilt:  $x \in s$

$$d := \frac{\Delta(s)}{n-1} (1-P(s, t))$$

(Einsetzen in  $(*)$  und durch  $\mu$  teilen  $\Rightarrow$ )

Erste Version des Schema-Theorems:

$$P(s, t+1) \geq P(s, t) \frac{f(s, t)}{\bar{f}} \left[ 1 - p_c \frac{\Delta(s)}{n-1} (1-P(s, t)) \right]$$

Unter Berücksichtigung, dass anderer Partner von  $x \in s$  bei Kreuzung mit Verlust aus  $G_{t+1/2}$  stammt, folgt:

$$\tilde{d} := \frac{\Delta(s)}{n-1} \left( 1 - P(s, t) \frac{f(s, t)}{\bar{f}} \right)$$

$\Rightarrow$  zweite Version des Schema-Theorems:

$$P(s, t+1) \geq P(s, t) \frac{f(s, t)}{\bar{f}} \left[ 1 - p_c \frac{\Delta(s)}{n-1} \left( 1 - P(s, t) \frac{f(s, t)}{\bar{f}} \right) \right]$$

Unter Berücksichtigung der zerstörerischen Wirkung der Mutation:

$$P(\mathbf{s}, t + 1) \geq P(\mathbf{s}, t) \frac{f(\mathbf{s}, t)}{\bar{f}} \left[ 1 - p_c \frac{\Delta(\mathbf{s})}{n - 1} \left( 1 - P(\mathbf{s}, t) \frac{f(\mathbf{s}, t)}{\bar{f}} \right) \right] \cdot (1 - p_m)^{o(\mathbf{s})}$$

## Parameterlose GA

Ziel: Codieren des Problems & Knopf drücken => Lösung (d.h. keine explizite Einstellung der Parameter)

- Verwendung von geschachtelten GA
  - Meta-GA sucht nach optimalen Werten für  $\mu$ ,  $p_m$ ,  $p_c$ , ...
  - Innere GA lösen eigentliches Problem
- ⇒ aufwendig!
- Parameterlose GA,
  - Idee: Automatische Bestimmung optimaler Parameter

Verfahren nach Harik-Lobo:

- Wähle  $f$  und  $p_c$  für jedes  $t$ , so dass für optimales  $\mathbf{s}$  gilt:

$$2 \stackrel{!}{=} \frac{P(\mathbf{s}, t + 1)}{P(\mathbf{s}, t)} \approx \frac{f(\mathbf{s}, t)}{\bar{f}} [1 - p_c]$$

- Statt einen GA mit  $|G_t| = \mu$  führe Wettbewerb mehrerer  $GA_i$  mit  $\mu_i = \mu_0 2^i$  aus.
  - $GA_0 - \mu_0 \rightarrow *2 \rightarrow GA_1 - \mu_1$

## Algorithmus zum Parameterlosen Genetischen Algorithmus (PGA)

PGA :=

```

proc ()
(1) $\mathbf{z} = z_m \dots z_2 z_1 z_0$ (4) := 0; // Zähler zur Basis 4
(2) μ_0 := initiale Populationsgröße, gerade;
(3) while not fertig () do
(4) $\tilde{\mathbf{z}} := \mathbf{z} + 1$;
(5) $\forall i \in \{j \in \{0, \dots, m\} \mid z_j \neq \tilde{z}_j\}$ do
(6) berechne neue Generation in GA_i mit $\mu_i = \mu_0 2^i$
(7) od;
(8) $\mathbf{z} := \tilde{\mathbf{z}}$;
(9) if ($\exists i, j$) mit $j > i$ und $\bar{f}_j > \bar{f}_i$ then
(10) schlieÙe GA_i von weiteren Berechnungen aus fi
(11) od
(12) gib \mathbf{x} mit maximalem $f(\mathbf{x})$ aus
end;

```

Betrachte Indices  $i$  der ausgeführten  $GA_i$ :

0000100001000010000120000100...

- 3 Mal  $GA_0$  ausführen
- $GA_0$  und  $GA_1$  ausführen
- 3 Mal  $GA_0$  ausführen

- GA<sub>0</sub> und GA<sub>1</sub> ausführen
- 3 Mal GA<sub>0</sub> ausführen
- GA<sub>0</sub> und GA<sub>1</sub> ausführen
- 3 Mal GA<sub>0</sub> ausführen
- GA<sub>0</sub>, GA<sub>1</sub> und GA<sub>2</sub> ausführen
- 3 Mal GA<sub>0</sub> ausführen
- usw...

$\varepsilon_i$  := #Evaluation in GA<sub>i</sub> bis zum Abbruch, dann ist

$$\varepsilon_i \geq 2 \varepsilon_{i+1}$$

=> für  $O_i$  := (#Evaluationen in GA<sub>i</sub> mit  $j > i$ ) gilt:

$$O_i \leq \sum_{j=1}^{\infty} \left(\frac{1}{2}\right)^j \varepsilon_i = \varepsilon_i$$

## Systeme zur Unterstützung von GA-Applikationen

**Anwendungsorientierte Systeme** „black boxes“, verstecken GA-Details, erlauben Programmierung von Anwendungen für

- Finanzbereich, OMEGA
- Telekommunikation, PC/BEAGLE
- Planung

**Algorithmen-orientierte Systeme** unterstützen spezielle GA

- Algorithmen-spezifische, GENESIS, GAGA
- Algorithmen-Bibliotheken mit vielen Algorithmen, Operatoren, OOGA, GALIB

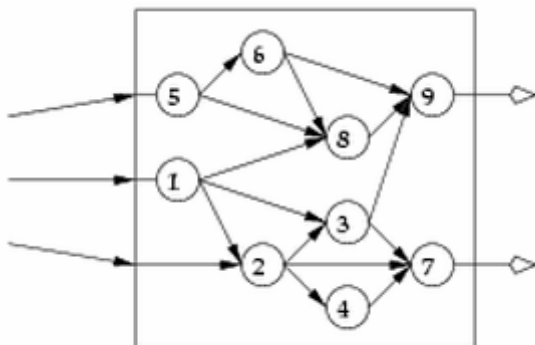
**Tool Kits** enthalten viele Programmierhilfsmittel für viele Bereiche

- Unterrichtssysteme zur Einführung in GA, GA WORKBENCH
- Umfangreiche allgemeine Systeme für komplexe Anwendungen, SPLICER, ENGINEER, MICROGA, PEGASUS

[www.faqs.org/faqs/by-newsgroup/comp/comp.ai.genetic.html](http://www.faqs.org/faqs/by-newsgroup/comp/comp.ai.genetic.html)

## Vorlesung 24 – Künstliche Neuronale Netze (KNN)

Idee; Ahme Prinzip der biologischen neuronalen Netze durch KNN nach



Mögliche Vorteile:

- Übertragbarkeit von Lösungsansätzen aus der Natur
- Parallelisierbarkeit → hohe Rechenleistung
- Redundanz → Fehlertoleranz
- Lernfähigkeit → geringer Programmieraufwand

Was ist für ein KNN zu spezifizieren?

- Verhalten der künstlichen Neuronen
  - Berechnungsreihenfolge
  - Aktivierungsreihenfolge
- Netzstruktur (Topologie)
  - Rekurrente Netze
  - Feed-Forward Netze
- Einbettung in Umgebung
- Lernverfahren

## Ein Hopfield Netz

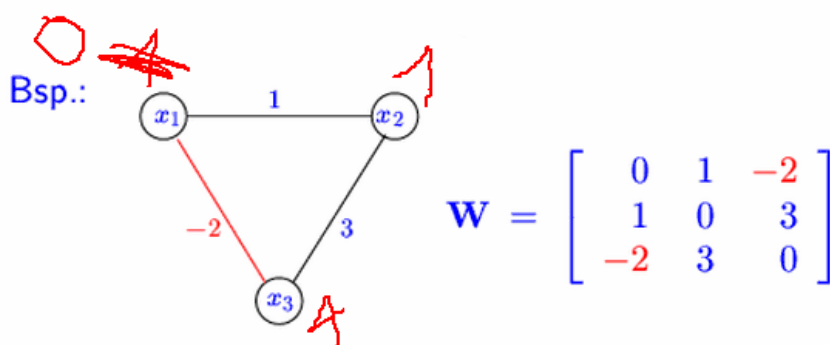
|                     |       |     |       |                   |
|---------------------|-------|-----|-------|-------------------|
| Neuronen            | 1     | 2   | ...   | d                 |
| Aktivierungen $x_1$ | $x_2$ | ... | $x_d$ | $x_i \in \{0,1\}$ |

Verbindungen

$w_{ij} \in \mathbb{R}$  ( $1 \leq i, j \leq d$ ) mit  
 $w_{ii} = 0, w_{ij} = w_{ji} \Rightarrow \mathbf{W} := [w_{ij}]_{d \times d}$   
 ist symmetrisch mit 0-Diagonale

Update asynchron & stochastisch, gemäß

$$x'_j := \begin{cases} 0 & \text{falls } \sum_{i=1}^d x_i w_{ij} < 0 \\ 1 & \text{falls } \sum_{i=1}^d x_i w_{ij} > 0 \\ x_j & \text{sonst} \end{cases}$$



$x_1$  ändert sich nach einem Update zum Wert „0“, alles andere bleibt so. → Stabiler Zustand erreicht.

Mögliche Verwendung:

- als assoziativer Speicher
- zur Berechnung Boolescher Funktionen
- zur kombinatorischen Optimierung

## Die Energie eines Hopfield-Netzes

Sei  $\mathbf{x} = (x_1, x_2, \dots, x_d)^T$  dann ist

$$E(\mathbf{x}) := -\frac{1}{2} \mathbf{x}^T \mathbf{W} \mathbf{x} = -\sum_{i < j} x_i w_{ij} x_j$$

die Energie eines Hopfield Netzes

**Satz:** Jeder Update, der das Hopfield Netz ändert, verringert seine Energie.

Beweis: Annahme: Der Update ändere  $x_k$  in  $x'_k$ . Dann ist

$$\begin{aligned} E(\mathbf{x}) - E(\mathbf{x}') &= -\sum_{i < j} x_i w_{ij} x_j + \sum_{i < j} x'_i w_{ij} x'_j \\ &= -\sum_{j \neq k} x_k w_{kj} x_j + \sum_{j \neq k} x'_k w_{kj} \underbrace{x'_j}_{=x_j} \\ &= -(x_k + (-x'_k)) \sum_{j \neq k} w_{kj} x_j \end{aligned}$$

a)  $-(0 - 1) \sum_{j \neq k} w_{kj} x_j > 0$

b)  $-(1 - 0) \sum_{j \neq k} w_{kj} x_j > 0$

~~$> 0$~~

Die Differenz ist immer größer „0“  $\rightarrow$  Die Energie nimmt immer ab  $\rightarrow$  qed

## Vorgehensweise bei der Lösung eines KOP mittels Hopfield-Netz

Gegeben: KOP

Gesucht: Lösung für KOP

Vorgehensweise:

- Wähle Hopfield-Netz mit den Parametern des KOP als Gewichten und Lösung im Energie-Minimum
- Starte Netz mit zufällig gewählten Aktivierungen
- Berechne Folge von Updates bis Stabilität erreicht
- Lese Parameter aus Netz ab
- Teste Zulässigkeit und Optimalität der Lösung

## Anwendungsbeispiel I – Multi Flop Problem

Problem-Instanz:  $k, n \in \mathbb{N}, k < n$

Zulässige Lösung:  $\tilde{\mathbf{x}} = (x_1, \dots, x_n) \in \{0, 1\}^n$

Zielfunktion:  $P(\tilde{\mathbf{x}}) = \sum_{i=1}^n x_i$

Optimale Lösung: Lösung  $\tilde{\mathbf{x}}$  mit  $P(\tilde{\mathbf{x}}) = k$

Formuliere Multi Flop als Minimierungsproblem:

Im folgenden Beispiel wird ein Vektor mit  $n$  Einträgen gesucht, der  $k$ -viele Einsen enthält. Im Beispiel ist  $n=3$  und  $k=1$ . Initialisiert man das Netz mit 3 Nullen und beginnt bei  $x_3$ , dann springt  $x_3$  auf „1“. Die anderen Knoten können sich nun nicht mehr verändern, da ihre Summen immer kleiner 0 sind und dann per Definition (vom Hopfield Netz) nicht mehr „1“ sein dürfen.

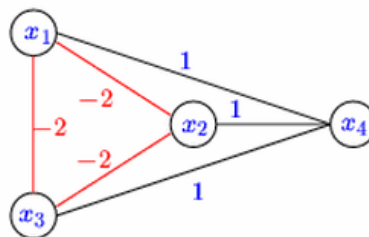
### Beispielrechnung

- Wähle zufällig  $x_1$  als Aktivierungsknoten  $\rightarrow 0*(-2)+0*(-2)+1*1 = 1 > 0 \rightarrow$  wird auf „1“ gesetzt
- Wähle zufällig  $x_2$  als Aktivierungsknoten  $\rightarrow 0*(-2)+1*(-2)+1*1 = -1 < 0 \rightarrow$  bleibt auf „0“
- Wähle zufällig  $x_3$  als Aktivierungsknoten  $\rightarrow 1*(-2)+0*(-2)+1*1 = -1 < 0 \rightarrow$  bleibt auf „0“
- Das Netz ist nun stabil !  $\rightarrow$  Die Lösung ist der Vektor  $(1,0,0)$

Sei  $d = n + 1$ ,  $x_d = 1$ ,  $\mathbf{x} = (x_1, x_2, \dots, x_n, x_d)^T$  und

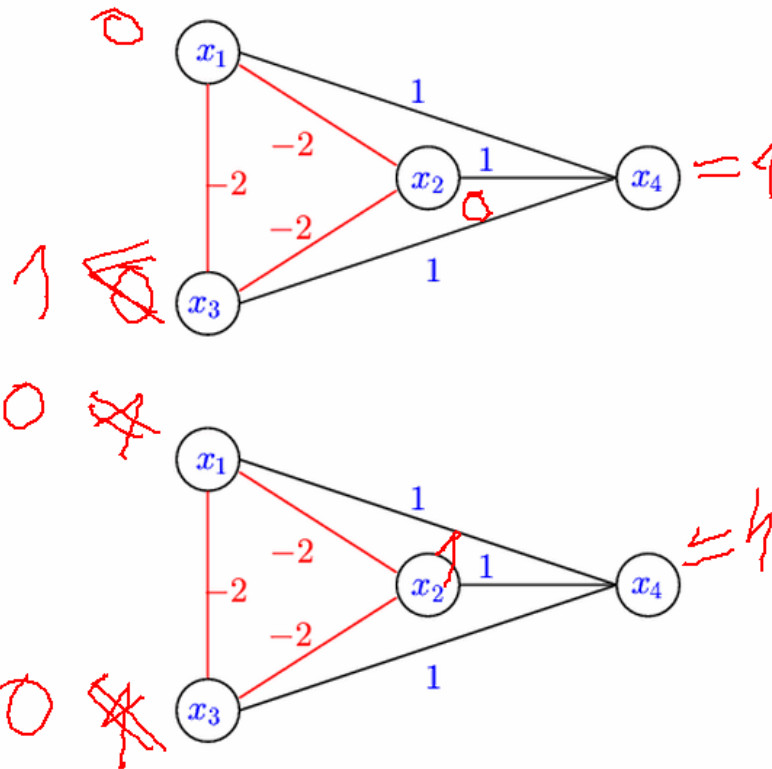
$$\begin{aligned}
 E(\mathbf{x}) &= \left( \sum_{i=1}^d x_i - (k+1) \right)^2 \\
 &= \sum_{i=1}^d \underbrace{x_i^2}_{=x_i} + \sum_{i \neq j} x_i x_j - 2(k+1) \sum_{i=1}^d x_i + (k+1)^2 \\
 &= \sum_{i \neq j} x_i x_j - (2k+1) \sum_{i=1}^{d-1} x_i x_d + k^2 \\
 &= -\frac{1}{2} \sum_{i < j} x_i (-4) x_j - \frac{1}{2} \sum_{i < d} x_i (4k+2) x_d + k^2
 \end{aligned}$$

Bsp. ( $n = 3, k = 1$ ):



$$E(\mathbf{x}) = -\frac{1}{2} \sum_{i < j} x_i (-4) x_j - \frac{1}{2} \sum_{i < d} x_i (4k + 2) x_d + k$$

Bsp. ( $n = 3, k = 1$ ):



## Anwendungsbeispiel 2 – Travelling Salesperson Problem (TSP)

Problem Instanz:

Städte: 1 2 ... n  
 Entfernungen:  $d_{ij} \in \mathbb{R}^+$  ( $1 \leq i, j \leq n$ ) mit  $d_{ii} = 0$

Zulässige Lösung: Permutation  $\pi$  von  $(1, 2, \dots, n)$

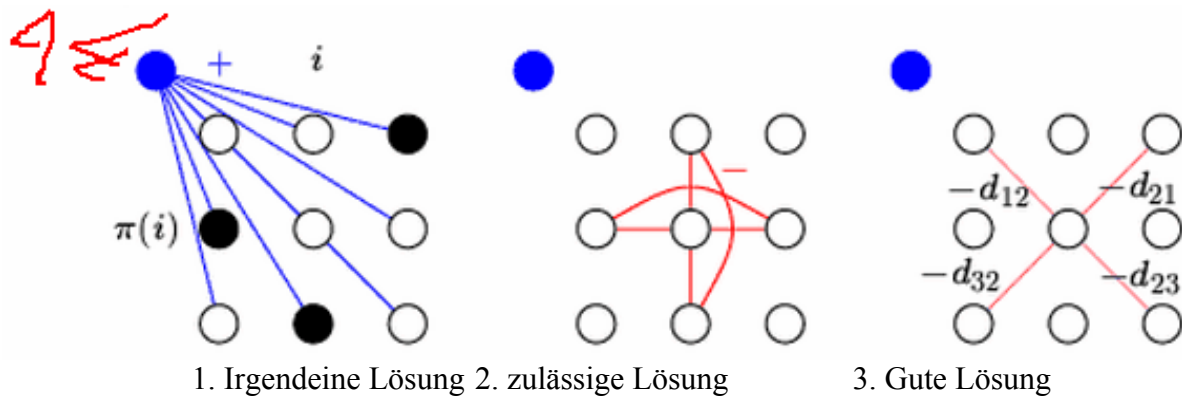
Zielfunktion:  $P(\pi) = \sum_{i=1}^n d_{\pi(i), \pi(i \bmod n + 1)}$

Optimale Lösung: Zulässige Lösung  $\pi$  mit minimalem  $P(\pi)$

Idee: Hopfield-Netz mit  $d = n^2 + 1$  Neuronen:

- Die Zeilen der folgenden Matrizen sind die Ablaufreihenfolge
- Die Spalten der folgenden Matrizen sind die Städte des TSP

- Die schwarzen Punkt im Beispiel markieren die gewählte Ablaufreihenfolge, d.h. bei (1.)  $2 \rightarrow 3 \rightarrow 1$
- Jeder Punkt der Matrix ist mit dem „1“-Neuron (blaues) positiv verbunden
- Die 2. Bedingung mit den negativen Kanten, verhindert, dass mehr als ein Knoten pro Zeile bzw. Spalte auf „1“ gesetzt wird. Was nicht erlaubt ist.
- Die 3. Bedingung bezieht die Gewichte (Entfernungen der Städte) mit ein um eine (annähernd) optimale Lösung zu erhalten. Eingezeichnet sind die Entfernungen der Stadt Zwei zu den anderen Städten.



**Problem:**

⇒ „Größe“ der Gewichte (der Bedingung 1. und 2.), um gleichzeitig zulässige und gute (optimale) Lösung zu erzwingen.

**Abhilfe:**

⇒ Übergang zu stetigem Hopfield-Netz und modifizierten Gewichten → gute Lösung des TSP

**Selbstorganisierende Karten (SOM)**

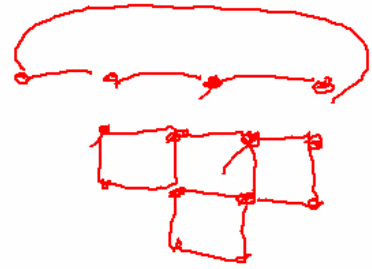
Ein SOM (Kohonen Netz):

Neuronen:

Eingabe:  $1, 2, \dots, d$  für Komponenten  $x_i$  der Eingabe

Karte:  $1, 2, \dots, m$ ; Reguläres (Linear-, Rechteck, Hexagonal-) Gitter  $\mathbf{r}$  zur Speicherung der Mustervektoren  $\boldsymbol{\mu}_i \in \mathbb{R}^d$

Ausgabe:  $1, 2, \dots, d$  für  $\boldsymbol{\mu}_c$



Update:

$L \subset \mathbb{R}^d$ , Lernmenge

Zur Zeit  $t \in \mathbb{N}^+$  wird  $\mathbf{x} \in L$  zufällig gewählt, dann

$c \in \{1, \dots, m\}$  bestimmt (*bm*) mit

$$\|\mathbf{x} - \boldsymbol{\mu}_c\| \leq \|\mathbf{x} - \boldsymbol{\mu}_i\| \quad (\forall i \in \{1, \dots, m\})$$

und die Muster angepasst:

$$\boldsymbol{\mu}'_i := \boldsymbol{\mu}_i + h(c, i, t) (\mathbf{x} - \boldsymbol{\mu}_i) \quad (\forall i \in \{1, \dots, m\})$$

mit  $h(c, i, t)$  zeitabhängige Nachbarschaftsfunktion

und  $h(c, i, t) \rightarrow 0$  für  $t \rightarrow \infty$ , z.B.:

$$h(c, i, t) = \alpha(t) \cdot \exp\left(-\frac{\|\mathbf{r}_c - \mathbf{r}_i\|^2}{2\sigma(t)^2}\right)$$

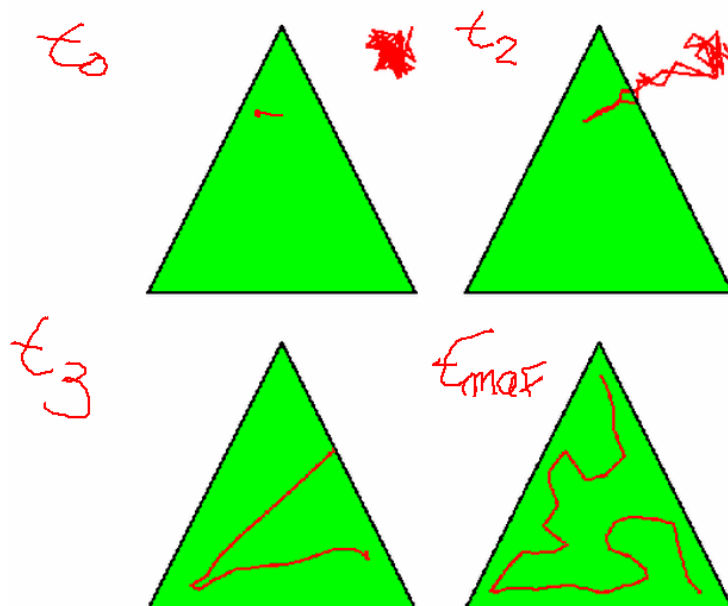


Mögliche Verwendung:

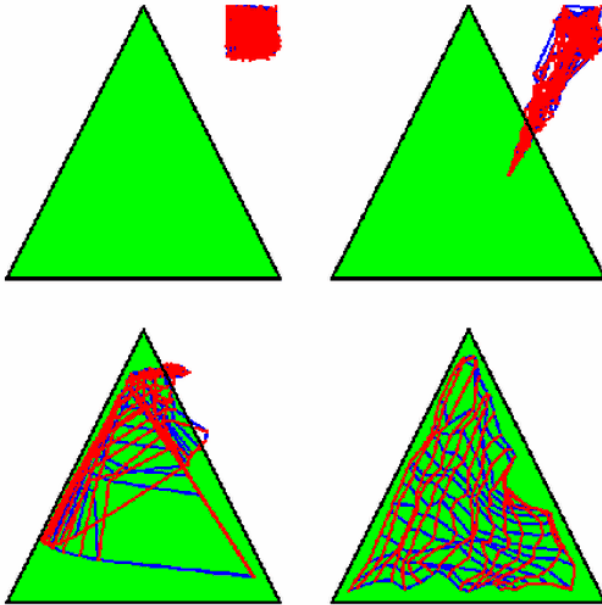
- zur Visualisierung, Interpretation, Dimensionsreduktion, Dichte-Repräsentation, Klusterung, Klassifikation von Daten
- zur kombinatorischen Optimierung

## Anwendungsbeispiele für SOM

Eine 50-er Kette passt sich an Punkte aus dem Dreieck an:



Ein  $15 \times 15$ -Gitter passt sich an Punkte aus dem Dreieck an:



## Euklidisches Travelling Salesperson Problem (ETSP)

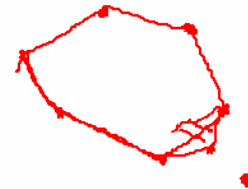
Ähnlich TSP, doch jede Stadt  $i$  hat Position

Ähnlich TSP, doch jede Stadt  $i$  hat Position  $\mathbf{p}_i \in \mathbb{R}^2$  und

# Städte =  $n$

$$d(i, j) = \|\mathbf{p}_i - \mathbf{p}_j\|$$

Idee: Verwende *wachsenden* Ring (elastisches Band) von Neuronen



FLEXMAP :=

**proc** ()

- (1) initialisiere Ring mit 3 Neuronen;
  - (2) **while**  $(\exists j) j$  ist bmu für  $\geq 2$  Städte **do**
  - (3)  $\forall z \in \{1, \dots, N\}$  **do**
  - (4) passe  $c := \text{bmu}(z)$  und endl. Nachbarschaft an;
  - (5) fehler( $c$ ) +=  $\|\mu_c - \mathbf{p}(i)\|$
  - (6) **od**;
  - (7) finde Nachbarn  $i, k$  mit max. fehler( $i$ ) + fehler( $k$ );
  - (8) füge neues Neuron  $j$  zwischen  $i$  und  $k$  ein;
  - (9)  $\mu_j := (\mu_i + \mu_k)/2$ ;
  - (10) fehler( $i$ ) \*=  $2/3$ ;
  - (11) fehler( $k$ ) \*=  $2/3$ ;
  - (12) fehler( $j$ ) := (fehler( $i$ ) + fehler( $j$ ))/2
  - (13) **od**;
  - (14) gib zum Ring gehörende Tour aus;
- end**;

2k(i)

zufällig

$n$   
 $n$   
 $n$

Zeit  $\in O(n^2)$

## Komplexität

Die While Schleife wird  $n$  mal durchlaufen. Innerhalb der While Schleife existieren zwei Abschnitte, die beide  $O(n)$  Zeit benötigen als  $2 O(n) \rightarrow$  Gesamtzeit  $O(n^2)$

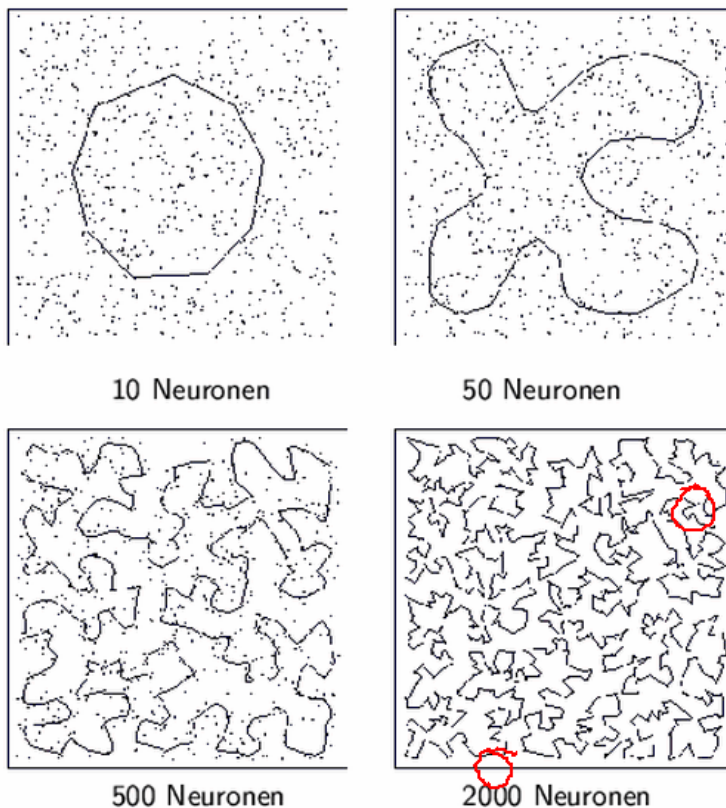
## SOM für kombinatorische Optimierung

Heuristische Änderungen zur Linearisierung der Laufzeit von FLEXMAP:

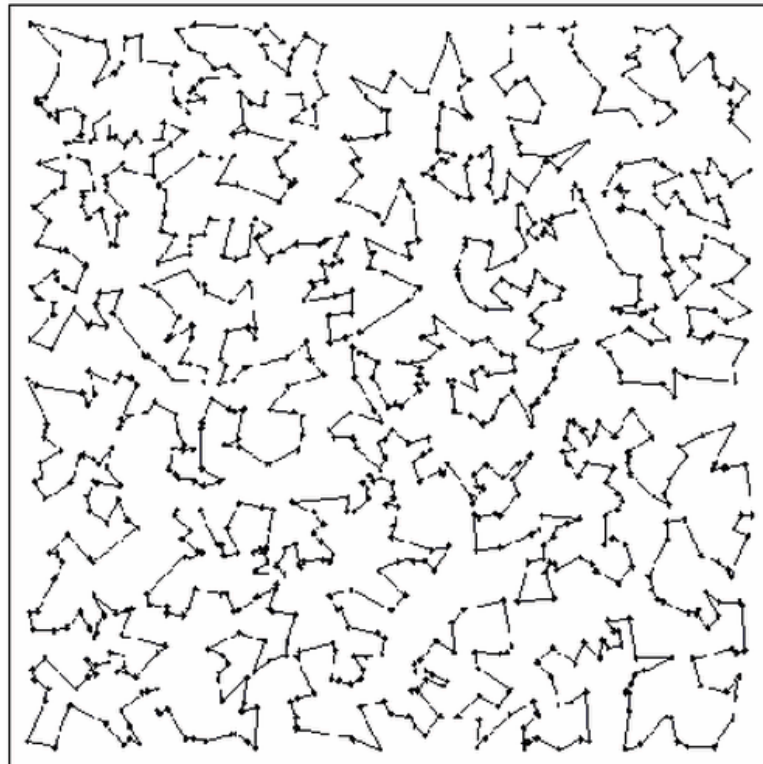
- Speichere für jede Stadt letzte  $bmu(i)$  (Best-Matching-Unit). Bei erneuter Auswahl von  $i$  bestimme neues  $bmu(i)$  unter endl. Nachbarschaft des alten  $bmu(i)$
- Bestimme Kante höchsten Fehlers unter denen, die adjazent zu Neuronen aus Programmschritten (3)-(5) sind
- War ein Neuron  $M$ -mal in Folge  $bmu$  für dieselbe Stadt  $i$ , so wird  $i$  fixiert  $\rightarrow$  FLEXMAP bricht ab (Schritt(3)), wenn alle Städte fixiert sind

Tests mit  $n \leq 2392$  zeigen, dass die Laufzeit linear skaliert und die gefundenen Lösungen um weniger als 9% vom Optimum abweichen.

Veränderung des FLEXMAP-Rings für ein 1000-Städte-Beispiel:



Von FLEXMAP gefundene Lösung für ein 1000-Städte-Beispiel:



Tour mit 2526 Neuronen

## Geschichtete Feed-Forward Netze (MLP)

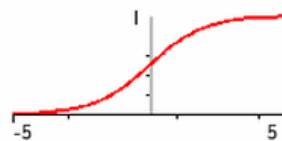
Ein L-schichtiges MLP (Mehr-Lagiges Perzeptron)

Schichten:  $S_0, S_1, \dots, S_{L-1}, S_L$   
(Input-, Verdeckte-, Output-Schicht)  
Verbindungen: Von jedem Neuron  $i$  in  $S_l$  zu  $j$  in  $S_{l+1}$  mit Gewicht  $w_{ij}$ , ausser 1-Neuronen  
Update: Schichtweise synchron gem.

$$x'_j := \varphi \left( \sum_{i \in \mathcal{V}(j)} x_i w_{ij} \right)$$

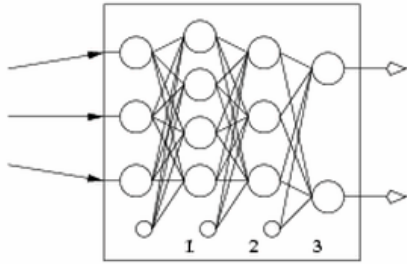
mit  $\varphi$  differenzierbar,

z.B.  $\varphi(a) = \sigma(a) = \frac{1}{1 + \exp(-a)}$



### Mögliche Verwendung:

- Funktionsapproximation
- Klassifikation



$$f: \mathbb{R}^3 \rightarrow \mathbb{R}^2$$

**Satz (ohne Beweis):**

⇒ Boolesches Funktionen sind durch 2-schichtige MLP berechenbar.

**Satz (ohne Beweis):**

⇒ Stetige reelle Funktionen und ihre partiellen Ableitungen können gleichzeitig durch 2-schichtige MLP auf einem kompakten Bereich beliebig genau approximiert werden.

**Paramterlernen bei MLP**

Lernen:

gegeben:  $\mathbf{x}^1, \dots, \mathbf{x}^N \in \mathbb{R}^d$  und  $t^1, \dots, t^N \in \mathbb{R}^c$ ,  
 MLP mit  $d$  Input-,  $c$  Output-Neuronen,  
 $\mathbf{w} = (w_1, \dots, w_M)$  enthalte sämtliche Gewichte,  
 $f(\mathbf{x}, \mathbf{w})$  sei die Netzfunktion.

gesucht: optimales  $\mathbf{w}^*$ , welches den Fehler

$$E(\mathbf{w}) := \frac{1}{2} \sum_{n=1}^N \sum_{k=1}^c (f_k(\mathbf{x}^n, \mathbf{w}) - t_k^n)^2$$

minimiert. ○

Bemerkung: Da die partiellen Ableitungen von  $f$  in Bezug auf die Inputs und die Parameter existieren, können Gradienten-Basierte Optimierungsverfahren angewandt werden (Konjugierte Gradienten, Levenberg-Marquardt,...)

Es ist

$$\nabla_{\mathbf{w}} E(\mathbf{w}) = \sum_{n=1}^N \sum_{k=1}^c (f_k(\mathbf{x}^n, \mathbf{w}) - t_k^n) \nabla_{\mathbf{w}} f_k(\mathbf{x}^n, \mathbf{w})$$

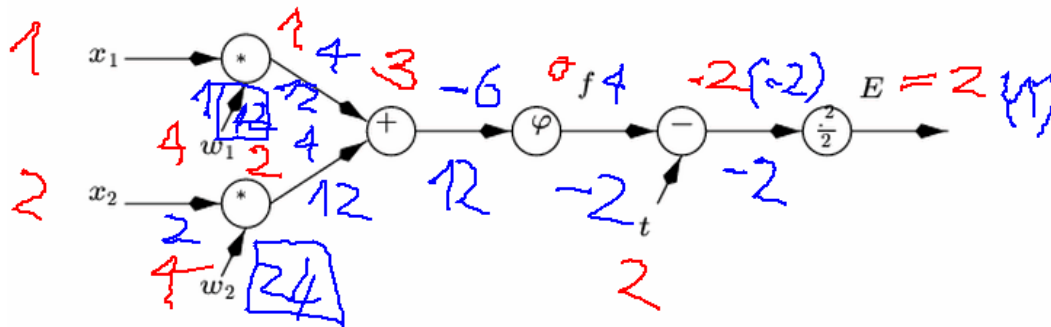
(Dies ist die Ableitung der oberen Funktion)

## Gradientenbestimmung mit Backpropagation

Grundlage: Die Kettenregel:

$$\left. \frac{\partial}{\partial t} f(g(t)) \right|_{t=t_0} = \left( \left. \frac{\partial}{\partial s} f(s) \right|_{s=g(t_0)} \right) \left( \left. \frac{\partial}{\partial t} g(t) \right|_{t=t_0} \right)$$

Bsp.: Sei  $\varphi(a) := 9 - a^2$ ,  $\mathbf{x} = (1, 2)^T$ ,  $\mathbf{w} = (1, 1)^T$ ,  $t = 2$ :



$$\nabla_{\mathbf{w}} E(\mathbf{w})|_{\mathbf{w}=(1,1)^T} = (12, 24)$$

$$h(x, y) = x * y \Rightarrow \partial/\partial x h(x, y) = y$$

$$h(x, y) = x + y \Rightarrow \partial/\partial x h(x, y) = 1$$

$$h(x, y) = x - y \Rightarrow \partial/\partial x h(x, y) = 1$$

$$\varphi(x) = 9 - x^2 \Rightarrow \partial/\partial x \varphi(x) = -2x$$

$$h(x) = x^2/2 \Rightarrow \partial/\partial x h(x) = x$$

**Satz.**  $\nabla_{\mathbf{w}} E(\mathbf{w})$  kann in Zeit  $O(N \times M)$  bestimmt werden, wenn die Größe des Netzes in  $O(M)$  ist.

Das Backpropagation-Verfahren:

Wiederhole für alle  $n \in \{1, \dots, N\}$ :

- Berechne Netzfunktion  $f(\mathbf{x}^n, \mathbf{w})$  und dazugehörigen Fehler  $E$  in Vorwärtsrichtung, speichere Zwischenwerte im Netz.
- Berechne partielle Ableitungen von  $E$  in Bezug auf alle Zwischenwerte in Rückwärtsrichtung und addiere Beiträge zum Gesamtgradienten

## Vorlesung 25 – Ameisen Algorithmen

### Einleitung

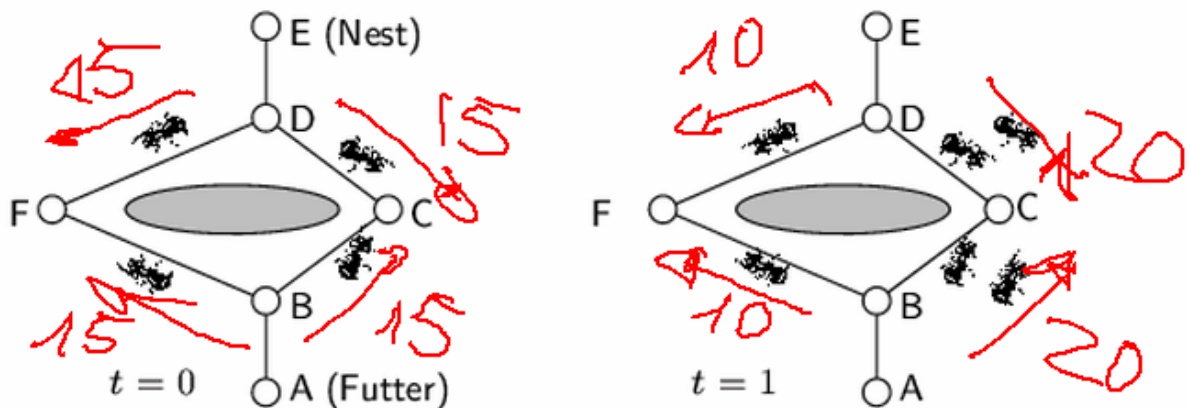
**Achilles (zum Ameisenbär):** ... Ich verstehe nicht, wie alle Ameisen unintelligent sein können, wenn Tante Colonia (die Ameisenkolonie) Sie viele Stunden lang mit geistreichen Späßen unterhalten kann.

**Schildkröte:** Ich glaube, dass sich die Dinge ähnlich verhalten, wie bei der Zusammensetzung des menschlichen Gehirns mit Neuronen. Gewiss würde niemand darauf bestehen, dass einzelne Hirnzellen intelligente Lebewesen sein müssen, um die Tatsache zu erklären, dass ein Mensch eine intelligente Unterhaltung führen kann.

**Ameisenbär:** ... obgleich Ameisen als Individuen auf ein Art und Weise herumstreifen, die rein zufällig scheint, gibt es darunter allgemeine, aus dem Chaos auftauchende Trends, die große Mengen von Ameisen betreffen.

(aus D. Hofstadter: Gödel, Escher, Bach – ein Endloses geflochtenes Band, [8, S. 338])

Betrachte Ameisen bei der Futtersuche:



Kommunikation durch Pheromone (Duftstoffe):

Zufällige Entscheidungen → angepasste Entscheidungen

Künstliche Ameisen

- lösen Optimierungsprobleme durch Sequenzen von Entscheidungen
- treffen einzelne Entscheidungen zufällig, aber gesteuert durch Pheromone und weitere Kriterien
- besitzen ein Gedächtnis, können daher zulässige Optionen erkennen
- verteilen Pheromone proportional zur Güte der gefundenen Lösungen

### Traveling Salesperson-Problem (TSP)

Problem Instanz:

Städte: 1 2 ... n  
 Entfernungen:  $d_{ij} \in \mathbb{R}^+$  ( $1 \leq i, j \leq n$ ) mit  $d_{ii} = 0$

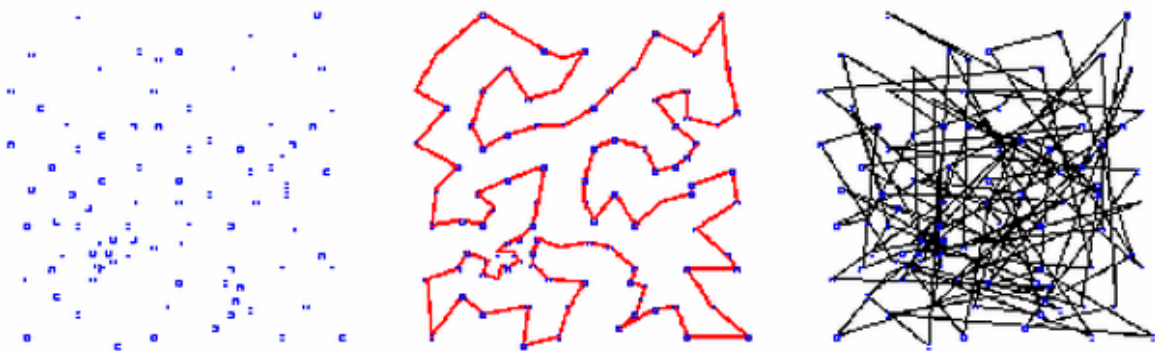
Zulässige Lösung: Permutation  $\pi$  von  $(1, 2, \dots, n)$

Zielfunktion:  $P(\pi) = \sum_{i=1}^n d_{\pi(i), \pi(i \bmod n+1)}$

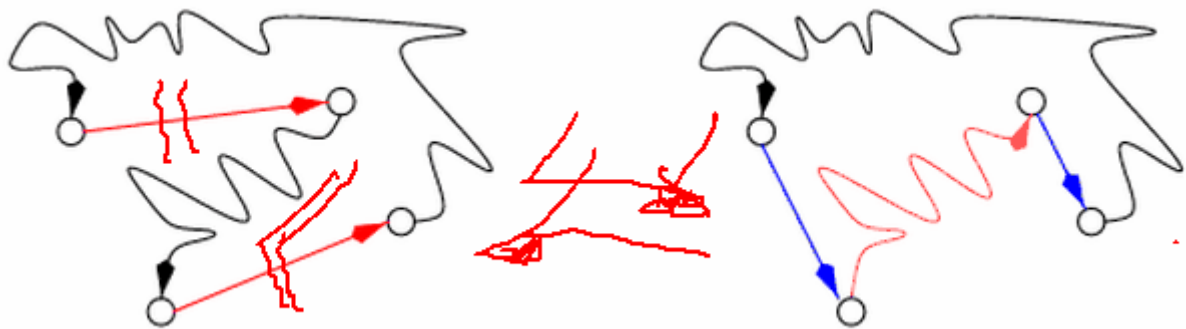
Optimale Lösung: Zulässige Lösung  $\pi$  mit minimalem  $P(\pi)$

#Potentieller Lösungen:  $(n-1)!/2$ ; für  $n = 101$ :  $\approx 4.7 \times 10^{157}$

Bemerkung:  $(n-1)!/2$  da das TSP hier symmetrisch ist, d.h.  $d_{ij} = d_{ji}$



Ein einfacher Optimierungsschritt (LIN-2-OPT):



Bemerkung:

- Dieser Optimierungsschritt geht nur dann, wenn die Summe der blauen Weglängen (blaue Pfeile) kleiner als die Summe der roten Weglängen (rote Pfeile) ist.
- Handelt es sich um das unsymmetrische TSP, muss diese Unsymmetrie noch berücksichtigt werden.

#Nachbarlösungen:  $n * (n-3)$ ;

- bei  $n = 101$  also 9898 (unsymmetrisch)
- wenn symmetrisch muss noch durch 2 geteilt werden: 4949

## Ameisen-Algorithmus für das TSP

Ein simpler Ameisen-System-Algorithmus (ASA):

```
ASA_TSP :=
 proc ()
 (1) $t := 0$; // Zeit
 (2) $\forall i, j \in \{1, \dots, n\}$ do // n : # Städte
 (3) $\tau_{ij} := \text{Pheromon}(i, j, t)$ od;
 (4) while not fertig () do
 (5) $t += 1$;
 (6) for k from 1 to μ do // μ : # Ameisen
 (7) while not tourKomplett (k) do
 (8) $j := \text{auswahlStadt}(k)$ od;
 (9) $L_k := \text{tourLaenge}(k)$
 (10) od;
 (11) $\forall i, j \in \{1, \dots, n\}$ do
 (12) $\tau_{ij} := \text{Pheromon}(i, j, t)$ od
 (13) od;
 (14) gib kürzeste Tour aus;
 end;
```

Laufzeit:  $O(t_{\max} * \mu * n * n)$

Bemerkung:

- $t_{\max}$ : Maximale Zeit
- $\mu$ : Anzahl Ameisen
- $n$ : wegen Zeile 7
- $n$ : wegen Zeile 8

## Legende zum ASA\_TSP

Auswahl einer Stadt  $j$  für Ameise  $k$  in Stadt  $i$ :

Falls  $i$  nicht definiert, wird  $j$  initialisiert, sonst nach folgenden Bedingungen bestimmt:

- $j$  darf nicht bereits in der begonnenen Tour vorkommen
- die Wahrscheinlichkeit  $P_{ij}$  der Auswahl von  $j$  ist proportional zu  $1/d_{ij}$  und  $\tau_{ij}$

$$P_{ij} := \begin{cases} \frac{[\tau_{ij}]^{\alpha} [\eta_{ij}]^{\beta}}{\sum_{h \in \Omega(k)} [\tau_{ih}]^{\alpha} [\eta_{ih}]^{\beta}} & \text{für } j \in \Omega(k) \\ 0 & \text{sonst} \end{cases}$$

$\tau_{ij}$  : Pheromon-Level auf Kante  $(i, j)$

$\alpha$  : Gewichtung von  $\tau_{ij}$

$\eta_{ij}$  :  $1/d_{ij}$  Sichtbarkeit

$\beta$  : Gewichtung von  $\eta_{ij}$

$\Omega(k)$  : Menge der von  $k$  unbesuchten Städte

### Berechnung der Pheromon-Menge $\tau_{ij(t)}$ für Kante $(i,j)$ :

Falls  $t = 0$ , wird  $\tau_{ij}(t)$  initialisiert, sonst:

ein Anteil von  $(1 - \rho)$  verduftet und Ameise  $k$  verteilt  $Q/L_k$ :

$$\begin{aligned}\tau_{ij}(t+1) &:= \rho \tau_{ij}(t) + \Delta \tau_{ij} \\ \Delta \tau_{ij} &= \sum_{k=1}^{\mu} \Delta \tau_{ij}^k \\ \Delta \tau_{ij}^k &= \begin{cases} Q/L_k & \text{falls } (i, j) \in \text{Tour}(k) \\ 0 & \text{sonst} \end{cases}\end{aligned}$$

### Parameter des ASA\_TSP

$\mu$ : #Ameisen; oft wird  $\mu = n$  empfohlen, jede Ameise startet dann in einer anderen Stadt

$\alpha, \beta \in [0, \infty)$ :

- ⇒ Gewichten die relative Bedeutung der Pheromone im Vergleich zur Sichtbarkeit.
  - $\alpha$  zu groß: frühe Stagnation, Exploitation
  - $\alpha$  zu klein: iterierte Heuristik, Exploration
- ⇒ Vorschlag:  $\alpha = 1, \beta = 5$

$\rho \in [0, 1]$ :

- ⇒ beeinflusst Gedächtnis des Verfahrens
  - $\rho$  zu groß: frühe Konvergenz
  - $\rho$  zu klein: kein Ausnutzen von Erfahrung
- ⇒ Vorschlag:  $\rho = !/2$

$Q$ :

- ⇒ bestimmt Einfluss neuer Information in Relation zur Initialisierung  $\tau_{ij}(0)$ , wenig problematisch
- ⇒ Vorschlag:  $Q = 100$

Tests zeigen, dass Qualität und Laufzeit von ASA\_TSP für  $n \approx 30$  vergleichbar ist mit anderen heuristischen Verfahren.

### Quadratisches Zuordnungsproblem (QAP)

QAP = Quadratic Assignment Problem)

Problem-Instanz:

$$\begin{aligned}\text{Orte:} & \quad 1 \quad 2 \quad \dots \quad n \\ \text{Aktivitäten:} & \quad 1 \quad 2 \quad \dots \quad n \\ \text{Entfernungen:} & \quad d_{ih} \in \mathbb{N}^+ \quad (1 \leq i, h \leq n) \text{ mit} \\ & \quad d_{ih} = d_{hi}, \quad d_{ii} = 0, \quad \mathbf{D} := [d_{ih}] \\ \text{Flüsse:} & \quad f_{jk} \in \mathbb{N}^+ \quad (1 \leq j, k \leq n) \text{ mit} \\ & \quad f_{jk} = f_{kj}, \quad f_{jj} = 0, \quad \mathbf{F} := [f_{jk}]\end{aligned}$$

Zulässige Lösung: Permutation  $\pi$  von  $(1, 2, \dots, n)$  (Aktivität  $\pi(i)$  wird an Ort  $i$  ausgeführt.)

Zielfunktion:  $P(\pi) = \sum_{i,h \in \{1, \dots, n\}} d_{ih} f_{\pi(i)\pi(h)}$

Optimale Lösung: Zulässige Lösung  $\pi$  mit minimalem  $P(\pi)$

Äquivalente Formulierung: Finde Permutationsmatrix

$\mathbf{X} \in \{0, 1\}^{n \times n}$  mit  $x_{ij} = 1 \Leftrightarrow \pi(i) = j$  und minimalem

$$P(\mathbf{X}) = \sum_{i,j \in \{1, \dots, n\}} \sum_{h,k \in \{1, \dots, n\}} d_{ih} f_{jk} x_{ij} x_{hk}$$

### Ameisen-Algorithmus für das QAP

Ameise  $k$  setzt  $x_{ij} = 1$  ( $\pi(i) = j$ ) falls

- bisher keine 1 in Zeile  $i$  und Spalte  $j$  von  $\mathbf{X}$
- die potentielle Güte und die Pheromone die Bindung  $(i,j)$  begünstigen

Die potentielle Güte ergibt sich aus dem Distanz-Potential  $\mathcal{D} = \mathbf{D} [1, \dots, 1]^T$  und dem Fluss-Potential  $\mathcal{F} = \mathbf{F} [1, \dots, 1]^T$ .

Beispiel:

| $\mathbf{D}$                                                                                                                          | $\mathcal{D}$                                         | $\mathbf{F}$                                                                                                                          | $\mathcal{F}$                                           |  |
|---------------------------------------------------------------------------------------------------------------------------------------|-------------------------------------------------------|---------------------------------------------------------------------------------------------------------------------------------------|---------------------------------------------------------|--|
| $\begin{bmatrix} 0 & 1 & 1 & 2 & 3 \\ 1 & 0 & 2 & 1 & 2 \\ 1 & 2 & 0 & 1 & 2 \\ 2 & 1 & 1 & 0 & 1 \\ 3 & 2 & 2 & 1 & 0 \end{bmatrix}$ | $\begin{bmatrix} 7 \\ 6 \\ 6 \\ 5 \\ 8 \end{bmatrix}$ | $\begin{bmatrix} 0 & 5 & 2 & 4 & 1 \\ 5 & 0 & 3 & 0 & 2 \\ 2 & 3 & 0 & 0 & 0 \\ 4 & 0 & 0 & 0 & 5 \\ 1 & 2 & 0 & 5 & 0 \end{bmatrix}$ | $\begin{bmatrix} 12 \\ 10 \\ 5 \\ 9 \\ 8 \end{bmatrix}$ |  |

Bemerkung: Die Stadt mit dem D-Wert = 5 (minimalster Wert) liegt im Zentrum, wohingegen die Stadt mit dem D-Wert = 8 (maximalster Wert) liegt am Rand (siehe die 2 markierten Stellen im D-Vektor).

### Min-max-Regel:

- ⇒ Binde Aktivitäten mit hohem Fluss-Potential an Orte mit niedrigem Distanz-Potential und umgekehrt.

Kopplungs-Matrix

$A := D F^T$ , im Bsp:

$$A = \begin{bmatrix} 84 & 70 & 35 & 63 & 56 \\ 72 & 60 & 30 & 54 & 48 \\ 72 & 60 & 30 & 54 & 48 \\ 60 & 50 & 25 & 45 & 40 \\ 96 & 80 & 40 & 72 & 64 \end{bmatrix}$$

$j(\pi(i))$   
5  
4  
2  
4  
3

Bemerkung:  $i$  sind die Zeilen

### Ameisen-Algorithmus für das QAP

Heuristik:

Betrachte Aktivitäten  $j$  in Reihenfolge absteigender Fluss-Potentiale und ordne ihnen noch einen freien Ort  $i$  mit minimalem  $a_{ij}$ -Wert zu.

Ameise  $k \in \{1, \dots, \mu\}$  geht nun ähnlich vor:

$$P_{ij} := \begin{cases} \frac{[\tau_{ij}]^\alpha [\eta_{ij}]^\beta}{\sum_{h \in \Omega(k)} [\tau_{ih}]^\alpha [\eta_{ih}]^\beta} & \text{für } i \in \Omega(k) \\ 0 & \text{sonst} \end{cases}$$

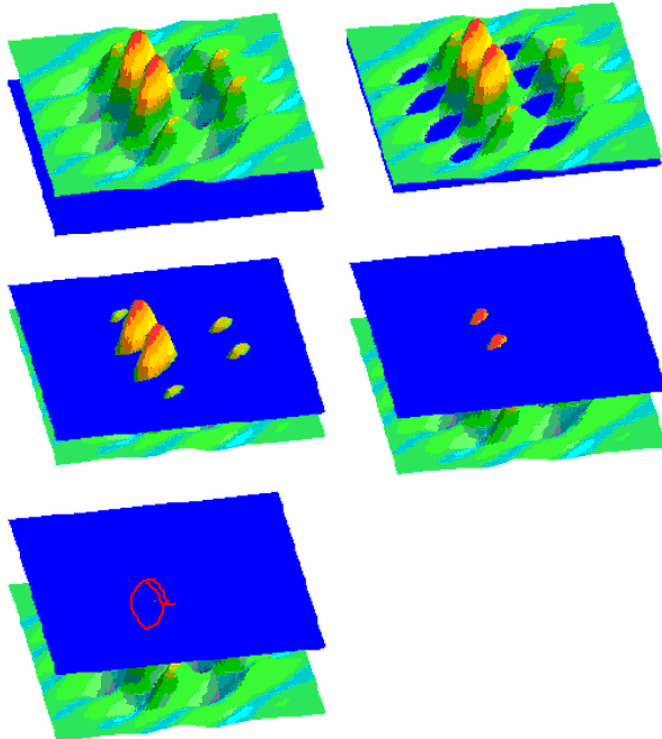
- $\tau_{ij}$  : Pheromon-Level für Bindung  $(i, j)$
- $\alpha$  : Gewichtung von  $\tau_{ij}$
- $\eta_{ij}$  :  $1/a_{ij}$  Wünschbarkeit
- $\beta$  : Gewichtung von  $\eta_{ij}$
- $\Omega(k)$  : Menge der von  $k$  nicht zugeordneten Orte

Update von  $\tau_{ij}(t+1)$  erfolgt wie beim ASA\_TSP mit  $P(\pi^k)$  für  $L_k$ .

Tests zeigen, dass das Verfahren sehr erfolgreich ist ( $\alpha=1, \beta=1, \rho=0.9, Q=1, n \leq 33$ ).

## Sintflut-Algorithmus

Ameisen bewegen sich auf einer Landschaft, die langsam im Wasser versinkt:



Hoffnung: Am Ende befindet sich eine Ameise auf dem Gipfel.

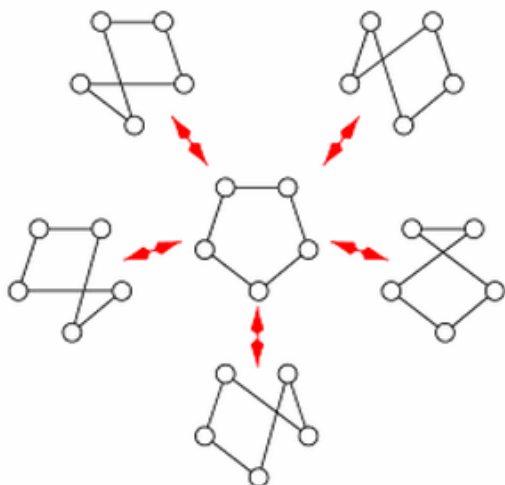
## Der Sintflut-Algorithmus (als Code)

```
SINTFLUT :=
 proc ()
 (1) t := 1; // Zeit
 (2) W := initWasserstand ();
 (3) for i from 1 to μ do // μ : # Ameisen
 (4) i.position := initPosition ();
 (5) i.aktiv := true
 (6) od;
 (7) while not fertig () do
 (8) for i from 1 to μ do
 (9) if i.aktiv then
 (10) i.position := nachbarPosition (i, W);
 (11) i.aktiv := trocken (i, W)
 (12) fi
 (13) od;
 (14) W += Regen ();
 (15) t += 1
 (16) od;
 (17) gib j.position aus mit
 (18) j.hoehe \geq {i.hoehe | i \in {1, ..., μ }};
 end;
```

## Legende zum Sintflut-Algorithmus

|                |                                                   |
|----------------|---------------------------------------------------|
| Ameise:        | hat Position und Höhe                             |
| Position:      | Lösung eines Problems, es gibt Nachbar-Positionen |
| Höhe:          | Güte der Lösung                                   |
| Wasserstand W: | ist erst niedrig, steigt mit der Zeit an          |
| Trocken:       | Nur trockene Ameisen sind weiter aktiv            |

Beispiel: LIN-2-OPT-Nachbarn beim TSP mit  $n = 5$ :



(TSP-Höhe:  $-P(\pi)$ )

Tests bestätigen die Wirksamkeit des Sintflut-Algorithmus für Probleme mit großer Zahl von Nachbarschafts-Beziehungen: Lokale Maxima sind dann selten.

